

การวิเคราะห์การโค้งงอและการสันสะท้อนของแผ่นคอมโพสิตด้วยระเบียบวิธีแคนโทโรวิช

นาย ธนาวุฒิ เวชฎานนท์

ศูนย์วิทยทรัพยากร

วิทยานิพนธ์นี้เป็นส่วนหนึ่งของการศึกษาตามหลักสูตรปริญญาวิศวกรรมศาสตรมหาบัณฑิต

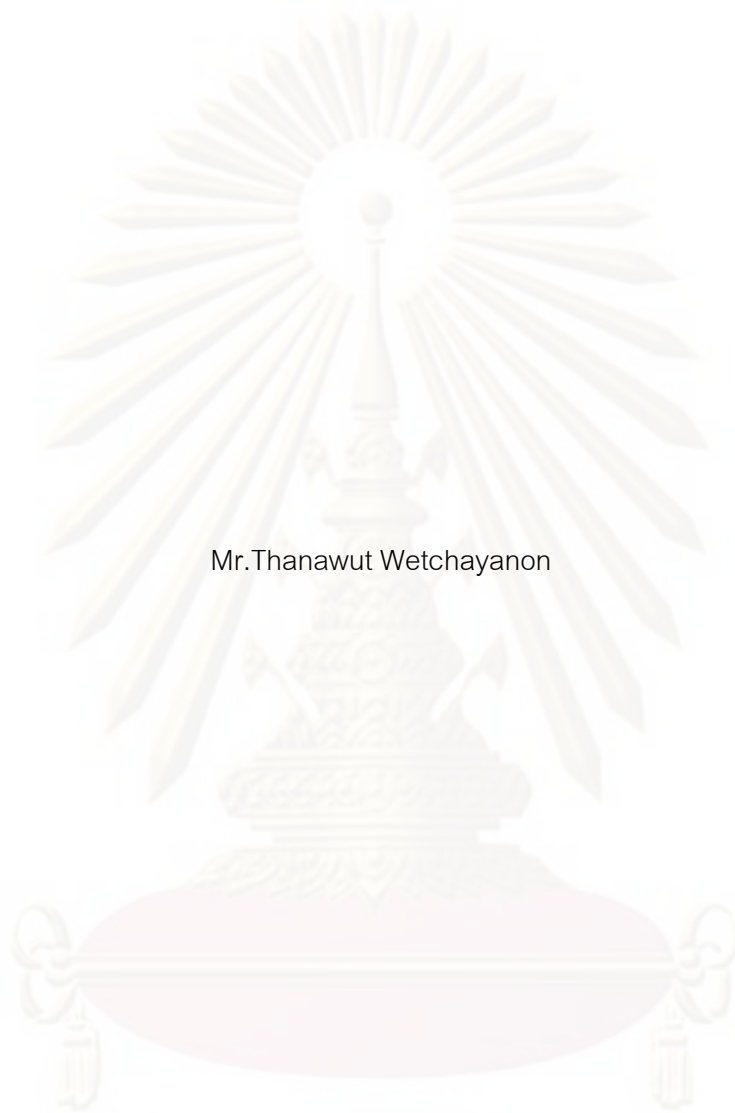
สาขาวิชาวิศวกรรมเครื่องกล ภาควิชาวิศวกรรมเครื่องกล

คณะวิศวกรรมศาสตร์ จุฬาลงกรณ์มหาวิทยาลัย

ปีการศึกษา 2552

ลิขสิทธิ์ของจุฬาลงกรณ์มหาวิทยาลัย

BUCKLING AND VIBRATION ANALYSIS OF COMPOSITE PLATES USING KANTOROVICH METHOD



Mr.Thanawut Wetchayanon

A Thesis Submitted in Partial Fulfillment of the Requirements  
for the Degree of Master of Engineering Program in Mechanical Engineering

Department of Mechanical Engineering

Faculty of Engineering

Chulalongkorn University

Academic Year 2009

Copyright of Chulalongkorn University

หัวข้อวิทยานิพนธ์

การวิเคราะห์การโค้งงอและการสั่นสะเทือนของแผ่นคอมโพสิต  
ด้วยระเบียบวิธีแคนโทโรวิช

โดย

นาย ธนาวุฒิ เวชฎานนท์

สาขาวิชา

วิศวกรรมเครื่องกล

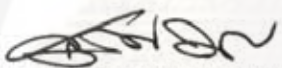
อาจารย์ที่ปรึกษาวิทยานิพนธ์หลัก

รองศาสตราจารย์ ดร.ไพโรจน์ สิงหนัดกิจ


คณะวิศวกรรมศาสตร์ จุฬาลงกรณ์มหาวิทยาลัย อนุมัติให้นับวิทยานิพนธ์ฉบับนี้เป็น  
ส่วนหนึ่งของการศึกษาตามหลักสูตรปริญญาโทบัณฑิต

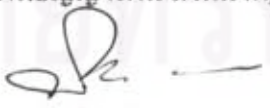
  
..... คณบดีคณะวิศวกรรมศาสตร์  
(รองศาสตราจารย์ ดร.บุญสม เลิศนริญวงศ์)

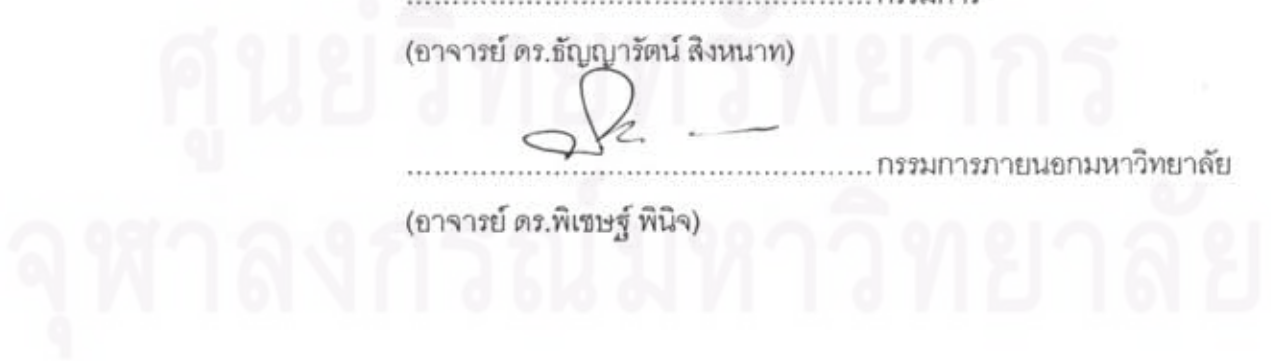
คณะกรรมการสอบวิทยานิพนธ์

  
..... ประธานกรรมการ  
(ศาสตราจารย์ ดร.สุรินทร์ พงศ์ศุภสมิทธิ)

  
..... อาจารย์ที่ปรึกษาวิทยานิพนธ์หลัก  
(รองศาสตราจารย์ ดร.ไพโรจน์ สิงหนัดกิจ)

  
..... กรรมการ  
(อาจารย์ ดร.ธัญวารัตน์ สิงหนาท)

  
..... กรรมการภายนอกมหาวิทยาลัย  
(อาจารย์ ดร.พิเชษฐ พิณีจ)



ธนาวุฒิ เวชฎานนท์ : การวิเคราะห์การโก่งงอและการสั่นสะเทือนของแผ่นคอมโพสิทด้วยระเบียบวิธี  
 แคนโทโรวิช. (BUCKLING AND VIBRATION ANALYSIS OF COMPOSITE PLATES USING  
 KANTOROVICH METHOD) อ. ที่ปรึกษาวิทยานิพนธ์หลัก : รศ.ดร.ไพโรจน์ สิงหนัดกิจ , 163 หน้า.

วิทยานิพนธ์นี้ศึกษาพฤติกรรมการโก่งงอและการสั่นสะเทือนของแผ่นคอมโพสิทรูปสี่เหลี่ยมผืนผ้า  
 แบบลามิเนตสมมาตรที่มีลำดับชั้นการวางตัวของเส้นใยแบบ cross-ply และแบบ angle-ply โดยใช้จำนวน  
 พจน์ที่ใช้สมมุติค่าฟังก์ชันในระเบียบวิธีแคนโทโรวิชมากกว่า 1 พจน์ ระเบียบวิธีนี้ใช้หลักการการแปรผันของ  
 พลังงานศักย์รวมต่ำสุด ฟังก์ชันการเคลื่อนที่นอกกรอบที่ใช้อยู่ในรูปผลรวมของผลคูณของฟังก์ชันในทิศทาง x  
 และ y โดยฟังก์ชันทั้งสองเขียนให้อยู่ในรูปอนุกรมกำลังอนันต์ การสมมุติฟังก์ชันการเคลื่อนที่ในลักษณะนี้ทำให้  
 สามารถแก้ปัญหาแผ่นคอมโพสิทที่มีลำดับชั้นการวางตัวของเส้นใยแบบ angle-ply ได้ โดยปัญหาดังกล่าวไม่  
 สามารถแก้ได้โดยการสมมุติค่าฟังก์ชันเพียงพจน์เดียว สมการพลังงานที่ใช้คำนวณจะลดรูปให้อยู่ในรูปปัญหา  
 ค่าเจาะจง โดยค่าเจาะจงจากการแก้สมการเป็นค่าภาวะการโก่งงอหรือค่าความถี่ธรรมชาติของแผ่นบาง ส่วน  
 เวกเตอร์เจาะจงแทนรูปร่างการโก่งงอหรือรูปร่างโหมดการสั่นสะเทือน จากการศึกษาพบว่าสำหรับแผ่นคอมโพ  
 สิทที่มีลำดับชั้นการวางตัวของเส้นใยแบบ cross-ply ใช้จำนวนพจน์ในการสมมุติค่าฟังก์ชันเพียง 1 พจน์ก็ให้ผล  
 เฉลยที่ลู่เข้าสู่คำตอบแล้ว แต่สำหรับแผ่นคอมโพสิทที่มีลำดับชั้นการวางตัวของเส้นใยแบบ angle-ply ต้องใช้  
 จำนวนพจน์ในการสมมุติค่าฟังก์ชันมากกว่า จึงจะทำให้ผลเฉลยที่ได้มีค่าน่าเชื่อถือและลู่เข้าสู่คำตอบมากขึ้น  
 ยิ่งไปกว่านั้นกรณีของแผ่นคอมโพสิทที่มีลำดับชั้นการวางตัวแบบ angle-ply จะต้องใช้จำนวนสัมประสิทธิ์ของ  
 ฟังก์ชันเริ่มต้นมากกว่าในกรณีของแผ่นคอมโพสิทที่มีลำดับชั้นการวางตัวของเส้นใยแบบ cross-ply นอกจาก  
 การศึกษาปัญหาการโก่งงอแล้ว วิทยานิพนธ์นี้ยังได้ศึกษาพฤติกรรมการสั่นสะเทือนของแผ่นคอมโพสิทที่มี  
 ขนาดสัดส่วนของชิ้นงานและองศาการวางตัวของเส้นใยต่าง ๆ เมื่อเปรียบเทียบกับผลการศึกษาอื่น ๆ และผลที่  
 ได้จากระเบียบวิธีวิธีแคนโทโรวิชถือเป็นวิธีที่วิเคราะห์เชิงตัวเลขที่มีประสิทธิภาพ สามารถ  
 นำไปใช้ศึกษาปัญหาทางโครงสร้างอื่น ๆ ได้

ศูนย์วิทยทรัพยากร  
 ภาควิชา...วิศวกรรมเครื่องกล...  
 สาขาวิชา...วิศวกรรมเครื่องกล...  
 ปีการศึกษา...2552.....  
 ลายมือชื่อนิสิต...ธนาวุฒิ เวชฎานนท์...  
 ลายมือชื่อ อ.ที่ปรึกษาวิทยานิพนธ์หลัก...ไพโรจน์ สิงหนัดกิจ...

# # 507 02963 21 : MAJOR MECHANICAL ENGINEERING

KEYWORDS: BUCKLING LOAD / VIBRATION / LAMINATED PLATE / KANTOROVICH METHOD

THANAWUT WETCHAYANON : BUCKLING AND VIBRATION ANALYSIS OF COMPOSITE PLATES USING KANTOROVICH METHOD. THESIS ADVISOR: ASSOC. PROF. PAIROD SINGHATANADGID, Ph.D., 163 pp.

This thesis investigates the behavior of buckling and vibration of symmetrically cross-ply and angle-ply laminated rectangular plates using the multi-term Kantorovich method. The study utilizes the variational principle of total energy minimization. The out-of-plane displacement is assumed in form of a series of a sum of products of the function in x and y directions which are written in form of the infinite power series. With this form of assumed functions, it is possible to solve the problem of plate with angle-ply stacking sequence where the classical single-term extended Kantorovich method is ineffective. The energy formulation is finally reduced to be an eigenvalue problem where the eigenvalue represents either the buckling load or natural frequency of plates, while the eigenvector characterizes the buckling or vibration mode shape. It is found that, for problem of plate with cross-ply stacking sequence, only a single term displacement function is sufficient to obtain a converged solution. However, a higher number of terms in the displacement function are needed for angle-ply plates. Moreover, specimens with angle-ply stacking sequence require a higher number of coefficients compared with the cross-ply stacking sequence. In addition to the buckling problem, this thesis studies the natural frequency and vibration mode shape of composite plates with various aspect ratios and stacking sequences. Compared with solutions from other studies and solutions from the Ritz method, the extended Kantorovich is proven to be a powerful semi-analytical-numerical method which could potentially be used in other structural problems.

Department:.....Mechanical Engineering.....

Field of study:.....Mechanical Engineering.....

Academic year:.....2009.....

Student's signature *Thanawut Wetchayanon*

Advisor's signature *Pairod Singhatanadgid*

## กิตติกรรมประกาศ

ขอกราบขอบพระคุณ รองศาสตราจารย์ ดร.ไพโรจน์ สิงห์นัดกิจ อาจารย์ที่ปรึกษาวิทยานิพนธ์เป็นอย่างสูง ที่เป็นผู้ให้โอกาส รวมทั้งให้ความรู้ คำแนะนำ คำปรึกษาในขั้นตอนการดำเนินการจนวิทยานิพนธ์นี้สำเร็จลุล่วงตามจุดประสงค์ นอกจากนั้นยังเป็นแบบอย่างที่ดีในการทำงานและการดำเนินชีวิต

ขอกราบขอบพระคุณ ศาสตราจารย์ ดร.สุรินทร์ พงศ์ศุภสมิทธิ ประธานกรรมการ อาจารย์ ดร.ธัญญารัตน์ สิงหนาท และอาจารย์ ดร.พิเชษฐ พิณีจ กรรมการ ที่กรุณาให้ความอนุเคราะห์ รวมทั้งให้ความรู้ คำแนะนำ และถ่ายทอดประสบการณ์ในการทำงานวิจัยต่อตัวผู้วิจัย ซึ่งทำให้วิทยานิพนธ์ฉบับนี้มีความสมบูรณ์มากขึ้น

ขอบคุณเพื่อน พี่ และน้องนิสิตทั้งระดับปริญญาโทและปริญญาเอกหลายท่านที่ได้ให้ความช่วยเหลือ คำปรึกษา ทำให้ผู้วิจัยรู้สึกถึงมิตรภาพ และความอบอุ่นตลอดเวลาที่ศึกษาอยู่

สุดท้ายขอกราบขอบพระคุณบิดามารดา พี่ชายและครอบครัวของผู้วิจัย ที่ได้ให้การเลี้ยงดูทั้งกายและใจ ให้ความรัก ความช่วยเหลือ ให้การสนับสนุนในทุก ๆ ด้าน และเป็นกำลังใจแก่ผู้วิจัยมาโดยตลอดจนสามารถทำวิทยานิพนธ์นี้สำเร็จ หนึ่งประโยชน์และคุณค่าอันใดที่ได้รับจากวิทยานิพนธ์นี้ขอมอบเป็นกตัญญูตามบูชาแต่บิดา มารดา ครูอาจารย์ ตลอดจนผู้มีพระคุณทุกท่าน

ศูนย์วิทยทรัพยากร

จุฬาลงกรณ์มหาวิทยาลัย

# สารบัญ

หน้า

บทคัดย่อภาษาไทย .....	ง
บทคัดย่อภาษาอังกฤษ.....	จ
กิตติกรรมประกาศ.....	ฉ
สารบัญ .....	ช
สารบัญตาราง.....	ณ
สารบัญภาพ.....	ญ
คำอธิบายสัญลักษณ์และคำย่อ.....	ฎ
บทที่ 1 บทนำ.....	1
1.1 ความสำคัญและที่มาของวิทยานิพนธ์ .....	1
1.2 วัตถุประสงค์ของวิทยานิพนธ์.....	3
1.3 ขอบเขตของวิทยานิพนธ์ .....	3
1.4 เนื้อหาโดยรวมของวิทยานิพนธ์.....	5
บทที่ 2 ปรีทัศน์วรรณกรรม .....	7
2.1 งานวิจัยที่เกี่ยวข้องกับปัญหาการโค้งงอของโครงสร้างแผ่นบางรูปสี่เหลี่ยมผืนผ้า.....	7
2.2 งานวิจัยที่เกี่ยวข้องกับปัญหาการสั่นสะเทือนของโครงสร้างแผ่นบางรูปสี่เหลี่ยมผืนผ้า..	12
บทที่ 3 ทฤษฎีพื้นฐาน.....	16
3.1 พื้นฐานของวัสดุคอมโพสิต .....	16
3.2 ทฤษฎีพื้นฐานของแผ่นลามิเนตบาง .....	19
3.3 การหาค่าภาระการโค้งงอของแผ่นคอมโพสิตบางด้วยวิธีการวิเคราะห์ .....	24
3.4 การหาค่าความถี่ธรรมชาติของแผ่นคอมโพสิตบางด้วยวิธีการวิเคราะห์ .....	28
บทที่ 4 การวิเคราะห์การโค้งงอและการสั่นสะเทือนด้วยระเบียบวิธีแคนโทโรวิช.....	32
4.1 การวิเคราะห์ปัญหาการโค้งงอของแผ่นคอมโพสิตด้วยระเบียบวิธีแคนโทโรวิช .....	32
4.2 การวิเคราะห์ปัญหาการสั่นสะเทือนของแผ่นคอมโพสิตด้วยระเบียบวิธีแคนโทโรวิช.....	43

บทที่ 5 ตัวอย่างการแก้ปัญหาการโค้งงอและการสั้นสะเทือนด้วยระเบียบวิธีแคนโทโรวิช .....	51
5.1 โปรแกรมคอมพิวเตอร์สำหรับการแก้ปัญหาการโค้งงอและการสั้นสะเทือน.....	51
5.2 ขั้นตอนการแก้ปัญหาการโค้งงอของแผ่นคอมโพสิตบาง .....	53
5.3 ขั้นตอนการแก้ปัญหาการสั้นสะเทือนของแผ่นคอมโพสิตบาง .....	59
บทที่ 6 การโค้งงอของแผ่นคอมโพสิตบางรูปสี่เหลี่ยมผืนผ้า .....	66
6.1 การตรวจสอบโดยเปรียบเทียบกับการศึกษาของ Shufrin และคณะ [11] .....	66
6.2 การตรวจสอบโดยเปรียบเทียบกับการศึกษาอื่น ๆ.....	68
บทที่ 7 การสั้นสะเทือนของแผ่นคอมโพสิตบางรูปสี่เหลี่ยมผืนผ้า.....	75
7.1 รายละเอียดของโครงสร้างแผ่นบางที่ใช้ศึกษา .....	75
7.2 โปรแกรมคอมพิวเตอร์สำหรับการแก้ปัญหาการสั้นสะเทือน.....	76
7.3 ผลของจำนวนพจน์ที่ใช้สมมุติค่าฟังก์ชันเริ่มต้นต่อค่าความถี่ธรรมชาติ.....	77
7.4 ผลของจำนวนสัมประสิทธิ์ของฟังก์ชันเริ่มต้นต่อการลู่เข้าของค่าเจาะจง .....	80
7.5 พฤติกรรมการสั้นสะเทือนของแผ่นคอมโพสิต.....	83
7.5.1 ผลของค่า $D_{16}$ และ $D_{26}$ ต่อพฤติกรรมการสั้นสะเทือนที่โหมดสูง ๆ.....	85
7.5.2 ผลของขนาดสัดส่วนของชิ้นงานต่อพฤติกรรมการสั้นสะเทือนของแผ่นคอมโพสิต. ....	90
7.5.3 ผลขององศาการวางตัวของเส้นใยต่อพฤติกรรมการสั้นสะเทือน ของแผ่นคอมโพสิต.....	97
บทที่ 8 บทสรุป.....	107
8.1 บทสรุป .....	107
8.2 ประโยชน์ที่ได้รับและข้อเสนอแนะสำหรับงานวิจัยในอนาคต.....	111
รายการอ้างอิง.....	113
ภาคผนวก.....	116
ภาคผนวก ก รายละเอียดของโปรแกรมคอมพิวเตอร์.....	117
ภาคผนวก ข บทความที่ได้รับการตีพิมพ์ .....	154
ประวัติผู้เขียนวิทยานิพนธ์ .....	163



ตารางที่ 5-1	ค่าภาระการโก่งงอและรูปร่างใหม่ดการโก่งงอในแต่ละรอบการคำนวณ.....	58
ตารางที่ 5-2	ค่าความถี่ธรรมชาติและรูปร่างใหม่ดการสั่นสะเทือนในแต่ละรอบการคำนวณของ การสั่นสะเทือนในโหมดที่หนึ่ง .....	62
ตารางที่ 5-3	ค่าความถี่ธรรมชาติและรูปร่างใหม่ดการสั่นสะเทือนในแต่ละรอบการคำนวณของ การสั่นสะเทือนในโหมดที่สอง.....	63
ตารางที่ 5-4	ค่าความถี่ธรรมชาติและรูปร่างใหม่ดการสั่นสะเทือนในแต่ละรอบการคำนวณของ การสั่นสะเทือนในโหมดที่สาม .....	64
ตารางที่ 6-1	ผลการเปรียบเทียบค่าภาระการโก่งงอกรณีการวางตัวของเส้นใยแบบ cross-ply ..	67
ตารางที่ 6-2	ผลการเปรียบเทียบค่าภาระการโก่งงอกรณีการวางตัวของเส้นใยแบบ angle-ply..	68
ตารางที่ 6-3	ค่าภาระการโก่งงอจากการศึกษาของ Tuttle และคณะ [5] เทียบกับค่าจาก โปรแกรมคอมพิวเตอร์ที่ประดิษฐ์ขึ้น.....	69
ตารางที่ 6-4	ค่าภาระการโก่งงอจากการศึกษาของ Turvey และ Marshall [23] เทียบกับค่าจาก โปรแกรมคอมพิวเตอร์ที่ประดิษฐ์ขึ้น.....	71
ตารางที่ 6-5	ใหม่ดการโก่งงอของแผ่นคอมโพสิตที่การจับยึดแบบ CCCC จากการใช้จำนวนพจน์ ในการสมมุติค่าฟังก์ชันเริ่มต้นตั้งแต่ 1 ถึง 5 พจน์.....	72
ตารางที่ 6-6	ใหม่ดการโก่งงอของแผ่นคอมโพสิตที่การจับยึดแบบ CCCC, CSCS, SFSF คำนวณ โดยใช้จำนวนพจน์ในการสมมุติค่าฟังก์ชันเริ่มต้นเท่ากับ 5 พจน์ .....	73
ตารางที่ 7-1	ค่าความถี่ธรรมชาติ ( $\lambda$ ) จากการศึกษาของ Leissa [12] เทียบกับค่าจากโปรแกรม คอมพิวเตอร์ที่ประดิษฐ์ขึ้น โดยใช้ $\nu = 0.3$ .....	77
ตารางที่ 7-2	ค่าความถี่ธรรมชาติ (rad/s) ของโครงสร้างแผ่นบางเมื่อใช้จำนวนพจน์ที่ใช้สมมุติค่า ฟังก์ชันเริ่มต้นตั้งแต่ 1 ถึง 5 พจน์.....	78
ตารางที่ 7-3	ค่าความถี่ธรรมชาติภายใต้การจับยึดแบบง่ายทั้งสี่ด้าน จากการศึกษาของ เอกสารอ้างอิง [22, 25, 26] เทียบกับค่าจากโปรแกรมคอมพิวเตอร์ที่ประดิษฐ์ขึ้น .....	84
ตารางที่ 7-4	ค่าความถี่ธรรมชาติภายใต้การจับยึดแบบยึดแน่นทั้งสี่ด้าน จากการศึกษาของ เอกสารอ้างอิง [22, 26] เทียบกับค่าจากโปรแกรมคอมพิวเตอร์ที่ประดิษฐ์ขึ้น.....	85
ตารางที่ 7-5	ค่าความถี่ธรรมชาติ (rad/s) ของโครงสร้างแผ่นบางภายใต้เงื่อนไขขอบเขต การจับยึดแบบ CCCF ที่กรณีศึกษาแบบต่าง ๆ .....	86

ตาราง

ตารางที่ 7-6 ค่าความถี่ธรรมชาติ (rad/s) ของโครงสร้างแผ่นบางภายใต้เงื่อนไขขอบเขต การจับยึดแบบ SCSC ที่กรณีศึกษาแบบต่าง ๆ .....	87
ตารางที่ 7-7 ค่าความถี่ธรรมชาติ (rad/s) ของโครงสร้างแผ่นบางภายใต้เงื่อนไขขอบเขต การจับยึดแบบ CSSC ที่กรณีศึกษาแบบต่าง ๆ .....	87
ตารางที่ 7-8 รูปร่างการสั่นสะเทือนที่แตกต่างกันจากการคำนวณด้วยระเบียบวิธีแคนโทโรวิช กับระเบียบวิธีวิธิต์ .....	89
ตารางที่ 7-9 ค่าความถี่ธรรมชาติและโหมดการสั่นสะเทือนของแผ่นคอมโพสิตที่ขนาดสัดส่วน ของชิ้นงานต่าง ๆ กัน .....	91
ตารางที่ 7-10 รูปร่างโหมดการสั่นสะเทือนของแผ่นคอมโพสิตที่ขนาดสัดส่วนของชิ้นงานต่าง ๆ กัน ที่ขอบเขตการจับยึดแบบ CCCC ลำดับชั้นการวางตัวของเส้นใยแบบ $[0/90]_{2S}$ .....	92
ตารางที่ 7-11 รูปร่างโหมดการสั่นสะเทือนของแผ่นคอมโพสิตที่ขนาดสัดส่วนของชิ้นงานต่าง ๆ กัน ที่ขอบเขตการจับยึดแบบ CCCC ลำดับชั้นการวางตัวของเส้นใยแบบ $[45]_8$ .....	93
ตารางที่ 7-12 รูปร่างโหมดการสั่นสะเทือนของแผ่นคอมโพสิตที่ขนาดสัดส่วนของชิ้นงานต่าง ๆ กัน ที่ขอบเขตการจับยึดแบบ CSSC ลำดับชั้นการวางตัวของเส้นใยแบบ $[0/90]_{2S}$ .....	94
ตารางที่ 7-13 รูปร่างโหมดการสั่นสะเทือนของแผ่นคอมโพสิตที่ขนาดสัดส่วนของชิ้นงานต่าง ๆ กัน ที่ขอบเขตการจับยึดแบบ CSSC ลำดับชั้นการวางตัวของเส้นใยแบบ $[45]_8$ .....	95
ตารางที่ 7-14 ค่าความถี่ธรรมชาติ (rad/s) ของแผ่นคอมโพสิตที่มีการวางตัวของเส้นใย แบบ $[\theta]_8$ สำหรับชิ้นงานที่มีขนาดสัดส่วนเท่ากับหนึ่ง .....	98
ตารางที่ 7-15 รูปร่างโหมดการสั่นสะเทือนของแผ่นคอมโพสิต กรณีขอบเขตการจับยึด แบบ CCCF ที่การวางตัวของเส้นใยต่าง ๆ .....	99
ตารางที่ 7-16 รูปร่างโหมดการสั่นสะเทือนของแผ่นคอมโพสิต กรณีขอบเขตการจับยึด แบบ SCSC ที่การวางตัวของเส้นใยต่าง ๆ .....	100
ตารางที่ 7-17 รูปร่างโหมดการสั่นสะเทือนของแผ่นคอมโพสิต กรณีขอบเขตการจับยึด แบบ CSSC ที่การวางตัวของเส้นใยต่าง ๆ .....	101
ตารางที่ 7-18 ค่าความถี่ธรรมชาติ (rad/s) และรูปร่างโหมดการสั่นสะเทือนของแผ่นคอมโพสิต จากการใช้จำนวนพจน์ในการสมมุติค่าฟังก์ชันเริ่มต้นเท่ากับ 3 และ 5 พจน์ .....	104

รูปประกอบ

รูปที่ 3.1	แสดงส่วนประกอบของวัสดุคอมโพสิต.....	16
รูปที่ 3.2	การเรียงตัวของลามิनाในชั้นต่าง ๆ ซึ่งทำมุม $\theta$ กับแกน $x$ .....	17
รูปที่ 3.3	เครื่องหมายของมุม $\theta$ เมื่อเปลี่ยนพิกัดของแผ่นคอมโพสิตไปเป็นพิกัดรวม .....	18
รูปที่ 3.4	ระบบพิกัดของแผ่นลามิเนตบาง .....	19
รูปที่ 3.5	ส่วนตัดของแผ่นลามิเนตบางในระนาบ $x-z$ เมื่อเกิดการเปลี่ยนรูป.....	21
รูปที่ 3.6	แรงลัพท์และโมเมนต์ลัพท์ที่กระทำต่อแผ่นลามิเนต .....	23
รูปที่ 3.7	การรับภาระในแนวระนาบและลักษณะของแผ่นคอมโพสิตบางรูปสี่เหลี่ยมผืนผ้า .....	24
รูปที่ 3.8	ความเค้นลัพท์และภาระภายนอกที่กระทำต่อแผ่นคอมโพสิต .....	26
รูปที่ 3.9	แรงในแนวระนาบที่กระทำต่ออิลิเมนต์ของโครงสร้างแผ่นบางขณะที่โก่งตัว.....	26
รูปที่ 5.1	ขั้นตอนการคำนวณหาค่าภาระการโก่งงอและค่าความถี่ธรรมชาติด้วยโปรแกรม คอมพิวเตอร์ที่ประดิษฐ์ขึ้น.....	52
รูปที่ 5.2	การรับภาระในแนวระนาบของแผ่นคอมโพสิตบางภายใต้เงื่อนไขขอบเขต แบบ CSSC .....	53
รูปที่ 5.3	อักษรย่อแสดงลักษณะการจับยึดและระบบแกนพิกัด .....	54
รูปที่ 5.4	การหารากคำตอบของปัญหาค่าเจาะจง .....	55
รูปที่ 5.5	รูปร่างโหมดการโก่งงอของแผ่นคอมโพสิตจากการคำนวณรอบแรก .....	56
รูปที่ 5.6	ความสัมพันธ์ระหว่างค่าภาระการโก่งงอและจำนวนสัมประสิทธิ์ของฟังก์ชันเริ่มต้น ในการแก้ปัญหาด้วยระเบียบวิธีแคนโทโรวิช.....	57
รูปที่ 5.7	รูปร่างโหมดการสั่นสะเทือนที่ได้จากการคำนวณด้วยระเบียบวิธีแคนโทโรวิช .....	65
รูปที่ 7.1	กราฟแสดงความสัมพันธ์ของขนาดสัดส่วนและมุมการวางตัวของเส้นใยของเงื่อนไข ขอบเขตต่าง ๆ ต่อจำนวนสัมประสิทธิ์ของฟังก์ชันเริ่มต้นที่ทำให้ผลเฉลยมีค่าลู่เข้า.....	82
รูปที่ 7.2	ค่าความถี่ธรรมชาติและรูปร่างการสั่นสะเทือนโหมดสามที่ขนาดสัดส่วนของชิ้นงาน ต่าง ๆ กัน ของขอบเขตการจับยึดแบบ CCCC ที่การวางตัวของเส้นใยแบบ $[45]_8$ .....	96
รูปที่ 7.3	กราฟความสัมพันธ์ระหว่างค่าความถี่ธรรมชาติกับมุมการวางตัวของเส้นใยของโหมดการ สั่นสะเทือนสองโหมดแรก ที่ขอบเขตการจับยึดแบบ CCCF, SCSC และ CSSC .....	103

## คำอธิบายสัญลักษณ์และคำย่อ

$a$	คือ	ความยาวของโครงสร้างแผ่นบางในทิศทางแกน $x$
$A_{ij}$	คือ	Laminate extensional stiffness
$\{AA\}_i$	คือ	สัมประสิทธิ์ที่ไม่ทราบค่าของ $\zeta$ ในพิกัดไร้มิติ
$b$	คือ	ความยาวของโครงสร้างแผ่นบางในทิศทางแกน $y$
$B_{ij}$	คือ	Laminate coupling stiffness
$\{BB\}_i$	คือ	สัมประสิทธิ์ที่ไม่ทราบค่าของ $\eta$ ในพิกัดไร้มิติ
$D_{ij}$	คือ	Laminate bending stiffness
$E$	คือ	ค่าโมดูลัสความยืดหยุ่น
$G$	คือ	ค่าโมดูลัสเฉือน
$h$	คือ	ความหนาของแผ่นคอมโพสิตบาง
$\kappa_x$	คือ	ค่าความโค้งของระนาบกึ่งกลางบนระนาบ $x-z$
$\kappa_y$	คือ	ค่าความโค้งของระนาบกึ่งกลางบนระนาบ $y-z$
$\kappa_{xy}$	คือ	ค่าความโค้งบิดของการโก่งตัวนอกระนาบของระนาบกึ่งกลาง
$M_x$	คือ	โมเมนต์ลัพท์ที่เกิดจากความเค้นตั้งฉากในแนวแกน $x$
$M_y$	คือ	โมเมนต์ลัพท์ที่เกิดจากความเค้นตั้งฉากในแนวแกน $y$
$M_{xy}$	คือ	โมเมนต์ลัพท์ที่เกิดจากความเค้นเฉือนบนระนาบ $x-y$
$m$	คือ	จำนวนคลื่นรูปซายน์ครึ่งลูกของฟังก์ชันการเคลื่อนที่นอกระนาบ
$N$	คือ	จำนวนพจน์ที่ใช้ในค่าฟังก์ชันเริ่มต้น
$N_x$	คือ	แรงลัพท์ที่เกิดจากความเค้นตั้งฉากในแนวแกน $x$
$N_y$	คือ	แรงลัพท์ที่เกิดจากความเค้นตั้งฉากในแนวแกน $y$
$N_{xy}$	คือ	แรงลัพท์ที่เกิดจากความเค้นเฉือนบนระนาบ $x-y$
$N_x^{cr}$	คือ	ค่าการกระการโก่งงอ
$n$	คือ	จำนวนคลื่นรูปซายน์ครึ่งลูกของฟังก์ชันการเคลื่อนที่นอกระนาบ
$Q_x$	คือ	แรงเฉือนในแนวตั้งตลอดความยาวของขอบที่ยึดในแนวแกน $x$
$Q_y$	คือ	แรงเฉือนในแนวตั้งตลอดความยาวของขอบที่ยึดในแนวแกน $y$
$\overline{Q}$	คือ	Transformed reduced stiffness matrix
$R$	คือ	สัดส่วนของชิ้นงาน ( $a/b$ )

$t$	คือ	ความหนาของแผ่นลามิना
$T$	คือ	พลังงานจลน์ที่เกิดจากการเคลื่อนที่ของแผ่น
$u$	คือ	การเคลื่อนที่ในแนวแกน $x$
$u^0$	คือ	การกระจัดของระนาบกึ่งกลางในทิศ $x$
$U$	คือ	พลังงานความเครียด
$v$	คือ	การเคลื่อนที่ในแนวแกน $y$
$v^0$	คือ	การกระจัดของระนาบกึ่งกลางในทิศ $y$
$V$	คือ	พลังงานศักย์ที่เกิดขึ้นเนื่องจากแรงในแนวระนาบ
$w$	คือ	การเคลื่อนที่ในแนวแกน $z$
$w^0$	คือ	การกระจัดของระนาบกึ่งกลางในทิศ $z$
$w(x, y)$	คือ	ฟังก์ชันการเคลื่อนที่นอกระนาบ
$w(x, y, t)$	คือ	ฟังก์ชันการเคลื่อนที่นอกระนาบแสดงในรูปฟังก์ชันของเวลา
$X_i(x)$	คือ	ฟังก์ชันของ $x$ ที่สอดคล้องกับเงื่อนไขขอบเขตที่ตำแหน่ง $x = 0$ และ $x = a$
$X_i(\xi)$	คือ	ฟังก์ชันของ $\xi$ ที่สอดคล้องกับเงื่อนไขขอบเขตที่ตำแหน่ง $\xi = 0$ และ $\xi = 1$
$Y_i(y)$	คือ	ฟังก์ชันของ $y$ ที่สอดคล้องกับเงื่อนไขขอบเขตที่ตำแหน่ง $y = 0$ และ $y = b$
$Y_i(\eta)$	คือ	ฟังก์ชันของ $\eta$ ที่สอดคล้องกับเงื่อนไขขอบเขตที่ตำแหน่ง $\eta = 0$ และ $\eta = 1$
$\Pi$	คือ	พลังงานศักย์รวมที่เกิดขึ้นบนแผ่นบาง
$\varepsilon_x$	คือ	ความเครียดตั้งฉากในทิศ $x$
$\varepsilon_y$	คือ	ความเครียดตั้งฉากในทิศ $y$
$\varepsilon_z$	คือ	ความเครียดตั้งฉากในทิศ $z$
$\gamma_{xy}$	คือ	ความเครียดเฉือนบนระนาบ $x - y$
$\gamma_{xz}$	คือ	ความเครียดเฉือนบนระนาบ $x - z$
$\gamma_{yz}$	คือ	ความเครียดเฉือนบนระนาบ $y - z$
$\sigma_x$	คือ	ความเค้นในแนวแกน $x$
$\sigma_y$	คือ	ความเค้นในแนวแกน $y$
$\sigma_z$	คือ	ความเค้นในแนวแกน $z$
$\tau_{xy}$	คือ	ความเค้นเฉือนบนระนาบ $x - y$
$\tau_{xz}$	คือ	ความเค้นเฉือนบนระนาบ $x - z$
$\tau_{yz}$	คือ	ความเค้นเฉือนบนระนาบ $y - z$

$\theta$	คือ	มุมการวางตัวของเส้นใยในแผ่นคอมโพสิตเทียบกับแกน $x$
$v$	คือ	ค่าอัตราส่วนปริมาตรของ
$\rho$	คือ	ความหนาแน่นของแผ่น (มวลต่อหนึ่งหน่วยปริมาตร)
$\rho_0$	คือ	มวลต่อหนึ่งหน่วยพื้นที่ ซึ่งมีค่าเท่ากับ $\rho h$
$\beta$	คือ	ค่าความถี่ธรรมชาติของโครงสร้างแผ่นบางในรูปไร้หน่วย
$\lambda$	คือ	ค่าความถี่ธรรมชาติของโครงสร้างแผ่นบางในรูปไร้หน่วย
$\omega$	คือ	ค่าความถี่ธรรมชาติของโครงสร้างแผ่นบาง (rad/s)



ศูนย์วิทยทรัพยากร  
จุฬาลงกรณ์มหาวิทยาลัย

# บทที่ 1

## บทนำ

### 1.1 ความสำคัญและที่มาของวิทยานิพนธ์

โครงสร้างในงานทางวิศวกรรมในปัจจุบันประกอบด้วยชิ้นส่วนหลายประเภทที่มีความซับซ้อน ชิ้นส่วนประเภทหนึ่งที่เป็นชิ้นส่วนพื้นฐานในงานทางวิศวกรรมโครงสร้างคือ โครงสร้างแผ่นบาง (Thin Plates) ความเสียหายของโครงสร้างอาจเกิดจากความเค้น (stress) ที่ชิ้นส่วนได้รับมีค่าสูงกว่าคุณสมบัติทางกลของวัสดุส่งผลให้ชิ้นส่วนแตกหักหรือฉีกขาด ความเสียหายของโครงสร้างอีกประเภทหนึ่งคือ ความเสียหายเนื่องจากโครงสร้างไม่สามารถอยู่ในสภาวะเสถียร (stability) ทำให้ชิ้นส่วนเกิดการโก่งงอ (buckling) โดยภาระที่ทำให้เกิดการโก่งงอเรียกว่าค่าภาระการโก่งงอ (Buckling Load) หรือภาระวิกฤต (Critical Load) และรูปร่างของโครงสร้างที่เปลี่ยนแปลงจากสภาวะเสถียรไปสู่เสถียรภาพอีกสถานะหนึ่งด้วยค่าภาระการโก่งงอเรียกว่ารูปร่างการโก่งงอ (Buckling Mode)

นอกจากความเสียหายของชิ้นส่วนจากการโก่งงอแล้วอีกปัญหาหนึ่งที่ผู้ออกแบบต้องคำนึงถึงในการออกแบบคือ การสั่นสะเทือนของโครงสร้าง โครงสร้างทางวิศวกรรมจัดเป็นระบบทางกลประเภทหนึ่งที่มีการตอบสนองต่อการสั่นสะเทือน ซึ่งความถี่ที่ทำให้เกิดการสั่นสะเทือนอย่างอิสระของโครงสร้างเรียกว่าความถี่ธรรมชาติ (Natural Frequency) และรูปร่างของโครงสร้างที่เกิดขึ้นจากความถี่ธรรมชาตินี้เรียกว่ารูปร่างโหมดการสั่นสะเทือน (Mode Shape)

เนื่องด้วยโครงสร้างทางวิศวกรรมประกอบด้วยชิ้นจำนวนมากและมีความซับซ้อนดังที่กล่าวไว้ข้างต้น วิศวกรโครงสร้างจึงให้ความสำคัญต่อน้ำหนักของโครงสร้างโดยรวมกล่าวคือ ต้องการชิ้นส่วนที่มีน้ำหนักเบาแต่ยังคงคุณสมบัติทางกลที่เหมาะสมตามทีออกแบบไว้ด้วย วัสดุที่ตอบสนองต่อความต้องการนี้และเริ่มนำมาใช้กันมากขึ้นในปัจจุบันคือวัสดุคอมโพสิต (Composite Material)

จากเหตุผลต่าง ๆ ที่กล่าวมาจึงมีการศึกษาพฤติกรรมการโก่งงอและการสั่นสะเทือนของแผ่นคอมโพสิตอย่างแพร่หลายในหลายปีที่ผ่านมา โดยการหาค่าภาระการโก่งงอและค่าความถี่ธรรมชาติของโครงสร้างแผ่นบางที่ทำจากวัสดุคอมโพสิตอาจทำได้โดยวิธีการวิเคราะห์ (Analytical Method) วิธีเชิงตัวเลข (Numerical Method) และวิธีการทดลอง (Experimental Method) โดยแต่ละวิธีนั้นมีข้อได้เปรียบและข้อจำกัดที่แตกต่างกันไป วิธีการวิเคราะห์มีข้อดีที่สามารถหาค่า

ภาวะการโก่งงอและค่าความถี่ธรรมชาติในรูปแบบผลเฉลยแม่นยำตรง (exact solution) ที่เป็น closed form ได้ โดยชิ้นงานนั้นต้องเป็นแผ่นคอมโพสิตทางแบบลามิเนตสมมาตร (symmetric) ที่มีการวางตัวของเส้นใยแบบ  $0^\circ$  หรือ  $90^\circ$  (cross-ply) ภายใต้เงื่อนไขขอบเขตการจับยึดแบบง่าย (simple support, S) ทั้งสี่ด้านดังเอกสารอ้างอิง [1,2] แต่ถ้าชิ้นงานมีเงื่อนไขขอบเขตการจับยึดแบบยึดแน่น (clamped support, C) หรือแบบปลายอิสระ (free edge, F) รวมอยู่ด้วยหรือมีการวางตัวของเส้นใยในมุมใด ๆ (angle-ply) ก็จะไม่สามารถหาค่าภาวะการโก่งงอและค่าความถี่ธรรมชาติจากวิธีวิเคราะห์โดยตรงได้ สำหรับข้อดีของวิธีการทดลองคือสามารถหาค่าภาวะการโก่งงอและค่าความถี่ธรรมชาติของชิ้นงานจริงที่มีความไม่สมบูรณ์ของชิ้นงานและความไม่สมบูรณ์ของเงื่อนไขขอบเขตได้ แต่มีข้อด้อยคือต้องเสียค่าใช้จ่ายค่อนข้างสูงและเสียเวลาในการเตรียมการทดลอง อีกทั้งถ้าต้องการหาค่าภาวะการโก่งงอของแผ่นคอมโพสิตที่มีขนาดใหญ่หรือเล็กมาก ๆ จะทำได้ยาก ส่วนวิธีการเชิงตัวเลขเป็นวิธีที่ได้รับการยอมรับและใช้อย่างกว้างขวางในปัจจุบัน ข้อได้เปรียบของวิธีการนี้คือสามารถหาค่าภาวะการโก่งงอและค่าความถี่ธรรมชาติของโครงสร้างที่ไม่มีผลเฉลยแม่นยำตรงได้ แต่มีข้อเสียเปรียบคือยังไม่สามารถจำลองพฤติกรรมของชิ้นงานได้อย่างสมบูรณ์ และในบางระเบียบวิธียังมีข้อจำกัดในการหาค่าภาวะการโก่งงอและค่าความถี่ธรรมชาติของแผ่นคอมโพสิต เช่น กรณีแผ่นคอมโพสิตที่มีการวางตัวของเส้นใยในมุมใด ๆ

ดังนั้นวิทยานิพนธ์นี้จึงศึกษาพฤติกรรมการโก่งงอและการสั่นสะเทือนของแผ่นคอมโพสิตบางรูปสี่เหลี่ยมผืนผ้าซึ่งเป็นแผ่นคอมโพสิตทางแบบลามิเนตสมมาตรที่มีการวางตัวของเส้นใยในมุมใด ๆ โดยวิธีเชิงตัวเลขด้วยระเบียบวิธีแคนโทโรวิช (Kantorovich Method) ภายใต้เงื่อนไขขอบเขตการจับยึดชิ้นงานผสมกันระหว่างการจับยึดแบบง่าย แบบยึดแน่น หรือแบบอิสระ สำหรับตัวอย่างของชิ้นส่วนที่ต้องคำนึงถึงการเสียหายเนื่องจากการโก่งงอ เช่น โครงสร้างคล้ายคานรับแรงในระนาบที่มีลักษณะของการจับยึดแบบ CFCF ซึ่งจะมีภาระกดในแนวระนาบกระทำ หรือกรณีของกล่องบรรจุสินค้าที่มีการวางซ้อนกัน ในกรณีนี้ก็จะมีแรงกดกระทำต่อด้านข้างของกล่องซึ่งมีลักษณะการจับยึดแบบ CCCC ส่วนลักษณะของชิ้นส่วนที่ต้องคำนึงถึงผลจากการสั่นสะเทือน เช่น ชิ้นส่วนของรถยนต์เนื่องจากได้รับผลจากการสั่นของเครื่องยนต์ หรือกรณีชิ้นงานที่มีลักษณะการจับยึดแบบ Cantilever beam คือมีการจับยึดแบบ CCCF เช่น แผงของแผ่นโซลาร์เซลล์ (Solar cell) ที่ยื่นออกนอกอาคารเพื่อรับแสงแดดหรือปีกของเครื่องบินที่ต่อออกจากลำตัวเครื่อง เป็นต้น ซึ่งชิ้นส่วนเหล่านี้ก็ต้องคำนึงถึงผลของลมที่กระทำด้วย



## 1.2 วัตถุประสงค์ของวิทยานิพนธ์

วิทยานิพนธ์ฉบับนี้มีวัตถุประสงค์หลักสองประเด็นคือ ก) ศึกษาการโค้งงอและการสั่นสะเทือนของแผ่นคอมโพสิต และ ข) พิจารณาถึงข้อได้เปรียบ ข้อด้อย ข้อจำกัด และข้อแนะนำในการใช้ระเบียบวิธีแคนโทโรวิชในการแก้ไขปัญหาอื่น ๆ ประเด็นแรกที่เกี่ยวข้องกับการศึกษาพฤติกรรมของแผ่นคอมโพสิตสามารถแบ่งหัวข้อตามลักษณะของปัญหาที่ต้องการศึกษาดังนี้

### 1. ปัญหาการโค้งงอของแผ่นคอมโพสิต

ศึกษาผลของการเพิ่มจำนวนพจน์ที่ใช้สมมุติค่าฟังก์ชันเริ่มต้นต่อพฤติกรรมการโค้งงอของแผ่นคอมโพสิต โดยเปรียบเทียบกับผลการศึกษาในอดีต

### 2. ปัญหาการสั่นสะเทือนของแผ่นคอมโพสิต แบ่งหัวข้อย่อยในการศึกษาดังนี้

2.1 ศึกษาผลของจำนวนพจน์ที่ใช้สมมุติค่าฟังก์ชันเริ่มต้นที่เพิ่มขึ้นว่ามีผลต่อพฤติกรรมการสั่นสะเทือนของแผ่นคอมโพสิตอย่างไร

2.2 ศึกษาจำนวนสัมประสิทธิ์ของฟังก์ชันเริ่มต้นที่ใช้ในระเบียบวิธีแคนโทโรวิชที่ทำให้ค่าเจาะจงมีค่าลู่เข้า

2.3 ศึกษาผลของค่า  $D_{16}$  และ  $D_{26}$  ต่อพฤติกรรมการสั่นสะเทือนที่โหมดสูง ๆ

2.4 ศึกษาผลของขนาดสัดส่วนของชิ้นงานและองศาการวางตัวของเส้นใยของแผ่นคอมโพสิตต่อพฤติกรรมการสั่นสะเทือนของแผ่นคอมโพสิต

## 1.3 ขอบเขตของวิทยานิพนธ์

วิทยานิพนธ์นี้มีขอบเขตโดยสังเขปคือ ศึกษาการแก้ปัญหาการโค้งงอและการสั่นสะเทือนของโครงสร้างคอมโพสิตแผ่นบางโดยใช้ระเบียบวิธีแคนโทโรวิช รวมถึงศึกษาผลของจำนวนพจน์ที่ใช้สมมุติค่าฟังก์ชันเริ่มต้นและจำนวนสัมประสิทธิ์ของแต่ละฟังก์ชันเริ่มต้นในระเบียบวิธีแคนโทโรวิชสำหรับปัญหาการโค้งงอและการสั่นสะเทือนของแผ่นคอมโพสิตบางรูปสี่เหลี่ยมผืนผ้า โดยจะพิจารณาแผ่นคอมโพสิตบางแบบลามิเนตสมมาตรที่มีการวางตัวของเส้นใยในมุมใด ๆ ขนาดสัดส่วนของชิ้นงาน (aspect ratio) ที่ศึกษามีทั้งหมดเจ็ดขนาดสัดส่วน คือ 0.5 1.0 1.5 2.0 3.0 4.0 และ 5.0 ภายใต้เงื่อนไขขอบเขตที่ด้านใดด้านหนึ่งหรือหลาย ๆ ด้านมีการจับยึดชิ้นงานผสมกันระหว่างการจับยึดแบบง่าย แบบยึดแน่น หรือแบบอิสระทั้งหมดสิบแบบคือ SSSS, CCCC, CCCF, CSSC, CCSS, SCSC, SCSF, CSCS, SFSF และ SSSF โดยในแต่ละหัวข้อการศึกษาได้ศึกษาแผ่นคอมโพสิตที่มีขนาดสัดส่วนของชิ้นงานและการจับยึดของชิ้นงาน ดังต่อไปนี้

### ปัญหาการโค้งงอของแผ่นคอมโพสิต

หัวข้อที่ 6.1 การตรวจสอบโดยเปรียบเทียบกับการศึกษาของ Shufrin และคณะ [11]

ศึกษาแผ่นบางที่มีขนาดสัดส่วนของชิ้นงานเท่ากับ 1.0 ที่การจับยึดชิ้นงานสามแบบคือ SSSS, CCCC และ CSSC

หัวข้อที่ 6.2 การตรวจสอบโดยเปรียบเทียบกับการศึกษาอื่น ๆ

ศึกษาแผ่นบางที่มีขนาดสัดส่วนของชิ้นงานเท่ากับ 1.5 สำหรับกรณีการจับยึดชิ้นงานแบบ SSSS และศึกษาแผ่นบางที่มีขนาดสัดส่วนของชิ้นงานเท่ากับ 1.0 สำหรับกรณีการจับยึดชิ้นงานแบบ CCCC, CSCS และ SFSF

### ปัญหาการสันสะท้อนของแผ่นคอมโพสิต

หัวข้อที่ 7.2 โปรแกรมคอมพิวเตอร์สำหรับแก้ปัญหการสันสะท้อน

ศึกษาแผ่นบางที่มีขนาดสัดส่วนของชิ้นงานเท่ากับ 1.0 ที่การจับยึดชิ้นงานสามแบบคือ SSSF, SCSF และ SCSC

หัวข้อที่ 7.3 ผลของจำนวนพจน์ที่ใช้สมมุติค่าฟังก์ชันเริ่มต้นต่อค่าความถี่ธรรมชาติ

ศึกษาแผ่นบางที่มีขนาดสัดส่วนของชิ้นงานเท่ากับ 1.0 ที่การจับยึดชิ้นงานสามแบบคือ CCCC, CCSS และ SCSF

หัวข้อที่ 7.4 ผลของจำนวนสัมประสิทธิ์ของฟังก์ชันเริ่มต้นต่อการลู่ออกของค่าเจาะจง

ศึกษาแผ่นบางที่มีขนาดสัดส่วนของชิ้นงานเท่ากับ 0.5, 1.0, 1.5 และ 2.0 ที่กรณีการจับยึดชิ้นงานสี่แบบคือ CCCC, CCSS, SCSF และ SSSS

หัวข้อที่ 7.5.1 ผลของค่า  $D_{16}$  และ  $D_{26}$  ต่อพฤติกรรมกรรมการสันสะท้อนที่โหมดสูง ๆ

ศึกษาแผ่นบางที่มีขนาดสัดส่วนของชิ้นงานเท่ากับ 1.0 ที่การจับยึดชิ้นงานสามแบบคือ CCCF, SCSC และ CSSC

หัวข้อที่ 7.5.2 ผลของขนาดสัดส่วนของชิ้นงานต่อพฤติกรรมกรรมการสันสะท้อนของแผ่นคอมโพสิต

ศึกษาแผ่นบางที่มีขนาดสัดส่วนของชิ้นงานเท่ากับ 1.0, 2.0, 3.0, 4.0 และ 5.0 ที่กรณีการจับยึดชิ้นงานสองแบบคือ CCCC และ CSSC

หัวข้อที่ 7.5.3 ผลขององศาการวางตัวของเส้นใยต่อพฤติกรรมกรรมการสันสะท้อนของแผ่นคอมโพสิต

ศึกษาแผ่นบางที่มีขนาดสัดส่วนของชิ้นงานเท่ากับ 1.0 ที่การจับยึดชิ้นงานสามแบบคือ CCCF, SCSC และ CSSC

## 1.4 เนื้อหาโดยรวมของวิทยานิพนธ์

วิทยานิพนธ์นี้ประกอบด้วยเนื้อหา 8 บทและภาคผนวก 2 บท โดยมีลำดับเนื้อหาและรายละเอียดดังนี้

บทที่ 1 กล่าวถึงความสำคัญ ที่มาของปัญหา ขอบเขต และจุดประสงค์ของวิทยานิพนธ์ รวมทั้งเนื้อหาโดยรวมของวิทยานิพนธ์

บทที่ 2 เป็นเนื้อหาเกี่ยวกับปริศน์วรรณกรรม ซึ่งกล่าวถึงงานวิจัยในอดีตที่เกี่ยวข้องกับหัวข้อการศึกษาของวิทยานิพนธ์ โดยแบ่งกลุ่มของงานวิจัยเป็นสองส่วนคือ ส่วนแรกเป็นงานวิจัยที่เกี่ยวข้องกับการหาค่าภาวะการโก่งงอของโครงสร้างแผ่นบางรูปสี่เหลี่ยมผืนผ้า และส่วนที่สองเป็นงานวิจัยที่เกี่ยวกับการศึกษาปัญหาการสั่นสะเทือนของโครงสร้างแผ่นบางรูปสี่เหลี่ยมผืนผ้า โดยงานวิจัยที่กล่าวถึงทั้งสองส่วนจะเน้นงานวิจัยที่ทำการศึกษาด้วยวิธีเชิงตัวเลข

บทที่ 3 กล่าวถึงพื้นฐานของวัสดุคอมโพสิต ทฤษฎีพื้นฐานของแผ่นลามิเนตบาง สมมุติฐานของแผ่นคอมโพสิตบาง รวมถึงการวิเคราะห์อีลิเมนต์ของแผ่นบางเพื่อหาสมการควบคุม (governing equation) ที่อยู่ในรูป closed form สำหรับการหาค่าภาวะการโก่งงอและค่าความถี่ธรรมชาติของแผ่นคอมโพสิตบาง

บทที่ 4 แสดงขั้นตอนการวิเคราะห์การโก่งงอและการสั่นสะเทือนของแผ่นคอมโพสิตบางแบบลามิเนตสมมาตรโดยวิธีเชิงตัวเลขด้วยระเบียบวิธีแคนโทโรวิช ทำให้ได้สมการควบคุมและสมการที่สอดคล้องกับเงื่อนไขขอบเขตการจับยึดแบบต่าง ๆ พร้อมทั้งแสดงขั้นตอนสำหรับการแก้ปัญหาทั้งสองของแผ่นคอมโพสิตบางด้วยระเบียบวิธีแคนโทโรวิชโดยสังเขป

บทที่ 5 กล่าวถึงรายละเอียดของโปรแกรมคอมพิวเตอร์ที่ประดิษฐ์ขึ้น อธิบายลำดับขั้นตอนและสมการที่ใช้ในการแก้ปัญหาการโก่งงอและการสั่นสะเทือนของแผ่นคอมโพสิตบางแบบลามิเนตสมมาตรด้วยระเบียบวิธีแคนโทโรวิชจากการวิเคราะห์ในบทที่ 4 พร้อมทั้งแสดงตัวอย่างขั้นตอนการแก้ปัญหาทั้งสอง

บทที่ 6 ตรวจสอบความถูกต้องของโปรแกรมคอมพิวเตอร์ที่ประดิษฐ์ขึ้นสำหรับการแก้ปัญหาการโก่งงอของแผ่นคอมโพสิตบางแบบลามิเนตสมมาตร ภายใต้เงื่อนไขขอบเขตการจับยึดแบบต่าง ๆ โดยสมมุติให้จำนวนพจน์ของฟังก์ชันเริ่มต้นเท่ากับหรือมากกว่า 1 พจน์ เพื่อศึกษาผลของการเพิ่มจำนวนพจน์ที่ใช้ในฟังก์ชันการเคลื่อนที่ต่อค่าภาวะการโก่งงอและรูปร่างการโก่งงอเทียบกับผลการศึกษาในอดีต

บทที่ 7 อธิบายรายละเอียดของแผ่นคอมโพสิตบางที่ใช้สำหรับศึกษาพฤติกรรมการสั่นสะเทือน จากนั้นตรวจสอบความถูกต้องของโปรแกรมคอมพิวเตอร์ที่ประดิษฐ์ขึ้นสำหรับการ

แก้ปัญหาการสั่นสะเทือนของแผ่นคอมโพสิตบางแบบลามิเนตสมมาตร ภายใต้เงื่อนไขขอบเขตการจับยึดแบบต่าง ๆ โดยใช้จำนวนพจน์ที่ใช้สมมุติค่าฟังก์ชันเริ่มต้นเท่ากับหรือมากกว่า 1 พจน์ แล้วนำไปโปรแกรมที่ผ่านการตรวจสอบแล้วไปศึกษาผลของจำนวนพจน์ที่เพิ่มขึ้นที่ใช้สมมุติค่าฟังก์ชันเริ่มต้นสำหรับปัญหาการสั่นสะเทือนของแผ่นคอมโพสิตที่การวางตัวของเส้นใยในมุมใด ๆ ภายใต้เงื่อนไขขอบเขตการจับยึดแบบต่าง ๆ ศึกษาจำนวนสัมประสิทธิ์ของฟังก์ชันเริ่มต้นที่ใช้ในระเบียบวิธีแคนโทโรวิชที่ทำให้ผลเฉลยมีค่าลู่เข้า ศึกษาผลของค่า  $D_{16}$  และ  $D_{26}$  ของโครงสร้างแผ่นบางต่อพฤติกรรมการสั่นสะเทือน และศึกษาผลกระทบของขนาดสัดส่วนของชั้นงานและองศาการวางตัวของเส้นใยต่อพฤติกรรมการสั่นสะเทือนของแผ่นคอมโพสิต

บทที่ 8 นำเสนอข้อสรุปของวิทยานิพนธ์ ประโยชน์ของวิทยานิพนธ์และข้อเสนอแนะสำหรับงานวิจัยในอนาคต

ในส่วนสุดท้ายของวิทยานิพนธ์เป็นส่วนของภาคผนวกซึ่งมีสองส่วน ภาคผนวก ก แสดงรายละเอียดของโปรแกรมคอมพิวเตอร์ที่ประดิษฐ์ขึ้นสำหรับคำนวณค่าการกระการโก่งงอและรูปร่างโหมดการโก่งงอ และค่าความถี่ธรรมชาติและรูปร่างการสั่นสะเทือนของแผ่นคอมโพสิตบางแบบลามิเนตสมมาตร ภาคผนวก ข แสดงบทความที่ได้รับการตีพิมพ์ซึ่งมีเนื้อหาเป็นส่วนหนึ่งในวิทยานิพนธ์นี้

ศูนย์วิทยุทรัพยากร  
จุฬาลงกรณ์มหาวิทยาลัย

## บทที่ 2

### ปริทัศน์วรรณกรรม

วิทยานิพนธ์นี้ศึกษาพฤติกรรมการโก่งงอและการสันตะเทือนของโครงสร้างแผ่นบางรูปสี่เหลี่ยมผืนผ้าโดยวิธีเชิงตัวเลขด้วยระเบียบวิธีแคนโทโรวิช เนื้อหาโดยรวมเกี่ยวข้องกับสองหัวข้อคือการโก่งงอและการสันตะเทือนของโครงสร้างแผ่นบางรูปสี่เหลี่ยมผืนผ้า ดังนั้นเนื้อหาในบทนี้จะกล่าวถึงงานวิจัยในอดีตที่เกี่ยวข้องกับหัวข้อทั้งสองของวิทยานิพนธ์นี้ โดยแบ่งกลุ่มของงานวิจัยเป็นสองกลุ่มคืองานวิจัยที่เกี่ยวข้องกับการหาค่าภาวะการโก่งงอของโครงสร้างแผ่นบางรูปสี่เหลี่ยมผืนผ้าและงานวิจัยที่เกี่ยวข้องกับปัญหาการสันตะเทือนของโครงสร้างแผ่นบางรูปสี่เหลี่ยมผืนผ้า โดยงานวิจัยในอดีตที่จะกล่าวถึงทั้งสองส่วนจะเน้นการศึกษาด้วยวิธีเชิงตัวเลข

#### 2.1 งานวิจัยที่เกี่ยวข้องกับปัญหาการโก่งงอของโครงสร้างแผ่นบางรูปสี่เหลี่ยมผืนผ้า

จากอดีตจนถึงปัจจุบันมีการศึกษาพฤติกรรมการโก่งงอของโครงสร้างแผ่นบางอย่างกว้างขวาง การหาค่าภาวะการโก่งงอของโครงสร้างแผ่นบางสามารถทำได้โดยวิธีการทดลอง วิธีการวิเคราะห์ หรือวิธีการเชิงตัวเลข ในปี 1988 Iyengar [1] แสดงวิธีการคำนวณหาค่าภาวะการโก่งงอและรูปร่างการโก่งงอของแผ่นคอมโพสิตบางโดยวิธีการวิเคราะห์ ซึ่งวิธีนี้มีข้อจำกัดคือชิ้นงานต้องเป็นแผ่นคอมโพสิตบางแบบลามิเนตสมมาตรที่มีการวางตัวของเส้นใยแบบ  $0^\circ$  หรือ  $90^\circ$  ภายใต้เงื่อนไขขอบเขตการจับยึดแบบง่ายทั้งสี่ด้านเท่านั้น จึงจะสามารถหาผลเฉลยแม่นยำที่อยู่ในรูป closed form ได้ แต่ถ้ามีการจับยึดแบบยึดแน่นหรือแบบปลายอิสระร่วมอยู่ด้วยหรือมีการวางตัวของเส้นใยในมุมใด ๆ จะไม่สามารถหาคำตอบโดยวิธีวิเคราะห์ได้ ต้องใช้วิธีการทดลองหรือเทคนิควิธีการเชิงตัวเลขในการประมาณค่าภาวะการโก่งงอ

ในปี 1994 งานวิจัยของ Chai [3] ได้ศึกษาพฤติกรรมการโก่งงอของแผ่นคอมโพสิตบางรูปสี่เหลี่ยมผืนผ้าที่มีลำดับชั้นการวางตัวของเส้นใย (stacking sequence) แบบต่าง ๆ ที่ความหนาของแผ่นแตกต่างกัน ภายใต้เงื่อนไขขอบเขตการจับยึดสามแบบ คือ จับยึดแบบง่ายทั้งสี่ด้าน (SSSS) จับยึดแบบยึดแน่นทั้งสี่ด้าน (CCCC) และจับยึดแบบยึดแน่นสองด้านและจับยึดแบบง่ายอีกสองด้าน (CSCS) การศึกษานี้หาค่าภาวะการโก่งงอจากวิธีเชิงตัวเลขด้วยระเบียบวิธีริทซ์ (Ritz Method) โดยใช้ฟังก์ชันไซน์ (sine function) เป็นฟังก์ชันการเคลื่อนที่นอกระนาบ (out-of-plane displacement) ใช้จำนวนพจน์ในการคำนวณเท่ากับ 144 พจน์ และแบ่งการศึกษาเป็นสองส่วน

คือส่วนแรกศึกษาที่กรณีเงื่อนไขการจับยึดแบบง่ายทั้งสี่ด้านภายใต้ภาระกดในแนวระนาบทั้งแบบแกนเดียว (axial load) และแบบสองแกน (biaxial load) โดยชิ้นงานที่ศึกษาเป็นแผ่นคอมโพสิตบางแบบลามิเนตไม่สมมาตรและมีการวางตัวของเส้นใยในมุมใด ๆ (Antisymmetric angle-ply) แตกต่างกันไปทั้งหมด 18 มุม เริ่มตั้งแต่มุม  $0^\circ$  ถึง  $90^\circ$  โดยเพิ่มมุมทีละ  $5^\circ$  จำนวนชั้นลามิเนตแตกต่างกันสามแบบ คือ 2 6 และ 20 ชั้น นำค่าภาระการโก่งงอที่ได้จากการศึกษามาเปรียบเทียบกับค่าภาระการโก่งงอที่หาจากผลเฉลยแม่นยำ พบว่าที่จำนวนชั้นลามิเนตเท่ากับ 2 ชั้น ค่าภาระการโก่งงอที่ได้จากระเบียบวิธีวิธีเมื่อเทียบกับผลเฉลยแม่นยำมีค่าค่อนข้างต่างกัน แต่ที่จำนวนชั้นลามิเนตเท่ากับ 6 และ 20 ชั้น ค่าภาระการโก่งงอที่ได้มีค่าใกล้เคียงกัน ส่วนที่สองเป็นการหาค่าภาระการโก่งงอของแผ่นคอมโพสิตบางที่เงื่อนไขขอบเขตการจับยึดแบบยึดแน่นทั้งสี่ด้านและการจับยึดแบบยึดแน่นสองด้านและจับยึดแบบง่ายอีกสองด้านภายใต้ภาระกดในแนวระนาบแบบแกนเดียว โดยเปรียบเทียบค่าภาระการโก่งงอที่ได้จากระเบียบวิธีวิธีกับผลการศึกษาในอดีตของ Ashton และ Love [4] พบว่า ความแตกต่างของค่าภาระการโก่งงอทั้งสองวิธีอยู่ในช่วง -0.21 ถึง +0.15 เปอร์เซ็นต์

ต่อมาในปี 1999 Tuttle และคณะ [5] นำเสนอผลการศึกษาการโก่งงอของแผ่นคอมโพสิตบางรูปสี่เหลี่ยมพื้นผ้าแบบลามิเนตสมมาตรที่มีการวางตัวของเส้นใยทั้งหมด 4 แบบ คือ  $[0]_8$ ,  $[0/90]_{2S}$ ,  $[45]_8$  และ  $[\pm 45]_{2S}$  และมีขนาดสัดส่วนแตกต่างกันสามขนาดสัดส่วน คือ 1.0 1.5 และ 2.0 ภายใต้เงื่อนไขขอบเขตการจับยึดแบบง่ายทั้งสี่ด้าน โดยการโก่งงอของแผ่นคอมโพสิตบางที่ศึกษาด้วยวิธีการทดลองเกิดจากภาระกดในแนวขวางและมีภาระตั้งขนาดคงที่ในทิศทางตั้งฉาก ค่าภาระการโก่งงอได้จากกราฟความสัมพันธ์ระหว่างภาระที่กระทำต่อชิ้นงานกับระยะการเคลื่อนที่นอกกระนาบ โหมดการโก่งงอและค่าภาระการโก่งงอที่ได้จากการทดลองถูกนำไปเปรียบเทียบกับผลที่ได้จากวิธีเชิงตัวเลขด้วยวิธีกาลิเคอ (Galerkin Method) พบว่า จากการทดลองทั้งหมด 51 การทดลองมีเพียงกรณีเดียวที่โหมดการโก่งงอของทั้งสองวิธีไม่ตรงกันซึ่งสันนิษฐานว่า อาจเกิดจากความไม่สมบูรณ์ของแผ่นคอมโพสิต ภาระกระทำ หรือเงื่อนไขขอบเขตการจับยึดในการทดลอง และค่าภาระการโก่งงอจากทั้งสองวิธีมีความคลาดเคลื่อนเฉลี่ยเท่ากับ 1.61 เปอร์เซ็นต์ ส่วนเบี่ยงเบนมาตรฐานเท่ากับ 15.4 เปอร์เซ็นต์

ในปี 2004 Darvizeh และคณะ [6] ศึกษาพฤติกรรมกรรมการโก่งงอของแผ่นคอมโพสิตบางรูปสี่เหลี่ยมพื้นผ้าที่มีคุณสมบัติแตกต่างกันสองแบบคือ แผ่นคอมโพสิตไม่สมมาตรและมีการวางตัวของเส้นใยในมุมใด ๆ และแผ่นคอมโพสิตแบบสมมาตรและมีการวางตัวของเส้นใยในมุมใด ๆ (Symmetric angle-ply) โดยหาค่าภาระการโก่งงอจากวิธีเชิงตัวเลขด้วยวิธี Generalized

Differential Quadrature Rule (GDQR) แบ่งการศึกษาออกเป็นสองส่วนคือ ส่วนแรกหาค่าภาวะการโก่งงอของแผ่นคอมโพสิตบางแบบไม่สมมาตรและมีการวางตัวของเส้นใยในมุมใด ๆ ที่เงื่อนไขขอบเขตการจับยึดแบบง่ายทั้งสี่ด้าน ภายใต้ภาวะกดในแนวระนาบทั้งแบบแกนเดียวและแบบสองแกน นำค่าภาวะการโก่งงอที่ได้จากการศึกษาเปรียบเทียบกับค่าภาวะการโก่งงอที่หาจากระเบียบวิธีวิธิตั้งและจากผลเฉลยแม่นยำ ผลการเปรียบเทียบพบว่าค่าภาวะการโก่งงอที่ได้จากทั้งสามวิธีมีค่าใกล้เคียงกัน ส่วนที่สองหาค่าภาวะการโก่งงอของแผ่นคอมโพสิตบางแบบสมมาตรและมีการวางตัวของเส้นใยในมุมใด ๆ ที่เงื่อนไขขอบเขตการจับยึดแบบยึดแน่นทั้งสี่ด้าน ภายใต้ภาวะกดในแนวระนาบแบบแกนเดียว โดยเปรียบเทียบค่าภาวะการโก่งงอที่ได้จากการศึกษากับค่าภาวะการโก่งงอที่หาจากระเบียบวิธีวิธิตั้ง พบว่า ค่าภาวะการโก่งงอที่ได้จากทั้งสองวิธีมีค่าใกล้เคียงกัน

จากงานวิจัยที่กล่าวมาข้างต้นเป็นแก้ปัญหาการโก่งงอของโครงสร้างแผ่นบางโดยวิธีเชิงตัวเลขด้วยระเบียบวิธีต่าง ๆ กัน พบว่าค่าภาวะการโก่งงอจากการประมาณค่าของแต่ละวิธีถือว่ามี ความน่าเชื่อถือ เพราะเมื่อนำค่าภาวะการโก่งงอที่ประมาณค่าได้ไปเปรียบเทียบกับผลการศึกษาในอดีตพบว่ามีค่าใกล้เคียงกัน ส่วนการแก้ปัญหาการโก่งงอของโครงสร้างแผ่นบางด้วยระเบียบวิธี แคนโทโรวิชซึ่งเป็นระเบียบวิธีเชิงตัวเลขที่ใช้ในวิทยานิพนธ์นี้ มีความแตกต่างจากระเบียบวิธีเชิงตัวเลขแบบอื่น ๆ กล่าวคือ ระเบียบวิธีนี้แก้ปัญหาจากสมการครอบคลุมโดยตรง เริ่มจากสมมุติ คำตอบของสมการให้อยู่ในรูปผลคูณของฟังก์ชันที่เป็นฟังก์ชันของคำตอบนั้น จากนั้นสมมุติให้ ทราบฟังก์ชันในทิศใดทิศหนึ่งแล้วใช้หลักการการแปรผันของพลังงานศักย์รวมต่ำสุด (variational principle minimum total potential energy) ทำให้สมการครอบคลุมที่ได้ลดรูปจากสมการเชิงอนุพันธ์ย่อยเป็นสมการเชิงอนุพันธ์สามัญและเงื่อนไขขอบเขตการจับยึด ซึ่งวิธีการนี้ถือว่าเป็น semi-analytical method โดยปัญหาที่ได้จะอยู่ในรูปแบบของปัญหาค่าเจาะจง (eigenvalue problem) และการแก้สมการต้องอาศัยการทำซ้ำ (iterative procedure) เพื่อให้ค่าเจาะจงมีค่าลู่เข้า ดังนั้นจึงกล่าวได้ว่าผลเฉลยที่ได้จากระเบียบวิธีแคนโทโรวิชเป็นผลเฉลยแม่นยำ และ เนื่องจากการหาผลเฉลยต้องอาศัยกระบวนการการทำซ้ำเพราะฉะนั้นข้อได้เปรียบอีกอย่างหนึ่ง สำหรับการแก้ปัญหาด้วยระเบียบวิธีแคนโทโรวิชคือ ฟังก์ชันเริ่มต้นที่สมมุติให้ทราบค่าในการ คำนวณครั้งแรกไม่จำเป็นต้องสอดคล้องกับเงื่อนไขขอบเขตการจับยึดของชิ้นงาน โดย Kerr [7] เป็นคนแรกที่ประสบความสำเร็จในการประยุกต์ใช้ระเบียบวิธีแคนโทโรวิชสำหรับแก้ปัญหาการดัด (bending) และปัญหาการโก่งงอของโครงสร้างแผ่นบางรูปสี่เหลี่ยมผืนผ้าที่มีคุณสมบัติทางกลของ วัสดุเป็นแบบไอโซโทรปิก (Isotropic) งานวิจัยในอดีตที่เกี่ยวข้องกับการแก้ปัญหาการโก่งงอด้วย ระเบียบวิธีแคนโทโรวิชมีดังต่อไปนี้

ในปี 1998 Yuan และ Jin [8] ศึกษาการแก้ปัญหาค่าการโก่งงอของโครงสร้างแผ่นบางด้วยระเบียบวิธีแคนโทโรวิชโดยใช้จำนวนพจน์ในการสมมุติค่าฟังก์ชันเริ่มต้นตั้งแต่ 1 ถึง 4 พจน์ โครงสร้างแผ่นบางที่ศึกษามีคุณสมบัติทางกลของวัสดุเป็นแบบไอโซโทรปีครึ่งภาระในแนวระนาบสองแบบ โดยแบบแรกรับภาระแบบกดทั้งแบบแกนเดียวและแบบสองแกน ที่เงื่อนไขขอบเขตการจับยึดทั้งหมดเจ็ดแบบคือ SSSS, SFSS, SCSF, SCSC, SFSF, CCCC และ CCCF และแบบที่สองคือรับภาระแบบภาระเฉือน มีเงื่อนไขขอบเขตการจับยึดสองแบบคือ SSSS และ CCCC จากนั้นนำผลการศึกษาที่ได้มาเปรียบเทียบกับค่าการโก่งงอที่หาจากระเบียบวิธีไฟไนต์อีลิเมนต์ (Finite Element Method) ผลการเปรียบเทียบพบว่าสำหรับโครงสร้างแผ่นบางที่รับภาระกดในแนวระนาบแบบแกนเดียวและแบบสองแกน ที่เงื่อนไขขอบเขตการจับยึดแบบ SSSS, SFSS, SCSF, SCSC และ SFSF ค่าการโก่งงอที่หาได้เมื่อใช้จำนวนพจน์ในการสมมุติค่าฟังก์ชันเริ่มต้นในระเบียบวิธีแคนโทโรวิชที่ 1 พจน์และ 2 พจน์มีค่าแตกต่างกันสูงสุด 0.0005 เปอร์เซ็นต์ ส่วนเงื่อนไขการจับยึดแบบ CCCC และ CCCF ค่าการโก่งงอจะมีค่าลู่เข้าใกล้เคียงกับค่าการโก่งงอที่ได้จากระเบียบวิธีไฟไนต์อีลิเมนต์เมื่อจำนวนพจน์ที่ใช้ในการสมมุติค่าฟังก์ชันเริ่มต้นในระเบียบวิธีแคนโทโรวิชตั้งแต่ 2 พจน์ขึ้นไป ทางด้านโครงสร้างแผ่นบางที่รับภาระในแนวระนาบแบบเฉือนทั้งสองเงื่อนไขขอบเขตการจับยึดพบว่า ค่าการโก่งงอจะมีค่าลู่เข้าใกล้เคียงกับค่าการโก่งงอที่ได้จากระเบียบวิธีไฟไนต์อีลิเมนต์เมื่อจำนวนพจน์ที่ใช้ในการสมมุติค่าฟังก์ชันเริ่มต้นในระเบียบวิธีแคนโทโรวิชตั้งแต่ 3 พจน์ขึ้นไป

ในปี 2006 Ungbhakorn และ Singhatanadgid [9] นำเสนอผลการศึกษาค่าการโก่งงอของแผ่นคอมโพสิตบางแบบลามิเนตสมมาตรที่มีการวางตัวของเส้นใยแบบ  $0^\circ$  หรือ  $90^\circ$  พิจารณาเงื่อนไขขอบเขตในกรณีทางด้านใดด้านหนึ่งหรือหลาย ๆ ด้านมีการจับยึดชิ้นงานผสมกันระหว่างการจับยึดแบบง่าย แบบยึดแน่น หรือแบบอิสระทั้งหมดเจ็ดแบบคือ SSSF, SCSF, SCSC, CCCC, CCCF, CSSC และ CSCS ด้วยระเบียบวิธีแคนโทโรวิชโดยใช้จำนวนพจน์ในการสมมุติค่าฟังก์ชันเริ่มต้นเท่ากับ 1 พจน์ ภายใต้ภาระกดในแนวระนาบแบบแกนเดียว แบ่งการศึกษาออกเป็นสี่ส่วนคือ ส่วนแรกเปรียบเทียบค่าการโก่งงอที่ได้จากระเบียบวิธีแคนโทโรวิชกับวิธี Levy Solution [10] ที่เงื่อนไขการจับยึดแบบ SSSF, SCSF และ SCSC ขนาดสัดส่วนของชิ้นงานทั้งหมด 10 ขนาด เริ่มตั้งแต่ 0.5 ถึง 5.0 โดยเพิ่มทีละ 0.5 ผลการเปรียบเทียบพบว่า ค่าการโก่งงอจากทั้งสองวิธีมีค่าแตกต่างกันสูงสุด 0.01 เปอร์เซ็นต์ ส่วนที่สองเปรียบเทียบค่าการโก่งงอที่ได้จากระเบียบวิธีแคนโทโรวิชกับระเบียบวิธีรีทซ์จากงานวิจัยของ Chai [3] ที่เงื่อนไขการจับยึดแบบ CCCC และ CSCS ผลการเปรียบเทียบพบว่า ค่าการโก่งงอจากทั้ง



สองวิธีมีค่าแตกต่างกันในช่วง 0.55 ถึง 0.60 เปอร์เซ็นต์ ส่วนที่สามศึกษาจำนวนรอบการทำซ้ำในระเบียบวิธีแคนโทโรวิชที่ทำให้ผลเฉลยมีค่าลู่เข้า ของเงื่อนไขขอบเขตการจับยึดแบบต่าง ๆ ทั้งหมด เจ็ดแบบ พบว่าโครงสร้างที่มีเงื่อนไขขอบเขตการจับยึดแบบ SSSF, SCSF และ SCSC ต้องการจำนวนรอบการทำซ้ำเพียงรอบเดียว ส่วนเงื่อนไขขอบเขตการจับยึดแบบ CCCC, CCCF, CSSC และ CSCS ต้องการจำนวนรอบการทำซ้ำสามรอบ และส่วนที่สี่นำเสนอค่าภาระการโก่งงอของเงื่อนไขขอบเขตการจับยึดแบบ CCCF, CSSC และ CSCS ที่ขนาดสัดส่วนของชิ้นงานทั้งหมด 10 ขนาด เริ่มตั้งแต่ 0.5 ถึง 5.0 โดยเพิ่มทีละ 0.5 และมีลำดับชั้นการวางตัวของเส้นใย 2 แบบคือ  $[0]_8$  และ  $[0/90]_{2s}$

ในปี 2008 งานวิจัยของ Shufrin และคณะ [11] ได้ศึกษาการแก้ปัญหาภาระการโก่งงอของโครงสร้างแผ่นบางด้วยระเบียบวิธีแคนโทโรวิชโดยใช้จำนวนพจน์ในการสมมติค่าฟังก์ชันเริ่มต้นเท่ากับหรือมากกว่า 1 พจน์ แบ่งการศึกษาออกเป็นสามส่วนคือ ส่วนแรกศึกษาการหาค่าภาระการโก่งงอของแผ่นคอมโพสิตบางแบบสมมาตรที่มีการวางตัวของเส้นใยแบบ  $0^\circ$  หรือ  $90^\circ$  ที่เงื่อนไขขอบเขตการจับยึดแบบ CSSC และ CCCF ภายใต้ภาระกดในแนวระนาบแบบแกนเดียว โดยใช้จำนวนพจน์ในการสมมติค่าฟังก์ชันเริ่มต้นเท่ากับ 2 และ 3 พจน์ เปรียบเทียบค่าภาระการโก่งงอที่ได้ออกมาจากการศึกษาในอดีตของ Ungbhakorn และ Singhatanadgid [9] พบว่า ค่าภาระการโก่งงอที่ได้จากการใช้จำนวนพจน์ในการสมมติค่าฟังก์ชันเริ่มต้นเท่ากับ 1 2 และ 3 พจน์ ของทั้งสองเงื่อนไขมีค่าใกล้เคียงกัน และเมื่อนำค่าภาระการโก่งงอที่ได้จากการสมมติค่าฟังก์ชันเริ่มต้นเท่ากับ 3 พจน์ เปรียบเทียบกับค่าภาระการโก่งงอที่คำนวณด้วยระเบียบวิธีไฟไนต์อีลิเมนต์ พบว่ากรณีเงื่อนไขขอบเขตการจับยึดแบบ CSSC มีค่าความแตกต่างอยู่ในช่วง  $-0.08$  ถึง  $+0.18$  เปอร์เซ็นต์และกรณีเงื่อนไขขอบเขตการจับยึดแบบ CCCF มีค่าความแตกต่างอยู่ในช่วง  $-0.19$  ถึง  $+0.33$  เปอร์เซ็นต์ ส่วนที่สองศึกษาผลของจำนวนพจน์ในการสมมติค่าฟังก์ชันเริ่มต้นในระเบียบวิธีแคนโทโรวิชต่อค่าภาระการโก่งงอของโครงสร้างแผ่นบางที่มีการวางตัวของเส้นใยในมุมใด ๆ โดยใช้จำนวนพจน์ในการสมมติค่าฟังก์ชันเริ่มต้นตั้งแต่ 1 ถึง 8 พจน์ พิจารณาเงื่อนไขขอบเขตการจับยึดสองแบบ คือ การจับยึดแบบง่ายทั้งสี่ด้านที่มีการวางตัวของเส้นใยแบบ  $30^\circ$  และการจับยึดแบบยึดแน่นทั้งสี่ด้านที่มีการวางตัวของเส้นใยแบบ  $45^\circ$  พบว่า ค่าภาระการโก่งงอที่ได้จากการใช้จำนวนพจน์เท่ากับ 2 จะมีค่าแตกต่างกับการใช้เพียงพจน์เดียวค่อนข้างมากและมีค่าเริ่มลู่เข้าสู่ผลเฉลยที่ได้จากระเบียบวิธี Finite Strip Method เมื่อนำค่าภาระการโก่งงอของเงื่อนไขการจับยึดแบบง่ายทั้งสี่ด้านและการจับยึดแบบยึดแน่นทั้งสี่ด้านมาเปรียบเทียบกับค่าภาระการโก่งงอที่ได้จากระเบียบวิธี Finite Strip Method พบว่าที่การสมมติค่าฟังก์ชันเริ่มต้นเท่ากับ 1 พจน์ ค่าภาระ

การโก่งงอมีค่าแตกต่างกันถึง 48.672 และ 74.924 เปอร์เซนต์ ตามลำดับ แต่เมื่อเปรียบเทียบที่ การสมมุติค่าฟังก์ชันเริ่มต้นเท่ากับ 5 พจน์ พบว่า ค่าภาระการโก่งงอมีค่าแตกต่างกันน้อยลงมาก คือ 0.155 และ -0.015 เปอร์เซนต์ ตามลำดับ ส่วนที่สามเสนอผลการคำนวณหาค่าภาระการโก่งงอของโครงสร้างแผ่นบางที่มีการวางตัวของเส้นใยแบบ  $0^\circ$  หรือ  $90^\circ$  และในมุมใด ๆ โดยใช้ จำนวนพจน์ในการสมมุติค่าฟังก์ชันเริ่มต้นในระเบียบวิธีแคนโทโรวิชเท่ากับ 6 พจน์ ที่เงื่อนไข ขอบเขตการจับยึดแบบต่าง ๆ ทั้งหมด 8 แบบ ภายใต้ภาระกดในแนวระนาบทั้งแบบแกนเดียว แบบสองแกนและแบบเฉือน

## 2.2 งานวิจัยที่เกี่ยวข้องกับปัญหาการสั่นสะเทือนของโครงสร้างแผ่นบางรูปสี่เหลี่ยมผืนผ้า

การศึกษาพฤติกรรมการสั่นสะเทือนของโครงสร้างแผ่นบางเป็นอีกหัวข้อหนึ่งที่มีการศึกษากันอย่างกว้างขวาง โดยมีงานวิจัยที่สำคัญและเกี่ยวข้องกับวิทยานิพนธ์นี้ดังต่อไปนี้

การศึกษาของ Leissa [12] ถือเป็นการศึกษาที่เกี่ยวข้องกับการสั่นสะเทือนของโครงสร้างแผ่นบางในช่วงต้น ๆ โดย Leissa ศึกษาการสั่นสะเทือนแบบอิสระของโครงสร้างแผ่นบางที่มีคุณสมบัติเป็นไอโซโทรปิก ภายใต้สมมุติฐานทฤษฎีแผ่นบาง (Thin Plate Theory) โดยรูปร่างของแผ่นบางที่ศึกษา ได้แก่ รูปวงกลม รูปวงรี รูปสี่เหลี่ยมผืนผ้า รูปสี่เหลี่ยมด้านขนาน และรูปสามเหลี่ยม ที่เงื่อนไขขอบเขตการจับยึดแบบด้านใดด้านหนึ่งหรือหลาย ๆ ด้านมีการจับยึดชิ้นงานผสมกัน ระหว่างการจับยึดแบบง่าย แบบยึดแน่น หรือแบบอิสระ ทั้งหมด 21 แบบ ในการศึกษาการสั่นสะเทือนของแผ่นบางรูปสี่เหลี่ยมผืนผ้าจะหาค่าความถี่ธรรมชาติในรูปของผลเฉลยเจาะจง (eigenvalue solution) และรูปร่างการสั่นสะเทือนโดยวิธีการวิเคราะห์หาค่าครอปกคลุมร่วมกับวิธีการเชิงตัวเลขเพื่อลดรูปสมการและขั้นตอนในการคำนวณ นอกจากนี้ยังได้เสนอแนวทางการวิเคราะห์เบื้องต้นสำหรับปัญหาการสั่นสะเทือนของโครงสร้างแผ่นบางที่มีความซับซ้อนของสมการครอปกคลุมเช่น โครงสร้างแผ่นบางที่มีคุณสมบัติเป็นแอนไอโซโทรปิก โครงสร้างแผ่นบางที่รับภาระในแนวระนาบ และโครงสร้างแผ่นบางที่มีความหนาตลอดทั้งแผ่นไม่คงที่

นอกจากการศึกษาของ Leissa ในปี 1969 แล้ว ผลการศึกษาที่สำคัญและถูกใช้อ้างอิงในปัญหาการสั่นสะเทือนของโครงสร้างแผ่นบางอยู่บ่อย ๆ คืองานวิจัยของ Gorman [13] งานวิจัยดังกล่าวศึกษาการสั่นสะเทือนแบบอิสระของโครงสร้างแผ่นบางรูปสี่เหลี่ยมผืนผ้าที่มีคุณสมบัติเป็นไอโซโทรปิก ภายใต้สมมุติฐานทฤษฎีแผ่นบาง โดยนำเสนอผลเฉลยของโครงสร้างที่มีการจับยึดแบบจุด (point support) ด้วยวิธีการวิเคราะห์หาค่าครอปกคลุมโดยใช้หลักการ superposition ผลการวิเคราะห์ได้นำเสนอในรูปผลเฉลยค่าเจาะจง ซึ่งมีจำนวนหลายค่าและแสดงในรูปแบบ

ตารางพร้อมทั้งรูปร่างการสันสะเทือนตามเงื่อนไขขอบเขตการจับยึด ที่การจับยึดแบบด้านใดด้านหนึ่งหรือหลาย ๆ ด้านมีการจับยึดขึ้นงานผสมกันระหว่างการจับยึดแบบง่าย แบบยึดแน่น หรือแบบอิสระ ทั้งหมด 21 แบบ เช่นเดียวกับการวิจัยของ Leissa [12] และการจับยึดแบบอื่น ๆ เพิ่มเติมอีก 12 กรณี รวมขอบเขตการจับยึดทั้งหมดจำนวน 33 แบบ

ในปี 2007 Aydogdo และ Timarci [14] ศึกษาการสันสะเทือนของแผ่นคอมโพสิตทางแบบลามิเนตไม่สมมาตรที่การวางตัวของเส้นใยในมุมใด ๆ ตั้งแต่  $0^\circ$  ถึง  $90^\circ$  ที่เงื่อนไขขอบเขตการจับยึดกรณีที่สองด้านคู่ติดกันจับยึดแบบปลายอิสระ ส่วนด้านที่เหลือผสมกันระหว่างการจับยึดแบบง่าย แบบยึดแน่น หรือแบบปลายอิสระ มีเงื่อนไขขอบเขตที่ศึกษาทั้งหมดหกแบบคือ CCFF, SSFF, FFFF, CSFF, SFFF และ CFFF ในการศึกษานี้หาค่าภาวะการโก่งงอจากวิธีเชิงตัวเลขด้วยระเบียบวิธีวิธีที่ใช้จำนวนพจน์ในการคำนวณเท่ากับ 108 พจน์ แบ่งการศึกษาออกเป็นสามส่วนคือ ส่วนแรกหาค่าพารามิเตอร์ความถี่ (frequency parameter) ของแผ่นทดลองที่เงื่อนไขขอบเขตการจับยึดแบบอิสระทั้งสี่ด้าน จำนวนชั้นลามิเนตเท่ากับ 2 และ 10 ชั้น มีการวางตัวของเส้นใยแบบ  $[\theta/-\theta]$  และ  $[\theta/-\theta]_5$  ตามลำดับ ที่มุม  $0^\circ$   $15^\circ$   $30^\circ$  และ  $45^\circ$  เปรียบเทียบผลที่ได้กับผลการทดลองของ Messina และ Soldatos [15] พบว่าค่าพารามิเตอร์ความถี่มีค่าเท่ากัน ส่วนที่สองศึกษาผลของจำนวนชั้นลามิเนตที่การวางตัวของเส้นใยในมุมใด ๆ ต่อค่าพารามิเตอร์ความถี่ โดยศึกษาการสันสะเทือนที่โหมดแรกของแผ่นทดลอง จำนวนชั้นลามิเนตเท่ากับ 4 และ 10 ชั้น มีการวางตัวของเส้นใยแบบ  $[\theta/-\theta]_2$  และ  $[\theta/-\theta]_5$  ตามลำดับ โดยเงื่อนไขขอบเขตการจับยึดแบบ CCFF, SSFF และ FFFF ศึกษาที่มุม  $0^\circ$   $15^\circ$   $30^\circ$  และ  $45^\circ$  ส่วนการจับยึดแบบ CSFF, SFFF และ CFFF ศึกษาตั้งแต่มุม  $0^\circ$  ถึง  $90^\circ$  โดยเพิ่มมุมทีละ  $15^\circ$  จากการศึกษาพบว่าค่าพารามิเตอร์ความถี่สูงสุดเกิดขึ้นที่มุม  $45^\circ$  ทุกเงื่อนไขขอบเขตการจับยึดยกเว้นเงื่อนไขการจับยึดแบบ CSFF ซึ่งค่าพารามิเตอร์ความถี่สูงสุดที่มุม  $30^\circ$  และเงื่อนไขการจับยึดแบบ CFFF จะมีค่าพารามิเตอร์ความถี่สูงสุดที่มุม  $0^\circ$  โดยการเพิ่มจำนวนชั้นลามิเนตของทุกเงื่อนไขขอบเขตการจับยึดจะไม่มีต่อค่าพารามิเตอร์ความถี่ที่มุม  $0^\circ$  และ  $90^\circ$  แต่ที่มุมใด ๆ ค่าพารามิเตอร์ความถี่จะมีค่ามากขึ้นตามจำนวนชั้นที่เพิ่มขึ้น ส่วนที่สามศึกษาค่าพารามิเตอร์ความถี่ของการวางตัวของเส้นใยในมุมใด ๆ ของการสันสะเทือนสี่โหมดแรก โดยใช้จำนวนชั้นลามิเนตเท่ากับ 2 ชั้น การวางตัวของเส้นใยแบบ  $[\theta/-\theta]$  เงื่อนไขขอบเขตการจับยึดและมุมที่ศึกษาเหมือนกับในส่วนที่สอง จากการศึกษาพบว่าที่โหมดการสันสะเทือนสูง ๆ ค่าพารามิเตอร์ความถี่จะมีค่าสูงสุดที่มุมการวางตัวของเส้นใยในมุมใด ๆ และที่การสันสะเทือนในโหมดที่สี่ ค่าพารามิเตอร์ความถี่มีค่าสูงสุดที่มุม  $45^\circ$  ทุกเงื่อนไขขอบเขตการจับยึด ยกเว้นเงื่อนไขการจับยึดแบบ CFFF จะมีค่าพารามิเตอร์ความถี่สูงสุดที่มุม  $15^\circ$

สำหรับการแก้ปัญหาการสั่นสะเทือนด้วยระเบียบวิธีแคนโทโรวิชสามารถสรุปได้ต่อไปในปี 1996 Bercin [16] ศึกษาการสั่นสะเทือนของโครงสร้างแผ่นบางที่มีคุณสมบัติทางกลของวัสดุเป็นแบบออร์ทอทรอปิก โดยหาค่าเจาะจงด้วยระเบียบวิธีแคนโทโรวิชโดยใช้จำนวนพจน์ในการสมมุติค่าฟังก์ชันเริ่มต้นเท่ากับ 1 พจน์ ที่เงื่อนไขขอบเขตแบบยึดแน่นทั้งสี่ด้าน แบ่งการศึกษาออกเป็นสองส่วนคือ ในส่วนแรกศึกษาจำนวนรอบการทำซ้ำในระเบียบวิธีแคนโทโรวิชที่ทำให้ค่าเจาะจงมีค่าลู่เข้าโดยพิจารณาการสั่นสะเทือนที่โหมดแรก พบว่าค่าเจาะจงจะเริ่มลู่เข้าในการทำซ้ำครั้งที่สาม และเมื่อนำค่าเจาะจงที่ลู่เข้าดังกล่าวไปเปรียบเทียบกับผลการทดลองของ Gorman [16] พบว่า มีความแตกต่างกันเท่ากับ 0.03 เปอร์เซ็นต์ ในส่วนที่สองหาค่าเจาะจงของแผ่นบางรูปสี่เหลี่ยมผืนผ้าที่ขนาดสัดส่วนของชิ้นงานเป็น 1.5 และ 2.0 นำผลการศึกษาที่ได้มาเปรียบเทียบกับผลการทดลองในอดีตของ Gorman [17] และ Marangoni [18] พบว่า ที่ขนาดสัดส่วนเท่ากับ 1.5 ค่าเจาะจงที่ได้จากการศึกษามีค่าเท่ากับผลการทดลองทั้งสองในอดีต ส่วนที่ขนาดสัดส่วนเท่ากับ 2.0 ค่าเจาะจงที่ได้จากการศึกษามีค่าเท่ากับผลการทดลองของ Marangoni แต่แตกต่างกับผลการทดลองของ Gorman โดยมีความแตกต่างเท่ากับ 0.48 เปอร์เซ็นต์

ในปี 2001 Der-Chen Chang และคณะ [19] ศึกษาการสั่นสะเทือนของโครงสร้างแผ่นบางรูปสี่เหลี่ยมผืนผ้าที่มีคุณสมบัติเป็นไอโซทรอปิกภายใต้การรับภาระในแนวระนาบ ในการศึกษาจะหาค่าความถี่ธรรมชาติ 6 โหมดแรกด้วยวิธีแคนโทโรวิชโดยใช้จำนวนพจน์ในการสมมุติค่าฟังก์ชันเริ่มต้นเท่ากับ 1 พจน์ ที่เงื่อนไขขอบเขตการจับยึดสามแบบคือ จับยึดแบบยึดแน่นทั้งสี่ด้าน (CCCC) จับยึดแบบยึดแน่นสามด้านร่วมกับแบบปลายอิสระอีกหนึ่งด้าน (CCCF) และจับยึดแบบยึดแน่นสองด้านคู่ตรงกันข้ามร่วมกับแบบปลายอิสระอีกสองด้าน (CFCF) นำผลการศึกษาที่ได้มาเปรียบเทียบกับผลที่ได้จากการคำนวณด้วยโปรแกรมนาสแทรน (NASTRAN) และผลการศึกษาในอดีตของ Farag และ Pan [20] พบว่า สำหรับเงื่อนไขขอบเขตการจับยึดแบบ CCCC มีค่าความแตกต่างมากที่สุดเท่ากับ 1.6 และ 4.6 เปอร์เซ็นต์ ตามลำดับ ส่วนในกรณีเงื่อนไขขอบเขตการจับยึดแบบ CCCF มีค่าความแตกต่างมากที่สุดเท่ากับ 3.9 และ 8.4 เปอร์เซ็นต์ ตามลำดับ กรณีเงื่อนไขขอบเขตการจับยึดแบบ CFCF เป็นเงื่อนไขขอบเขตการจับยึดที่มีค่าความถี่ธรรมชาติแตกต่างกับผลที่ใช้เปรียบเทียบมากที่สุดคือ มีค่าความแตกต่างมากที่สุดเท่ากับ 4.5 และ 12.0 เปอร์เซ็นต์ ตามลำดับ โดยคณะวิจัยคาดว่าผลกระทบของรูปร่างการสั่นสะเทือนในกรณีที่มีการจับยึดแบบปลายอิสระทำให้ค่าความถี่ธรรมชาติที่ประมาณค่าด้วยระเบียบวิธีแคนโทโรวิชมีค่าคลาดเคลื่อนเพิ่มขึ้น

จากงานวิจัยที่กล่าวมาทั้งหมดจะเห็นว่าการแก้ปัญหาการโค้งงอและการสันสະเทือนของโครงสร้างแผ่นบางด้วยวิธีเชิงตัวเลขสามารถทำได้หลายระเบียบวิธีและผลเฉลยของแต่ละระเบียบวิธีก็มีความคลาดเคลื่อนกับผลการศึกษาในอดีตที่ใช้เปรียบเทียบมาน้อยแตกต่างกันไป ระเบียบวิธีแคนโทโรวิชซึ่งใช้สำหรับการแก้ปัญหาในวิทยานิพนธ์นี้ ก็เป็นวิธีเชิงตัวเลขวิธีหนึ่งที่สามารถประมาณค่าภาระการโค้งงอและค่าความถี่ธรรมชาติของโครงสร้างแผ่นบางของปัญหาทั้งสองได้โดยข้อได้เปรียบของระเบียบวิธีนี้คือผลเฉลยที่ได้ถือเป็นผลเฉลยแม่นยำตรงเนื่องจากเป็นแก้ปัญหาจากสมการครอบคลุมโดยตรง และในการสมมุติค่าฟังก์ชันเริ่มต้นสำหรับการคำนวณครั้งแรกก็ไม่จำเป็นต้องสอดคล้องกับเงื่อนไขขอบเขตการจับยึด ซึ่งเป็นข้อได้เปรียบที่สำคัญเนื่องจากจะช่วยลดความยุ่งยากในการหาฟังก์ชันเริ่มต้นที่สอดคล้องกับเงื่อนไขขอบเขตการจับยึดที่ต้องการศึกษา

จากงานวิจัยในอดีตที่เกี่ยวข้องกับการแก้ปัญหาด้วยระเบียบวิธีแคนโทโรวิช จะเห็นว่าในส่วนของปัญหาการโค้งงอของแผ่นคอมโพสิตที่มีการวางตัวของเส้นใยในมุมใด ๆ ได้มีผู้ศึกษาโดยใช้จำนวนพจน์ที่ใช้สมมุติค่าฟังก์ชันเริ่มต้นเท่ากับหรือมากกว่า 1 พจน์ ซึ่งได้ศึกษาผลของการเพิ่มจำนวนพจน์ที่ใช้สมมุติค่าฟังก์ชันเริ่มต้นต่อค่าภาระการโค้งงอ ส่วนงานวิจัยในอดีตที่เกี่ยวข้องกับปัญหาการสันสະเทือนมีการศึกษาโดยจำนวนพจน์ที่ใช้สมมุติค่าฟังก์ชันเริ่มต้นเท่ากับ 1 พจน์ และคุณสมบัติทางกลของโครงสร้างแผ่นบางที่ศึกษาเป็นวัสดุแบบไอโซโทรปิกและอโรโทรอปิกเท่านั้น ทำให้ยังไม่ทราบถึงพฤติกรรมและข้อจำกัดในการแก้ปัญหาการสันสະเทือนของแผ่นคอมโพสิตด้วยระเบียบวิธีแคนโทโรวิชเมื่อใช้จำนวนพจน์ที่ใช้สมมุติค่าฟังก์ชันเริ่มต้นเท่ากับและมากกว่า 1 พจน์ ดังนั้นในวิทยานิพนธ์นี้จึงเน้นการศึกษาในส่วนของปัญหาการสันสະเทือนของแผ่นคอมโพสิตโดยหัวข้อที่ต้องการศึกษา ได้แก่ ศึกษาผลของจำนวนพจน์ที่เพิ่มขึ้นในการใช้สมมุติค่าฟังก์ชันเริ่มต้นสำหรับปัญหาการสันสະเทือนของแผ่นคอมโพสิตที่มีการวางตัวของเส้นใยในมุมใด ๆ ภายใต้เงื่อนไขขอบเขตการจับยึดแบบต่าง ๆ ศึกษาจำนวนสัมประสิทธิ์ของฟังก์ชันเริ่มต้นที่ใช้ในระเบียบวิธีแคนโทโรวิชที่เหมาะสมในการแก้ปัญหา ศึกษาผลกระทบของขนาดสัดส่วนของชิ้นงานและองศาการวางตัวของเส้นใยต่อพฤติกรรมการสันสະเทือนของแผ่นคอมโพสิต สำหรับปัญหาการโค้งงอของแผ่นคอมโพสิตจะศึกษาผลของการเพิ่มจำนวนพจน์ที่ใช้สมมุติค่าฟังก์ชันเริ่มต้นต่อค่าภาระการโค้งงอและรูปร่างโหมดการโค้งงอเท่านั้น โดยเปรียบเทียบกับผลการศึกษาในอดีต ทั้งนี้เพื่อให้เห็นความชัดเจนในการพิจารณาถึงข้อดีและข้อจำกัดของการแก้ปัญหาทั้งสองด้วยระเบียบวิธีแคนโทโรวิชของแผ่นคอมโพสิตที่มีการวางตัวของเส้นใยในมุมใด ๆ ภายใต้เงื่อนไขขอบเขตการจับยึดแบบต่าง ๆ และเพื่อเป็นแนวทางสำหรับการประยุกต์ใช้ระเบียบวิธีนี้ในการแก้ไขปัญหาคืออื่น ๆ ต่อไป

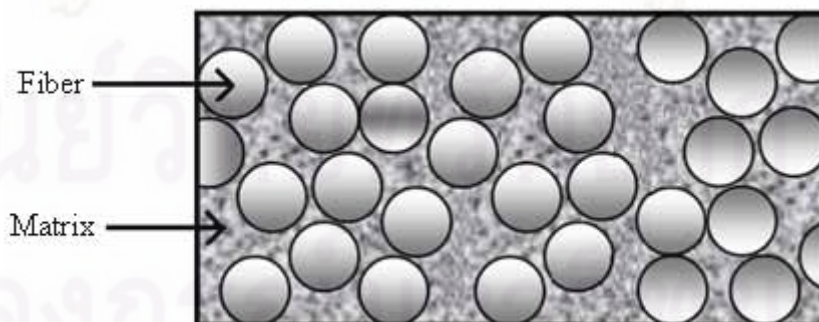
## บทที่ 3

### ทฤษฎีพื้นฐาน

วิทยานิพนธ์นี้ศึกษาพฤติกรรมการโค้งงอและการสั่นสะเทือนของแผ่นคอมโพสิตบางรูปสี่เหลี่ยมผืนผ้าซึ่งเป็นแผ่นคอมโพสิตบางแบบลามิเนตสมมาตรที่มีการวางตัวของเส้นใยในมุมใด ๆ ด้วยระเบียบวิธีแคนโทโรวิช ดังนั้นเนื้อหาของบทนี้กล่าวถึงทฤษฎีพื้นฐานของวัสดุคอมโพสิต ทฤษฎีพื้นฐานของแผ่นลามิเนตบาง สมบัติฐานของแผ่นคอมโพสิตบาง รวมถึงการหาค่าการะการโค้งงอและค่าความถี่ธรรมชาติของแผ่นคอมโพสิตบางด้วยวิธีการวิเคราะห์

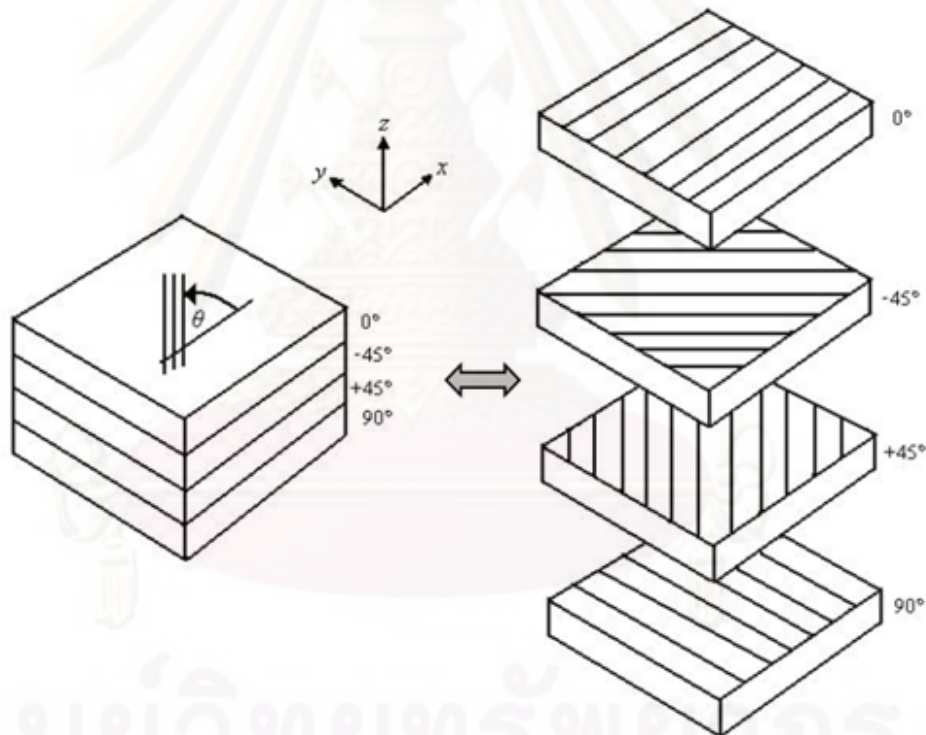
#### 3.1 พื้นฐานของวัสดุคอมโพสิต

วัสดุคอมโพสิตเกิดจากการรวมกันของวัสดุตั้งแต่สองชนิดขึ้นไป เพื่อให้ได้วัสดุที่มีคุณสมบัติทางกลดีขึ้น โดยโครงสร้างภายในของวัสดุคอมโพสิตจะประกอบด้วยสองส่วนคือ ส่วนของเส้นใย (Fiber) ทำหน้าที่รับภาระจากภายนอกที่มากระทำกับวัสดุคอมโพสิต ตัวอย่างเส้นใยที่เป็นส่วนประกอบของวัสดุคอมโพสิตคือ เส้นใยกราไฟต์ (Graphite Fiber) เส้นใยแก้ว (Glass Fiber) หรือเส้นใยโพลิเมอร์ (Polymer Fiber) เป็นต้น และส่วนที่สองคือ เมทริกซ์ (Matrix) ซึ่งเป็นส่วนที่ประสานเส้นใยให้มีรูปร่างการวางตัวที่แน่นอน ตัวอย่างเมทริกซ์ เช่น อีพอกซี (Epoxy) หรือเทอร์โมพลาสติก (Thermoplastics) ชนิดต่าง ๆ รูปที่ 3.1 แสดงภาพตัดขวางของวัสดุคอมโพสิตซึ่งประกอบด้วยส่วนของเส้นใยที่ฝังตัวอยู่ในเมทริกซ์



รูปที่ 3.1 แสดงส่วนประกอบของวัสดุคอมโพสิต

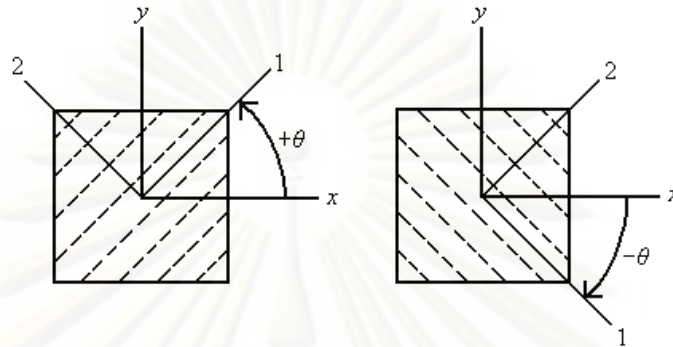
นอกจากชนิดของเส้นใยและชนิดของเมตริกซ์แล้ว ยังมีปัจจัยอื่น ๆ อีกหลายอย่างที่มีผลต่อคุณสมบัติทางกลของวัสดุคอมโพสิตทอ อาทิเช่น อัตราส่วนผสมระหว่างเส้นใยกับเมตริกซ์ ปริมาณของเส้นใย การกระจายตัวของเส้นใยและการวางตัวของเส้นใย เป็นต้น รูปที่ 3.1 แสดงวัสดุคอมโพสิตที่มีการวางตัวของเส้นใยในทิศทางเดียว (unidirectional) ซึ่งในทางปฏิบัติวัสดุคอมโพสิตจะสามารถรับภาระภายนอกที่กระทำในทิศทางเดียวกับทิศทางของเส้นใยได้ดีกว่าภาระที่กระทำในทิศทางอื่น ๆ ดังนั้นเพื่อเพิ่มความแข็งแรงให้กับแผ่นคอมโพสิตจึงนำแผ่นคอมโพสิตมาวางซ้อนกันเป็นชั้น ๆ ซึ่งเรียกว่าลามิเนต (laminate) และในแต่ละชั้นของลามิเนตเรียกว่าลามิना (lamina) หรือพาย (ply) ในรูปที่ 3.2 แสดงการเรียงตัวของลามินาในชั้นต่าง ๆ ของแผ่นคอมโพสิตโดยมีการวางตัวของเส้นใยแบบ  $[90^\circ/+45^\circ/-45^\circ/0^\circ]$



รูปที่ 3.2 การเรียงตัวของลามินาในชั้นต่าง ๆ ซึ่งทำมุม  $\theta$  กับแกน  $x$

ศูนย์วิทยุทรัพยากร  
จุฬาลงกรณ์มหาวิทยาลัย

เนื่องจากลามิनाแต่ละชั้นมีการวางตัวของเส้นใยในมุมที่แตกต่างกัน ทำให้การคำนวณหา ค่าความเค้นและความเครียดที่ตำแหน่งต่าง ๆ ของโครงสร้างแผ่นบางมีความซับซ้อนมากขึ้น ดังนั้นจึงต้องมีการกำหนดพิกัดของแผ่นคอมโพสิตให้เป็นพิกัดรวม ดังแสดงในรูปที่ 3.3



รูปที่ 3.3 เครื่องหมายของมุม  $\theta$  เมื่อเปลี่ยนพิกัดของแผ่นคอมโพสิตไปเป็นพิกัดรวม

ความสัมพันธ์ระหว่างความเค้นและความเครียดของแผ่นลามิनाในระบบพิกัดรวม สามารถเขียนได้ดังนี้

$$\begin{Bmatrix} \sigma_x \\ \sigma_y \\ \tau_{xy} \end{Bmatrix} = \begin{bmatrix} \bar{Q}_{11} & \bar{Q}_{12} & \bar{Q}_{16} \\ \bar{Q}_{12} & \bar{Q}_{22} & \bar{Q}_{26} \\ \bar{Q}_{16} & \bar{Q}_{26} & \bar{Q}_{66} \end{bmatrix} \begin{Bmatrix} \varepsilon_x \\ \varepsilon_y \\ \gamma_{xy} \end{Bmatrix} \quad (3-1)$$

โดย  $\sigma_i$  คือ ค่าความเค้นของแผ่นลามิनाในทิศ  $i$

$\varepsilon_i$  คือ ค่าความเครียดของแผ่นลามิनाในทิศ  $i$

$[\bar{Q}_{ij}]$  เรียกว่า transformed reduced stiffness matrix

ซึ่งสามารถหาได้จาก

$$\begin{aligned} \bar{Q}_{11} &= Q_{11} \cos^4 \theta + 2(Q_{12} + 2Q_{66}) \sin^2 \theta \cos^2 \theta + Q_{22} \sin^4 \theta \\ \bar{Q}_{12} &= (Q_{11} + Q_{22} - 4Q_{66}) \sin^2 \theta \cos^2 \theta + Q_{12} (\sin^4 \theta + \cos^4 \theta) \\ \bar{Q}_{16} &= (Q_{11} - Q_{12} - 2Q_{66}) \sin \theta \cos^3 \theta + (Q_{12} - Q_{22} + 2Q_{66}) \sin^3 \theta \cos \theta \\ \bar{Q}_{22} &= Q_{11} \sin^4 \theta + 2(Q_{12} + 2Q_{66}) \sin^2 \theta \cos^2 \theta + Q_{22} \cos^4 \theta \\ \bar{Q}_{26} &= (Q_{11} - Q_{12} - 2Q_{66}) \sin^3 \theta \cos \theta + (Q_{12} - Q_{22} + 2Q_{66}) \sin \theta \cos^3 \theta \\ \bar{Q}_{66} &= (Q_{11} + Q_{22} - 2Q_{12} - 2Q_{66}) \sin^2 \theta \cos^2 \theta + Q_{66} (\sin^4 \theta + \cos^4 \theta) \end{aligned}$$

(3-2)



เมื่อ  $\theta$  คือ มุมระหว่างการวางตัวเส้นใยในแต่ละชั้นของแผ่นลามิเนตเทียบกับแกน  $x$  ในระบบพิกัดรวม

$Q_{ij}$  เป็นคุณสมบัติของวัสดุซึ่งหาได้จาก

$$\begin{aligned} Q_{11} &= \frac{E_1}{1 - \nu_{12}\nu_{21}} \\ Q_{12} &= \frac{\nu_{12}E_2}{1 - \nu_{12}\nu_{21}} = \frac{\nu_{21}E_1}{1 - \nu_{12}\nu_{21}} \\ Q_{22} &= \frac{E_2}{1 - \nu_{12}\nu_{21}} \\ Q_{66} &= G_{12} \end{aligned} \quad (3-3)$$

โดย  $E_1$  คือ ค่าโมดูลัสความยืดหยุ่นในทิศตามการวางตัวของเส้นใย

$E_2$  คือ ค่าโมดูลัสความยืดหยุ่นในทิศตั้งฉากกับการวางตัวของเส้นใย

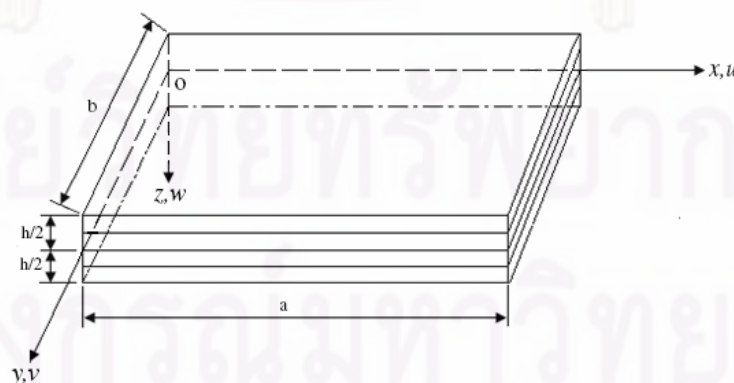
$\nu_{12}$  และ  $\nu_{21}$  คือ อัตราส่วนปัวร์ซอง

$G_{12}$  คือ ค่าโมดูลัสเฉือน

คุณสมบัติของวัสดุทั้ง 4 ค่านี้ สามารถหาได้จากการทดสอบตามมาตรฐานที่มีอยู่

### 3.2 ทฤษฎีพื้นฐานของแผ่นลามิเนตบาง

แผ่นลามิเนตบางที่ศึกษามีลักษณะดังแสดงในรูปที่ 3.4 โดยกำหนดให้การเคลื่อนที่ในทิศทาง  $x, y$  และ  $z$  เท่ากับ  $u, v$  และ  $w$  ตามลำดับ และมีระนาบ  $x-y$  เป็นระนาบในแนวราบที่อยู่กึ่งกลางความหนา  $h$  ซึ่งเรียกว่า ระนาบกึ่งกลาง (mid-plane)



รูปที่ 3.4 ระบบพิกัดของแผ่นลามิเนตบาง

สมมุติฐานเบื้องต้นที่ใช้ในการวิเคราะห์ความสัมพันธ์ของโครงสร้างแผ่นบางที่ทำจากวัสดุคอมโพสิตมีดังต่อไปนี้

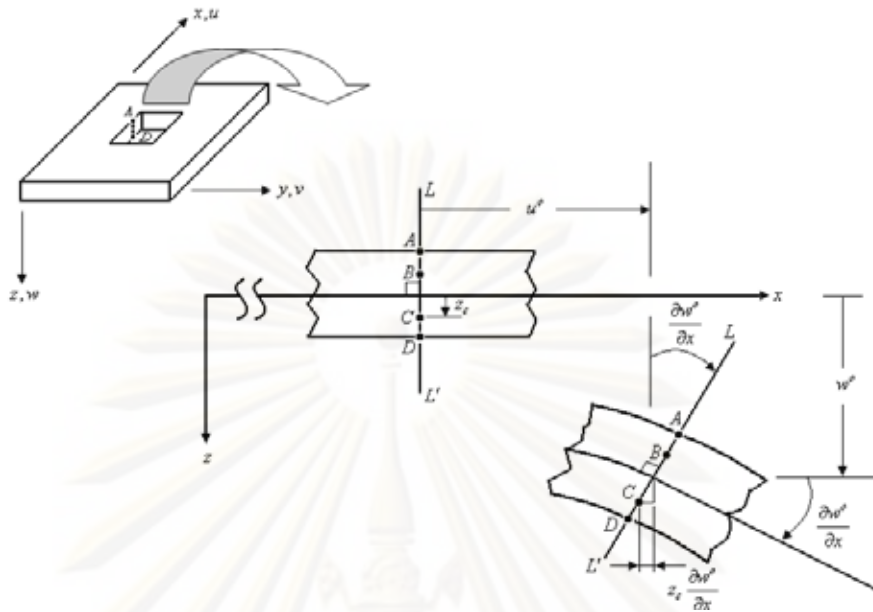
1. แผ่นบางที่ใช้ศึกษาในวิทยานิพนธ์นี้เป็นแผ่นวัสดุที่เกิดจากการนำวัสดุคอมโพสิตเส้นใยต่อเนื่องทิศทางเดียวมาเรียงกันเป็นชั้น ๆ โดยคุณสมบัติของวัสดุแต่ละชั้นอาจจะเหมือนหรือต่างกันได้
2. สมมุติให้ความหนาของแผ่นลามิเนต ( $h$ ) มีค่าน้อยมากเมื่อเทียบกับความยาวและความกว้างของแผ่นลามิเนต
3. การเคลื่อนที่ของแผ่นลามิเนต ในทิศ  $x, y$  และ  $z$  ซึ่งเขียนแทนด้วย  $u, v$  และ  $w$  ตามลำดับ มีค่าน้อยมากเมื่อเทียบกับความหนา  $h$
4. ความเครียดในระนาบ  $x-y$  ( $\varepsilon_x, \varepsilon_y, \gamma_{xy}$ ) มีค่าน้อยมากเมื่อเทียบกับ 1
5. ไม่คำนึงถึงความเครียดเฉือนนอกระนาบ หรือ  $\gamma_{xz}$  และ  $\gamma_{yz} = 0$
6. ค่าการเคลื่อนที่ในระนาบ  $u$  และ  $v$  เป็นฟังก์ชันเชิงเส้นของพิกัด  $z$
7. ไม่คำนึงถึงความเครียดในทิศทาง  $z$  ( $\varepsilon_z = 0$ ) นั่นคือความหนาของแผ่นวัสดุไม่เปลี่ยนแปลง
8. วัสดุมีพฤติกรรมตามกฎของฮุก (Hooke's Law)
9. ความหนาของแผ่นลามิเนตมีค่าคงที่ทั้งแผ่น
10. ไม่มีความเค้นเฉือน  $\tau_{xz}$  และ  $\tau_{yz}$  ที่ระยะ  $z = \pm h/2$

เมื่อมีภาระภายนอกมากระทำต่อแผ่นลามิเนต ส่งผลให้แผ่นลามิเนตเปลี่ยนรูปไปจากเดิม ตามสมมุติฐานการเปลี่ยนรูปของเคอร์ชอฟฟ์ (Kirchhoff Deformation Hypothesis) กล่าวไว้ว่า “เส้นตรงที่ตั้งฉากกับระนาบกึ่งกลางของแผ่นนั้นจะยังคงตั้งฉากอยู่แม้ว่าแผ่นนั้นจะเปลี่ยนรูปแล้วก็ตาม” ดังแสดงในรูปที่ 3.5 เมื่อพิจารณาการเปลี่ยนรูปของแผ่นในระนาบ  $x-z$  พบว่าการกระจัดที่จุด  $C$  ในทิศ  $x$  คือ

$$u = u^o - z_c \sin\left(\frac{\partial w^o}{\partial x}\right) \quad (3-4)$$

โดย  $\frac{\partial w^o}{\partial x}$  คือ มุมของเส้นตรง  $LL'$  ที่ตั้งฉากกับระนาบกึ่งกลางของแผ่นก่อนและหลังการเปลี่ยนรูปซึ่งมีค่าน้อยมาก ๆ สามารถเขียนได้ว่า

$$\sin\left(\frac{\partial w^o}{\partial x}\right) \approx \left(\frac{\partial w^o}{\partial x}\right)$$



รูปที่ 3.5 ส่วนตัดของแผ่นลามิเนตบางในระนาบ  $x-z$  เมื่อเกิดการเปลี่ยนรูป

ดังนั้นจะได้การกระจัด  $u$  ในทิศ  $x$  เท่ากับ

$$u = u' - z \frac{\partial w'}{\partial x} \quad (3-5)$$

ในทำนองเดียวกัน เมื่อพิจารณาการเปลี่ยนรูปของแผ่นในระนาบ  $y-z$  จะได้การกระจัด  $v$  ในทิศ  $y$  คือ

$$v = v' - z \frac{\partial w'}{\partial y} \quad (3-6)$$

โดย  $u', v'$  เป็นการกระจัดของระนาบกึ่งกลางในทิศ  $x$  และ  $y$  ตามลำดับ ความสัมพันธ์ระหว่างความเครียดและการกระจัด สามารถเขียนได้ในรูป

$$\varepsilon_x = \frac{\partial u}{\partial x} \quad (3-7a)$$

$$\varepsilon_y = \frac{\partial v}{\partial y} \quad (3-7b)$$

$$\gamma_{xy} = \frac{\partial u}{\partial y} + \frac{\partial v}{\partial x} \quad (3-7c)$$

เมื่อแทนค่า  $u$  และ  $v$  จากสมการ (3-5) และ (3-6) ลงในสมการ (3-7) จะได้

$$\begin{aligned}\varepsilon_x &= \frac{\partial u^o}{\partial x} - z \frac{\partial^2 w}{\partial x^2} \\ \varepsilon_y &= \frac{\partial v^o}{\partial y} - z \frac{\partial^2 w}{\partial y^2} \\ \gamma_{xy} &= \left( \frac{\partial u^o}{\partial y} - z \frac{\partial^2 w}{\partial x \partial y} \right) + \left( \frac{\partial v^o}{\partial x} - z \frac{\partial^2 w}{\partial x \partial y} \right)\end{aligned}\quad (3-8)$$

จัดรูปสมการ (3-8) ใหม่จะได้ว่า

$$\begin{aligned}\varepsilon_x &= \varepsilon_x^o + z\kappa_x \\ \varepsilon_y &= \varepsilon_y^o + z\kappa_y \\ \gamma_{xy} &= \gamma_{xy}^o + z\kappa_{xy}\end{aligned}\quad (3-9)$$

ซึ่งสามารถเขียนความสัมพันธ์ระหว่างความเค้นและความเครียดของแผ่นลามิनाที่ชั้น  $k$  ในระบบพิกัดรวมได้ดังนี้

$$\begin{Bmatrix} \sigma_x \\ \sigma_y \\ \tau_{xy} \end{Bmatrix}_k = \begin{bmatrix} \bar{Q}_{11} & \bar{Q}_{12} & \bar{Q}_{16} \\ \bar{Q}_{12} & \bar{Q}_{22} & \bar{Q}_{26} \\ \bar{Q}_{16} & \bar{Q}_{26} & \bar{Q}_{66} \end{bmatrix}_k \begin{Bmatrix} \varepsilon_x^o + z\kappa_x \\ \varepsilon_y^o + z\kappa_y \\ \gamma_{xy}^o + z\kappa_{xy} \end{Bmatrix}_k \quad (3-10)$$

เมื่อ  $\varepsilon_x^o, \varepsilon_y^o$  และ  $\gamma_{xy}^o$  เป็นค่าของความเครียดที่ระนาบกึ่งกลางซึ่งนิยามว่า

$$\varepsilon_x^o = \frac{\partial u^o}{\partial x}, \quad \varepsilon_y^o = \frac{\partial v^o}{\partial y}, \quad \gamma_{xy}^o = \frac{\partial u^o}{\partial y} + \frac{\partial v^o}{\partial x} \quad (3-11)$$

และค่า  $\kappa_x, \kappa_y$  และ  $\kappa_{xy}$  เป็นค่าความโค้ง (curvature) ซึ่งมีค่าดังนี้

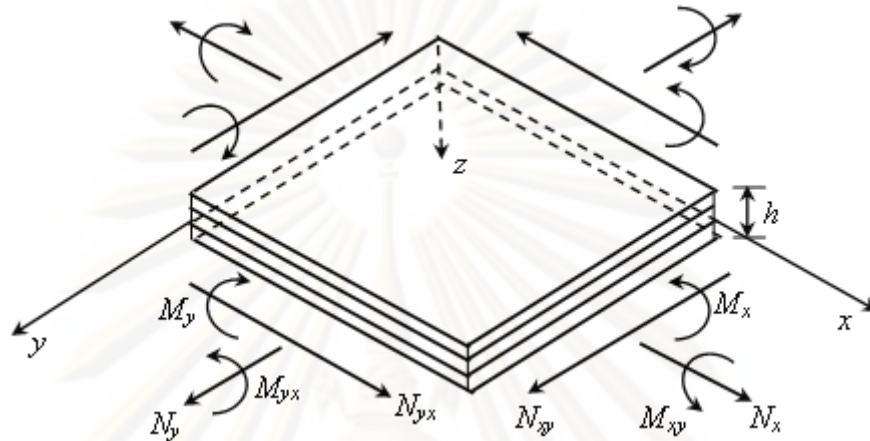
$$\kappa_x = -\frac{\partial^2 w}{\partial x^2}, \quad \kappa_y = -\frac{\partial^2 w}{\partial y^2}, \quad \kappa_{xy} = -2\frac{\partial^2 w}{\partial x \partial y} \quad (3-12)$$

โดย ค่า  $\kappa_x$  คือ ค่าความโค้งของระนาบกึ่งกลางบนระนาบ  $x-z$

ค่า  $\kappa_y$  คือ ค่าความโค้งของระนาบกึ่งกลางบนระนาบ  $y-z$

ค่า  $\kappa_{xy}$  คือ ค่าความโค้งบิดของการโค้งตัวนอกระนาบของระนาบกึ่งกลาง

สามารถหาแรงลัพธ์และโมเมนต์ลัพธ์ (force and moment resultant) ที่กระทำต่อแผ่นวัสดุ ดังแสดงในรูปที่ 3.6 ได้จากการรวมค่าผลของความเค้นและค่าโมเมนต์ของความเค้นที่เกิดขึ้นตลอดความหนาในแต่ละชั้นของแผ่นวัสดุคอมโพสิต ซึ่งเขียนเป็นสมการได้ดังนี้



รูปที่ 3.6 แรงลัพธ์และโมเมนต์ลัพธ์ที่กระทำต่อแผ่นลามิเนต

$$\begin{Bmatrix} N_x \\ N_y \\ N_{xy} \end{Bmatrix} = \int_{-h/2}^{h/2} \begin{Bmatrix} \sigma_x \\ \sigma_y \\ \tau_{xy} \end{Bmatrix} dz \tag{3-13a}$$

$$\begin{Bmatrix} M_x \\ M_y \\ M_{xy} \end{Bmatrix} = \int_{-h/2}^{h/2} \begin{Bmatrix} \sigma_x \\ \sigma_y \\ \tau_{xy} \end{Bmatrix} z dz \tag{3-13b}$$

- เมื่อ  $\sigma_x, \sigma_y, \tau_{xy}$  = ความเค้น  
 $N_x, N_y, N_{xy}$  = แรงลัพธ์ที่กระทำต่อหนึ่งหน่วยความยาว (force resultant)  
 $M_x, M_y, M_{xy}$  = โมเมนต์ลัพธ์ที่กระทำต่อหนึ่งหน่วยความยาว (moment resultant)  
 $h$  = ความหนาของแผ่นวัสดุคอมโพสิตบาง

และสามารถเขียนความสัมพันธ์ระหว่างแรงลัพธ์และโมเมนต์ลัพธ์กับค่าความเครียดและค่าความโค้งของแผ่นคอมโพสิตในรูปของเมทริกซ์ได้ดังนี้

$$\begin{Bmatrix} N_x \\ N_y \\ N_{xy} \\ M_x \\ M_y \\ M_{xy} \end{Bmatrix} = \begin{bmatrix} A_{11} & A_{12} & A_{16} & B_{11} & B_{12} & B_{16} \\ A_{12} & A_{22} & A_{26} & B_{12} & B_{22} & B_{26} \\ A_{16} & A_{26} & A_{66} & B_{16} & B_{26} & B_{66} \\ B_{11} & B_{12} & B_{16} & D_{11} & D_{12} & D_{16} \\ B_{12} & B_{22} & B_{26} & D_{12} & D_{22} & D_{26} \\ B_{16} & B_{26} & B_{66} & D_{16} & D_{26} & D_{66} \end{bmatrix} \begin{Bmatrix} \epsilon_x^0 \\ \epsilon_y^0 \\ \gamma_{xy}^0 \\ \kappa_x \\ \kappa_y \\ \kappa_{xy} \end{Bmatrix} \tag{3-14}$$

โดย  $A_{ij}$  คือ Laminate extensional stiffness ซึ่งหาได้จาก

$$A_{ij} = \int_{-t/2}^{t/2} (\bar{Q}_{ij})_k dz = \sum_{k=1}^N (\bar{Q}_{ij})_k (z_k - z_{k-1}) \quad (3-15)$$

$B_{ij}$  คือ Laminate coupling stiffness ซึ่งหาได้จาก

$$B_{ij} = \int_{-t/2}^{t/2} (\bar{Q}_{ij})_k z dz = \frac{1}{2} \sum_{k=1}^N (\bar{Q}_{ij})_k (z_k^2 - z_{k-1}^2) \quad (3-16)$$

$D_{ij}$  คือ Laminate bending stiffness ซึ่งหาได้จาก

$$D_{ij} = \int_{-t/2}^{t/2} (\bar{Q}_{ij})_k z^2 dz = \frac{1}{3} \sum_{k=1}^N (\bar{Q}_{ij})_k (z_k^3 - z_{k-1}^3) \quad (3-17)$$

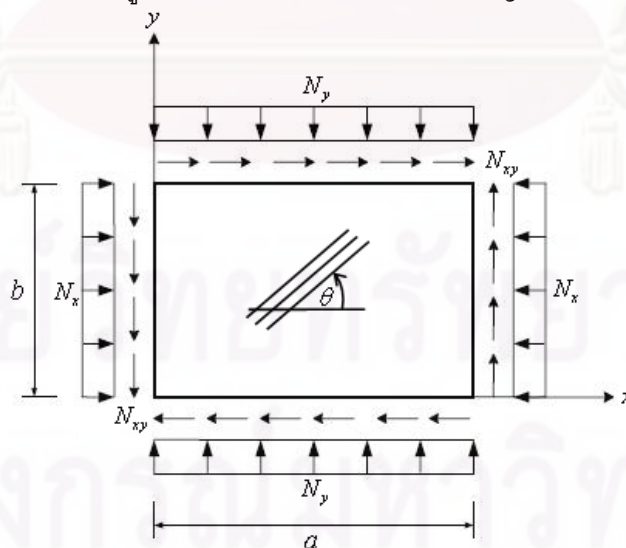
โดย  $i, j$  คือ 1, 2 or 6 ซึ่งแสดงถึงตำแหน่งของค่า stiffness ใน laminate stiffness matrix

$N$  คือ จำนวนชั้นของแผ่น

$k$  คือ ตำแหน่งชั้นของลามิना

### 3.3 การหาค่าภาระการโก่งของแผ่นคอมโพสิตบางด้วยวิธีการวิเคราะห์

แผ่นคอมโพสิตบางรูปสี่เหลี่ยมผืนผ้าที่รับภาระในแนวระนาบและมีลักษณะดังแสดงในรูปที่ 3.7 จะเกิดการโก่งงอเมื่อรับภาระกดถึงค่าค่าหนึ่งซึ่งเรียกว่าค่าภาระการโก่งงอ โดยปกติค่าภาระการโก่งงอจะมีค่าน้อยกว่าค่าภาระที่ทำให้วัสดุเกิดการเสียหายแบบฉีกขาด ดังนั้นในการออกแบบชิ้นงานโดยเฉพาะชิ้นงานที่มีรูปร่างผอมบางจะต้องคำนึงถึงปัญหาการโก่งงอด้วย



รูปที่ 3.7 การรับภาระในแนวระนาบและลักษณะของแผ่นคอมโพสิตบางรูปสี่เหลี่ยมผืนผ้า

รูปที่ 3.8 แสดงความเค้นลัทธิต่าง ๆ ซึ่งประกอบด้วยแรงลัทธิ โมเมนต์ลัทธิและแรงเฉือนลัทธิที่เกิดขึ้นในแผ่นคอมโพสิต สามารถหาผลรวมของแรงในทิศต่าง ๆ ได้จากการใช้กฎข้อที่สองของนิวตัน จะได้ผลรวมของแรงในแกน  $x$  คือ

$$N_x dy + \frac{\partial N_x}{\partial x} dx dy + N_{xy} dx + \frac{\partial N_{xy}}{\partial y} dx dy - N_x dy - N_{xy} dx = 0 \quad (3-18)$$

เขียนให้อยู่ในรูปแบบง่าย ๆ คือ

$$\frac{\partial N_x}{\partial x} + \frac{\partial N_{xy}}{\partial y} = 0 \quad (3-19)$$

ในทำนองเดียวกัน จะได้ผลรวมของแรงในแกน  $y$  ในรูป

$$\frac{\partial N_y}{\partial y} + \frac{\partial N_{xy}}{\partial x} = 0 \quad (3-20)$$

และผลรวมของแรงในแกน  $z$  คือ

$$\frac{\partial Q_x}{\partial x} + \frac{\partial Q_y}{\partial y} = 0 \quad (3-21)$$

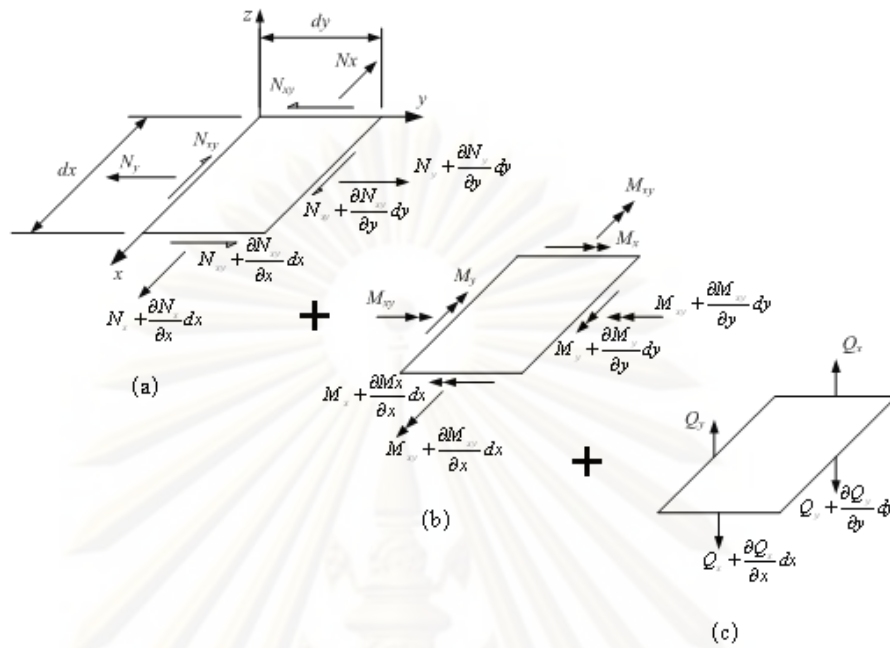
เมื่อพิจารณาผลรวมของโมเมนต์รอบแกน  $x$  และ  $y$  จะได้ความสัมพันธ์ดังนี้

$$\frac{\partial M_y}{\partial y} + \frac{\partial M_{xy}}{\partial x} = Q_y \quad (3-22a)$$

$$\frac{\partial M_x}{\partial x} + \frac{\partial M_{xy}}{\partial y} = Q_x \quad (3-22b)$$

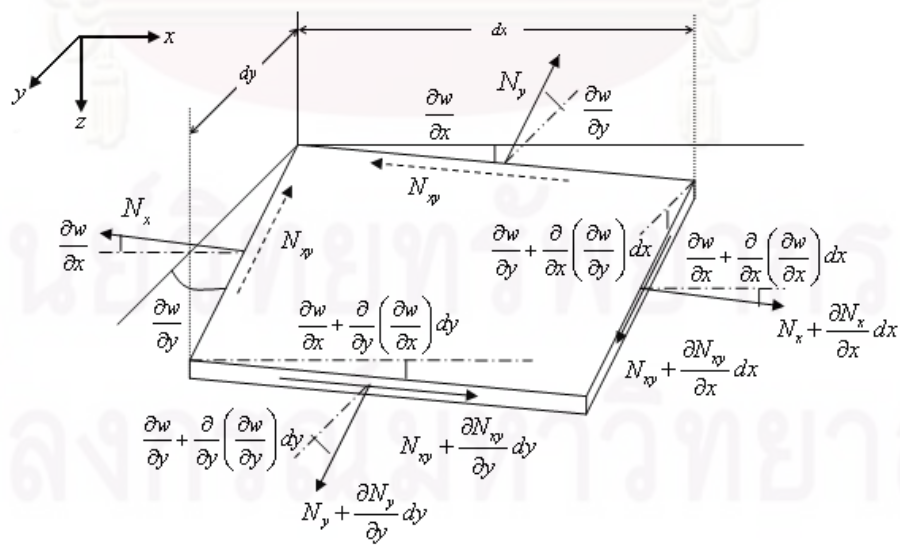
แทนสมการ (3-22) ลงในสมการ (3-21) จะได้

$$\frac{\partial^2 M_x}{\partial x^2} + 2 \frac{\partial^2 M_{xy}}{\partial x \partial y} + \frac{\partial^2 M_y}{\partial y^2} = 0 \quad (3-23)$$



รูปที่ 3.8 ความเค้นลัพธ์และภาระภายนอกที่กระทำต่อแผ่นคอมโพสิต

ในการวิเคราะห์ปัญหาการโก่งงอของโครงสร้างแผ่นบางภายใต้ภาระในแนวระนาบ จะต้องพิจารณาอิลิเมนต์ของแผ่นบางในขณะที่มีการโก่งงอในทิศทางนอกระนาบ (out-of-plane position) ซึ่งจะทำให้แรงในระนาบเฉียงและมีส่วประกอบบางส่วนอยู่ในทิศนอกระนาบดังแสดงในรูปที่ 3.9



รูปที่ 3.9 แรงในแนวระนาบที่กระทำต่ออิลิเมนต์ของโครงสร้างแผ่นบางขณะที่โก่งตัว



จะได้ผลรวมของแรงในแกน  $z$  คือ

$$\frac{\partial Q_x}{\partial x} + \frac{\partial Q_y}{\partial y} + N_x \frac{\partial^2 w}{\partial x^2} + 2N_{xy} \frac{\partial^2 w}{\partial x \partial y} + N_y \frac{\partial^2 w}{\partial y^2} = 0 \quad (3-24)$$

แทนค่าสมการ (3-22) ลงในสมการ (3-24) จะได้

$$\frac{\partial^2 M_x}{\partial x^2} + 2 \frac{\partial^2 M_{xy}}{\partial x \partial y} + \frac{\partial^2 M_y}{\partial y^2} + N_x \frac{\partial^2 w}{\partial x^2} + 2N_{xy} \frac{\partial^2 w}{\partial x \partial y} + N_y \frac{\partial^2 w}{\partial y^2} = 0 \quad (3-25)$$

ใช้ความสัมพันธ์ระหว่างแรงลัพธ์และโมเมนต์ลัพธ์กับค่าความเครียดและค่าความโค้งของแผ่นคอมโพสิต สมการ (3-14) ร่วมกับสมการ (3-11) และ (3-12) สามารถเขียนสมการ (3-25) ใหม่ได้เป็น

$$\begin{aligned} & D_{11} \frac{\partial^4 w}{\partial x^4} + 4D_{16} \frac{\partial^4 w}{\partial x^3 \partial y} + 2(D_{12} + 2D_{66}) \frac{\partial^4 w}{\partial x^2 \partial y^2} + 4D_{26} \frac{\partial^4 w}{\partial x \partial y^3} \\ & + D_{22} \frac{\partial^4 w}{\partial y^4} - B_{11} \frac{\partial^3 u^0}{\partial x^3} - 3B_{16} \frac{\partial^3 u^0}{\partial x^2 \partial y} - (B_{12} + 2B_{66}) \frac{\partial^3 u^0}{\partial x \partial y^2} \\ & - B_{26} \frac{\partial^3 u^0}{\partial y^3} - B_{16} \frac{\partial^3 v^0}{\partial x^3} - (B_{12} + 2B_{66}) \frac{\partial^3 v^0}{\partial x^2 \partial y} - 3B_{26} \frac{\partial^3 v^0}{\partial x \partial y^2} \\ & - B_{22} \frac{\partial^3 v^0}{\partial y^3} = N_x \frac{\partial^2 w}{\partial x^2} + 2N_{xy} \frac{\partial^2 w}{\partial x \partial y} + N_y \frac{\partial^2 w}{\partial y^2} \end{aligned} \quad (3-26)$$

เมื่อพิจารณาในกรณีของแผ่นคอมโพสิตบางแบบลามิเนตสมมาตรที่มีการวางตัวของเส้นใยแบบ  $0^\circ$  หรือ  $90^\circ$  (specially orthotropic plate) ที่มีเงื่อนไขขอบเขตการจับยึดแบบง่ายทั้งสี่ด้าน ภายใต้ภาวะกดในแนวระนาบแบบแกนเดียว ( $N_x = -N$ ) ค่า  $D_{16} = D_{26} = 0$  เนื่องจากมีการวางตัวของเส้นใยแบบ cross-ply และค่า  $B_{ij} = 0$  เพราะมีการวางตัวลามิเนตแบบสมมาตร ดังนั้นสมการ (3-26) จะลดรูปเป็น

$$D_{11} \frac{\partial^4 w}{\partial x^4} + 2(D_{12} + 2D_{66}) \frac{\partial^4 w}{\partial x^2 \partial y^2} + D_{22} \frac{\partial^4 w}{\partial y^4} = -N \frac{\partial^2 w}{\partial x^2} \quad (3-27)$$

สำหรับกรณีเงื่อนไขขอบเขตการจับยึดเป็นแบบง่ายทั้งสี่ด้าน ของการเคลื่อนที่บริเวณที่จับยึดมีลักษณะดังนี้

บนขอบ  $x=0$  และ  $x=a$  ไม่มีการเคลื่อนที่นอกระนาบและไม่มีโมเมนต์เกิดขึ้น

นั่นคือ  $w=0$

$$\text{และ } M_x = -D_{11} \frac{\partial^2 w}{\partial x^2} - D_{12} \frac{\partial^2 w}{\partial y^2} = 0$$

และบนขอบ  $y=0$  และ  $y=b$  ไม่มีการเคลื่อนที่นอกระนาบและไม่มีโมเมนต์เกิดขึ้น

นั่นคือ  $w=0$

$$\text{และ } M_y = -D_{12} \frac{\partial^2 w}{\partial x^2} - D_{22} \frac{\partial^2 w}{\partial y^2} = 0$$

ดังนั้นสมการการเคลื่อนที่นอกระนาบที่สอดคล้องกับเงื่อนไขขอบเขตนี้ คือ

$$w(x, y) = w_{mn} \sin \frac{m\pi x}{a} \sin \frac{n\pi y}{b} \quad (3-28)$$

โดย  $w_{mn}$  คือ แอมพลิจูดของฟังก์ชัน

$m, n$  คือ เป็นจำนวนคลื่นรูปไซน์ครึ่งลูก (half-sine wave) ของระยะเคลื่อนที่

นอกระนาบในแกน  $x$  และ  $y$  ตามลำดับ (โดย  $m, n$  เป็นจำนวนเต็มบวก)

เมื่อแทนค่า  $w(x, y)$  จากสมการที่ (3-28) ลงในสมการที่ (3-27) จะได้สมการครอบคลุมสำหรับ

ปัญหาการโก่งงอ ซึ่งอยู่ในรูปของผลเฉลยแม่นยำตรงเป็น

$$N_x^{cr} = \frac{\pi^2}{a^2 m^2} \left[ \left( D_{11} m^4 + 2(D_{12} + 2D_{66})(mnR)^2 + D_{22} (nR)^4 \right) \right] \quad (3-29)$$

โดย  $R$  เป็นสัดส่วนของชิ้นงานสามารถหาได้จาก  $R = a/b$

### 3.4 การหาค่าความถี่ธรรมชาติของแผ่นคอมโพสิตบางด้วยวิธีการวิเคราะห์

ปัญหาการสั่นสะเทือนแบบอิสระของโครงสร้างแผ่นบาง สามารถแก้ได้โดยการวิเคราะห์การเคลื่อนที่ของอีลิเมนต์ของแผ่นบางในขณะที่มีการสั่นสะเทือน ซึ่งในระหว่างการสั่นสะเทือนจะทำให้เกิดแรงเฉื่อย จากรูปที่ 3.8 เมื่อใช้กฎข้อที่สองของนิวตันจะได้ผลรวมของแรงในแกน  $x$  มีค่าเท่ากับ

$$N_x dy + \frac{\partial N_x}{\partial x} dx dy + N_{xy} dx + \frac{\partial N_{xy}}{\partial y} dx dy - N_x dy - N_{xy} dx = \rho_0 dx dy \frac{\partial^2 u^0}{\partial t^2} \quad (3-30)$$

เขียนให้อยู่ในรูปแบบง่าย ๆ คือ

$$\frac{\partial N_x}{\partial x} + \frac{\partial N_{xy}}{\partial y} = \rho_0 \frac{\partial^2 u^0}{\partial t^2} \quad (3-31)$$

ในทำนองเดียวกัน จะได้ผลรวมของแรงในแกน  $y$  เท่ากับ

$$\frac{\partial N_y}{\partial y} + \frac{\partial N_{xy}}{\partial x} = \rho_0 \frac{\partial^2 v^0}{\partial t^2} \quad (3-32)$$

และผลรวมของแรงในแกน  $z$  คือ

$$\frac{\partial Q_x}{\partial x} + \frac{\partial Q_y}{\partial y} = \rho_0 \frac{\partial^2 w}{\partial t^2} \quad (3-33)$$

โดย  $\rho_0$  คือ มวลต่อหนึ่งหน่วยพื้นที่ ซึ่งมีค่าเท่ากับ  $\rho h$

$\rho$  คือ ความหนาแน่นของแผ่น (มวลต่อหนึ่งหน่วยปริมาตร)

$h$  คือ ความหนาของแผ่น

$u^0, v^0$  คือ การกระจัดของระนาบกึ่งกลางในทิศ  $x$  และ  $y$  ตามลำดับ สำหรับปัญหาการ  
สั่นสะเทือนจะเป็นฟังก์ชันของระยะในแกน  $x$  ระยะในแกน  $y$  และเวลา

$w$  คือ ระยะเคลื่อนที่ในทิศ  $z$  และสำหรับปัญหาการสั่นสะเทือนจะเป็นฟังก์ชันของ  
ระยะในแกน  $x$  ระยะในแกน  $y$  และเวลา

โมเมนต์รอบแกน  $x$  และ  $y$  มีค่าเท่ากับ

$$\frac{\partial M_y}{\partial y} + \frac{\partial M_{xy}}{\partial x} = Q_y \quad (3-34a)$$

$$\frac{\partial M_x}{\partial x} + \frac{\partial M_{xy}}{\partial y} = Q_x \quad (3-34b)$$

แทนสมการ (3-34) ลงในสมการ (3-33) จะได้

$$\frac{\partial^2 M_x}{\partial x^2} + 2 \frac{\partial^2 M_{xy}}{\partial x \partial y} + \frac{\partial^2 M_y}{\partial y^2} = \rho_0 \frac{\partial^2 w}{\partial t^2} \quad (3-35)$$

ใช้ความสัมพันธ์ระหว่างแรงลัพธ์และโมเมนต์ลัพธ์กับค่าความเครียดและค่าความโค้งของแผ่นคอมโพสิต สมการ (3-14) ร่วมกับสมการ (3-11) และ (3-12) สามารถเขียนสมการ (3-35) ใหม่ได้เป็น

$$\begin{aligned}
 & D_{11} \frac{\partial^4 w}{\partial x^4} + 4D_{16} \frac{\partial^4 w}{\partial x^3 \partial y} + 2(D_{12} + 2D_{66}) \frac{\partial^4 w}{\partial x^2 \partial y^2} + 4D_{26} \frac{\partial^4 w}{\partial x \partial y^3} \\
 & + D_{22} \frac{\partial^4 w}{\partial y^4} - B_{11} \frac{\partial^3 u^0}{\partial x^3} - 3B_{16} \frac{\partial^3 u^0}{\partial x^2 \partial y} - (B_{12} + 2B_{66}) \frac{\partial^3 u^0}{\partial x \partial y^2} \\
 & - B_{26} \frac{\partial^3 u^0}{\partial y^3} - B_{16} \frac{\partial^3 v^0}{\partial x^3} - (B_{12} + 2B_{66}) \frac{\partial^3 v^0}{\partial x^2 \partial y} - 3B_{26} \frac{\partial^3 v^0}{\partial x \partial y^2} \\
 & - B_{22} \frac{\partial^3 v^0}{\partial y^3} + \rho_0 \frac{\partial^2 w}{\partial t^2} = q(x, y)
 \end{aligned} \tag{3-36}$$

ในทำนองเดียวกับปัญหาการโก่งงอเมื่อพิจารณาแผ่นคอมโพสิตบางแบบลามิเนตสมมาตรที่มีการวางตัวของเส้นใยแบบ  $0^\circ$  หรือ  $90^\circ$  ที่เงื่อนไขขอบเขตการจับยึดแบบง่ายทั้งสี่ด้าน ค่า  $D_{16}=D_{26}=0$  เนื่องจากมีการวางตัวของเส้นใยแบบ cross-ply และค่า  $B_{ij}=0$  เพราะมีการวางตัวลามิเนตแบบสมมาตร ดังนั้นสมการ (3-36) จะลดรูปเป็น

$$D_{11} \frac{\partial^4 w}{\partial x^4} + 2(D_{12} + 2D_{66}) \frac{\partial^4 w}{\partial x^2 \partial y^2} + D_{22} \frac{\partial^4 w}{\partial y^4} + \rho_0 \frac{\partial^2 w}{\partial t^2} = 0 \tag{3-37}$$

ผลเฉลยของสมการ (3-37) สามารถหาได้โดยวิธีแยกตัวแปร (separation of variable) โดยกำหนด  $w(x, y, t)$  อยู่ในรูปฟังก์ชันของตำแหน่งและฟังก์ชันของเวลาดังนี้

$$w(x, y, t) = W(x, y)e^{i\omega t} \tag{3-38}$$

แทนสมการ (3-38) ลงในสมการ (3-37) จะได้

$$D_{11} \frac{\partial^4 W}{\partial x^4} + 2(D_{12} + 2D_{66}) \frac{\partial^4 W}{\partial x^2 \partial y^2} + D_{22} \frac{\partial^4 W}{\partial y^4} - \rho_0 \omega^2 W = 0 \tag{3-39}$$

และสำหรับกรณีเงื่อนไขขอบเขตการจับยึดเป็นแบบง่ายทั้งสี่ด้าน จะมีลักษณะของการเคลื่อนที่บริเวณที่จับยึดดังนี้

บนขอบ  $x=0$  และ  $x=a$  ไม่มีการเคลื่อนที่ในอกระนาบและไม่มีโมเมนต์เกิดขึ้น

$$\text{ดังนั้น } W(x, y) = 0$$

$$\text{และ } M_x = -D_{11} \frac{\partial^2 W}{\partial x^2} - D_{12} \frac{\partial^2 W}{\partial y^2} = 0$$

และบนขอบ  $y=0$  และ  $y=b$  ไม่มีการเคลื่อนที่ในอกระนาบและไม่มีโมเมนต์เกิดขึ้น

$$\text{นั่นคือ } W(x, y) = 0$$

$$\text{และ } M_y = -D_{12} \frac{\partial^2 W}{\partial x^2} - D_{22} \frac{\partial^2 W}{\partial y^2} = 0$$

ดังนั้นสมการการเคลื่อนที่ในอกระนาบที่สอดคล้องกับเงื่อนไขขอบเขตนี้ คือ

$$W(x, y) = A_{mn} \sin \frac{m\pi x}{a} \sin \frac{n\pi y}{b} \quad (3-40)$$

โดย  $A_{mn}$  คือ แอมพลิจูดของการสั่น

$m, n$  คือ เป็นจำนวนคลื่นรูปไซน์ครึ่งลูก (half-sine wave) แสดงรูปร่างโหมดของการสั่นที่เกิดขึ้นในแกน  $x$  และ  $y$  ตามลำดับ (โดย  $m, n$  เป็นจำนวนเต็มบวก)

เมื่อแทนค่า  $w(x, y)$  จากสมการ (3-40) ลงในสมการ (3-39) จะได้สมการครอบคลุมสำหรับปัญหาการสั่นสะเทือน ซึ่งอยู่ในรูปของผลเฉลยแม่นยำตรงเป็น

$$\omega_{mn}^2 = \frac{\pi^4}{\rho_0 a^4} \left[ \left( D_{11} m^4 + 2(D_{12} + 2D_{66})(mnR)^2 + D_{22} (nR)^4 \right) \right] \quad (3-41)$$

โดย  $R$  เป็นสัดส่วนของชิ้นงานสามารถหาได้จาก  $R = a/b$

$\omega_{mn}$  คือ ค่าความถี่ธรรมชาติสำหรับโหมด ( $m, n$ )

สมการ (3-29) และสมการ (3-41) เป็นผลเฉลยแม่นยำตรงที่อยู่ในรูป closed form สำหรับปัญหาการโก่งงอและปัญหาการสั่นสะเทือนของแผ่นคอมโพสิตบางแบบลามิเนตสมมาตร ที่มีการวางตัวของเส้นใยแบบ  $0^\circ$  หรือ  $90^\circ$  และมีเงื่อนไขขอบเขตการจับยึดแบบง่ายทั้งสี่ด้าน ตามลำดับ แต่สำหรับชิ้นงานที่มีเงื่อนไขขอบเขตการจับยึดแบบยึดแน่นหรือแบบปลายอิสระร่วมอยู่ด้วยหรือมีการวางตัวของเส้นใยในมุมใด ๆ จะไม่สามารถหาค่าการโก่งงอและค่าความถี่ธรรมชาติของชิ้นงานในรูปของผลเฉลยแม่นยำตรงที่อยู่ในรูป closed form ได้ ดังนั้นจึงต้องใช้วิธีเชิงตัวเลขในการแก้ปัญหาทั้งสอง ซึ่งในบทต่อไปจะแสดงการวิเคราะห์ปัญหาการโก่งงอและการสั่นสะเทือนของแผ่นคอมโพสิตบางแบบลามิเนตสมมาตรโดยวิธีเชิงตัวเลขด้วยระเบียบวิธีแคนโทโรวิช

## บทที่ 4

### การวิเคราะห์การโก่งงอและการสั่นสะเทือนด้วยระเบียบวิธีแคนโทโรวิช

ในบทที่ 3 พบว่า วิธีการวิเคราะห์สามารถหาค่าภาวะการโก่งงอและค่าความถี่ธรรมชาติของโครงสร้างแผ่นบางได้จากผลเฉลยแม่นยำตรงที่อยู่ในรูป closed form โดยมีข้อจำกัดว่าชิ้นงานนั้นต้องเป็นแผ่นคอมโพสิตบางแบบลามิเนตสมมาตรที่มีการวางตัวของเส้นใยแบบ  $0^\circ$  หรือ  $90^\circ$  ภายใต้เงื่อนไขขอบเขตการจับยึดแบบง่ายทั้งสี่ด้านเท่านั้น โดยโครงสร้างแผ่นบางที่ไม่ได้อยู่ในเงื่อนไขดังกล่าวจะไม่สามารถหาค่าภาวะการโก่งงอในรูปของผลเฉลยแม่นยำตรงที่อยู่ในรูป closed form ได้ จะต้องใช้วิธีเชิงตัวเลขในการประมาณค่าภาวะการโก่งงอและค่าความถี่ธรรมชาติ รวมถึงรูปร่างการโก่งงอและโหมดการสั่นสะเทือน ดังนั้นในบทนี้จะแสดงวิธีการวิเคราะห์ปัญหาการโก่งงอและการสั่นสะเทือนของแผ่นคอมโพสิตบางแบบลามิเนตสมมาตรโดยวิธีเชิงตัวเลขด้วยระเบียบวิธีแคนโทโรวิชซึ่งเป็นระเบียบวิธีที่ใช้ในวิทยานิพนธ์นี้

#### 4.1 การวิเคราะห์ปัญหาการโก่งงอของแผ่นคอมโพสิตด้วยระเบียบวิธีแคนโทโรวิช

ระเบียบวิธีแคนโทโรวิชเป็นวิธีเชิงตัวเลขวิธีหนึ่งที่สามารถประมาณค่าภาวะการโก่งงอของโครงสร้างแผ่นบางได้ ดังแสดงในเอกสารอ้างอิง [8,9,11] ระเบียบวิธีนี้ใช้หลักการการแปรผันของพลังงานศักย์รวมต่ำสุด ซึ่งทำให้สมการครอบคลุมที่ใช้ในการคำนวณลดรูปจากสมการเชิงอนุพันธ์ย่อยเป็นสมการเชิงอนุพันธ์สามัญและเงื่อนไขขอบเขตการจับยึด ในการคำนวณต้องอาศัยการทำซ้ำเพื่อให้ค่าเจาะจงมีค่าลู่อเข้า พลังงานศักย์รวมที่ใช้กับปัญหาการโก่งงอของแผ่นคอมโพสิตบางประกอบด้วยพลังงานศักย์ที่เกิดจากการเปลี่ยนรูปของวัสดุหรือที่เรียกว่าพลังงานความเครียด (Strain energy,  $U$ ) และพลังงานศักย์ที่เกิดเนื่องจากการในแนวระนาบ (Potential energy from in-plane loads,  $V$ ) โดยพลังงานศักย์รวมของแผ่นคอมโพสิตบางสามารถหาได้ดังนี้

##### 1. พลังงานความเครียด [21]

สำหรับโครงสร้างแผ่นบางที่รับภาระในแนวระนาบสามารถหาค่าพลังงานความเครียดในรูป

$$U = \frac{1}{2} \iiint (\sigma_x \varepsilon_x + \sigma_y \varepsilon_y + \sigma_z \varepsilon_z + \tau_{xy} \gamma_{xy} + \tau_{yz} \gamma_{yz} + \tau_{zx} \gamma_{zx}) dx dy dz \quad (4-1)$$

จากสมมติฐานเบื้องต้นที่ใช้ในการวิเคราะห์ความสัมพันธ์ของโครงสร้างแผ่นบาง ในหัวข้อ 3.2 ข้อที่ 5 และ 7 จะได้  $\varepsilon_z = \gamma_{xz} = \gamma_{yz} = 0$  และความสัมพันธ์ระหว่างความเค้นและความเครียดของแผ่นลามิनाที่ชั้น  $k$  สมการ (3-1) สามารถเขียนพลังงานความเครียดใหม่ได้เป็น

$$U = \frac{1}{2} \iiint (\bar{Q}_{11}^{(k)} \varepsilon_x^2 + \bar{Q}_{22}^{(k)} \varepsilon_y^2 + \bar{Q}_{66}^{(k)} \gamma_{xy}^2 + 2\bar{Q}_{12}^{(k)} \varepsilon_x \varepsilon_y + 2\bar{Q}_{16}^{(k)} \varepsilon_x \gamma_{xy} + 2\bar{Q}_{26}^{(k)} \varepsilon_y \gamma_{xy}) dx dy dz \quad (4-2)$$

เมื่อแทนค่าความสัมพันธ์ระหว่างความเครียดและการกระจัดลงในสมการ (4-2) แล้วอินทิเกรตในทิศ  $z$  จะได้

$$U = \frac{1}{2} \iint \left\{ A_{11} \left( \frac{\partial u}{\partial x} \right)^2 + 2A_{12} \frac{\partial u}{\partial x} \frac{\partial v}{\partial y} + A_{22} \left( \frac{\partial v}{\partial y} \right)^2 + 2 \left( A_{16} \frac{\partial u}{\partial x} + A_{26} \frac{\partial v}{\partial y} \right) \left( \frac{\partial u}{\partial y} + \frac{\partial v}{\partial x} \right) + A_{66} \left( \frac{\partial u}{\partial y} + \frac{\partial v}{\partial x} \right)^2 - 2B_{11} \frac{\partial u}{\partial x} \frac{\partial^2 w}{\partial x^2} - 2B_{12} \left( \frac{\partial v}{\partial y} \frac{\partial^2 w}{\partial x^2} + \frac{\partial u}{\partial x} \frac{\partial^2 w}{\partial y^2} \right) - 2B_{22} \frac{\partial v}{\partial y} \frac{\partial^2 w}{\partial y^2} - 2B_{16} \left[ \frac{\partial^2 w}{\partial x^2} \left( \frac{\partial u}{\partial y} + \frac{\partial v}{\partial x} \right) + 2 \frac{\partial u}{\partial x} \frac{\partial^2 w}{\partial x \partial y} \right] - 2B_{26} \left[ \frac{\partial^2 w}{\partial y^2} \left( \frac{\partial u}{\partial y} + \frac{\partial v}{\partial x} \right) + 2 \frac{\partial v}{\partial y} \frac{\partial^2 w}{\partial x \partial y} \right] - 4B_{66} \frac{\partial^2 w}{\partial x \partial y} \left( \frac{\partial u}{\partial y} + \frac{\partial v}{\partial x} \right) + D_{11} \left( \frac{\partial^2 w}{\partial x^2} \right)^2 + 2D_{12} \frac{\partial^2 w}{\partial x^2} \frac{\partial^2 w}{\partial y^2} + D_{22} \left( \frac{\partial^2 w}{\partial y^2} \right)^2 + 4 \left( D_{16} \frac{\partial^2 w}{\partial x^2} + D_{26} \frac{\partial^2 w}{\partial y^2} \right) \frac{\partial^2 w}{\partial x \partial y} + 4D_{66} \left( \frac{\partial^2 w}{\partial x \partial y} \right)^2 \right\} dx dy \quad (4-3)$$

โดย  $A_{ij}$ ,  $B_{ij}$  และ  $D_{ij}$  นิยามตามสมการ (3-15), (3-16) และ (3-17) ตามลำดับ

## 2. พลังงานศักย์ที่เกิดเนื่องจากภาวะในแนวระนาบ [21]

สำหรับโครงสร้างแผ่นบางที่รับภาวะในแนวระนาบสามารถหาค่าพลังงานศักย์ที่เกิดเนื่องจากภาวะในแนวระนาบกระทำต่อวัสดุในรูป

$$V = \frac{1}{2} \iint N_x \left( \frac{\partial w}{\partial x} \right)^2 + N_y \left( \frac{\partial w}{\partial y} \right)^2 + 2N_{xy} \frac{\partial w}{\partial x} \frac{\partial w}{\partial y} dx dy \quad (4-4)$$

สำหรับปัญหาการโก่งงอของแผ่นคอมโพสิตบางแบบลามิเนตสมมาตร มีค่า  $B_{ij} = 0$  นอกจากนี้ การเคลื่อนที่ในแนวระนาบ  $u, v$  เป็นค่าคงที่ [2] และไม่มีผลกับการหาค่าภาวะการโก่งงอ ทำให้พจน์  $A_{ij}$  หายไปด้วย ดังนั้นพลังงานศักย์รวมที่เกิดขึ้นคือ  $\Pi = U + V$  สามารถเขียนได้ดังนี้

$$\begin{aligned} \Pi = \frac{1}{2} \iint \left[ D_{11} \left( \frac{\partial^2 w}{\partial x^2} \right)^2 + 2D_{12} \frac{\partial^2 w}{\partial x^2} \frac{\partial^2 w}{\partial y^2} + D_{22} \left( \frac{\partial^2 w}{\partial y^2} \right)^2 + 4D_{66} \left( \frac{\partial^2 w}{\partial x \partial y} \right)^2 \right. \\ \left. + 4 \left( D_{16} \frac{\partial^2 w}{\partial x^2} + D_{26} \frac{\partial^2 w}{\partial y^2} \right) \frac{\partial^2 w}{\partial x \partial y} + N_x \left( \frac{\partial w}{\partial x} \right)^2 + N_y \left( \frac{\partial w}{\partial y} \right)^2 + 2N_{xy} \frac{\partial w}{\partial x} \frac{\partial w}{\partial y} \right] dx dy \end{aligned} \quad (4-5)$$

โดย  $w$  คือฟังก์ชันการเคลื่อนที่นอกกระนาบที่สอดคล้องกับเงื่อนไขขอบเขตการจับยึดจากสมการ (4-5) เมื่อพิจารณาให้โครงสร้างแผ่นบางรับภาระกดในแนวระนาบ สามารถเขียนพลังงานศักย์รวมให้ง่ายขึ้นได้ดังนี้

$$\begin{aligned} \Pi = \frac{1}{2} \int_0^a \int_0^b \left[ D_{11} w_{,xx}^2 + 2D_{12} w_{,xx} w_{,yy} + D_{22} w_{,yy}^2 + 4D_{66} w_{,xy}^2 \right. \\ \left. + 4 \left( D_{16} w_{,xx} + D_{26} w_{,yy} \right) w_{,xy} \right] dx dy - \frac{1}{2} \int_0^a \int_0^b \left[ N_x w_{,x}^2 + N_y w_{,y}^2 + 2N_{xy} w_{,x} w_{,y} \right] dx dy \end{aligned} \quad (4-6)$$

ในการแก้ปัญหาด้วยระเบียบวิธีแคนโทโรวิช จะสมมุติให้ผลเฉลยของฟังก์ชันการเคลื่อนที่นอกกระนาบ  $w(x, y)$  อยู่ในรูป [11]

$$w(x, y) = \sum_{i=1}^N X_i(x) Y_i(y) = \{X\}^T \{Y\} \quad (4-7)$$

โดย  $w(x, y)$  คือ ฟังก์ชันการเคลื่อนที่นอกกระนาบ

$N$  คือ จำนวนพจน์

$X_i(x)$  คือ ฟังก์ชันของ  $x$  อย่างเดียวที่สอดคล้องกับเงื่อนไขขอบเขตที่ตำแหน่ง  $x=0$  และ  $x=a$

$Y_i(y)$  คือ ฟังก์ชันของ  $y$  อย่างเดียวที่สอดคล้องกับเงื่อนไขขอบเขตที่ตำแหน่ง  $y=0$  และ  $y=b$

ฟังก์ชัน  $X(x)$  และฟังก์ชัน  $Y(y)$  แสดงลักษณะรูปร่างการโก่งงอที่เกิดขึ้น โดยจะต้องสอดคล้องกับเงื่อนไขขอบเขตการจับยึด

ในการคำนวณหาค่าภาระการโก่งงอและฟังก์ชันการเคลื่อนที่นอกกระนาบที่อยู่ในรูปผลคูณของฟังก์ชัน  $X(x)$  และฟังก์ชัน  $Y(y)$  สามารถทำได้โดยสมมุติให้ฟังก์ชันในทิศ  $y$  หรือ  $Y_i(y)$  เป็นฟังก์ชันที่ทราบค่า เพื่อหาค่าฟังก์ชัน  $X_i(x)$  ที่สอดคล้องกับเงื่อนไขขอบเขตที่ตำแหน่ง  $x=0$  และ  $x=a$  ดังนั้นเมื่อแทนสมการ (4-7) ลงในสมการ (4-6) จะได้



$$\begin{aligned} \Pi = & \frac{1}{2} \int_0^a \left( D_{11} \{X_{,xx}\}^T [S_1] \{X_{,xx}\} + 2D_{12} \{X_{,xx}\}^T [S_2] \{X\} + D_{22} \{X\}^T [S_4] \{X\} \right. \\ & + 4D_{66} \{X_{,x}\}^T [S_6] \{X_{,x}\} + 4D_{16} \{X_{,xx}\}^T [S_3] \{X_{,x}\} + 4D_{26} \{X\}^T [S_5] \{X_{,x}\} \\ & \left. - N_x \{X_{,x}\}^T [S_1] \{X_{,x}\} - N_y \{X\}^T [S_6] \{X\} - 2N_{xy} \{X_{,x}\}^T [S_3] \{X\} \right) dx \end{aligned} \quad (4-8)$$

$$\begin{aligned} \text{โดย} \quad [S_1] &= \int_0^b \{Y\} \{Y\}^T dy & [S_4] &= \int_0^b \{Y_{,yy}\} \{Y_{,yy}\}^T dy \\ [S_2] &= \int_0^b \{Y\} \{Y_{,yy}\}^T dy & [S_5] &= \int_0^b \{Y_{,yy}\} \{Y_{,y}\}^T dy \\ [S_3] &= \int_0^b \{Y\} \{Y_{,y}\}^T dy & [S_6] &= \int_0^b \{Y_{,y}\} \{Y_{,y}\}^T dy \end{aligned} \quad (4-9)$$

จากพลังงานศักย์รวมสามารถใช้หลักการของค่าต่ำสุดของพลังงานศักย์รวมโดยการแปรผันของพลังงานศักย์รวม นั่นคือ  $\delta\Pi = 0$  ตัวอย่างการพิจารณาการแปรผันของพลังงานศักย์รวมเทอมแรกภายในเครื่องหมายอินทิเกรตของสมการ (4-8) สามารถเขียนได้ดังนี้

$$\begin{aligned} & \int_{x=0}^{x=a} \{X_{,xx}\}^T [S_1] \{X_{,xx}\} dx \\ & \{X_{,xx}\}^T [S_1] \{X_{,xx}\} = \begin{Bmatrix} X_{1,xx} & X_{2,xx} \end{Bmatrix} \begin{bmatrix} a & b \\ c & d \end{bmatrix} \begin{Bmatrix} X_{1,xx} \\ X_{2,xx} \end{Bmatrix} \\ & = aX_{1,xx}X_{1,xx} + bX_{1,xx}X_{2,xx} + cX_{2,xx}X_{1,xx} + dX_{2,xx}X_{2,xx} \\ \delta(\{X_{,xx}\}^T [S_1] \{X_{,xx}\}) &= a(X_{1,xx}\delta X_{1,xx} + X_{1,xx}\delta X_{1,xx}) + b(X_{1,xx}\delta X_{2,xx} + X_{2,xx}\delta X_{1,xx}) \\ & \quad + c(X_{2,xx}\delta X_{1,xx} + X_{1,xx}\delta X_{2,xx}) + d(X_{2,xx}\delta X_{2,xx} + X_{2,xx}\delta X_{2,xx}) \\ & = X_{1,xx}(a\delta X_{1,xx} + b\delta X_{2,xx}) + X_{2,xx}(c\delta X_{1,xx} + d\delta X_{2,xx}) \\ & \quad + X_{1,xx}(a\delta X_{1,xx} + c\delta X_{2,xx}) + X_{2,xx}(b\delta X_{1,xx} + d\delta X_{2,xx}) \\ & = \begin{Bmatrix} X_{1,xx} & X_{2,xx} \end{Bmatrix} \begin{bmatrix} a & b \\ c & d \end{bmatrix} \begin{Bmatrix} \delta X_{1,xx} \\ \delta X_{2,xx} \end{Bmatrix} + \begin{Bmatrix} X_{1,xx} & X_{2,xx} \end{Bmatrix} \begin{bmatrix} a & c \\ b & d \end{bmatrix} \begin{Bmatrix} \delta X_{1,xx} \\ \delta X_{2,xx} \end{Bmatrix} \\ & = \{X_{,xx}\}^T [S_1] \{\delta X_{,xx}\} + \{X_{,xx}\}^T [S_1]^T \{X_{,xx}\} \end{aligned}$$

$$[S_i] = [S_i]^T; \quad i = 1, 4, 6$$

$$\text{ดังนั้น} \quad \delta(\{X_{,xx}\}^T [S_1] \{X_{,xx}\}) = 2\{X_{,xx}\}^T [S_1] \{\delta X_{,xx}\}$$

$$\therefore \delta\left(\int_{x=0}^{x=a} D_{11} \{X_{,xx}\}^T [S_1] \{X_{,xx}\} dx\right) = \int_{x=0}^{x=a} 2\{X_{,xx}\}^T [S_1] \{\delta X_{,xx}\} dx$$

สำหรับเทอมที่สองสามารถหาค่าการแปรผันในทำนองเดียวกันได้ดังนี้

$$\begin{aligned} & \int_{x=0}^{x=a} \{X_{,xx}\}^T [S_2] \{X\} dx \\ & \{X_{,xx}\}^T [S_2] \{X\} = \{X_{1,xx} \quad X_{2,xx}\} \begin{bmatrix} a & b \\ c & d \end{bmatrix} \begin{Bmatrix} X_1 \\ X_2 \end{Bmatrix} \\ & = aX_{1,xx}X_1 + bX_{1,xx}X_2 + cX_{2,xx}X_1 + dX_{2,xx}X_2 \\ \delta(\{X_{,xx}\}^T [S_2] \{X\}) & = a(X_{1,xx}\delta X_1 + X_1\delta X_{1,xx}) + b(X_{1,xx}\delta X_2 + X_2\delta X_{1,xx}) \\ & \quad + c(X_{2,xx}\delta X_1 + X_1\delta X_{2,xx}) + d(X_{2,xx}\delta X_2 + X_2\delta X_{2,xx}) \\ & = X_{1,xx}(a\delta X_1 + b\delta X_2) + X_{2,xx}(c\delta X_1 + d\delta X_2) \\ & \quad + X_1(a\delta X_{1,xx} + c\delta X_{2,xx}) + X_2(b\delta X_{1,xx} + d\delta X_{2,xx}) \\ & = \{X_{1,xx} \quad X_{2,xx}\} \begin{bmatrix} a & b \\ c & d \end{bmatrix} \begin{Bmatrix} \delta X_1 \\ \delta X_2 \end{Bmatrix} + \{X_1 \quad X_2\} \begin{bmatrix} a & c \\ b & d \end{bmatrix} \begin{Bmatrix} \delta X_{1,xx} \\ \delta X_{2,xx} \end{Bmatrix} \end{aligned}$$

$$\text{ดังนั้น} \quad \delta(\{X_{,xx}\}^T [S_2] \{X\}) = \{X_{,xx}\}^T [S_2] \{\delta X\} + \{X\}^T [S_2]^T \{\delta X_{,xx}\}$$

$$\therefore \delta \left( \int_{x=0}^{x=a} 2D_{12} \{X_{,xx}\}^T [S_2] \{X\} dx \right) = \int_{x=0}^{x=a} 2D_{12} (\{X_{,xx}\}^T [S_2] \{\delta X\} + \{X\}^T [S_2]^T \{\delta X_{,xx}\}) dx$$

ดังนั้นเมื่อพิจารณาการแปรผันของพลังงานศักย์รวมของทุก ๆ เทอมเข้าด้วยกันและจัดสมการใหม่ จะได้  $\delta\Pi = 0$  ในรูป

$$\begin{aligned} \delta\Pi & = \int_0^a ((D_{11} \{X_{,xx}\}^T [S_1] + D_{12} \{X\}^T [S_2]^T + 2D_{16} \{X_{,x}\}^T [S_3]^T) \{\delta X_{,xx}\} \\ & \quad + (4D_{66} \{X_{,x}\}^T [S_6] + 2D_{16} \{X_{,xx}\}^T [S_3] + 2D_{26} \{X\}^T [S_5] \\ & \quad - N_x \{X_{,x}\}^T [S_1] - N_{xy} \{X\}^T [S_3]^T) \{\delta X_{,x}\} \\ & \quad + (D_{12} \{X_{,xx}\}^T [S_2] + D_{22} \{X\}^T [S_4] + 2D_{26} \{X_{,x}\}^T [S_5]^T - N_y \{X\}^T [S_6] \\ & \quad - N_{xy} \{X_{,x}\}^T [S_3]) \{\delta X\}) dx = \{0\} \end{aligned} \quad (4-10)$$

จากนั้นอินทิเกรตทีละส่วน (integration by parts) สมการ (4-10) แล้วจัดให้อยู่ในรูปแบบสมการเชิงอนุพันธ์สามัญและเงื่อนไขขอบเขต ได้ดังนี้

$$\begin{aligned} & D_{11} [S_1]^T \{X_{,xxx}\} + 2D_{16} ([S_3] - [S_3]^T) \{X_{,xxx}\} \\ & \quad + (D_{12} [S_2] - 4D_{66} [S_6]^T + N_x [S_1]^T + D_{12} [S_2]^T) \{X_{,xx}\} \\ & \quad + (2D_{26} ([S_5] - [S_5]^T) + N_{xy} ([S_3] - [S_3]^T)) \{X_{,x}\} \\ & \quad + (D_{22} [S_4]^T - N_y [S_6]^T) \{X\} = \{0\} \end{aligned} \quad (4-11)$$

โดยเงื่อนไขขอบเขตที่เกี่ยวข้องที่ตำแหน่ง  $x=0$  และ  $x=a$  คือ

$$(D_{11}[S_1]^T \{X_{,xx}\} + 2D_{16}[S_3]\{X_{,x}\} + D_{12}[S_2]\{X\})\Big|_{x=0}^{x=a} = \{0\} \quad (4-12)$$

หรือ

$$\{X_{,x}\}\Big|_{x=0}^{x=a} = \{0\} \quad (4-13)$$

และ

$$\begin{aligned} & (D_{11}[S_1]^T \{X_{,xxx}\} + 2D_{16}([S_3] - [S_3]^T)\{X_{,xx}\} \\ & + (D_{12}[S_2] - 4D_{66}[S_6]^T + N_x[S_1]^T)\{X_{,x}\} \\ & - (2D_{26}[S_5]^T - N_{xy}[S_3])\{X\})\Big|_{x=0}^{x=a} = \{0\} \end{aligned} \quad (4-14)$$

หรือ

$$\{X\}\Big|_{x=0}^{x=a} = \{0\} \quad (4-15)$$

กรณีการจับยึดแบบง่าย : สมการเงื่อนไขขอบเขตที่ใช้คือ (4-12) และ (4-15)

กรณีการจับยึดแบบยึดแน่น : สมการเงื่อนไขขอบเขตที่ใช้คือ (4-13) และ (4-15)

กรณีที่ขอบปล่อยอิสระ : สมการเงื่อนไขขอบเขตที่ใช้คือ (4-12) และ (4-14)

เมื่อพิจารณาในพิกัดไร้มิติ (dimensionless coordinate) โดยกำหนดให้  $\zeta = \frac{x}{a}$  สามารถเขียน

สมการ (4-11) ใหม่ได้เป็น

$$\begin{aligned} & \{X_{,\zeta\zeta\zeta}\} + [A_1]\{X_{,\zeta\zeta}\} + [A_2]\{X_{,\zeta}\} + [A_3]\{X_{,\zeta}\} + [A_4]\{X\} \\ & - \lambda_x[A_5]\{X_{,\zeta\zeta}\} - \lambda_{xy}[A_6]\{X_{,\zeta}\} - \lambda_y[A_7]\{X\} = \{0\} \end{aligned} \quad (4-16)$$

โดย

$$\begin{aligned} [A_1] &= \frac{2D_{16}}{D_{11}} a [S_1]^{-1} ([S_3] - [S_3]^T) \\ [A_2] &= \frac{a^2}{D_{11}} [S_1]^{-1} (D_{12}([S_2] + [S_2]^T) - 4D_{66}[S_6]^T) \\ [A_3] &= \frac{2D_{26}a^3}{D_{11}} [S_1]^{-1} ([S_5] - [S_5]^T) \\ [A_4] &= \frac{D_{22}a^4}{D_{11}} [S_1]^{-1} [S_4]^T \\ [A_5] &= -[I] \\ [A_6] &= -[S_1]^{-1} ([S_3] - [S_3]^T) a \\ [A_7] &= [S_1]^{-1} [S_6]^T a^2 \end{aligned} \quad (4-17)$$

และ  $\lambda_x, \lambda_y$  และ  $\lambda_{xy}$  เป็นค่าภาระในแนวระนาบไร้มิติ (normalized in-plane forces) นิยามไว้ดังนี้

$$\lambda_x = \frac{N_x a^2}{D_{11}} \quad \lambda_y = \frac{N_y a^2}{D_{11}} \quad \lambda_{xy} = \frac{N_{xy} a^2}{D_{11}} \quad (4-18)$$

ในลักษณะคล้าย ๆ กัน จะได้เงื่อนไขขอบเขตที่เกี่ยวข้องในพิกัดไร้มิติที่ตำแหน่ง  $\zeta = 0$  และ  $\zeta = 1$  ดังนี้

$$([A_8]\{X_{,\zeta\zeta}\} + [A_9]\{X_{,\zeta}\} + [A_{10}]\{X\})\Big|_{\zeta=0}^{\zeta=1} = \{0\} \quad (4-19)$$

หรือ

$$\{X_{,\zeta}\}\Big|_{\zeta=0}^{\zeta=1} = \{0\} \quad (4-20)$$

และ

$$([A_{11}]\{X_{,\zeta\zeta\zeta}\} + [A_{12}]\{X_{,\zeta\zeta}\} + ([A_{13}] - \lambda_x [A_{14}])\{X_{,\zeta}\} + ([A_{15}] - \lambda_{xy} [A_{16}])\{X\})\Big|_{\zeta=0}^{\zeta=1} = \{0\} \quad (4-21)$$

หรือ

$$\{X\}\Big|_{\zeta=0}^{\zeta=1} = \{0\} \quad (4-22)$$

กรณีการจับยึดแบบง่าย : สมการเงื่อนไขขอบเขตที่ใช้คือ (4-19) และ (4-22)

กรณีการจับยึดแบบยึดแน่น : สมการเงื่อนไขขอบเขตที่ใช้คือ (4-20) และ (4-22)

กรณีที่ขอบปล่อยอิสระ : สมการเงื่อนไขขอบเขตที่ใช้คือ (4-19) และ (4-21)

โดย

$$\begin{aligned} [A_8] &= \frac{D_{11}[S_1]}{a^2} & [A_{13}] &= \frac{4D_{66}[S_6]^T - D_{12}[S_2]}{a} \\ [A_9] &= \frac{2D_{16}[S_3]}{a} & [A_{14}] &= \frac{D_{11}[S_1]}{a^3} \\ [A_{10}] &= D_{12}[S_2] & [A_{15}] &= 2D_{26}[S_5]^T \\ [A_{11}] &= \frac{-D_{11}[S_1]}{a^3} & [A_{16}] &= \frac{D_{11}[S_3]}{a^2} \\ [A_{12}] &= \frac{-2D_{16}([S_3] - [S_3]^T)}{a^2} \end{aligned} \quad (4-23)$$

และสมมุติค่าภาระในแนวระนาบไร้มิติให้อยู่ภายใต้พารามิเตอร์เดียวกัน ดังนี้

$$\lambda_x = \lambda\beta_x \quad \lambda_y = \lambda\beta_y \quad \lambda_{xy} = \lambda\beta_{xy} \quad (4-24)$$

โดยค่า  $\beta_x, \beta_y$  และ  $\beta_{xy}$  เป็นค่าคงที่ที่ทราบค่า

ในการแก้ปัญหาการโก่งงอด้วยระเบียบวิธีแคนโทโรวิช ลักษณะของสมการจะอยู่ในรูปแบบของปัญหาค่าเจาะจง (eigenvalue problem) โดยมีค่า  $\lambda$  เป็นค่าเจาะจง (eigenvalue) และ  $\{X\}$  เป็นเวกเตอร์เจาะจง (eigenvector) ในการแก้ปัญหาค่าเจาะจงเริ่มจากสมมุติให้ค่า  $\{X\}$  อยู่ในรูปแบบของอนุกรมกำลังอนันต์ (infinite power series) ซึ่งมีรูปแบบดังนี้

$$\{X\} = \begin{Bmatrix} X_1(\zeta) \\ * \\ X_N(\zeta) \end{Bmatrix} = \begin{Bmatrix} \sum_{i=0}^{\infty} aa_{1,i} \zeta^i \\ * \\ \sum_{i=0}^{\infty} aa_{N,i} \zeta^i \end{Bmatrix} = \sum_{i=0}^{\infty} \begin{Bmatrix} aa_1 \\ * \\ aa_N \end{Bmatrix}_i \zeta^i = \sum_{i=0}^{\infty} \{AA\}_i \zeta^i \quad (4-25)$$

ตัวอย่าง เช่น  $\begin{Bmatrix} X_1 \\ X_2 \end{Bmatrix} = \begin{Bmatrix} aa_{1,0} + aa_{1,1}\zeta + aa_{1,2}\zeta^2 + aa_{1,3}\zeta^3 + \dots + aa_{1,i}\zeta^i \\ aa_{2,0} + aa_{2,1}\zeta + aa_{2,2}\zeta^2 + aa_{2,3}\zeta^3 + \dots + aa_{2,i}\zeta^i \end{Bmatrix}$

โดย  $\{AA\}_i$  เป็นสัมประสิทธิ์ที่ไม่ทราบค่าของ  $\zeta$  ในพิกัดไร้มิติ

เมื่อแทนสมการ (4-25) ลงในสมการ (4-16) แล้วจัดใหม่ จะได้ความสัมพันธ์ของ  $\{AA\}_i$  ในรูป

$$\begin{aligned} \{AA\}_{i+4} &= -\frac{1}{(i+1)(i+2)(i+3)(i+4)} \left( [A_1] \{AA\}_{i+3} (i+1)(i+2)(i+3) \right. \\ &+ ([A_2] - \lambda\beta_x [A_5]) \{AA\}_{i+2} (i+1)(i+2) \\ &+ ([A_3] - \lambda\beta_{xy} [A_6]) \{AA\}_{i+1} (i+1) \\ &\left. + ([A_4] - \lambda\beta_y [A_7]) \{AA\}_i \right) \end{aligned} \quad (4-26)$$

สมการ (4-26) เรียกว่า recurrence formula ซึ่งจะทำให้สามารถเขียนค่า  $\{AA\}_{i+4}$  ให้อยู่ในรูปของ  $\{AA\}_{i+3}, \{AA\}_{i+2}, \{AA\}_{i+1}$  และ  $\{AA\}_i$  ได้ โดยเวกเตอร์เจาะจงในการแก้ปัญหาค่าเจาะจงมีจำนวนเท่ากับ  $4N$  ตัว และค่าเจาะจงจะได้ออกมาจากการแทนสมการ (4-26) ลงในสมการเงื่อนไขขอบเขตที่สอดคล้องกับเงื่อนไขขอบเขตการจับยึดในด้านแกน  $x$  สมการ (4-19 ถึง 4-22) ของปัญหาที่สนใจ แล้วนำค่าเจาะจงที่ได้ไปหาเวกเตอร์เจาะจงต่อไป

ในการทำงานเดียวกัน จากสมการพลังงานศักย์รวมหากสมมุติให้ทราบค่าฟังก์ชันในทิศ  $x$  จะสามารถแก้ปัญหาและหาค่าภาระการโก่งงอได้ในทำนองเดียวกับการสมมุติให้ทราบค่าฟังก์ชันในทิศ  $y$  โดยสมมุติให้ผลเฉลยของฟังก์ชันสมการการเคลื่อนที่บนกระนาบ  $w(x, y)$  อยู่ในรูป [11]

$$w(x, y) = \sum_{i=1}^N X_i(x) Y_i(y) = \{Y\}^T \{X\} \quad (4-27)$$

เมื่อแทน  $w(x, y)$  จากสมการ (4-27) ลงในสมการ (4-6) จะได้

$$\begin{aligned} \Pi = & \frac{1}{2} \int_0^b \left( D_{11} \{Y\}^T [R_4] \{Y\} + 2D_{12} \{Y\}^T [R_2]^T \{Y_{,yy}\} + D_{22} \{Y_{,yy}\}^T [R_1] \{Y_{,yy}\} \right. \\ & + 4D_{66} \{Y_{,y}\}^T [R_6] \{Y_{,y}\} + 4D_{16} \{Y\}^T [R_5] \{Y_{,y}\} + 4D_{26} \{Y_{,yy}\}^T [R_3] \{Y_{,y}\} \\ & \left. - N_x \{Y\}^T [R_6] \{Y\} - N_y \{Y_{,y}\}^T [R_1] \{Y_{,y}\} - 2N_{xy} \{Y\}^T [R_3]^T \{Y_{,y}\} \right) dy \end{aligned} \quad (4-28)$$

$$\begin{aligned} \text{โดย} \quad [R_1] &= \int_{x=0}^{x=a} \{X\} \{X\}^T dx & [R_4] &= \int_{x=0}^{x=a} \{X_{,xx}\} \{X_{,xx}\}^T dx \\ [R_2] &= \int_{x=0}^{x=a} \{X\} \{X_{,xx}\}^T dx & [R_5] &= \int_{x=0}^{x=a} \{X_{,xx}\} \{X_{,x}\}^T dx \\ [R_3] &= \int_{x=0}^{x=a} \{X\} \{X_{,x}\}^T dx & [R_6] &= \int_{x=0}^{x=a} \{X_{,x}\} \{X_{,x}\}^T dx \end{aligned} \quad (4-29)$$

จากพลังงานศักย์รวมสมการ (4-28) เมื่อใช้หลักการของค่าต่ำสุดของพลังงานศักย์รวมโดยการแปรผันของพลังงานศักย์รวม นั่นคือ  $\delta\Pi = 0$  โดยแยกคิดทีละเทอมเหมือนด้านที่สมมุติให้ทราบ ค่าฟังก์ชันในทิศ  $y$  จะได้

$$\begin{aligned} \delta\Pi = & \int_0^b \left( \left( D_{22} \{Y_{,yy}\}^T [R_1] + D_{12} \{Y\}^T [R_2]^T + 2D_{26} \{Y_{,y}\}^T [R_3]^T \right) \{ \delta Y_{,yy} \} \right. \\ & + \left( 4D_{66} \{Y_{,y}\}^T [R_6] + 2D_{16} \{Y\}^T [R_5] + 2D_{26} \{Y_{,yy}\}^T [R_3] \right. \\ & \left. \left. - N_y \{Y_{,y}\}^T [R_1] - N_{xy} \{Y\}^T [R_3]^T \right) \{ \delta Y_{,y} \} \right) dy \\ & + \left( D_{11} \{Y\}^T [R_4] + D_{12} \{Y_{,yy}\}^T [R_2]^T + 2D_{16} \{Y_{,y}\}^T [R_5]^T - N_x \{Y\}^T [R_6] \right. \\ & \left. - N_{xy} \{Y_{,y}\}^T [R_3]^T \right) \{ \delta Y \} dy = \{0\} \end{aligned} \quad (4-30)$$

จากนั้นอินทิเกรตทีละส่วนแล้วจัดให้อยู่ในรูปแบบสมการเชิงอนุพันธ์สามัญและเงื่อนไขขอบเขต ได้ดังนี้

$$\begin{aligned} & D_{22} [R_1]^T \{Y_{,yyyy}\} + 2D_{26} \left( [R_3] - [R_3]^T \right) \{Y_{,yyy}\} \\ & + \left( D_{12} \left( [R_2] + [R_2]^T \right) - 4D_{66} [R_6]^T + N_y [R_1]^T \right) \{Y_{,yy}\} \\ & + \left( 2D_{16} \left( [R_5] - [R_5]^T \right) + N_{xy} \left( [R_3] - [R_3]^T \right) \right) \{Y_{,y}\} \\ & + \left( D_{11} [R_4]^T - N_x [R_6]^T \right) \{Y\} = \{0\} \end{aligned} \quad (4-31)$$

โดยเงื่อนไขขอบเขตที่เกี่ยวข้องที่ตำแหน่ง  $y=0$  และ  $y=b$  คือ

$$(D_{22} [R_1]^T \{Y_{,yy}\} + 2D_{26} [R_3] \{Y_{,y}\} + D_{12} [R_2] \{Y\})|_{y=0}^{y=b} = \{0\} \quad (4-32)$$

หรือ

$$\{Y_{,y}\}|_{y=0}^{y=b} = \{0\} \quad (4-33)$$

และ

$$\begin{aligned} & (D_{22} [R_1]^T \{Y_{,yyy}\} + 2D_{26} ([R_3] - [R_3]^T) \{Y_{,yy}\} \\ & + (D_{12} [R_2] - 4D_{66} [R_6]^T + N_y [R_1]^T) \{Y_{,y}\} \\ & - (2D_{16} [R_5]^T - N_{xy} [R_3]) \{Y\})|_{y=0}^{y=b} = \{0\} \end{aligned} \quad (4-34)$$

หรือ

$$\{Y\}|_{y=0}^{y=b} = \{0\} \quad (4-35)$$

กรณีการจับยึดแบบง่าย : สมการเงื่อนไขขอบเขตที่ใช้คือ (4-32) และ (4-35)

กรณีการจับยึดแบบยึดแน่น : สมการเงื่อนไขขอบเขตที่ใช้คือ (4-33) และ (4-35)

กรณีที่ขอบปล่อยอิสระ : สมการเงื่อนไขขอบเขตที่ใช้คือ (4-32) และ (4-34)

เมื่อพิจารณาในพิกัดไร้มิติ กำหนดให้  $\eta = \frac{y}{b}$  สามารถเขียนสมการ (4-31) ใหม่ได้เป็น

$$\begin{aligned} & \{Y_{,\eta\eta\eta\eta}\} + [B_1] \{Y_{,\eta\eta\eta}\} + [B_2] \{Y_{,\eta\eta}\} + [B_3] \{Y_{,\eta}\} + [B_4] \{Y\} \\ & - \alpha_y [B_5] \{Y_{,\eta\eta}\} - \alpha_{xy} [B_6] \{Y_{,\eta}\} - \alpha_x [B_7] \{Y\} = \{0\} \end{aligned} \quad (4-36)$$

โดย

$$\begin{aligned} [B_1] &= \frac{2D_{26}}{D_{22}} b [R_1]^{-1} ([R_3] - [R_3]^T) \\ [B_2] &= \frac{b^2}{D_{22}} [R_1]^{-1} (D_{12} ([R_2] + [R_2]^T) - 4D_{66} [R_6]^T) \\ [B_3] &= \frac{2D_{16} b^3}{D_{22}} [R_1]^{-1} ([R_5] - [R_5]^T) \\ [B_4] &= \frac{D_{11} b^4}{D_{22}} [R_1]^{-1} [R_4]^T \\ [B_5] &= -[I] \\ [B_6] &= -[R_1]^{-1} ([R_3] - [R_3]^T) b \\ [B_7] &= [R_1]^{-1} [R_6]^T b^2 \end{aligned} \quad (4-37)$$

และ  $\alpha_x, \alpha_y$  และ  $\alpha_{xy}$  นิยามไว้ดังนี้

$$\alpha_x = \frac{N_x b^2}{D_{22}} \quad \alpha_y = \frac{N_y b^2}{D_{22}} \quad \alpha_{xy} = \frac{N_{xy} b^2}{D_{22}} \quad (4-38)$$

เงื่อนไขขอบเขตที่เกี่ยวข้องของในพิกัดไร้มิติที่ตำแหน่ง  $\eta = 0$  และ  $\eta = 1$  ดังนี้

$$([B_8]\{Y_{,\eta\eta}\} + [B_9]\{Y_{,\eta}\} + [B_{10}]\{Y\})\Big|_{\eta=0}^{\eta=1} = \{0\} \quad (4-39)$$

หรือ

$$\{Y_{,\eta}\}\Big|_{\eta=0}^{\eta=1} = \{0\} \quad (4-40)$$

และ

$$([B_{11}]\{Y_{,\eta\eta\eta}\} + [B_{12}]\{Y_{,\eta\eta}\} + ([B_{13}] - \alpha_y [B_{14}])\{Y_{,\eta}\} + ([B_{15}] - \alpha_{xy} [B_{16}])\{Y\})\Big|_{\eta=0}^{\eta=1} = \{0\} \quad (4-41)$$

หรือ

$$\{Y\}\Big|_{\eta=0}^{\eta=1} = \{0\} \quad (4-42)$$

กรณีการจับยึดแบบง่าย : สมการเงื่อนไขขอบเขตที่ใช้คือ (4-39) และ (4-42)

กรณีการจับยึดแบบยึดแน่น : สมการเงื่อนไขขอบเขตที่ใช้คือ (4-40) และ (4-42)

กรณีที่ขอบปล่อยอิสระ : สมการเงื่อนไขขอบเขตที่ใช้คือ (4-39) และ (4-41)

โดย

$$\begin{aligned} [B_8] &= \frac{D_{22} [R_1]}{b^2} & [B_{13}] &= \frac{4D_{66} [R_6]^T - D_{12} [R_2]}{b} \\ [B_9] &= \frac{2D_{26} [R_3]}{b} & [B_{14}] &= \frac{D_{22} [R_1]}{b^3} \\ [B_{10}] &= D_{12} [R_2] & [B_{15}] &= 2D_{16} [R_5]^T \\ [B_{11}] &= \frac{-D_{22} [R_1]}{b^3} & [B_{16}] &= \frac{D_{22} [R_3]}{b^2} \\ [B_{12}] &= \frac{-2D_{26} ([R_3] - [R_3]^T)}{b^2} \end{aligned} \quad (4-43)$$

และสมมุติค่าภาระในแนวระนาบไร้มิติให้อยู่ภายใต้พารามิเตอร์เดียวกัน ดังนี้

$$\alpha_x = \alpha\gamma_x \quad \alpha_y = \alpha\gamma_y \quad \alpha_{xy} = \alpha\gamma_{xy} \quad (4-44)$$

โดยค่า  $\gamma_x, \gamma_y$  และ  $\gamma_{xy}$  เป็นค่าคงที่ที่ทราบค่า



ค่า  $\{Y\}$  ที่อยู่ในรูปแบบของอนุกรมกำลังอนันต์ คือ

$$\{Y\} = \begin{Bmatrix} Y_1(\eta) \\ * \\ Y_N(\eta) \end{Bmatrix} = \begin{Bmatrix} \sum_{i=0}^{\infty} bb_{1,i} \eta^i \\ * \\ \sum_{i=0}^{\infty} bb_{N,i} \eta^i \end{Bmatrix} = \sum_{i=0}^{\infty} \begin{Bmatrix} bb_1 \\ * \\ bb_N \end{Bmatrix}_i \eta^i = \sum_{i=0}^{\infty} \{BB\}_i \eta^i \quad (4-45)$$

ตัวอย่าง เช่น  $\begin{Bmatrix} X_1 \\ X_2 \end{Bmatrix} = \begin{Bmatrix} aa_{1,0} + aa_{1,1}\zeta + aa_{1,2}\zeta^2 + aa_{1,3}\zeta^3 + \dots + aa_{1,i}\zeta^i \\ aa_{2,0} + aa_{2,1}\zeta + aa_{2,2}\zeta^2 + aa_{2,3}\zeta^3 + \dots + aa_{2,i}\zeta^i \end{Bmatrix}$

โดย  $\{BB\}_i$  เป็นสัมประสิทธิ์ที่ไม่ทราบค่าของ  $\eta$  ในพิกัดไร้มิติ

และ recurrence formula สำหรับ  $\{BB\}_{i+4}$  สำหรับการสมมติให้ทราบค่าฟังก์ชันในทิศ  $x$  คือ

$$\begin{aligned} \{BB\}_{i+4} = & -\frac{1}{(i+1)(i+2)(i+3)(i+4)} ([B_1]\{BB\}_{i+3} (i+1)(i+2)(i+3) \\ & + ([B_2] - \alpha\gamma_y [B_5])\{BB\}_{i+2} (i+1)(i+2) \\ & + ([B_3] - \alpha\gamma_{xy} [B_6])\{BB\}_{i+1} (i+1) \\ & + ([B_4] - \alpha\gamma_x [B_7])\{BB\}_i) \end{aligned} \quad (4-46)$$

จากการวิเคราะห์ปัญหาการโก่งงอของแผ่นคอมโพสิตด้วยระเบียบวิธีแคนโทโรวิชดังแสดงข้างต้น สามารถใช้เป็นแนวทางสำหรับการวิเคราะห์ปัญหาการสั่นสะเทือนของแผ่นคอมโพสิตด้วยระเบียบวิธีแคนโทโรวิชได้ เนื่องจากสมการครอบคลุมของปัญหาการสั่นสะเทือนและปัญหาการโก่งงออยู่ในรูปของพลังงานศักย์รวมเหมือนกัน

#### 4.2 การวิเคราะห์ปัญหาการสั่นสะเทือนของแผ่นคอมโพสิตด้วยระเบียบวิธีแคนโทโรวิช

การแก้ปัญหาการสั่นสะเทือนของแผ่นคอมโพสิตบางสามารถทำได้โดยวิเคราะห์พลังงานศักย์รวมเช่นเดียวกับปัญหาการโก่งงอ โดยพลังงานศักย์รวมสำหรับปัญหาการสั่นสะเทือนประกอบด้วยพลังงานศักย์ที่เกิดจากการเปลี่ยนรูปของวัสดุหรือพลังงานความเครียด เช่นเดียวกับสมการ (4-1) และพลังงานที่เกิดจากการเคลื่อนที่ของโครงสร้าง (Kinetic energy,  $T$ ) [21] ซึ่งสามารถหาได้จาก

$$T = \frac{1}{2} \iint \rho h \left[ \left( \frac{\partial u}{\partial t} \right)^2 + \left( \frac{\partial v}{\partial t} \right)^2 + \left( \frac{\partial w}{\partial t} \right)^2 \right] dx dy \quad (4-47)$$

เมื่อเป็นโครงสร้างแผ่นบางการเคลื่อนที่ในแนวระนาบ  $u, v$  จะไม่มีผลต่อการสั่นสะเทือน และ  
ระยะการเคลื่อนที่นอกระนาบ  $w$  แสดงในรูปฟังก์ชันของเวลาคือ

$$w(x, y, t) = w(x, y)e^{i\omega t} \quad (4-48)$$

สำหรับปัญหาการสั่นสะเทือนของแผ่นคอมโพสิตบางแบบลามิเนตสมมาตร ค่า  $B_{ij} = 0$  เมื่อแทน  
สมการ (4-48) ลงในสมการ (4-47) จะได้พลังงานศักย์รวม ซึ่งสามารถเขียนได้ในรูป

$$\begin{aligned} \Pi = \frac{1}{2} \int_0^a \int_0^b [ & D_{11} w_{,xx}^2 + 2D_{12} w_{,xx} w_{,yy} + D_{22} w_{,yy}^2 + 4D_{66} w_{,xy}^2 \\ & + 4(D_{16} w_{,xx} + D_{26} w_{,yy}) w_{,xy} - \rho h \omega^2 w^2 ] dx dy \end{aligned} \quad (4-49)$$

โดย  $w$  คือ ฟังก์ชันการเคลื่อนที่นอกระนาบ

$\rho$  คือ ความหนาแน่นของแผ่น (มวลต่อหนึ่งหน่วยปริมาตร)

$h$  คือ ความหนาของแผ่น

$\omega$  คือ ค่าความถี่ธรรมชาติ

สำหรับการแก้ปัญหาการสั่นสะเทือนด้วยระเบียบวิธีแคนโทโรวิช จะมีลำดับขั้นตอนในการ  
แก้ปัญหาเช่นเดียวกับการแก้ปัญหาการโก่งงอ โดยเริ่มจากสมมุติให้ผลเฉลยของฟังก์ชันสมการ  
การเคลื่อนที่นอกระนาบ  $w(x, y)$  เท่ากับสมการ (4-7) และถ้าสมมุติให้ทราบค่าฟังก์ชันในทิศ  $y$   
หรือฟังก์ชัน  $Y_i(y)$  ในสมการ (4-7) ก็ต้องหาค่าฟังก์ชัน  $X_i(x)$  ที่สอดคล้องกับเงื่อนไขขอบเขตที่  
ตำแหน่ง  $x=0$  และ  $x=a$  ดังนั้นเมื่อแทนสมการ (4-7) ลงในสมการ (4-49) จะได้

$$\begin{aligned} \Pi = \frac{1}{2} \int_0^a ( & D_{11} \{X_{,xx}\}^T [S_1] \{X_{,xx}\} + 2D_{12} \{X_{,xx}\}^T [S_2] \{X\} + D_{22} \{X\}^T [S_4] \{X\} \\ & + 4D_{66} \{X_{,x}\}^T [S_6] \{X_{,x}\} + 4D_{16} \{X_{,xx}\}^T [S_3] \{X_{,x}\} + 4D_{26} \{X\}^T [S_5] \{X_{,x}\} \\ & - \rho h \omega^2 \{X\}^T [S_1] \{X\} ) dx \end{aligned} \quad (4-50)$$

$$\text{โดย } [S_1] = \int_0^b \{Y\} \{Y\}^T dy$$

$$[S_2] = \int_0^b \{Y\} \{Y_{,yy}\}^T dy$$

$$[S_3] = \int_0^b \{Y\} \{Y_{,y}\}^T dy$$

$$[S_4] = \int_0^b \{Y_{,yy}\} \{Y_{,yy}\}^T dy$$

$$[S_5] = \int_0^b \{Y_{,yy}\} \{Y_{,y}\}^T dy$$

$$[S_6] = \int_0^b \{Y_{,y}\} \{Y_{,y}\}^T dy \quad (4-51)$$

จากสมการ (4-50) เมื่อใช้หลักการของค่าต่ำสุดของพลังงานศักย์รวมโดยการแปรผันของพลังงานศักย์รวมคือ  $\delta\Pi = 0$  สามารถเขียนให้อยู่ในรูป

$$\begin{aligned} \delta\Pi = \int_0^a & \left( (D_{11} \{X_{,xx}\}^T [S_1] + D_{12} \{X\}^T [S_2]^T + 2D_{16} \{X_{,x}\}^T [S_3]^T) \{ \delta X_{,xx} \} \right. \\ & + (4D_{66} \{X_{,x}\}^T [S_6] + 2D_{16} \{X_{,xx}\}^T [S_3] + 2D_{26} \{X\}^T [S_5]) \{ \delta X_{,x} \} \\ & + (D_{12} \{X_{,xx}\}^T [S_2] + D_{22} \{X\}^T [S_4] + 2D_{26} \{X_{,x}\}^T [S_5]^T \\ & \left. - \rho h \omega^2 \{X\}^T [S_1]) \{ \delta X \} \right) dx = \{0\} \end{aligned} \quad (4-52)$$

จากนั้นอินทิเกรตทีละส่วนสมการ (4-52) แล้วจัดให้อยู่ในรูปแบบสมการเชิงอนุพันธ์สามัญและเงื่อนไขขอบเขต ได้ดังนี้

$$\begin{aligned} & D_{11} [S_1]^T \{X_{,xxx}\} + 2D_{16} ([S_3] - [S_3]^T) \{X_{,xx}\} \\ & + (D_{12} ([S_2] + [S_2]^T) - 4D_{66} [S_6]^T) \{X_{,x}\} \\ & + (2D_{26} ([S_5] - [S_5]^T)) \{X_{,x}\} + (D_{22} [S_4]^T - \rho h \omega^2 [S_1]^T) \{X\} = \{0\} \end{aligned} \quad (4-53)$$

โดยเงื่อนไขขอบเขตที่เกี่ยวข้องที่ตำแหน่ง  $x=0$  และ  $x=a$  คือ

$$(D_{11} [S_1]^T \{X_{,xx}\} + 2D_{16} [S_3] \{X_{,x}\} + D_{12} [S_2] \{X\}) \Big|_{x=0}^{x=a} = \{0\} \quad (4-54)$$

หรือ

$$\{X_{,x}\} \Big|_{x=0}^{x=a} = \{0\} \quad (4-55)$$

และ

$$\begin{aligned} & (-D_{11} [S_1]^T \{X_{,xxx}\} - 2D_{16} ([S_3] - [S_3]^T) \{X_{,xx}\} \\ & - (D_{12} [S_2] - 4D_{66} [S_6]^T) \{X_{,x}\} + (2D_{26} [S_5]^T) \{X\}) \Big|_{x=0}^{x=a} = \{0\} \end{aligned} \quad (4-56)$$

หรือ

$$\{X\} \Big|_{x=0}^{x=a} = \{0\} \quad (4-57)$$

กรณีการจับยึดแบบง่าย : สมการเงื่อนไขขอบเขตที่ใช้คือ (4-54) และ (4-57)

กรณีการจับยึดแบบยึดแน่น : สมการเงื่อนไขขอบเขตที่ใช้คือ (4-55) และ (4-57)

กรณีที่ขอบปล่อยอิสระ : สมการเงื่อนไขขอบเขตที่ใช้คือ (4-54) และ (4-56)

เมื่อพิจารณาในพิกัดไร้มิติโดยกำหนดให้  $\zeta = \frac{x}{a}$  สามารถเขียนสมการ (4-53) ใหม่ได้เป็น

$$\{X_{,\zeta\zeta\zeta}\} + [A_1]\{X_{,\zeta\zeta}\} + [A_2]\{X_{,\zeta}\} + [A_3]\{X_{,\zeta}\} + ([A_4] - \omega^2 [A_5])\{X\} = \{0\} \quad (4-58)$$

โดย

$$\begin{aligned} [A_1] &= \frac{2D_{16}}{D_{11}} a [S_1]^{-1} ([S_3] - [S_3]^T) \\ [A_2] &= \frac{a^2}{D_{11}} [S_1]^{-1} (D_{12} ([S_2] + [S_2]^T) - 4D_{66} [S_6]^T) \\ [A_3] &= \frac{2D_{26}a^3}{D_{11}} [S_1]^{-1} ([S_5] - [S_5]^T) \\ [A_4] &= \frac{D_{22}a^4}{D_{11}} [S_1]^{-1} [S_4]^T \\ [A_5] &= \frac{\rho ha^4}{D_{11}} [I] \end{aligned} \quad (4-59)$$

และจะได้เงื่อนไขขอบเขตที่เกี่ยวข้องของในพิกัดไร้มิติที่ตำแหน่ง  $\zeta = 0$  และ  $\zeta = 1$  ดังนี้

$$([A_6]\{X_{,\zeta\zeta}\} + [A_7]\{X_{,\zeta}\} + [A_8]\{X\})|_{\zeta=0}^{\zeta=1} = \{0\} \quad (4-60)$$

หรือ

$$\{X_{,\zeta}\}|_{\zeta=0}^{\zeta=1} = \{0\} \quad (4-61)$$

และ

$$([A_9]\{X_{,\zeta\zeta\zeta}\} + [A_{10}]\{X_{,\zeta\zeta}\} + [A_{11}]\{X_{,\zeta}\} + [A_{12}]\{X\})|_{\zeta=0}^{\zeta=1} = \{0\} \quad (4-62)$$

หรือ

$$\{X\}|_{\zeta=0}^{\zeta=1} = \{0\} \quad (4-63)$$

กรณีการจับยึดแบบง่าย : สมการเงื่อนไขขอบเขตที่ใช้คือ (4-60) และ (4-63)

กรณีการจับยึดแบบยึดแน่น : สมการเงื่อนไขขอบเขตที่ใช้คือ (4-61) และ (4-63)

กรณีที่ขอบปล่อยอิสระ : สมการเงื่อนไขขอบเขตที่ใช้คือ (4-60) และ (4-62)

โดย

$$\begin{aligned} [A_6] &= \frac{D_{11} [S_1]}{a^2} & [A_{10}] &= \frac{-2D_{16} ([S_3] - [S_3]^T)}{a^2} \\ [A_7] &= \frac{2D_{16} [S_3]}{a} & [A_{11}] &= \frac{4D_{66} [S_6]^T - D_{12} [S_2]}{a} \\ [A_8] &= D_{12} [S_2] & [A_{12}] &= 2D_{26} [S_5]^T \\ [A_9] &= \frac{-D_{11} [S_1]}{a^3} \end{aligned} \quad (4-64)$$

สำหรับการแก้ปัญหาค่าเงาเงาที่ต่อเนื่องด้วยระเบียบวิธีแคนโทโรวิช ลักษณะของสมการก็จะอยู่ในรูปแบบของปัญหาค่าเงาเงา เช่นเดียวกับปัญหาการโค้งงอ โดยมีค่า  $\omega^2$  เป็นค่าเงาเงา และ  $\{X\}$  เป็นเวกเตอร์เงาเงา ในการแก้ปัญหาค่าเงาเงาจะเริ่มจาก สมมติค่าเงาเงาให้อยู่ในรูปแบบของอนุกรมกำลังอนันต์ ซึ่งมีรูปแบบดังสมการ (4-25) และเมื่อแทนสมการ (4-25) ลงในสมการ (4-58) แล้วจัดใหม่จะได้ความสัมพันธ์ของ  $\{AA\}_i$  ในรูป

$$\begin{aligned} \{AA\}_{i+4} = & -\frac{1}{(i+1)(i+2)(i+3)(i+4)} \left( [A_1] \{AA\}_{i+3} (i+1)(i+2)(i+3) \right. \\ & \left. + [A_2] \{AA\}_{i+2} (i+1)(i+2) + [A_3] \{AA\}_{i+1} (i+1) + ([A_4] - \omega^2 [A_5]) \{AA\}_i \right) \end{aligned} \quad (4-65)$$

โดยสมการ (4-65) เรียกว่า recurrence formula ซึ่งสามารถเขียนค่า  $\{AA\}_{i+4}$  ให้อยู่ในรูปแบบของ  $\{AA\}_{i+3}, \{AA\}_{i+2}, \{AA\}_{i+1}$  และ  $\{AA\}_i$  ได้ โดยจะพบว่าเวกเตอร์เงาเงาในการแก้ปัญหาค่าเงาเงามีจำนวน  $4N$  ตัว และค่าเงาเงาจะได้ออกมาจากการแทนสมการ (4-25) ที่จัดรูปใหม่ตามสมการ (4-65) ลงในสมการเงื่อนไขขอบเขตที่สอดคล้องกับเงื่อนไขขอบเขตการจับยึดในด้านแกน  $x$  สมการ (4-60 ถึง 4-63) ของปัญหาที่สนใจ แล้วนำค่าเงาเงาที่ได้ไปหาเวกเตอร์เงาเงาต่อไป

จากสมการพลังงานศักย์รวมหากสมมติให้ทราบค่าฟังก์ชันในทิศ  $x$  จะสามารถแก้ปัญหาค่าเงาเงาที่ต่อเนื่องได้ในทำนองเดียวกับการสมมติให้ทราบค่าฟังก์ชันในทิศ  $y$  โดยสมมติให้ผลเฉลยของฟังก์ชันสมการการเคลื่อนที่ที่นอกกระนาบ  $w(x, y)$  อยู่ในรูปดังสมการ (4-27) และเมื่อแทน  $w(x, y)$  จากสมการ (4-27) ลงในสมการ (4-49) จะได้

$$\begin{aligned} \Pi = & \frac{1}{2} \int_0^b (D_{11} \{Y\}^T [R_4] \{Y\} + 2D_{12} \{Y\}^T [R_2]^T \{Y_{,yy}\} + D_{22} \{Y_{,yy}\}^T [R_1] \{Y_{,yy}\} \\ & + 4D_{66} \{Y_{,y}\}^T [R_6] \{Y_{,y}\} + 4D_{16} \{Y\}^T [R_5] \{Y_{,y}\} + 4D_{26} \{Y_{,yy}\}^T [R_3] \{Y_{,y}\} \\ & - ph\omega^2 \{Y\}^T [R_1] \{Y\}) dy \end{aligned} \quad (4-66)$$

โดย

$$\begin{aligned} [R_1] &= \int_{x=0}^{x=a} \{X\} \{X\}^T dx & [R_4] &= \int_{x=0}^{x=a} \{X_{,xx}\} \{X_{,xx}\}^T dx \\ [R_2] &= \int_{x=0}^{x=a} \{X\} \{X_{,xx}\}^T dx & [R_5] &= \int_{x=0}^{x=a} \{X_{,xx}\} \{X_{,x}\}^T dx \\ [R_3] &= \int_{x=0}^{x=a} \{X\} \{X_{,x}\}^T dx & [R_6] &= \int_{x=0}^{x=a} \{X_{,x}\} \{X_{,x}\}^T dx \end{aligned} \quad (4-67)$$

จากพลังงานศักย์รวมสมการ (4-66) เมื่อใช้หลักการของค่าต่ำสุดของพลังงานศักย์รวมโดยการแปรผันของพลังงานศักย์รวม นั่นคือ  $\delta\Pi = 0$  เหมือนด้านที่สมมุติให้ทราบค่าฟังก์ชันในทิศ  $y$  จะได้ว่า

$$\begin{aligned} \delta\Pi = \int_0^b & \left( (D_{22} \{Y_{,yy}\})^T [R_1] + D_{12} \{Y\}^T [R_2]^T + 2D_{26} \{Y_{,y}\}^T [R_3]^T \right) \{\delta Y_{,yy}\} \\ & + (4D_{66} \{Y_{,y}\})^T [R_6] + 2D_{16} \{Y\}^T [R_5] + 2D_{26} \{Y_{,yy}\}^T [R_3]^T \{\delta Y_{,y}\} \\ & + (D_{11} \{Y\})^T [R_4] + D_{12} \{Y_{,yy}\}^T [R_2] + 2D_{16} \{Y_{,y}\}^T [R_5]^T \\ & - \rho h \omega^2 \{Y\}^T [R_1] \{\delta Y\} dy = \{0\} \end{aligned} \quad (4-68)$$

จากนั้นอินทิเกรตทีละส่วนแล้วจัดให้อยู่ในรูปแบบสมการเชิงอนุพันธ์สามัญและเงื่อนไขขอบเขต ได้ดังนี้

$$\begin{aligned} & D_{22} [R_1]^T \{Y_{,yyy}\} + 2D_{26} ([R_3] - [R_3]^T) \{Y_{,yyy}\} \\ & + (D_{12} ([R_2] + [R_2]^T) - 4D_{66} [R_6]^T) \{Y_{,yy}\} \\ & + (2D_{16} ([R_5] - [R_5]^T)) \{Y_{,y}\} + (D_{11} [R_4]^T - \rho h \omega^2 [R_1]^T) \{Y\} = \{0\} \end{aligned} \quad (4-69)$$

โดยเงื่อนไขขอบเขตที่เกี่ยวข้องที่ตำแหน่ง  $y=0$  และ  $y=b$  คือ

$$(D_{22} [R_1]^T \{Y_{,yy}\} + 2D_{26} [R_3] \{Y_{,y}\} + D_{12} [R_2] \{Y\}) \Big|_{y=0}^{y=b} = \{0\} \quad (4-70)$$

หรือ

$$\{Y_{,y}\} \Big|_{y=0}^{y=b} = \{0\} \quad (4-71)$$

และ

$$\begin{aligned} & (-D_{22} [R_1]^T \{Y_{,yyy}\} - 2D_{26} ([R_3] - [R_3]^T) \{Y_{,yy}\} \\ & - (D_{12} [R_2] - 4D_{66} [R_6]^T) \{Y_{,y}\} + 2D_{16} [R_5]^T \{Y\}) \Big|_{y=0}^{y=b} = \{0\} \end{aligned} \quad (4-72)$$

หรือ

$$\{Y\} \Big|_{y=0}^{y=b} = \{0\} \quad (4-73)$$

กรณีการจับยึดแบบง่าย : สมการเงื่อนไขขอบเขตที่ใช้คือ (4-70) และ (4-73)

กรณีการจับยึดแบบยึดแน่น : สมการเงื่อนไขขอบเขตที่ใช้คือ (4-71) และ (4-73)

กรณีที่ขอบปล่อยอิสระ : สมการเงื่อนไขขอบเขตที่ใช้คือ (4-70) และ (4-72)

เมื่อพิจารณาในพิกัดไร้มิติ กำหนดให้  $\eta = \frac{y}{b}$  สามารถเขียนสมการ (4-69) ใหม่ได้เป็น

$$\{Y_{,\eta\eta\eta}\} + [B_1]\{Y_{,\eta\eta}\} + [B_2]\{Y_{,\eta}\} + [B_3]\{Y_{,\eta}\} + ([B_4] - \omega^2[B_5])\{Y\} = \{0\} \quad (4-74)$$

โดย

$$\begin{aligned} [B_1] &= \frac{2D_{26}}{D_{22}} b [R_1]^{-1} ([R_3] - [R_3]^T) \\ [B_2] &= \frac{b^2}{D_{22}} [R_1]^{-1} (D_{12} ([R_2] + [R_2]^T) - 4D_{66} [R_6]^T) \\ [B_3] &= \frac{2D_{16}b^3}{D_{22}} [R_1]^{-1} ([R_5] - [R_5]^T) \\ [B_4] &= \frac{D_{11}b^4}{D_{22}} [R_1]^{-1} [R_4]^T \\ [B_5] &= \frac{\rho hb^4}{D_{22}} [I] \end{aligned} \quad (4-75)$$

เงื่อนไขขอบเขตที่เกี่ยวข้องของในพิกัดไร้มิติที่ตำแหน่ง  $\eta = 0$  และ  $\eta = 1$  ดังนี้

$$([B_6]\{Y_{,\eta\eta}\} + [B_7]\{Y_{,\eta}\} + [B_8]\{Y\})|_{\eta=0}^{\eta=1} = \{0\} \quad (4-76)$$

หรือ

$$\{Y_{,\eta}\}|_{\eta=0}^{\eta=1} = \{0\} \quad (4-77)$$

และ

$$([B_9]\{Y_{,\eta\eta\eta}\} + [B_{10}]\{Y_{,\eta\eta}\} + [B_{11}]\{Y_{,\eta}\} + [B_{12}]\{Y\})|_{\eta=0}^{\eta=1} = \{0\} \quad (4-78)$$

หรือ

$$\{Y\}|_{\eta=0}^{\eta=1} = \{0\} \quad (4-79)$$

กรณีการจับยึดแบบง่าย : สมการเงื่อนไขขอบเขตที่ใช้คือ (4-76) และ (4-79)

กรณีการจับยึดแบบยึดแน่น : สมการเงื่อนไขขอบเขตที่ใช้คือ (4-77) และ (4-79)

กรณีที่ขอบปล่อยอิสระ : สมการเงื่อนไขขอบเขตที่ใช้คือ (4-76) และ (4-78)

โดย

$$\begin{aligned} [B_6] &= \frac{D_{22}[R_1]}{b^2} & [B_{10}] &= \frac{-2D_{26}([R_3] - [R_3]^T)}{b^2} \\ [B_7] &= \frac{2D_{26}[R_3]}{b} & [B_{11}] &= \frac{4D_{66}[R_6]^T - D_{12}[R_2]}{b} \\ [B_8] &= D_{12}[R_2] & [B_{12}] &= 2D_{16}[R_5]^T \\ [B_9] &= \frac{-D_{22}[R_1]}{b^3} \end{aligned} \quad (4-80)$$

สำหรับค่า  $\{Y\}$  ที่อยู่ในรูปแบบของอนุกรมกำลังอนันต์สามารถเขียนให้อยู่ในรูปดังสมการ (4-45) และ recurrence formula สำหรับ  $\{BB\}_{i+4}$  สำหรับการสมมติให้ทราบค่าฟังก์ชันในทิศ  $x$  ในการแก้ปัญหาการสั้นสะเทือน คือ

$$\begin{aligned} \{BB\}_{i+4} = & -\frac{1}{(i+1)(i+2)(i+3)(i+4)} ([B_1]\{BB\}_{i+3} (i+1)(i+2)(i+3) \\ & + [B_2]\{BB\}_{i+2} (i+1)(i+2) + [B_3]\{BB\}_{i+1} (i+1) + ([B_4] - \omega^2 [B_5])\{BB\}_i) \end{aligned} \quad (4-81)$$

ในบทนี้ได้แสดงการวิเคราะห์ปัญหาการโก่งงอและการสั้นสะเทือนของแผ่นคอมโพสิตบางแบบลามิเนตสมมาตรด้วยระเบียบวิธีแคนโทโรวิชรวมถึงได้อธิบายขั้นตอนในการแก้ปัญหาของทั้งสองไว้พอสังเขป แต่เนื่องด้วยสมการที่ได้จากการวิเคราะห์มีจำนวนค่อนข้างมากซึ่งอาจทำให้เกิดความสับสนหรือความเข้าใจที่ไม่ชัดเจนในขั้นตอนการแก้ปัญหาทั้งสองได้ ดังนั้นในบทต่อไปจะอธิบายลำดับขั้นตอนสำหรับการแก้ปัญหาทั้งสองโดยละเอียดพร้อมทั้งแสดงตัวอย่างขั้นตอนและรายละเอียดของโปรแกรมคอมพิวเตอร์ที่ประดิษฐ์ขึ้นสำหรับแก้ปัญหาทั้งสองด้วย

ศูนย์วิทยทรัพยากร

จุฬาลงกรณ์มหาวิทยาลัย



## บทที่ 5

### ตัวอย่างการแก้ปัญหาการโค้งงอและการสันสะท้อน ด้วยระเบียบวิธีแคนโทโรวิช

ในบทที่ 4 ได้กล่าวถึงสมการครอบคลุม สมการที่สอดคล้องกับเงื่อนไขขอบเขตการจับยึดแบบต่าง ๆ และขั้นตอนการแก้สมการพหุคูณเชิงเส้นสำหรับการแก้ปัญหาการโค้งงอและการสันสะท้อนของแผ่นคอมโพสิตบางด้วยระเบียบวิธีแคนโทโรวิช ขั้นตอนการแก้ปัญหานี้ อาจทำให้เกิดความสับสนอยู่บ้างเนื่องจากจำนวนสมการของปัญหาทั้งสองมีค่อนข้างมาก ดังนั้นในบทนี้จะอธิบายลำดับขั้นตอนการแก้ปัญหานี้ทั้งสองอย่างละเอียดเพื่อให้เกิดความเข้าใจยิ่งขึ้นและแสดงรายละเอียดของโปรแกรมคอมพิวเตอร์ที่ประดิษฐ์ขึ้นสำหรับแก้ปัญหานี้ทั้งสอง

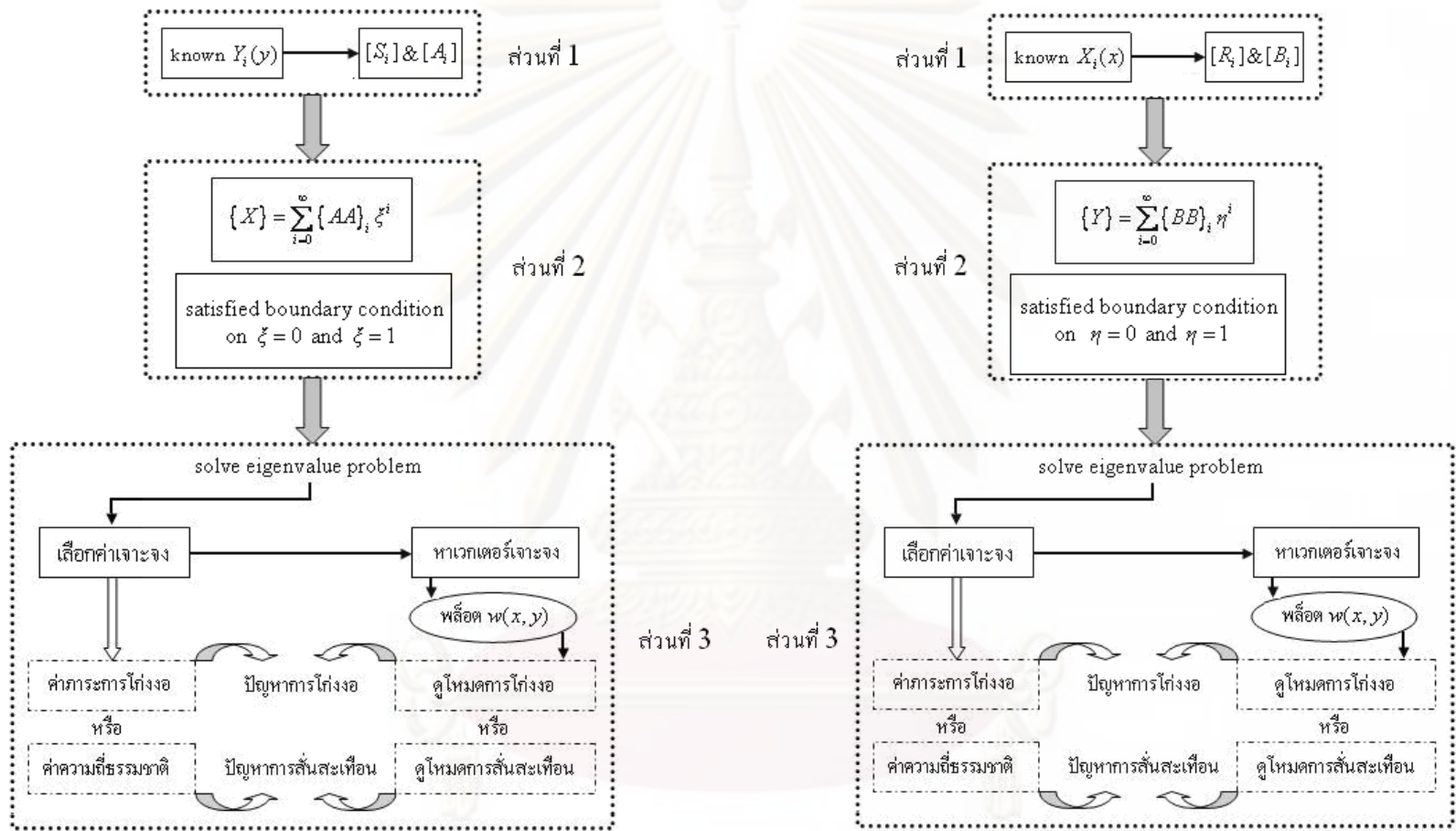
#### 5.1 โปรแกรมคอมพิวเตอร์สำหรับการแก้ปัญหาการโค้งงอและการสันสะท้อน

โปรแกรมคอมพิวเตอร์ที่ประดิษฐ์ขึ้นสำหรับใช้ในวิทยานิพนธ์นี้แบ่งออกเป็นสองส่วนหลัก ๆ คือ ส่วนที่ใช้สำหรับการแก้ปัญหาการโค้งงอและแก้ปัญหาการสันสะท้อนของแผ่นคอมโพสิตบางในแต่ละส่วนแบ่งการแก้ปัญหามาออกเป็นสองกรณี คือ กรณีที่กำหนดให้ฟังก์ชัน  $Y_i(y)$  เป็นฟังก์ชันที่ทราบค่าและกรณีที่กำหนดให้ฟังก์ชัน  $X_i(x)$  เป็นฟังก์ชันที่ทราบค่าสำหรับการแก้ปัญหาด้วยระเบียบวิธีแคนโทโรวิช สำหรับการศึกษาในวิทยานิพนธ์นี้ในการคำนวณรอบแรก กำหนดให้ฟังก์ชัน  $Y_i(y)$  เป็นฟังก์ชันที่ทราบค่าเริ่มต้น จากสมการและลำดับขั้นตอนที่ได้กล่าวในบทที่ 4 สามารถแบ่งส่วนโปรแกรมคอมพิวเตอร์ที่ประดิษฐ์ขึ้นออกเป็นสามส่วน ดังแสดงในแผนผังในรูปที่ 5.1 คือ

ส่วนที่ 1 โปรแกรมคอมพิวเตอร์ทำหน้าที่หาค่าเมตริกซ์ทราบค่าจากฟังก์ชันเริ่มต้นที่ทราบค่า ในสมการ (4-7)

ส่วนที่ 2 โปรแกรมคอมพิวเตอร์ทำหน้าที่หาสมการที่สอดคล้องกับเงื่อนไขขอบเขตการจับยึดของขอบที่ไม่ทราบฟังก์ชันเริ่มต้น

ส่วนที่ 3 โปรแกรมคอมพิวเตอร์ทำหน้าที่แก้ปัญหาค่าเจาะจง โดยพล็อตกราฟหาค่าเจาะจงที่ทำให้พลังงานรวมมีค่าต่ำสุด แล้วนำค่าเจาะจงที่ได้ไปหาเวกเตอร์เจาะจง สำหรับใช้เป็นฟังก์ชันเริ่มต้นสำหรับการทำซ้ำในรอบต่อไป



(a) ขั้นตอนการแก้ปัญหาโดยฟังก์ชัน  $Y_i(y)$  เป็นตัวทราบค่า

(b) ขั้นตอนการแก้ปัญหาโดยฟังก์ชัน  $X_i(x)$  เป็นตัวทราบค่า

รูปที่ 5.1 ขั้นตอนการคำนวณหาค่าการกระเจิงและค่าความถี่ธรรมชาติด้วยโปรแกรมคอมพิวเตอร์ที่ประดิษฐ์ขึ้น

ขั้นตอนการแก้ปัญหาการโก่งงอและการสั่นสะเทือนของแผ่นคอมโพสิตบางตามแผนผังในรูปที่ 5.1 ได้อธิบายไว้ในหัวข้อที่ 5.2 และ 5.3 ตามลำดับ ส่วนรายละเอียดของโปรแกรมคอมพิวเตอร์ที่ประดิษฐ์ขึ้นสำหรับการแก้ปัญหาทั้งสอง แสดงไว้ในภาคผนวก ก

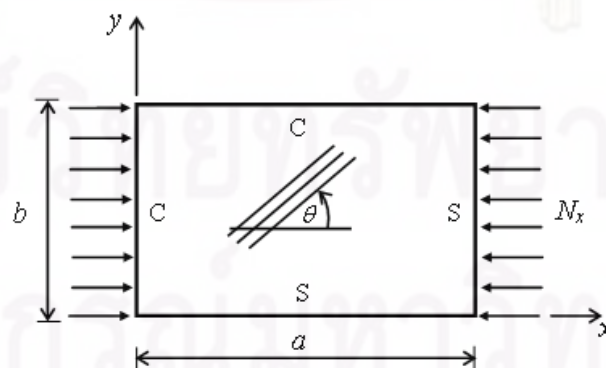
## 5.2 ขั้นตอนการแก้ปัญหาการโก่งงอของแผ่นคอมโพสิตบาง

ในหัวข้อนี้อธิบายขั้นตอนการหาค่าการโก่งงอที่ใช้ในวิทยานิพนธ์นี้ แผ่นคอมโพสิตที่ต้องการหาค่าการโก่งงอในหัวข้อนี้มีลักษณะเช่นเดียวกับการศึกษาที่ผ่านมาในอดีตของ Ungbhakorn และ Singhatanadgid [9] มีภาวะกีดกระทำในแนวแกนเดียว คือ  $N_x$  ลำดับชั้นการวางตัวของเส้นใยแบบ  $[0/90]_{2S}$  ภายใต้เงื่อนไขขอบเขตการจับยึดแบบ CSSC ดังแสดงในรูปที่ 5.2 โดยอักษรย่อของการจับยึดชิ้นงานและระบบแกนพิกัดที่ใช้ในวิทยานิพนธ์นี้ มีลักษณะดังแสดงในรูปที่ 5.3 รูปที่ 5.3 (a) แสดงลำดับการเรียงเส้นใยขอบเขตการจับยึด รูปที่ 5.3 (b) แสดงการจับยึดชิ้นงานแบบ CSFC โดยตัวอักษร C ตัวแรกและตัวที่สองแสดงเงื่อนไขขอบเขตที่  $x=0$  และ  $y=b$  ตามลำดับ ส่วนตัวอักษร S ตัวที่สองแสดงเงื่อนไขขอบเขตที่  $y=0$  และตัวอักษร F ตัวที่สามแสดงเงื่อนไขขอบเขตที่  $x=a$  ส่วนระบบแกนพิกัดและความยาวของชิ้นงานมีลักษณะดังแสดงในรูปที่ 5.3 (c) สำหรับค่าการโก่งงอในการศึกษานี้นำเสนอในรูปพารามิเตอร์ไร้หน่วย (nondimensional buckling load) ซึ่งคำนวณได้จาก

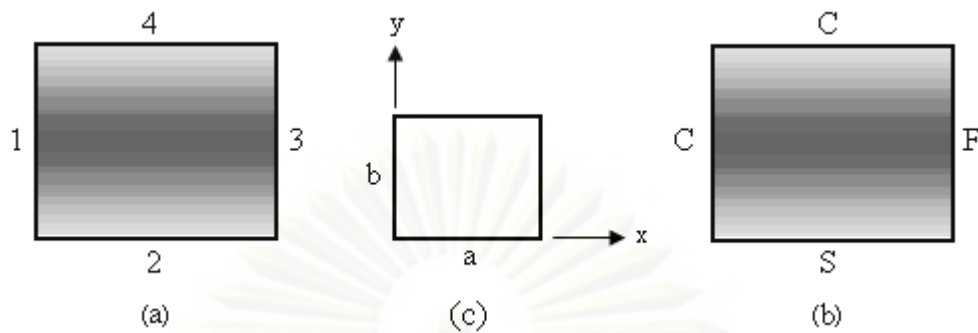
$$K_{cr} = (N_x^{cr} b^2 / \pi^2 D_{22}) \quad (5-1)$$

คุณสมบัติของวัสดุที่ใช้ศึกษา คือ

$$E_1 / E_2 = 3 \quad G_{12} / E_2 = 0.5 \quad \nu_{12} = 0.25$$



รูปที่ 5.2 การรับภาระในแนวระนาบของแผ่นคอมโพสิตบางภายใต้เงื่อนไขขอบเขตแบบ CSSC



รูปที่ 5.3 อักษรย่อแสดงลักษณะการจับยึดและระบบแกนพิกัด

- (a) ลำดับการเรียกเงื่อนไขขอบเขตการจับยึด  $BC = 1-2-3-4$   
 (b) ตัวอย่างเงื่อนไขขอบเขตการจับยึดแบบ CSFC  
 (c) ระบบแกนพิกัดและความยาวของชิ้นงาน

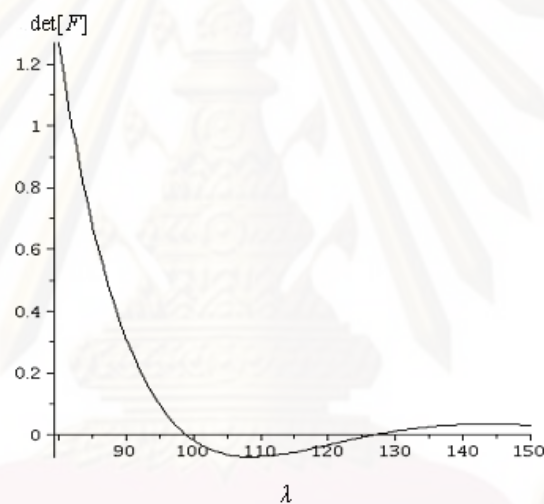
ขั้นตอนการคำนวณแสดงดังแผนผังในรูปที่ 5.1(a) โปรแกรมส่วนแรกทำหน้าที่หาค่าเมตริกซ์ทราบค่าจากฟังก์ชันเริ่มต้นที่สมมุติขึ้น การคำนวณรอบแรกเริ่มจากสมมุติให้ทราบค่าฟังก์ชันในทิศ  $y$  หรือฟังก์ชัน  $Y_i(y)$  ในสมการ (4-7) โดยฟังก์ชัน  $Y_i(y)$  ที่สมมุติขึ้นไม่จำเป็นต้องสอดคล้องกับเงื่อนไขขอบเขตการจับยึดที่ตำแหน่ง  $y=0$  และ  $y=b$  ตัวอย่างนี้ใช้จำนวนพจน์ในการสมมุติค่าฟังก์ชันเริ่มต้นในสมการ (4-7) เท่ากับ 1 ( $N=1$ ) โดยสมมุติค่า  $Y_1(y) = y^6$  จากนั้นนำฟังก์ชันเริ่มต้น  $Y_1(y)$  ที่สมมุติขึ้นไปหาเมตริกซ์ทราบค่า  $[S_i]$  ตามสมการ (4-9) และเมตริกซ์ทราบค่า  $[A_i]$  ตามสมการ (4-17) และ (4-23) จากนั้นโปรแกรมในส่วนที่สองจะหาสมการที่สอดคล้องกับเงื่อนไขขอบเขตการจับยึดของขอบที่ไม่ทราบฟังก์ชันเริ่มต้นคือ ที่ตำแหน่ง  $x=0$  และ  $x=a$  โดยกำหนดฟังก์ชัน  $X_i(x)$  ที่ต้องหาให้อยู่ในรูปแบบของอนุกรมกำลังอนันต์ตามสมการ (4-25) จากนั้นแทนฟังก์ชัน  $X_i(x)$  ที่กำหนดขึ้นลงในสมการ (4-16) และเขียนใหม่ให้อยู่ในรูปสมการ (4-26) ทำให้สามารถเขียนค่า  $\{AA\}_{i+4}$  ให้อยู่ในรูปของ  $\{AA\}_{i+3}$ ,  $\{AA\}_{i+2}$ ,  $\{AA\}_{i+1}$  และ  $\{AA\}_i$  ได้ ดังนั้นจะมีจำนวนเวกเตอร์เจาะจงสำหรับการแก้ปัญหาค่าเจาะจงมีเพียง  $4N$  ตัวเท่านั้น เมื่อแทนสมการ (4-25) ที่จัดรูปใหม่โดยใช้สมการ (4-26) ลงในสมการเงื่อนไขขอบเขตที่สอดคล้องกับเงื่อนไขขอบเขตการจับยึดในด้านที่ไม่ทราบฟังก์ชันเริ่มต้น ซึ่งในที่นี้คือด้าน  $x$  โดยที่ตำแหน่ง  $x=0$  มีการจับยึดแบบยึดแน่น และที่ตำแหน่ง  $x=a$  มีการจับยึดแบบง่าย ตามเงื่อนไขในสมการ (4-19 ถึง 4-22) แล้วจัดรูปแบบสมการที่สอดคล้องกับเงื่อนไขขอบเขตการจับยึดของขอบที่ไม่ทราบฟังก์ชันเริ่มต้นให้เป็นระบบสมการเชิงเส้นได้ในรูป

$$[F] \times [G] = 0 \quad (5-2)$$

โดย  $[F]$  คือ เมตริกซ์จัตุรัสขนาด  $[4N \times 4N]$  ที่มีค่าเจาะจงเป็นตัวแปรไม่ทราบค่าอยู่ เมตริกซ์นี้ได้จากเงื่อนไขขอบเขตการจับยึดที่ตำแหน่งขอบของฟังก์ชันที่ไม่ทราบค่า

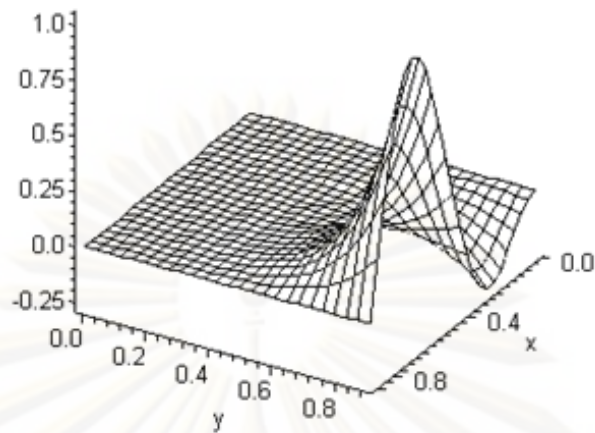
$[G]$  คือ เมตริกซ์หลักของค่าเวกเตอร์เจาะจงที่ไม่ทราบค่ามีจำนวนเท่ากับ  $4N$  ตัว

ส่วนโปรแกรมคอมพิวเตอร์ส่วนสุดท้ายทำหน้าที่แก้ปัญหาค่าเจาะจง จากสมการ (5-2) พบว่าสมาชิกของ  $[G]$  จะมีค่าไม่เท่ากับศูนย์พร้อมกัน เมื่อค่าดีเทอร์มิแนนท์ของเมตริกซ์  $[F]$  มีค่าเป็นศูนย์ นั่นคือค่าการกระการโก่งงอสามารถหาได้จากการแก้สมการ  $\det[F] = 0$  ซึ่งเมื่อเขียนกราฟแสดงความสัมพันธ์ระหว่าง  $\det[F]$  กับค่าเจาะจง  $\lambda$  จะได้ดังรูปที่ 5.4



รูปที่ 5.4 การหาราคำตอบของปัญหาค่าเจาะจง

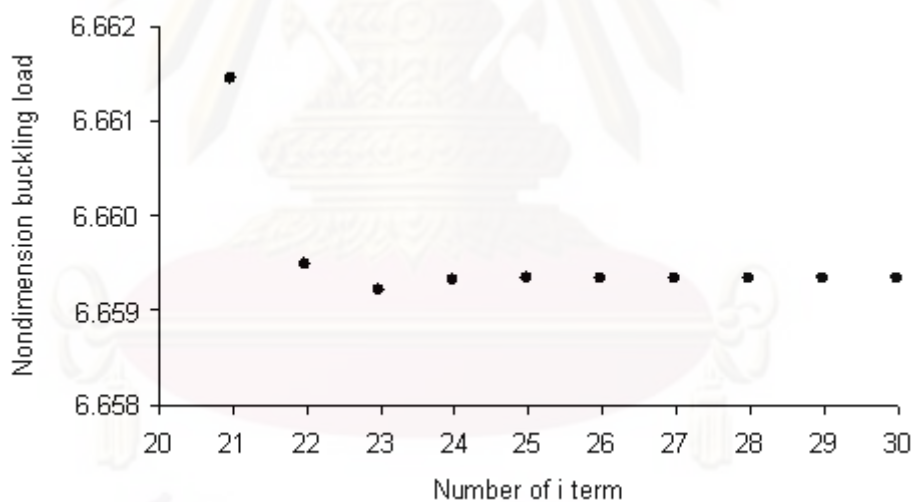
จากรูปที่ 5.4 จะเห็นว่าได้ค่า  $\lambda$  หลายค่าจากการแก้สมการ ซึ่งค่า  $\lambda$  แต่ละค่าเป็นค่าที่ทำให้พลังงานรวมมีค่าต่ำสุดตามเงื่อนไขที่ได้ตั้งไว้ โดยค่าการกระการโก่งงอคือค่าเจาะจงที่มีค่าน้อยที่สุด จากกราฟในรูปที่ 5.4 จะได้ค่าเจาะจงที่มีค่าน้อยที่สุดมีค่าเท่ากับ 98.920 ซึ่งหาได้โดยใช้วิธีนิวตัน-ราฟสัน และเมื่อใช้ความสัมพันธ์ของสมการ (4-24) และ (4-18) สามารถหาค่าการกระการโก่งงอรูปพาราเมเตอร์ไร้หน่วย  $K_{cr}$  มีค่าเท่ากับ 14.649 จากนั้นแก้สมการ (5-2) เพื่อหาค่าเวกเตอร์เจาะจงที่เป็นตัวไม่ทราบค่าของฟังก์ชัน  $X_i(x)$  โดยรูปร่างโหมดการโก่งงอจะได้จากการพล็อตสมการ (4-7) ดังแสดงในรูปที่ 5.5 ซึ่งจะเห็นได้ว่ารูปร่างโหมดการโก่งงอที่ได้จากการคำนวณครั้งแรกจะยังไม่สอดคล้องกับเงื่อนไขขอบเขตการจับยึดของแผ่นคอมโพสิต เนื่องจากฟังก์ชันเริ่มต้น  $Y_1(y)$  ที่สมมุติไม่สอดคล้องกับการจับยึดในด้าน  $y$



รูปที่ 5.5 รูปร่างโหมดการโก่งงอของแผ่นคอมโพสิตจากการคำนวณรอบแรก

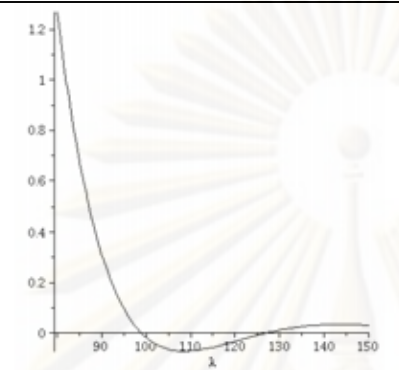
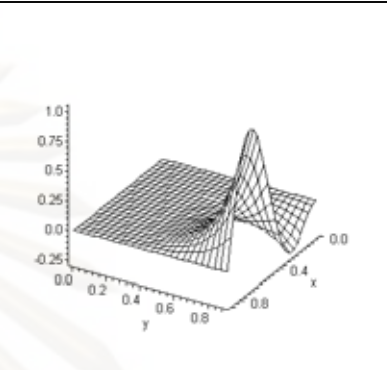
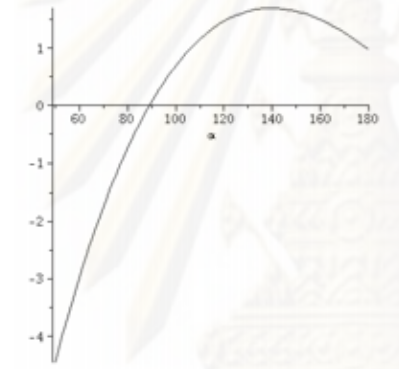
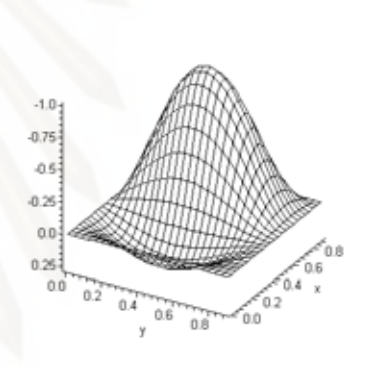
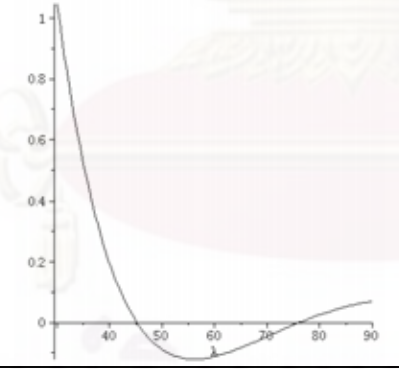
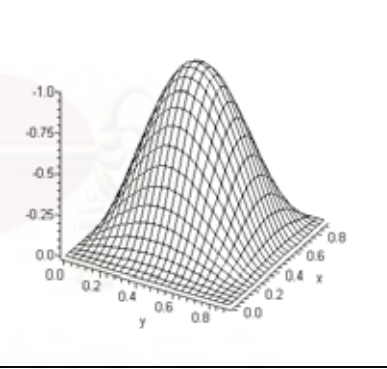
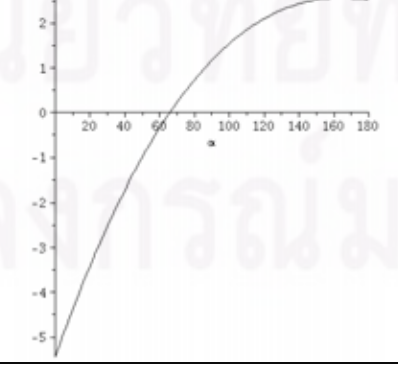
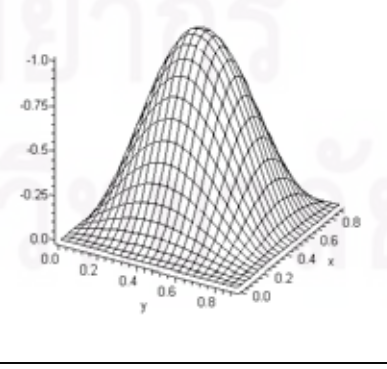
จากการคำนวณรอบแรกจะได้ฟังก์ชัน  $X_i(x)$  เป็นฟังก์ชันเริ่มต้นสำหรับการคำนวณรอบที่สองและจากแผนผังในรูปที่ 5.1(b) พบว่าลำดับขั้นตอนในการแก้ปัญหาจากด้านที่กำหนดให้ฟังก์ชัน  $X_i(x)$  เป็นฟังก์ชันทราบค่าจะมีกระบวนการคล้ายกับด้านที่กำหนดให้ฟังก์ชัน  $Y_i(y)$  เป็นฟังก์ชันทราบค่า การคำนวณรอบที่สองเริ่มจากนำฟังก์ชันเริ่มต้น  $X_i(x)$  ที่ได้จากการคำนวณรอบแรกไปหาเมตริกซ์ทราบค่า  $[R_i]$  ตามสมการ (4-29) และเมตริกซ์ทราบค่า  $[B_i]$  ตามสมการ (4-37) และ (4-43) จากนั้นหาสมการที่สอดคล้องกับเงื่อนไขขอบเขตการจับยึดของขอบที่ไม่ทราบฟังก์ชันเริ่มต้น โดยกำหนดฟังก์ชัน  $Y_i(y)$  ที่ต้องการทราบให้อยู่ในรูปแบบของอนุกรมกำลังอนันต์ตามสมการ (4-45) แทนฟังก์ชัน  $Y_i(y)$  ที่กำหนดขึ้นลงในสมการ (4-36) ได้สมการดังสมการ (4-46) ทำให้สามารถเขียนค่า  $\{BB\}_{i+4}$  ให้อยู่ในรูปของ  $\{BB\}_{i+3}$ ,  $\{BB\}_{i+2}$ ,  $\{BB\}_{i+1}$  และ  $\{BB\}_i$  ได้ เวกเตอร์เจาะจงในการแก้ปัญหาค่าเจาะจงมีจำนวนเท่ากับ  $4N$  ตัวเช่นเดียวกับการคำนวณรอบแรก โดยในการคำนวณรอบนี้มี  $\alpha$  เป็นค่าเจาะจง จากนั้นหาค่าเจาะจง  $\alpha$  และเวกเตอร์เจาะจงของฟังก์ชัน  $Y_i(y)$  โดยแทนสมการ (4-45) ที่จัดรูปใหม่โดยใช้สมการ (4-46) ลงในสมการเงื่อนไขขอบเขตที่สอดคล้องกับเงื่อนไขขอบเขตการจับยึดในด้านที่ไม่ทราบฟังก์ชันเริ่มต้นคือ ด้าน  $y$  โดยที่ตำแหน่ง  $y=0$  มีการจับยึดแบบง่าย และที่ตำแหน่ง  $y=b$  มีการจับยึดแบบยึดแน่น ตามเงื่อนไขในสมการ (4-39 ถึง 4-42) ในแก้ปัญหาค่าเจาะจงรอบที่สองได้ค่าเจาะจงที่มีค่าน้อยที่สุดมีค่าเท่ากับ 88.997 และจากความสัมพันธ์ของสมการ (4-44) และ (4-38) ได้ค่าภาระการโก่งงอรูปพารามิเตอร์ไร้หน่วย  $K_{cr}$  มีค่าเท่ากับ 9.017 ในการคำนวณรอบที่สองจะได้ฟังก์ชัน  $Y_i(y)$  ที่ใช้เป็นฟังก์ชันเริ่มต้นสำหรับการคำนวณรอบที่สามต่อไป โดยในการคำนวณรอบที่สามจะมีลำดับขั้นตอนเช่นเดียวกับการคำนวณรอบแรก ตารางที่ 5-1 แสดงค่าเจาะจงจากการแก้ปัญหา

ค่าเจาะจง ค่าภาระการโก่งงอรูปพารามิเตอร์ไร้หน่วย  $K_{cr}$  รูปร่างโหมดการโก่งงอ และกราฟที่ได้จากการแก้ปัญหาค่าเจาะจงในแต่ละรอบการคำนวณ โดยกระบวนการในการคำนวณซ้ำๆ จะทำจนกระทั่งค่าเจาะจงมีค่าไม่เปลี่ยนแปลง จากตัวอย่างนี้จะเห็นว่าการคำนวณในรอบที่สี่และห้าจะได้ค่าเจาะจงที่มีค่าเท่ากัน ดังนั้นค่าภาระการโก่งงอและรูปร่างโหมดการโก่งงอของชิ้นงานที่ศึกษาคือผลที่ได้จากการคำนวณในรอบที่ห้า ซึ่งได้ค่าภาระการโก่งงอรูปพารามิเตอร์ไร้หน่วย  $K_{cr}$  เท่ากับ 6.659 และเนื่องจากระเบียบวิธีแคนโทโรวิชเป็นวิธีเชิงตัวเลข ดังนั้นจำนวนสัมประสิทธิ์ของฟังก์ชันเริ่มต้นจึงมีผลต่อการลู่เข้าของผลลัพธ์ รูปที่ 5.6 แสดงค่าภาระการโก่งงอรูปพารามิเตอร์ไร้หน่วย  $K_{cr}$  จากการใช้จำนวนสัมประสิทธิ์ของฟังก์ชันเริ่มต้นในการคำนวณระหว่าง 20 ถึง 30 พจน์ จากรูปพบว่าค่าภาระการโก่งงอจะเริ่มลู่เข้าสู่ผลลัพธ์เมื่อใช้จำนวนสัมประสิทธิ์ของฟังก์ชันเริ่มต้นตั้งแต่ 26 พจน์ขึ้นไป แต่ถ้าใช้จำนวนสัมประสิทธิ์ของฟังก์ชันเริ่มต้นน้อยกว่า 26 พจน์ จะทำให้ผลลัพธ์ที่ได้คลาดเคลื่อนจากผลเฉลยที่ต้องการ ดังนั้นจะได้ว่าจำนวนสัมประสิทธิ์ของฟังก์ชันเริ่มต้นจะมีผลต่อการลู่เข้าของค่าเจาะจง



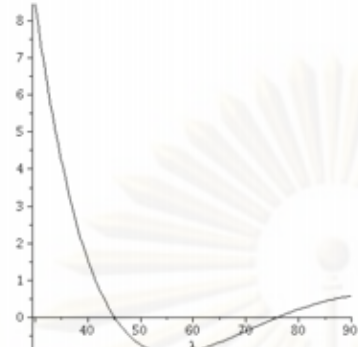
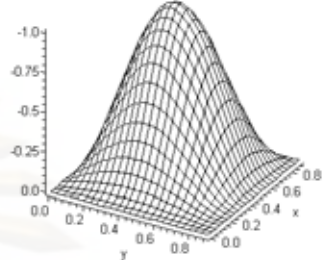
รูปที่ 5.6 ความสัมพันธ์ระหว่างค่าภาระการโก่งงอและจำนวนสัมประสิทธิ์ของฟังก์ชันเริ่มต้นในการแก้ปัญหาค่าเจาะจงด้วยระเบียบวิธีแคนโทโรวิช

ตารางที่ 5-1 ค่าการกระการโก่งงอและรูปร่างโหมดการโก่งงอในแต่ละรอบการคำนวณ

Iteration no.	graph	Eigenvalue ( $K_{cr}$ )	Buckling mode
1		98.920  (14.649)	
2		88.997  (9.017)	
3		45.157  (6.687)	
4		65.728  (6.659)	



ตารางที่ 5-1 (ต่อ)

5		44.971 (6.659)	
---	---	-------------------	---

### 5.3 ขั้นตอนการแก้ปัญหาค่าความถี่ธรรมชาติของแผ่นคอมโพสิตบาง

ขั้นตอนการแก้ปัญหาค่าความถี่ธรรมชาติของแผ่นคอมโพสิตบางมีลักษณะคล้ายกับปัญหาค่าความถี่ธรรมชาติของแผ่นค้ำในรูปที่ 5.1 ตัวอย่างปัญหาที่ใช้แสดงขั้นตอนการหาค่าความถี่ธรรมชาติมีลักษณะเช่นเดียวกับการศึกษาของ Chen และคณะ [22] ซึ่งศึกษาแผ่นคอมโพสิตที่มีลำดับชั้นการวางตัวของเส้นใยแบบ [0/90/0] ภายใต้เงื่อนไขขอบเขตการจับยึดแบบ SSSS โดยคุณสมบัติของวัสดุที่ศึกษา มีดังนี้

$$\begin{aligned} E_1 / E_2 &= 2.45 & G_{12} / E_2 &= 0.48 & \nu_{12} &= 0.23 \\ a = b &= 10 \text{ m} & h &= 0.06 \text{ m} & \rho &= 8000 \text{ kg / m}^3 \end{aligned}$$

การศึกษาในตัวอย่างนี้แสดงค่าความถี่ธรรมชาติในรูปพารามิเตอร์ไร้หน่วย (dimensionless frequency parameter) ซึ่งนิยามว่า

$$\beta = (\rho h \omega^2 a^4 / D_0)^{1/2} \quad \text{โดย} \quad D_0 = E_1 h^3 / 12(1 - \nu_{12} \nu_{21}) \quad (5-3)$$

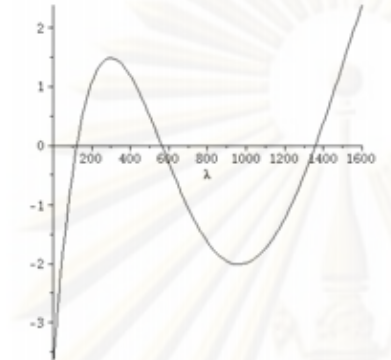
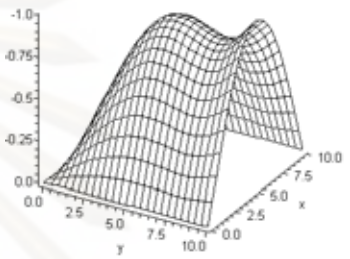
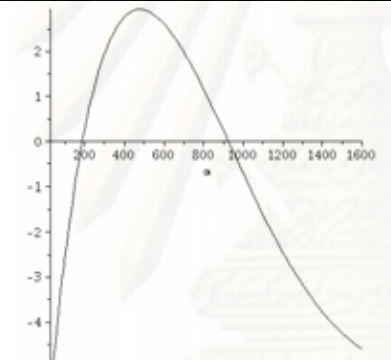
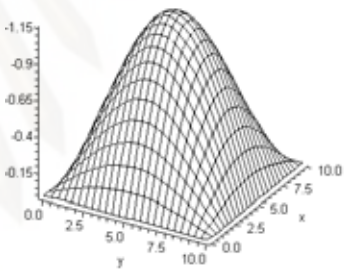
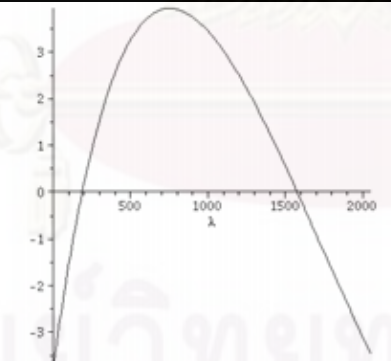
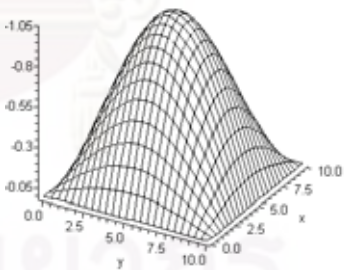
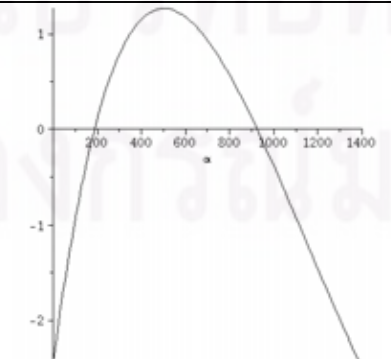
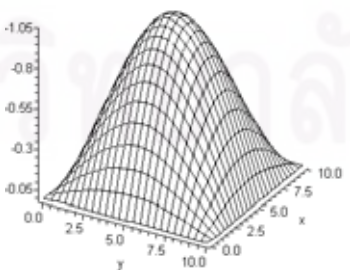
ในการแก้ปัญหาค่าความถี่ธรรมชาตินี้จะใช้จำนวนพจน์ในการสมมติค่าฟังก์ชันเริ่มต้นในสมการ (4-7) เท่ากับ 3 ( $N = 3$ ) ทั้งนี้เพื่อต้องการให้เห็นกระบวนการในการแก้ปัญหาค่าความถี่ธรรมชาติด้วยระเบียบวิธีแคนโทโรวิชเมื่อใช้จำนวนพจน์ที่สมมติค่าฟังก์ชันเริ่มต้นแตกต่างกัน โดยในการคำนวณรอบแรกสมมติค่า  $Y_1(y) = y^6$ ,  $Y_2(y) = \sin(\pi y / b)$ ,  $Y_3(y) = y^{15}$  การสมมติค่าฟังก์ชันเริ่มต้นให้อยู่ในฟังก์ชันที่ต่างกันก็เพราะต้องการแสดงให้เห็นว่าในการแก้ปัญหาค่าความถี่ธรรมชาติด้วยระเบียบวิธีแคนโทโรวิชสามารถคำนวณหาค่าตอบที่แม่นยำได้แม้จะใช้ฟังก์ชันเริ่มต้นในการคำนวณที่แตกต่างกัน จากนั้นนำฟังก์ชันเริ่มต้น  $Y_i(y)$  ที่สมมติไปหาเมตริกซ์ทราบค่า  $[S_i]$  ตามสมการ (4-51) และ

เมตริกซ์ทราบค่า  $[A_i]$  ตามสมการ (4-59) และ (4-64) และกำหนดฟังก์ชัน  $X_i(x)$  ที่ต้องการทราบอยู่ในรูปแบบของอนุกรมกำลังอนันต์ตามสมการ (4-25) ทำให้ได้เวกเตอร์เจาะจงในการแก้ปัญหาค่าเจาะจงจำนวนเท่ากับ  $4N$  ตัวเช่นเดียวกับปัญหาการโก่งงอ แทนสมการ (4-25) ที่จัดรูปใหม่โดยใช้สมการ (4-65) ลงในสมการเงื่อนไขขอบเขตที่สอดคล้องกับเงื่อนไขขอบเขตการจับยึดด้าน  $x$  แล้วจัดรูปแบบสมการให้เป็นระบบสมการเชิงเส้นตามสมการ (5-2) โดยค่าเจาะจงสำหรับปัญหาการสั่นสะเทือนคือ  $\omega^2$  จากนั้นแก้สมการหาค่าเจาะจงและค่าเวกเตอร์เจาะจงที่เป็นตัวไม่ทราบค่าของฟังก์ชัน  $X_i(x)$  เพื่อจะใช้เป็นฟังก์ชันเริ่มต้นสำหรับการคำนวณรอบที่สอง ซึ่งขั้นตอนในการคำนวณรอบที่สองนี้มีลักษณะคล้ายกับการแก้ปัญหาการโก่งงอแต่สมการที่ใช้คำนวณจะเปลี่ยนไปคือนำฟังก์ชันเริ่มต้น  $X_i(x)$  ที่ได้จากการคำนวณรอบแรกไปหาค่า  $[R_i]$  จากสมการ (4-67) และ  $[B_i]$  จากสมการ (4-75) และ (4-80) และกำหนดฟังก์ชัน  $Y_i(y)$  ที่ต้องการทราบให้อยู่ในรูปแบบอนุกรมกำลังอนันต์ตามสมการ (4-45) ซึ่งทำให้การแก้ปัญหาอยู่ในรูปการแก้ปัญหาค่าเจาะจงโดยมีค่าเจาะจงคือ  $\omega^2$  และจำนวนเวกเตอร์เจาะจงที่เป็นตัวไม่ทราบค่าของฟังก์ชัน  $Y_i(y)$  เท่ากับ  $4N$  ตัวเช่นเดียวกับการคำนวณรอบแรก จากการคำนวณรอบที่สองจะได้ฟังก์ชัน  $Y_i(y)$  สำหรับใช้เป็นฟังก์ชันเริ่มต้นสำหรับการคำนวณรอบต่อไป รูปร่างโหมดการสั่นสะเทือนในแต่ละรอบการคำนวณหาได้จากการพล็อตสมการ (4-7) สำหรับกรณีของปัญหาการสั่นสะเทือนค่าเจาะจงที่หาได้คือค่าความถี่ธรรมชาติของการสั่นสะเทือนซึ่งมีหลายค่า ตารางที่ 5-2 5-3 และ 5-4 แสดงค่าเจาะจงจากการแก้ปัญหาค่าเจาะจง ค่าความถี่ธรรมชาติในรูปพารามิเตอร์ไร้หน่วย  $\beta$  รูปร่างโหมดการสั่นสะเทือน รวมถึงกราฟที่ใช้สำหรับแก้ปัญหาค่าเจาะจงในแต่ละรอบการคำนวณของค่าความถี่ธรรมชาติของการสั่นสะเทือนสามโหมดแรก ตามลำดับ

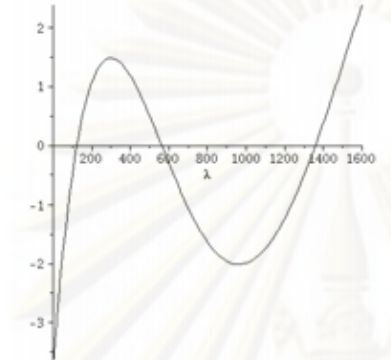
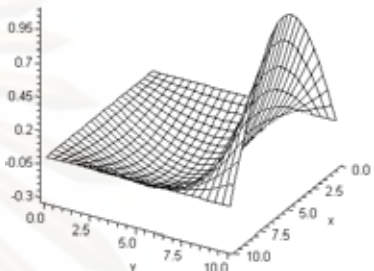
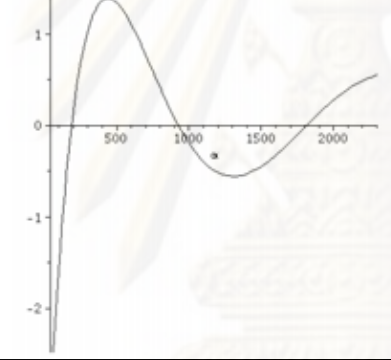
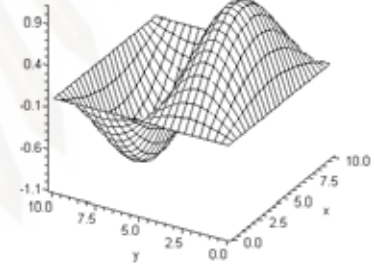
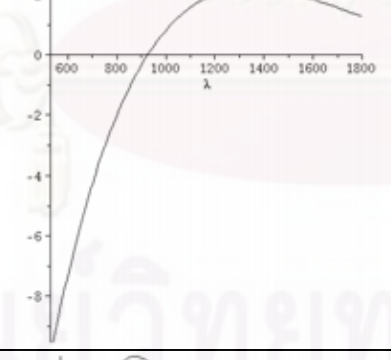
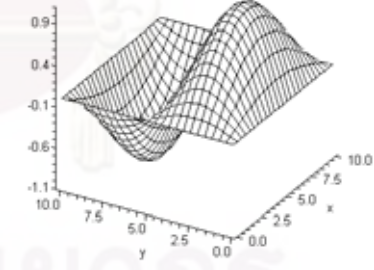
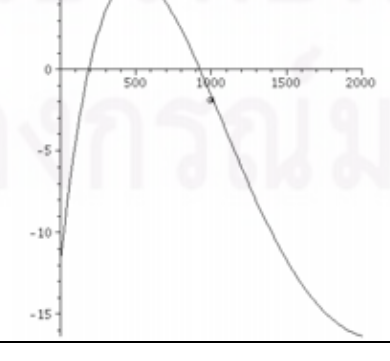
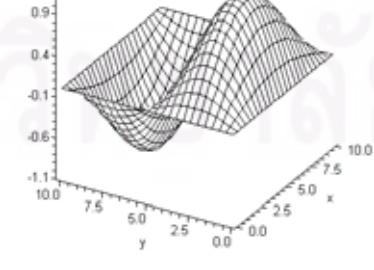
ตารางที่ 5-2 แสดงการหาค่าความถี่ธรรมชาติโหมดแรก การคำนวณรอบแรกเลือกค่าเจาะจงที่น้อยที่สุดก่อนเพราะเป็นค่าที่ทำให้ค่าความถี่ธรรมชาติมีค่าน้อยที่สุด โดยค่าเจาะจงที่เลือกมีค่าเท่ากับ 122.280 ซึ่งได้ค่าความถี่ธรรมชาติรูปพารามิเตอร์ไร้หน่วย  $\beta$  เท่ากับ 12.261 ในการคำนวณครั้งที่สองก็เลือกค่าเจาะจงที่มีค่าน้อยที่สุด ซึ่งมีค่าเท่ากับ 187.197 และในคำนวณครั้งต่อ ๆ ไปก็ยังคงเลือกค่าเจาะจงที่น้อยที่สุดเช่นเดียวกัน โดยกระบวนการในการทำซ้ำจะทำจนกระทั่งค่าเจาะจงมีค่าไม่เปลี่ยนแปลงเช่นเดียวกับปัญหาการโก่งงอ ซึ่งในการหาค่าความถี่ธรรมชาติโหมดแรกใช้จำนวนรอบในการคำนวณจำนวนสี่รอบ โดยในรอบที่สามและรอบที่สี่ได้ค่าเจาะจงเท่ากันคือ 187.197 และได้ค่าความถี่ธรรมชาติรูปพารามิเตอร์ไร้หน่วย  $\beta$  เท่ากับ 15.170 จากการหาค่าความถี่ธรรมชาติในโหมดนี้สังเกตได้ว่า ค่าเจาะจงในการคำนวณครั้งที่พิจารณาจะมีค่าใกล้เคียงกับค่าเจาะจงในการคำนวณครั้งก่อนหน้า เนื่องจากต้องการให้ค่าเจาะจงมีค่าคู่เข้า

จากข้อสังเกตดังกล่าวได้นำไปหาค่าความถี่ธรรมชาติโหมดที่สอง ซึ่งผลการคำนวณได้แสดงในตารางที่ 5-3 โดยจะพิจารณาค่าเจาะจงที่มีค่าถัดจากโหมดแรก ในการคำนวณรอบแรกเลือกค่าเจาะจงเท่ากับ 562.808 ซึ่งมีค่าถัดจากค่าเจาะจงของโหมดแรก ได้ค่าความถี่ธรรมชาติรูปพาราเมเตอร์ไร้หน่วย  $\beta$  เท่ากับ 26.304 ในการคำนวณรอบที่สองจากกราฟแสดงความสัมพันธ์ระหว่าง  $\det[F]$  กับค่าเจาะจง พบว่าที่ค่าเจาะจงตัวที่น้อยที่สุดจะมีค่าประมาณ 200 ซึ่งเป็นค่าที่ใกล้เคียงกับค่าเจาะจงของค่าความถี่ธรรมชาติโหมดแรก ดังนั้นจึงเลือกค่าเจาะจงค่าถัดมาซึ่งมีค่าเท่ากับ 925.223 เพื่อหลีกเลี่ยงการหาค่าความถี่ธรรมชาติของโหมดที่ทราบค่าแล้ว ในการคำนวณรอบที่สามจะพิจารณาค่าเจาะจงที่มีค่าใกล้เคียงกับการคำนวณรอบที่สอง โดยในการคำนวณรอบนี้ได้ค่าเจาะจงเท่ากับ 925.219 และในการคำนวณรอบที่สี่ก็จะพิจารณาค่าเจาะจงที่มีค่าใกล้เคียงกับการคำนวณรอบที่สาม โดยได้ค่าเจาะจงเท่ากับ 925.219 ซึ่งเท่ากับการคำนวณครั้งที่สาม ทำให้ค่าความถี่ธรรมชาติในรูปพาราเมเตอร์ไร้หน่วย  $\beta$  ของโหมดที่สองมีค่าเท่ากับ 33.726 จากการหาค่าความถี่ธรรมชาติในโหมดนี้สังเกตได้ว่าถ้าเป็นค่าความถี่ธรรมชาติค่าที่ยังไม่ทราบค่าลักษณะของโหมดการสั่นสะเทือนที่ได้จากค่าเจาะจงที่กำลังพิจารณาจะมีรูปร่างไม่เหมือนกับโหมดที่ทราบค่าแล้ว ซึ่งโหมดการสั่นสะเทือนของความถี่ธรรมชาติโหมดที่สองมีค่า  $[m=1, n=2]$  ส่วนโหมดการสั่นสะเทือนของความถี่ธรรมชาติโหมดแรกมีค่า  $[m=1, n=1]$  และการหาค่าความถี่ธรรมชาติโหมดที่สาม แสดงในตารางที่ 5-4 การคำนวณรอบแรกเลือกค่าเจาะจงเท่ากับ 562.808 ซึ่งค่าเดียวกับการหาค่าความถี่ธรรมชาติโหมดที่สอง การคำนวณครั้งที่สองพิจารณาค่าเจาะจงที่มีค่าถัดจากค่าเจาะจงที่พิจารณาค่าความถี่ธรรมชาติของโหมดที่สอง ในการคำนวณรอบที่สองนี้เลือกค่าเจาะจงที่มีค่าเท่ากับ 1814.265 การคำนวณรอบที่สามจะพิจารณาค่าเจาะจงที่มีค่าใกล้เคียงกับการคำนวณครั้งที่สองซึ่งได้ค่าเท่ากับ 1576.497 ในการคำนวณรอบที่สี่ก็พิจารณาค่าเจาะจงที่มีค่าใกล้เคียงกับการคำนวณในรอบที่สาม โดยได้ค่าเจาะจงมีค่าเท่ากับ 1576.497 ซึ่งเท่ากับการคำนวณรอบที่สาม ดังนั้นค่าความถี่ธรรมชาติในรูปพาราเมเตอร์ไร้หน่วย  $\beta$  ของการสั่นสะเทือนโหมดที่สามมีค่าเท่ากับ 44.024 และมีโหมดการสั่นสะเทือนคือ  $[m=2, n=1]$  โดยลักษณะโหมดการสั่นสะเทือนของแผ่นคอมโพสิต แสดงในรูปที่ 5.7 ซึ่งค่า  $m, n$  คือ จำนวนโหมดที่เกิดขึ้นตลอดความยาวด้านแกน  $x$  และ  $y$  ตามลำดับ

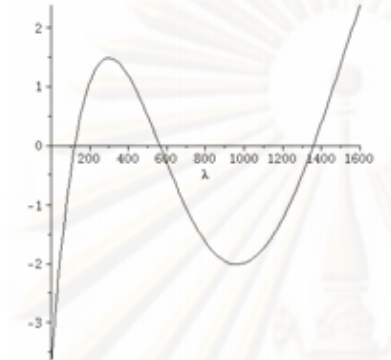
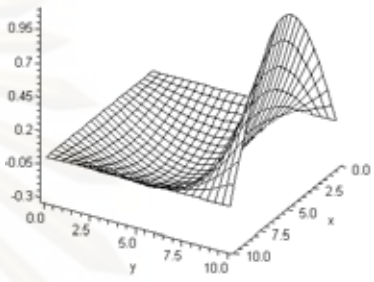
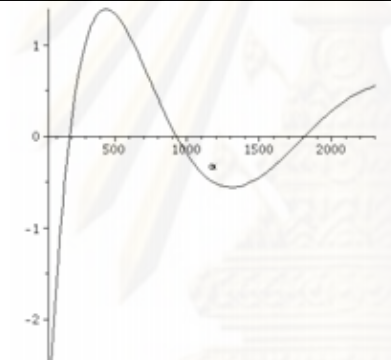
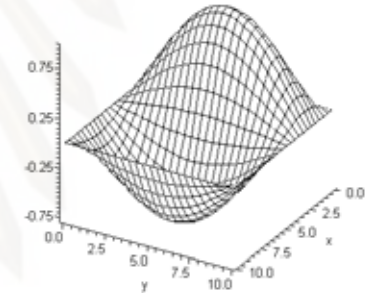
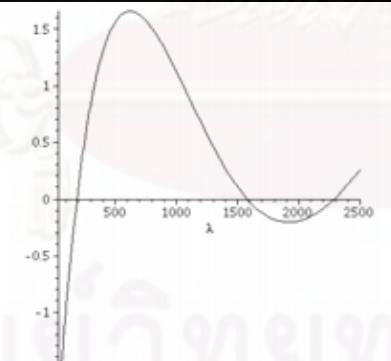
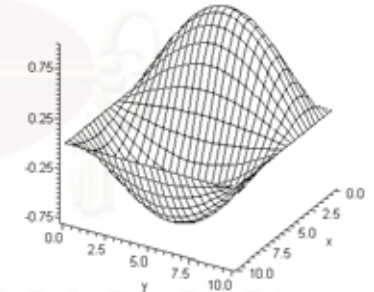
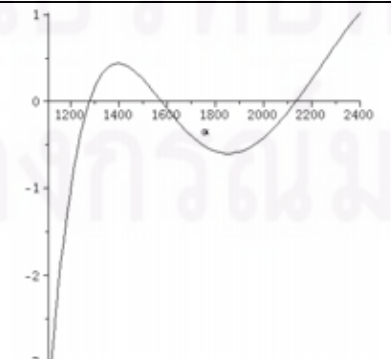
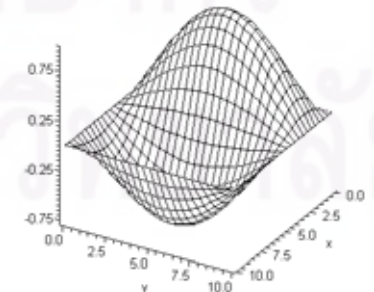
ตารางที่ 5-2 ค่าความถี่ธรรมชาติและรูปร่างโหมดการสั่นสะเทือนในแต่ละรอบการคำนวณ  
ของการสั่นสะเทือนในโหมดที่หนึ่ง

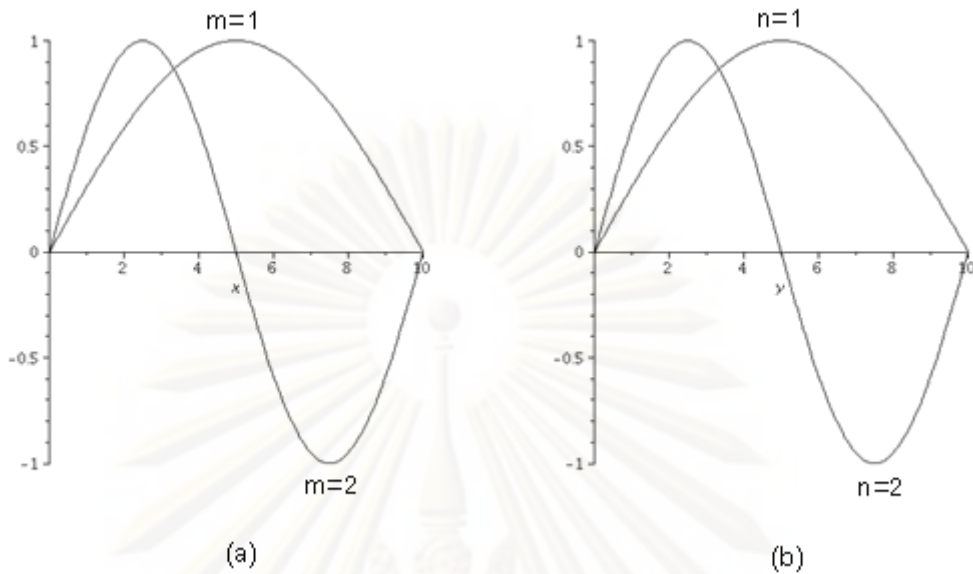
Iteration no.	graph	Eigenvalue ( $\beta$ )	Mode shape
1		122.280 (12.261)	
2		187.197 (15.170)	
3		187.197 (15.170)	
4		187.197 (15.170)	

ตารางที่ 5-3 ค่าความถี่ธรรมชาติและรูปร่างโหมดการสั่นสะเทือนในแต่ละรอบการคำนวณ  
ของการสั่นสะเทือนในโหมดที่สอง

Iteration no.	graph	Eigenvalue ( $\beta$ )	Mode shape
1		562.808 (26.304)	
2		925.223 (33.728)	
3		925.219 (33.726)	
4		925.219 (33.726)	

ตารางที่ 5-4 ค่าความถี่ธรรมชาติและรูปร่างโหมดการสั่นสะเทือนในแต่ละรอบการคำนวณ  
ของการสั่นสะเทือนในโหมดที่สาม

Iteration no.	graph	Eigenvalue ( $\beta$ )	Mode shape
1		562.808 (26.304)	
2		1814.265 (47.228)	
3		1576.497 (44.024)	
4		1576.497 (44.024)	



รูปที่ 5.7 รูปร่างโหมดการสั้นสะเทือนที่ได้จากการคำนวณด้วยระเบียบวิธีแคนโทโรวิช

(a) รูปร่างโหมดการสั้นสะเทือนบนแกน  $x$  (S-S)

(b) รูปร่างโหมดการสั้นสะเทือนบนแกน  $y$  (S-S)

ในบทนี้ได้แสดงให้เห็นลำดับขั้นตอนรวมถึงสมการที่นำมาใช้ในการแก้ปัญหาทั้งสองอย่างละเอียด จากตัวอย่างการคำนวณหาค่าภาระการโก่งงอ รูปร่างโหมดการโก่งงอ ค่าความถี่ธรรมชาติและรูปร่างโหมดการสั้นสะเทือน จะเห็นได้ว่าการแก้ปัญหาค่าความถี่ธรรมชาติและรูปร่างโหมดการสั้นสะเทือน เนื่องมาจากค่าภาระการโก่งงอของแผ่นคอมโพสิตจะพิจารณาค่าเจาะจงที่มีค่าน้อยที่สุดจากการหาคำตอบของปัญหาค่าเจาะจงเท่านั้น ส่วนปัญหาการสั้นสะเทือนจะพิจารณาค่าเจาะจงที่มีค่าน้อยที่สุดสำหรับการสั้นสะเทือนโหมดแรกเท่านั้น ส่วนการสั้นสะเทือนในโหมดที่สูงขึ้นจะต้องพิจารณาค่าความถี่ธรรมชาติที่ไม่ซ้ำกับค่าความถี่ธรรมชาติที่ทราบค่าแล้ว ดังแสดงในหัวข้อที่ 5.2 สำหรับปัญหาการโก่งงอและหัวข้อที่ 5.3 สำหรับปัญหาการสั้นสะเทือน จากการศึกษาพบว่าโปรแกรมคอมพิวเตอร์ที่ประดิษฐ์ขึ้นโดยใช้หลักการของระเบียบวิธีแคนโทโรวิชสามารถหาค่าภาระการโก่งงอ รูปร่างโหมดการโก่งงอ ค่าความถี่ธรรมชาติและรูปร่างโหมดการสั้นสะเทือนได้ ดังนั้นในบทที่ 6 และ 7 จะได้นำโปรแกรมคอมพิวเตอร์ที่ประดิษฐ์ขึ้นไปศึกษาพฤติกรรมการโก่งงอและการสั้นสะเทือนของแผ่นคอมโพสิตบางต่อไป

## บทที่ 6

### การโค้งงอของแผ่นคอมโพสิตบางรูปสี่เหลี่ยมผืนผ้า

ในบทที่ 5 ได้กล่าวถึงรายละเอียดของโปรแกรมคอมพิวเตอร์ที่ประดิษฐ์ขึ้นและอธิบายลำดับขั้นตอนพร้อมทั้งตัวอย่างการแก้ปัญหาการโค้งงอและการสั้นสะเทือนของแผ่นคอมโพสิตบางด้วยระเบียบวิธีแคนโทโรวิช จะเห็นได้ว่าการหาค่าภาวะการโค้งงอและรูปร่างใหม่ดการโค้งงอมีลำดับขั้นตอนเหมือนกับการหาค่าความถี่ธรรมชาติและรูปร่างการสั้นสะเทือนใหม่ดแรกของปัญหาการสั้นสะเทือน สำหรับเนื้อหาในบทนี้จะเป็นการตรวจสอบโปรแกรมคอมพิวเตอร์ที่ประดิษฐ์ขึ้นสำหรับการแก้ปัญหาการโค้งงอของแผ่นคอมโพสิตบางโดยใช้จำนวนพจน์ที่ใช้สมมุติค่าฟังก์ชันเริ่มต้นเท่ากับหรือมากกว่า 1 พจน์ การตรวจสอบแบ่งออกเป็นสองส่วนคือ ตรวจสอบโดยเปรียบเทียบกับการศึกษาของ Shufrin และคณะ [11] ซึ่งแก้ปัญหาการโค้งงอด้วยระเบียบวิธีแคนโทโรวิชเช่นเดียวกันและตรวจสอบโดยเปรียบเทียบกับการศึกษาอื่น ๆ นอกจากนี้เป็นการตรวจสอบความถูกต้องของโปรแกรมที่ประดิษฐ์ขึ้นแล้วยังทำให้ทราบถึงผลของการเพิ่มจำนวนพจน์ที่ใช้สมมุติค่าฟังก์ชันเริ่มต้นต่อค่าภาวะการโค้งงอและรูปร่างใหม่ดการโค้งงอ

#### 6.1 การตรวจสอบโดยเปรียบเทียบกับการศึกษาของ Shufrin และคณะ [11]

การศึกษาส่วนในหัวข้อนี้จะเปรียบเทียบค่าภาวะการโค้งงอและใหม่ดการโค้งงอที่ได้จากการคำนวณด้วยโปรแกรมคอมพิวเตอร์ที่ประดิษฐ์ขึ้นกับผลการศึกษาในอดีตของ Shufrin และคณะ [11] ที่ใช้ระเบียบวิธีแคนโทโรวิชเช่นเดียวกัน การตรวจสอบแบ่งออกเป็นสองกรณีคือ กรณีแผ่นคอมโพสิตรูปสี่เหลี่ยมจัตุรัสมีการวางตัวของเส้นใยแบบ cross-ply และแบบ angle-ply ในกรณีการวางตัวของเส้นใยแบบ cross-ply ศึกษาชิ้นงานที่มีลำดับชั้นการวางตัวของเส้นใยแบบ  $[0]_8$  และ  $[0/90]_{2s}$  ภายใต้เงื่อนไขขอบเขตการจับยึดแบบ CSSC ส่วนกรณีการวางตัวของเส้นใยแบบ angle-ply ศึกษาชิ้นงานที่มีลำดับชั้นการวางตัวของเส้นใยแบบ  $[30/-30/30]$  ภายใต้เงื่อนไขขอบเขตการจับยึดสองแบบคือ SSSS และ CCCC โดยค่าภาวะการโค้งงอจะแสดงในรูปพารามิเตอร์ไร้หน่วย ในกรณีการวางตัวของเส้นใยแบบ cross-ply สามารถหาค่าภาวะการโค้งงอในรูปพารามิเตอร์ไร้หน่วยได้ตามสมการ (5-1) ส่วนกรณีการวางตัวของเส้นใยแบบ angle-ply หาค่าภาวะการโค้งงอในรูปพารามิเตอร์ไร้หน่วยได้จาก

$$K_{cr} = N_x b^2 / D_0 \quad \text{โดย} \quad D_0 = E_1 h^3 / 12(1 - \nu_{12}\nu_{21}) \quad (6-1)$$



คุณสมบัติของวัสดุที่ใช้ศึกษาแยกตามลักษณะการวางตัวของเส้นใยคือ

กรณีแบบ cross-ply  $G_{12} / E_2 = 0.5$   $\nu_{12} = 0.25$

และกรณีแบบ angle-ply  $E_1 / E_2 = 2.45$   $G_{12} / E_2 = 0.48$   $\nu_{12} = 0.23$

การตรวจสอบโปรแกรมคอมพิวเตอร์ที่ประดิษฐ์ขึ้นทำได้โดยนำค่าการโก่งงอและรูปร่างโหมดการโก่งงอของการวางตัวของเส้นใยทั้งสองกรณีที่ได้เปรียบเทียบกับผลการศึกษาของ Shufrin และคณะ [11] ผลการเปรียบเทียบของกรณีการวางตัวของเส้นใยแบบ cross-ply และการวางตัวของเส้นใยแบบ angle-ply แสดงในตารางที่ 6-1 และ 6-2 ตามลำดับ โดยผลการศึกษาของ Shufrin แสดงในช่อง Ref. [11] ส่วนผลที่ได้จากโปรแกรมคอมพิวเตอร์แสดงในช่อง Present

ตารางที่ 6-1 ผลการเปรียบเทียบค่าการโก่งงอกรณีการวางตัวของเส้นใยแบบ cross-ply

Case Study	Aspect ratio	N=2			N=3		
		$K_{cr}$		Buckling Mode	$K_{cr}$		Buckling Mode
		Ref. [11]	Present	Ref. [11]/ Present	Ref. [11]	Present	Ref. [11]/ Present
$[0]_8$ $E_1/E_2=3$	1.0	10.9041	10.9041	1/1	10.9040	10.9040	1/1
	1.5	9.5839	9.5839	1/1	9.5839	9.5839	1/1
	2.0	9.0013	9.0013	2/2	9.0011	9.0011	2/2
$[0]_8$ $E_1/E_2=10$	1.0	25.2792	25.2792	1/1	25.2791	25.2791	1/1
	1.5	16.3397	16.3397	1/1	16.3396	16.3396	1/1
	2.0	15.2220	15.2220	1/1	15.2220	15.2220	1/1
$[0/90]_{2s}$ $E_1/E_2=3$	1.0	6.6556	6.6556	1/1	6.6556	6.6556	1/1
	1.5	6.2900	6.2900	2/2	6.2899	6.2899	2/2
	2.0	5.8398	5.8398	2/2	5.8398	5.8398	2/2
$[0/90]_{2s}$ $E_1/E_2=10$	1.0	6.5568	6.5568	1/1	6.5568	6.5568	1/1
	1.5	6.0553	6.0553	2/2	6.0553	6.0553	2/2
	2.0	5.4598	5.4598	2/2	5.4598	5.4598	2/2

ตารางที่ 6-2 ผลการเปรียบเทียบค่าภาระการโค้งงอกรณีการวางตัวของเส้นใยแบบ angle-ply

Number of N term	Boundary condition					
	SSSS			CCCC		
	Ref. [11]	Present	Ref. [11] / Present	Ref. [11]	Present	Ref. [11] / Present
1	26.6767	26.6767	1/1	65.2666	65.2666	1/1
2	25.3194	25.3194	1/1	62.0520	62.0520	1/1
3	25.2926	25.2926	1/1	62.0471	62.0471	1/1
4	25.2594	25.2594	1/1	62.0449	62.0449	1/1
5	25.2551	25.2551	1/1	62.0447	62.0447	1/1
6	25.2514	25.2514	1/1	62.0446	62.0446	1/1

จากการเปรียบเทียบพบว่าค่าภาระการโค้งงอและรูปร่างโหมดการโค้งงอที่ได้จากโปรแกรมคอมพิวเตอร์ที่ประดิษฐ์ขึ้นกับผลการศึกษามีในอดีตมีค่าเท่ากันทุกกรณีศึกษา ดังนั้นแสดงว่าโปรแกรมคอมพิวเตอร์ที่ประดิษฐ์ขึ้นในส่วนปัญหาการโค้งงอสามารถคำนวณค่าภาระการโค้งงอและรูปร่างโหมดการโค้งงอได้อย่างแม่นยำเมื่อเปรียบเทียบกับกรแก้ปัญหาด้วยระเบียบวิธีแคนโทไววิชเช่นเดียวกัน

## 6.2 การตรวจสอบโดยเปรียบเทียบกับการศึกษาอื่น ๆ

จากการตรวจสอบโปรแกรมในส่วนแรกพบว่าโปรแกรมคอมพิวเตอร์ที่ประดิษฐ์ขึ้นสามารถประมาณค่าภาระการโค้งงอและรูปร่างโหมดการโค้งงอได้อย่างแม่นยำเมื่อเทียบกับผลการศึกษาในอดีตที่แก้ปัญหาด้วยระเบียบวิธีแคนโทไววิชเช่นเดียวกัน และเพื่อยืนยันว่าค่าภาระการโค้งงอที่ได้จากโปรแกรมคอมพิวเตอร์ที่ประดิษฐ์ขึ้นสามารถน่าเชื่อถือได้ การตรวจสอบโปรแกรมในส่วนนี้จะนำค่าภาระการโค้งงอและรูปร่างโหมดการโค้งงอที่ได้จากโปรแกรมคอมพิวเตอร์ที่ประดิษฐ์ขึ้นเปรียบเทียบกับค่าภาระการโค้งงอจากการศึกษาในอดีตที่แก้ปัญหาด้วยวิธีอื่น ๆ กรณีแรกที่เปรียบเทียบคือกรณีของแผ่นคอมโพสิตที่มีผลการศึกษาที่สามารถหาผลเฉลยในรูปของผลเฉลยแม่นยำได้ โดยเปรียบเทียบกับผลการศึกษาของ Tuttle และคณะ [5] ที่ศึกษาค่าภาระการโค้งงอและโหมดการโค้งงอของแผ่นคอมโพสิตที่มีลำดับชั้นการวางตัวของเส้นใยสี่แบบ คือ  $[0/90]_{2S}$ ,  $[0]_8$ ,  $[\pm 45]_{2S}$  และ  $[45]_8$  ภายใต้เงื่อนไขขอบเขตการจับยึดชิ้นงานแบบง่ายทั้งสี่ด้าน โดยวิธีทดลองและ

จากการคำนวณด้วยวิธีเชิงตัวเลขด้วยระเบียบวิธีกาลิเลอคิดิน ผลการเปรียบเทียบค่าภาระการโก่งงอที่ได้จากการแก้ปัญหาด้วยระเบียบวิธีแคนโทโรวิชด้วยโปรแกรมคอมพิวเตอร์ที่ประดิษฐ์ขึ้นกับผลการศึกษาของ Tuttle และคณะ [5] แสดงในตารางที่ 6-3 สำหรับการแก้ปัญหาด้วยระเบียบวิธีแคนโทโรวิชในการศึกษานี้จะใช้จำนวนพจน์ที่ใช้สมมติค่าฟังก์ชันเริ่มต้น (N) ตั้งแต่ 1 ถึง 4 พจน์ ซึ่งค่าภาระการโก่งงอที่ได้จากการใช้จำนวนพจน์แต่ละค่าแสดงไว้ในช่อง Kantorovich Method ของตารางที่ 6-3 โดยการศึกษาของ Tuttle ได้ศึกษาพฤติกรรมการโก่งงอกรณีแผ่นคอมโพสิตทำจากกราไฟต์-อีพอกซี ซึ่งมีลักษณะและคุณสมบัติดังต่อไปนี้

$$E_1 = 155 \text{ GPa} \quad E_2 = 7.6 \text{ GPa} \quad G_{12} = 4.4 \text{ GPa} \quad \nu_{12} = 0.34$$

$$a = b = 15.2 \times 10^{-2} \text{ m} \quad t = 1.9 \times 10^{-4} \text{ m}$$

ตารางที่ 6-3 ค่าภาระการโก่งงอจากการศึกษาของ Tuttle และคณะ [5] เทียบกับค่าจากโปรแกรมคอมพิวเตอร์ที่ประดิษฐ์ขึ้น

Stacking sequence	Method					
	Experiment	Galerkin Method	Kantorovich Method			
			N=1	N=2	N=3	N=4
[0/90] <sub>2S</sub>	28.2	24.2	24.1	24.1	24.1	24.1
[0] <sub>8</sub>	12.6	13.7	13.7	13.7	13.7	13.7
[±45] <sub>2S</sub>	41.0	40.4	42.9	40.1	40.1	40.0
[45] <sub>8</sub>	20.0	19.1	42.9	19.7	17.7	17.3

จากตารางที่ 6.3 พบว่าชิ้นงานที่มีลำดับชั้นการวางตัวของเส้นใยแบบ [0/90]<sub>2S</sub> และ [0]<sub>8</sub> มีค่าภาระการโก่งงอที่ได้จากการแก้ปัญหาด้วยระเบียบวิธีแคนโทโรวิชเท่ากันตั้งแต่การใช้จำนวนพจน์ที่ใช้สมมติค่าฟังก์ชันเริ่มต้นเท่ากับ 1 พจน์ขึ้นไป และเมื่อเปรียบเทียบกับผลจากการแก้ปัญหาด้วยระเบียบวิธีกาลิเลอคิดินพบว่า ที่มุมการวางตัวแบบ [0]<sub>8</sub> จะได้ค่าภาระการโก่งงอเท่ากัน แต่ที่มุมการวางตัวแบบ [0/90]<sub>2S</sub> ค่าภาระการโก่งงอที่ได้มีค่าแตกต่างกัน 0.4 เปอร์เซ็นต์ ส่วนในกรณีการวางตัวของเส้นใยแบบ angle-ply เมื่อเปรียบเทียบกับค่าภาระการโก่งงอที่ได้จากการแก้ปัญหาด้วยระเบียบวิธีกาลิเลอคิดินพบว่า ที่มุมการวางตัวแบบ [±45]<sub>2S</sub> ค่าภาระการโก่งงอที่ได้จากการแก้ปัญหาด้วยระเบียบวิธีแคนโทโรวิชมีค่าน้อยกว่าค่าภาระการโก่งงอที่ได้จากระเบียบวิธีกาลิเลอคิดิน ตั้งแต่การใช้จำนวนพจน์ของฟังก์ชันเริ่มต้นตั้งแต่ 2 พจน์ขึ้นไป ส่วนที่มุมการวางตัวแบบ

[45]<sub>8</sub> ค่าภาระการโค้งงอที่ได้จากการแก้ปัญหาด้วยระเบียบวิธีแคนโทโรวิชจะมีค่าน้อยกว่าค่าภาระการโค้งงอที่ได้จากระเบียบวิธีกาลเลอคิน ตั้งแต่การใช้จำนวนพจน์ที่ใช้สมมุติค่าฟังก์ชันเริ่มต้นตั้งแต่ 3 พจน์ขึ้นไป และค่าภาระการโค้งงอที่มุมการวางตัวทังสี่แบบที่ได้จากการคำนวณทางคณิตศาสตร์จากระเบียบวิธีทั้งสองมีค่าแตกต่างจากค่าภาระการโค้งงอที่ได้จากการทดลองไม่มากนัก จากผลการเปรียบเทียบกรณีแผ่นคอมโพสิตที่สามารถหาภาระการโค้งงอจากผลเฉลยแม่นยำตรงได้พบว่าค่าภาระการโค้งงอที่ได้จากระเบียบวิธีทั้งสองมีค่าใกล้เคียงกัน ส่วนกรณีของแผ่นคอมโพสิตที่มีการวางตัวของเส้นใยแบบ  $[\pm 45]_{2S}$  และ  $[45]_8$  พบว่า ค่าภาระการโค้งงอที่ได้จากการแก้ปัญหาด้วยระเบียบวิธีแคนโทโรวิชมีค่าต่ำลงและมีแนวโน้มเข้าสู่ผลลัพธ์ของคำตอบเมื่อเพิ่มจำนวนพจน์ที่ใช้สมมุติค่าฟังก์ชันเริ่มต้นขึ้น

เนื่องด้วยการตรวจสอบโปรแกรมคอมพิวเตอร์ที่ประดิษฐ์ขึ้นที่ผ่านมาข้างต้นเป็นการหาค่าภาระการโค้งงอภายใต้เงื่อนไขขอบเขตการจับยึดแบบเดียวคือการจับยึดแบบง่ายที่สี่ด้านเท่านั้น ดังนั้นเพื่อให้โปรแกรมคอมพิวเตอร์ที่ประดิษฐ์ขึ้นมีความน่าเชื่อถือยิ่งขึ้นจึงได้นำโปรแกรมดังกล่าวไปคำนวณหาค่าภาระการโค้งงอของแผ่นคอมโพสิตที่มีการวางตัวของเส้นใยในมุมใด ๆ โดยศึกษาที่ลำดับชั้นการวางตัวของเส้นใยแบบ  $[30/-30/30]$  ภายใต้เงื่อนไขขอบเขตการจับยึดแบบผสมสามแบบ ได้แก่ CCCC, CSCS และ SFSF นำค่าภาระการโค้งงอที่ได้เปรียบเทียบกับการศึกษาของ Turvey และ Marshall [23] ซึ่งหาค่าภาระการโค้งงอของแผ่นคอมโพสิตด้วยระเบียบวิธีริทซ์ โดยสมมุติฟังก์ชันการเคลื่อนที่นอกกระนาบที่สอดคล้องกับเงื่อนไขขอบเขตการจับยึดด้วยฟังก์ชันโพลิโนเมียล (polynomials function) และใช้จำนวนพจน์ในการคำนวณเท่ากับ 100 พจน์ ผลการเปรียบเทียบค่าภาระการโค้งงอแสดงในตารางที่ 6-4 โดยค่าภาระการโค้งงอแสดงอยู่ในรูปพารามิเตอร์ไว้หน่วยตามสมการ (6-1) ผลการศึกษาของ Turvey และ Marshall แสดงไว้ในช่อง Ref. [23] ส่วนผลที่ได้จากโปรแกรมคอมพิวเตอร์จากการแก้ปัญหาด้วยระเบียบวิธีแคนโทโรวิชที่ใช้จำนวนพจน์ในการสมมุติค่าฟังก์ชันเริ่มต้นตั้งแต่ 1 ถึง 5 พจน์ แสดงไว้ในช่อง Kantorovich Method เพื่อให้เห็นผลของการเพิ่มจำนวนพจน์ที่ใช้สมมุติค่าฟังก์ชันเริ่มต้นต่อค่าภาระการโค้งงอของแผ่นคอมโพสิตบาง ส่วนตารางที่ 6-5 แสดงรูปร่างโหมดการโค้งงอของแผ่นคอมโพสิตที่หาได้จากการใช้จำนวนพจน์ในการสมมุติค่าฟังก์ชันเริ่มต้นตั้งแต่ 1 ถึง 5 พจน์ สำหรับชิ้นงานที่มีเงื่อนไขขอบเขตการจับยึดแบบ CCCC เพื่อแสดงให้เห็นผลของการเพิ่มจำนวนพจน์ที่ใช้สมมุติค่าฟังก์ชันเริ่มต้นต่อรูปร่างโหมดการโค้งงอของแผ่นคอมโพสิตบาง และตารางที่ 6-6 แสดงรูปร่างโหมดการโค้งงอของขอบเขตการจับยึดทั้งสามแบบ ที่ได้จากการคำนวณโดยใช้จำนวนพจน์ที่ใช้สมมุติค่าฟังก์ชันเริ่มต้นเท่ากับ 5 พจน์ โดยรูปร่างโหมดการโค้งงอที่แสดงในตารางที่ 6-5 และ 6-6 ได้

นำเสนอในลักษณะแบบกรอบพื้นผิว (surface with wireframe) และแบบเส้นรูปร่าง (contour) เพื่อให้เห็นลักษณะของรูปร่างการโก่งงอที่ชัดเจน แผ่นคอมโพสิตทูลี่เหลี่ยมจัตุรัสที่ใช้ในการศึกษาทำจากกราไฟต์-อีพอกซี ซึ่งมีคุณสมบัติดังต่อไปนี้

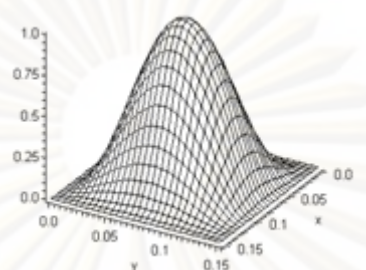
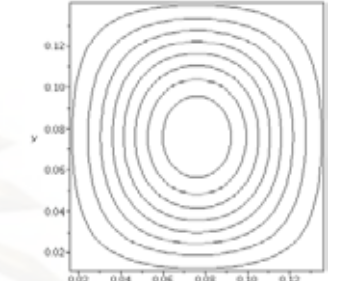
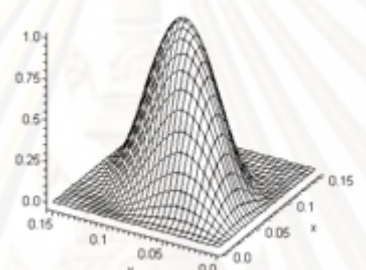
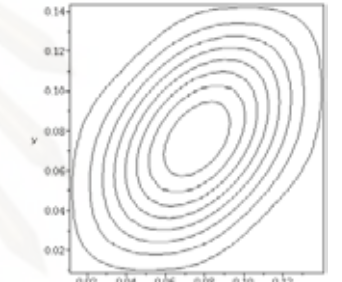
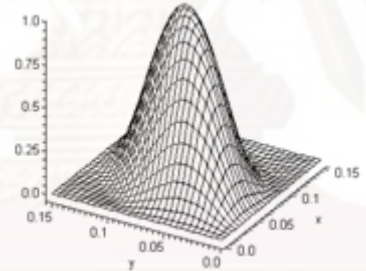
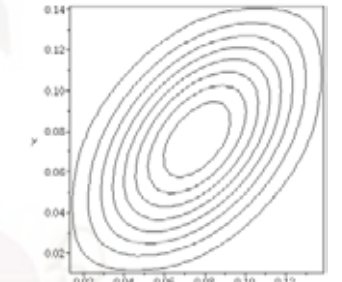
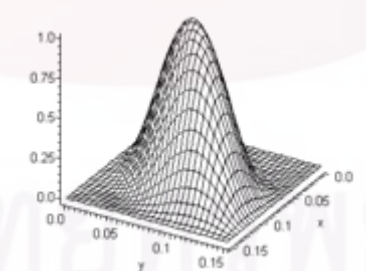
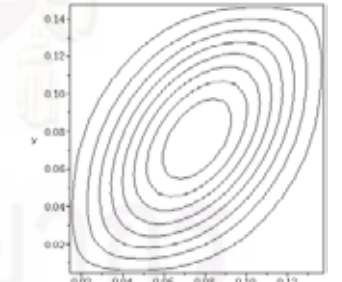
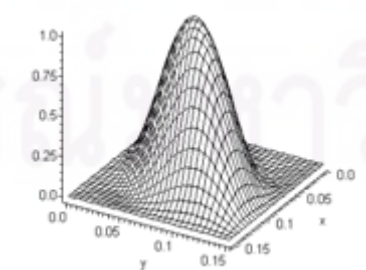
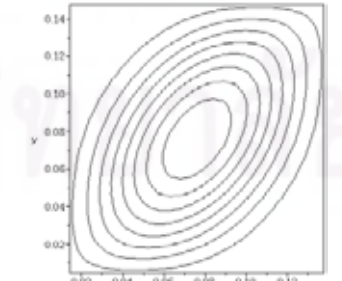
$$E_1 = 138 \text{ GPa} \quad E_2 = 8.96 \text{ GPa} \quad G_{12} = 7.1 \text{ GPa} \quad \nu_{12} = 0.30$$

จากผลการเปรียบเทียบในตารางที่ 6-4 พบว่าค่าภาระการโก่งงอของแผ่นคอมโพสิตบางที่มีขอบเขตการจับยึดทั้งสามแบบที่ได้จากการคำนวณด้วยโปรแกรมคอมพิวเตอร์จะมีค่าต่ำลงและมีแนวโน้มเข้าสู่ผลลัพธ์ของคำตอบเมื่อใช้จำนวนพจน์ที่ใช้สมมุติค่าฟังก์ชันเริ่มต้นเพิ่มขึ้น การดูเข้าของคำตอบมีลักษณะเช่นเดียวกับการศึกษาที่แสดงในตารางที่ 6-3 ในกรณีการวางตัวของเส้นใยแบบ angle-ply และเมื่อนำฟังก์ชันการเคลื่อนที่ในอกระนาบที่ได้จากการใช้จำนวนพจน์ในการสมมุติค่าฟังก์ชันเริ่มต้นตั้งแต่ 1 ถึง 5 พจน์ สำหรับกรณีการจับยึดแบบ CCCC มาพล็อตดูรูปร่างโหมดการโก่งงอดังแสดงในตารางที่ 6-5 พบว่ารูปร่างโหมดการโก่งงอจากการใช้จำนวนพจน์ในการสมมุติค่าฟังก์ชันเริ่มต้นเท่ากับ 1 พจน์ ไม่ถูกต้องเนื่องจากลักษณะการโก่งงอของแผ่นคอมโพสิตไม่ได้รับผลของการวางตัวของเส้นใยในมุมใด ๆ แต่จะมีลักษณะคล้ายกับการวางตัวของเส้นใยแบบ cross-ply เมื่อใช้จำนวนพจน์ในการสมมุติค่าฟังก์ชันเริ่มต้นมากกว่า 1 พจน์ รูปร่างโหมดการโก่งงอของแผ่นคอมโพสิตจะสมเหตุสมผลขึ้นเนื่องจากมีผลของค่า  $D_{16}$  และ  $D_{26}$  ซึ่งทำให้รูปร่างการโก่งงอของแผ่นคอมโพสิตเกิดการดัดพร้อมกับการบิด (bending-twisting coupling) ตามลักษณะของการวางตัวของเส้นใยของแผ่นคอมโพสิตที่กำลังพิจารณามากขึ้นและทำให้ค่าภาระการโก่งงอสูงเข้ามากขึ้นด้วย ส่วนตารางที่ 6-6 พบว่ารูปร่างโหมดการโก่งงอของแผ่นคอมโพสิตจากการจับยึดทั้งสามแบบมีความน่าเชื่อถือ เพราะรูปร่างโหมดการโก่งงอของทั้งสามแบบมีความสอดคล้องกับเงื่อนไขขอบเขตการจับยึดและรูปร่างการโก่งงอของแผ่นคอมโพสิตมีลักษณะเอียงสอดคล้องกับลำดับชั้นการวางตัวของเส้นใยที่กำลังศึกษา

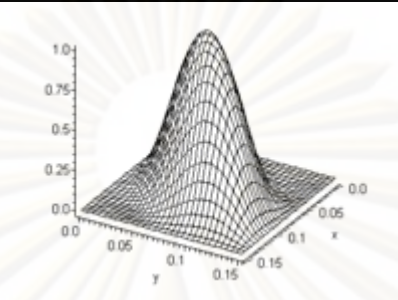
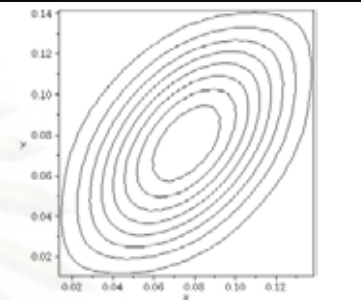
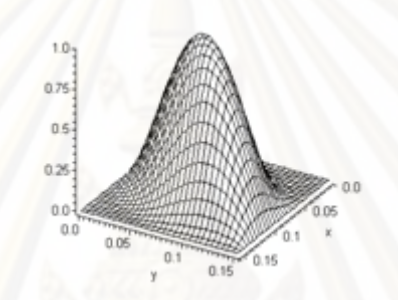
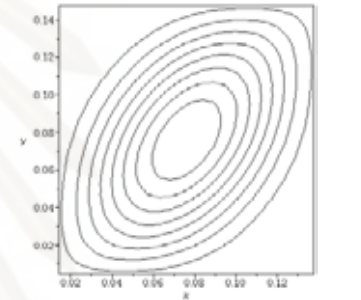
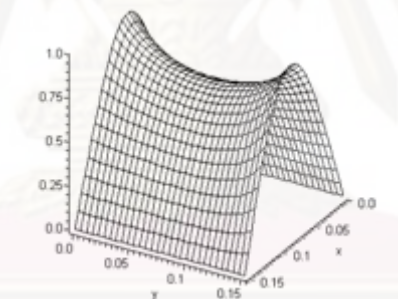
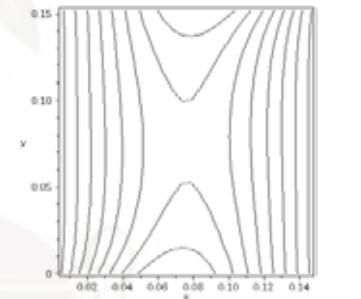
ตารางที่ 6-4 ค่าภาระการโก่งงอจากการศึกษาของ Turvey และ Marshall [23] เทียบกับค่าจากโปรแกรมคอมพิวเตอร์ที่ประดิษฐ์ขึ้น

Boundary condition	Ref. [23]	Kantorovich Method				
		N=1	N=2	N=3	N=4	N=5
CCCC	30.78	43.35	32.34	30.90	30.80	30.78
CSCS	27.20	36.76	28.71	27.48	27.28	27.24
SFSF	5.176	5.434	5.253	5.213	5.187	5.183

ตารางที่ 6-5 โหมดการโค้งงอของแผ่นคอมโพสิตที่การจับยึดแบบ CCC จากการใช้จำนวนพจน์  
ในการสมมติค่าฟังก์ชันเริ่มต้นตั้งแต่ 1 ถึง 5 พจน์

Number of N term	surface with wireframe	contour
1		
2		
3		
4		
5		

ตารางที่ 6-6 โหมดการโก่งของแผ่นคอมโพสิตที่การจับยึดแบบ CCCC, CSCS และ SFSF  
คำนวณโดยใช้จำนวนพจน์ในการสมมุติค่าฟังก์ชันเริ่มต้นเท่ากับ 5 พจน์

Boundary condition	surface with wireframe	contour
CCCC		
CSCS		
SFSF		

จากการตรวจสอบโปรแกรมคอมพิวเตอร์ที่ประดิษฐ์ขึ้นสำหรับการแก้ปัญหาการโก่งของแผ่นคอมโพสิตทางด้วยระเบียบวิธีแคนโทโรวิช พบได้ว่าโปรแกรมที่ประดิษฐ์ขึ้นมีความน่าเชื่อถือเนื่องจากให้ค่าการโก่งและรูปร่างโหมดการโก่งที่มีความใกล้เคียงกับผลการศึกษาในอดีต และเมื่อพิจารณาผลของการเพิ่มจำนวนพจน์ที่ใช้สมมุติค่าฟังก์ชันเริ่มต้นต่อค่าการโก่ง พบว่าในการคำนวณหาค่าการโก่งในกรณีการวางตัวของเส้นใยแบบ cross-ply การใช้จำนวนพจน์ที่ใช้สมมุติค่าฟังก์ชันเริ่มต้นเท่ากับ 1 และ 2 พจน์ จะได้ค่าการโก่งของแผ่นคอมโพสิตที่มีค่าไม่แตกต่างกันมากนัก เนื่องจากค่า  $D_{16}$  และ  $D_{26}$  ในกรณีการวางตัวของเส้นใยแบบ cross-ply มีค่าเท่ากับศูนย์ ดังนั้นในกรณีนี้การใช้จำนวนพจน์ที่ใช้สมมุติค่าฟังก์ชันเริ่มต้นเพียง 1 หรือ 2 พจน์ ก็ให้ค่าการโก่งและรูปร่างโหมดการโก่งที่ถูกต้องแล้ว ส่วนกรณีการวางตัวของเส้นใยแบบ angle-ply การใช้จำนวนพจน์ที่ใช้สมมุติค่าฟังก์ชันเริ่มต้น

เพียง 1 พจน์ ยังไม่สามารถให้ค่าภาระการโค้งงอและรูปร่างโหมดการโค้งงอที่ถูกต้องได้ เนื่องจากค่าภาระการโค้งงอที่ได้มีความคลาดเคลื่อนค่อนข้างมากเมื่อเทียบกับผลการศึกษาในอดีต แต่เมื่อใช้จำนวนพจน์ที่ใช้สมมุติค่าฟังก์ชันเริ่มต้นมากขึ้นทำให้ได้ค่าภาระการโค้งงอที่มีค่าลู่เข้ามากขึ้น และทำให้รูปร่างโหมดการโค้งงอมีความถูกต้องมากขึ้นด้วย ซึ่งผลการศึกษากการเพิ่มจำนวนพจน์ที่ใช้สมมุติค่าฟังก์ชันเริ่มต้นต่อค่าภาระการโค้งงอนี้สอดคล้องกับการศึกษาของ Shufrin และคณะ [11] ดังนั้นเมื่อได้โปรแกรมคอมพิวเตอร์ที่ใช้สำหรับปัญหาการโค้งงอของแผ่นคอมโพสิทบางที่มีความน่าเชื่อถือแล้ว จะได้นำโปรแกรมที่ประดิษฐ์ขึ้นนี้ไปประยุกต์ใช้กับปัญหาการสันสะเทือนของแผ่นคอมโพสิทบาง เพื่อศึกษาพฤติกรรมการสันสะเทือนของแผ่นคอมโพสิทบางตามที่ได้กล่าวไว้ในวัตถุประสงค์ของวิทยานิพนธ์ ดังจะได้แสดงในบทต่อไป



ศูนย์วิทยทรัพยากร  
จุฬาลงกรณ์มหาวิทยาลัย



## บทที่ 7

### การสันสะเทือนของแผ่นคอมโพสิตบางรูปสี่เหลี่ยมผืนผ้า

ในบทที่ 6 ได้ตรวจสอบความถูกต้องของโปรแกรมคอมพิวเตอร์ที่ประดิษฐ์ขึ้นสำหรับปัญหาการโก่งงอของแผ่นคอมโพสิตบางภายใต้เงื่อนไขขอบเขตการจับยึดแบบต่าง ๆ พบว่าสามารถหาค่าภาระการโก่งงอและรูปร่างโหมดการโก่งงอได้อย่างน่าเชื่อถือ ดังนั้นในบทนี้จะได้นำโปรแกรมคอมพิวเตอร์ที่ได้จากการศึกษาในบทที่ 6 มาประยุกต์ใช้กับปัญหาการสันสะเทือน โดยหัวข้อที่ต้องการศึกษาในบทนี้ได้แก่ การศึกษาผลของจำนวนพจน์ที่เพิ่มขึ้นในฟังก์ชันเริ่มต้นสำหรับปัญหาการสันสะเทือนของแผ่นคอมโพสิตว่ามีผลต่อคำตอบที่ได้อย่างไร ศึกษาจำนวนสัมประสิทธิ์ของฟังก์ชันเริ่มต้นที่ใช้ในระเบียบวิธีแคนโทโรวิชที่ทำให้ผลเฉลยมีค่าลู่เข้า ศึกษาผลของค่า  $D_{16}$  และ  $D_{26}$  ต่อพฤติกรรมของการสันสะเทือนที่โหมดสูง ๆ และศึกษาผลของขนาดสัดส่วนของชั้นงานและองศาการวางตัวของเส้นใยต่อพฤติกรรมของการสันสะเทือนของแผ่นคอมโพสิต

#### 7.1 รายละเอียดของโครงสร้างแผ่นบางที่ใช้ศึกษา

รายละเอียดของโครงสร้างแผ่นบางที่ใช้ศึกษาพฤติกรรมของการสันสะเทือนด้วยระเบียบวิธีแคนโทโรวิชในวิทยานิพนธ์นี้มีลักษณะดังนี้

##### 1. คุณสมบัติทางกลของวัสดุ

1.1 กรณีโครงสร้างแผ่นบางเป็นแผ่นคอมโพสิต กำหนดวัสดุเป็นกราไฟต์-อีพอกซี (T300/5208) ตามเอกสารอ้างอิง [24] ซึ่งมีคุณสมบัติดังนี้

$$E_1 = 132 \text{ GPa} \quad E_2 = 10.8 \text{ GPa} \quad G_{12} = 5.65 \text{ GPa}$$

$$\nu_{12} = 0.24 \quad \rho = 1540 \text{ kg/m}^3$$

1.2 กรณีโครงสร้างเป็นวัสดุไอโซโทรปิก กำหนดให้มีคุณสมบัติดังนี้

$$E = 70 \text{ GPa} \quad \nu_{12} = 0.3 \quad \rho = 1540 \text{ kg/m}^3$$

2. กำหนดให้ขนาดความยาวของแผ่นคอมโพสิตในแนวแกน  $x$  เท่ากับ  $a$  และความกว้างตามแนวแกน  $y$  เท่ากับ  $b$  ความหนาของแผ่นลามิเนตเท่ากับ  $t$  โดยขนาดสัดส่วนของชั้นงานเท่ากับ  $a/b$  ซึ่งกำหนดให้ความกว้างคงที่เสมอคือ  $b = 0.3 \text{ m}$  และมุมมองศาการวางตัวของเส้นใยเทียบกับแกน  $x$  เท่ากับ  $\theta$  ดังรูปที่ 3.3 ก

3. เงื่อนไขขอบเขตการจับยึดที่ใช้ศึกษาสำหรับปัญหาการสันสะเทือนของแผ่นคอมโพสิต จะอักษรย่อแสดงลักษณะการจับยึดและระบบแกนพิกัด ดังแสดงในรูปที่ 5.3

## 7.2 โปรแกรมคอมพิวเตอร์สำหรับการแก้ปัญหาการสั่นสะเทือน

เพื่อความน่าเชื่อถือสำหรับการศึกษาพฤติกรรมการสั่นสะเทือนของแผ่นคอมโพสิต จึงต้องตรวจสอบความถูกต้องของโปรแกรมคอมพิวเตอร์สำหรับแก้ปัญหาการสั่นสะเทือนที่ประยุกต์มาจากปัญหาการโก่งงอกก่อน วิธีการตรวจสอบทำโดยหาค่าความถี่ธรรมชาติจากโปรแกรมคอมพิวเตอร์ที่ประยุกต์ใช้สำหรับปัญหาการสั่นสะเทือนเปรียบเทียบกับค่าความถี่ธรรมชาติของการศึกษาที่ผ่านมาในอดีตของ Leissa [12] ซึ่งถือว่าเป็นผลการศึกษาที่มีความน่าเชื่อถือและถูกใช้อ้างอิงในการศึกษาการสั่นสะเทือนของโครงสร้างแผ่นบางในหลาย ๆ การศึกษา Leissa ศึกษาแผ่นบางรูปสี่เหลี่ยมจัตุรัสที่มีคุณสมบัติเป็นไอโซทรอปิกที่มีเงื่อนไขขอบเขตการจับยึดแบบด้านใดด้านหนึ่งหรือหลาย ๆ ด้าน ผลสมกันระหว่างการจับยึดแบบง่าย แบบยึดแน่น หรือแบบอิสระ โดยวิธีการวิเคราะห์สมการครอควบคู่กับวิธีการเชิงตัวเลขด้วยระเบียบวิธีวิธิต ในการศึกษานี้จะพิจารณาชิ้นงานภายใต้เงื่อนไขขอบเขตการจับยึดสามแบบคือ SSSF, SCSF และ SCSC โดยพิจารณาการสั่นสะเทือนหกโหมดแรก ค่าความถี่ธรรมชาติแสดงในรูปพารามิเตอร์ไร้หน่วย  $\lambda = \omega a^2 (\rho / D)^{1/2}$  ผลการเปรียบเทียบแสดงไว้ในตารางที่ 7-1 โดยผลการศึกษาของ Leissa แสดงไว้ในช่อง Leissa ส่วนผลที่ได้จากโปรแกรมคอมพิวเตอร์ที่ประดิษฐ์ขึ้นแสดงในช่อง KM โดย N คือจำนวนพจน์ที่ใช้สมมุติค่าฟังก์ชันเริ่มต้น ในการศึกษานี้ใช้จำนวนพจน์ที่ใช้สมมุติค่าฟังก์ชันเริ่มต้นตั้งแต่ 1 ถึง 4 พจน์ จากตารางที่ 7-1 พบว่าค่าความถี่ธรรมชาติที่ได้จากการแก้ปัญหาด้วยระเบียบวิธีแคนโทโรวิชมีค่าเท่ากันตั้งแต่การใช้จำนวนพจน์ที่ใช้สมมุติค่าฟังก์ชันเริ่มต้นตั้งแต่ 1 พจน์ขึ้นไปทุกโหมดที่ศึกษา เมื่อนำค่าความถี่ธรรมชาติที่คำนวณจากโปรแกรมคอมพิวเตอร์มาเปรียบเทียบกับผลการศึกษาของ Leissa พบว่า ในกรณีการจับยึดแบบ SSSF และ SCSF ได้ค่าความถี่ธรรมชาติเท่ากันทุกโหมดที่ศึกษา ส่วนในกรณีการจับยึดแบบ SCSC ยังมีบางโหมดการสั่นสะเทือนที่มีค่าความถี่ธรรมชาติต่างกัน โดยการสั่นสะเทือนในโหมดที่หกมีความแตกต่างกันมากที่สุดโดยมีค่าเพียง 0.007 เปอร์เซนต์เท่านั้น ซึ่งถือว่ามีความคลาดเคลื่อนน้อยมาก แสดงว่าโปรแกรมคอมพิวเตอร์ที่ประดิษฐ์ขึ้นมีความน่าเชื่อถือสำหรับการคำนวณค่าความถี่ธรรมชาติของแผ่นบางที่มีคุณสมบัติเป็นไอโซทรอปิกโดยใช้จำนวนพจน์ที่ใช้สมมุติค่าฟังก์ชันเริ่มต้นเท่ากับและมากกว่า 1 พจน์ อย่างไรก็ตามวิทยานิพนธ์นี้ต้องการศึกษาพฤติกรรมการสั่นสะเทือนของแผ่นคอมโพสิต ดังนั้นก่อนที่จะนำโปรแกรมคอมพิวเตอร์ที่ได้จากหัวข้อนี้ไปใช้สำหรับกรณีของแผ่นคอมโพสิต จึงควรศึกษาผลของการเพิ่มจำนวนพจน์ที่ใช้สมมุติค่าฟังก์ชันเริ่มต้นต่อค่าความถี่ธรรมชาติของแผ่นคอมโพสิตเสียก่อนเพื่อให้ได้จำนวนพจน์ที่ใช้สมมุติค่าฟังก์ชันเริ่มต้นที่เหมาะสมในการแก้ปัญหาการสั่นสะเทือนของแผ่นคอมโพสิตต่อไป

ตารางที่ 7-1 ค่าความถี่ธรรมชาติ ( $\lambda$ ) จากการศึกษาของ Leissa [12] เทียบกับค่าจากโปรแกรมคอมพิวเตอร์ที่ประดิษฐ์ขึ้น โดยใช้  $\nu = 0.3$

Boundary condition	Solution		Mode					
			1	2	3	4	5	6
SSSF	Leissa		11.68	27.76	41.20	59.07	61.86	90.29
	KM	N=1	11.68	27.76	41.20	59.07	61.86	90.29
		N=2	11.68	27.76	41.20	59.07	61.86	90.29
		N=3	11.68	27.76	41.20	59.07	61.86	90.29
		N=4	11.68	27.76	41.20	59.07	61.86	90.29
SCSF	Leissa		12.69	33.06	41.70	63.01	72.40	90.61
	KM	N=1	12.69	33.06	41.70	63.01	72.40	90.61
		N=2	12.69	33.06	41.70	63.01	72.40	90.61
		N=3	12.69	33.06	41.70	63.01	72.40	90.61
		N=4	12.69	33.06	41.70	63.01	72.40	90.61
SCSC	Leissa		28.946	54.743	69.320	94.584	102.213	129.086
	KM	N=1	28.950	54.743	69.327	94.585	102.216	129.095
		N=2	28.950	54.743	69.327	94.585	102.216	129.095
		N=3	28.950	54.743	69.327	94.585	102.216	129.095
		N=4	28.950	54.743	69.327	94.585	102.216	129.095

### 7.3 ผลของจำนวนพจน์ที่ใช้สมมติค่าฟังก์ชันเริ่มต้นต่อค่าความถี่ธรรมชาติ

การศึกษาในหัวข้อนี้ต้องการทราบผลของการเพิ่มจำนวนพจน์ที่ใช้สมมติค่าฟังก์ชันเริ่มต้นต่อค่าความถี่ธรรมชาติของโครงสร้างแผ่นบาง เพื่อจะได้ใช้จำนวนพจน์ในฟังก์ชันเริ่มต้นอย่างเหมาะสมในการแก้ปัญหาการสั่นสะเทือนของแผ่นคอมโพสิตสำหรับการวางตัวของเส้นใยในแต่ละกรณี ในการศึกษาจะใช้ค่าฟังก์ชันที่มีจำนวนพจน์เริ่มต้นเท่ากับ 1 ถึง 5 พจน์ เพื่อพิจารณาความสัมพันธ์ของจำนวนพจน์กับค่าความถี่ธรรมชาติ โดยโครงสร้างแผ่นบางที่ศึกษาเป็นแผ่นบางรูปสี่เหลี่ยมจัตุรัส มีเงื่อนไขขอบเขตการจับยึดทั้งหมดสามแบบคือ CCCC, CCSS และ SCSF ซึ่งเป็นการจับยึดที่มีเงื่อนไขการจับยึดเหมือนกันทั้งสี่ด้าน การจับยึดที่มีเงื่อนไขการจับยึดแบบผสมสองเงื่อนไข และการจับยึดที่มีเงื่อนไขการจับยึดแบบผสมสามเงื่อนไขตามลำดับ ทั้งนี้เพื่อให้

การศึกษามีเงื่อนไขขอบเขตการจับยึดที่หลากหลายรูปแบบ ในแต่ละเงื่อนไขการจับยึดจะหาค่าความถี่ธรรมชาติที่อยู่ในหน่วย rad/s ของแผ่นคอมโพสิตที่มีลำดับชั้นการวางตัวของเส้นใยแบบ  $[0/90]_{2S}$ ,  $[\pm 45]_{2S}$  และ  $[45/-45/45]$  และแผ่นบางที่มีคุณสมบัติแบบไอโซโทรปิก โดยคุณสมบัติทางกลของโครงสร้างแผ่นบางที่ศึกษาเป็นไปตามหัวข้อที่ 7.1 และพิจารณาการสั่นสะเทือนโหมดแรก ของแผ่นบาง ผลการศึกษาแสดงในตารางที่ 7-2

ตารางที่ 7-2 ค่าความถี่ธรรมชาติ (rad/s) ของโครงสร้างแผ่นบางเมื่อใช้จำนวนพจน์ที่ใช้สมมุติค่าฟังก์ชันเริ่มต้นตั้งแต่ 1 ถึง 5 พจน์

Boundary condition	Stacking sequence	Number of N term				
		1	2	3	4	5
CCCC	Isotropic	103.64	103.60	103.60	103.60	103.60
	$[0/90]_{2S}$	723.95	723.93	723.93	723.93	723.93
	$[\pm 45]_{2S}$	703.36	693.78	693.60	693.59	693.58
	$[45/-45/45]$	263.26	238.30	236.87	236.75	236.71
CCSS	Isotropic	77.90	77.89	77.89	77.89	77.89
	$[0/90]_{2S}$	510.31	513.30	513.30	513.30	513.30
	$[\pm 45]_{2S}$	560.05	551.83	551.65	551.64	551.62
	$[45/-45/45]$	210.02	186.98	184.65	184.03	183.84
SCSF	Isotropic	36.53	36.53	36.53	36.53	36.53
	$[0/90]_{2S}$	272.18	272.18	272.18	272.18	272.18
	$[\pm 45]_{2S}$	248.74	246.03	245.95	245.93	245.92
	$[45/-45/45]$	85.50	77.98	77.25	77.03	76.95

จากผลการศึกษาในตารางที่ 7-2 พบว่ากรณีแผ่นบางที่มีคุณสมบัติเป็นไอโซโทรปิก ค่าความถี่ธรรมชาติที่ได้มีค่าคู่เข้าสู่ค่าตอบตั้งแต่การใช้จำนวนพจน์ที่ใช้สมมุติค่าฟังก์ชันเริ่มต้นเพียง 1 หรือ 2 พจน์เท่านั้น เช่นเดียวกับกรณีของแผ่นคอมโพสิตที่มีการวางตัวของเส้นใยแบบ cross-ply คือ แผ่นบางที่มีลำดับชั้นการวางตัวของเส้นใยแบบ  $[0/90]_{2S}$  ส่วนในกรณีแผ่นคอมโพสิตที่มีการวางตัวของเส้นใยแบบ angle-ply คือ แผ่นบางที่มีลำดับชั้นการวางตัวแบบ  $[\pm 45]_{2S}$  และแบบ  $[45/-45/45]$  จะต้องใช้จำนวนพจน์ที่ใช้สมมุติค่าฟังก์ชันเริ่มต้นเพื่อให้คำตอบมีค่าคู่เข้ามากกว่ากรณีที่ชิ้นงานมีคุณสมบัติเป็นไอโซโทรปิกและกรณีชิ้นงานเป็นแผ่นคอมโพสิตที่มีการ

วางตัวของเส้นใยแบบ cross-ply เนื่องจากค่า  $D_{16}$  และ  $D_{26}$  ของแผ่นคอมโพสิตที่มีการวางตัวของเส้นใยแบบ angle-ply มีค่าไม่เท่ากับศูนย์ ทำให้สมการเชิงอนุพันธ์สามัญและสมการเงื่อนไขขอบเขตที่ใช้แก้ปัญหาค่าเจาะจงตามสมการ (4-58) และสมการ (4-60 ถึง 4-63) สำหรับด้านที่สมมุติให้ทราบค่าฟังก์ชันในทิศ  $y$  และสมการ (4-74) และสมการ (4-76 ถึง 4-79) สำหรับด้านที่สมมุติให้ทราบค่าฟังก์ชันในทิศ  $x$  มีความซับซ้อนมากกว่า

แม้ว่าการเพิ่มจำนวนพจน์ที่ใช้ในการสมมุติค่าฟังก์ชันเริ่มต้นจะทำให้ค่าความถี่ธรรมชาติเข้าสู่ค่าตอบมากขึ้น แต่การเพิ่มจำนวนพจน์ดังกล่าวก็ทำให้สมการทางคณิตศาสตร์ที่ใช้ในการแก้ปัญหามีจำนวนมากขึ้นและมีความซับซ้อนมากขึ้นไปด้วย ส่งผลให้การประมวลผลจากโปรแกรมคอมพิวเตอร์ต้องใช้เวลาและใช้หน่วยความจำมากขึ้น ดังนั้นในการศึกษาปัญหาการสั่นสะเทือนของแผ่นคอมโพสิตในวิทยานิพนธ์นี้ จะใช้จำนวนพจน์ที่ใช้สมมุติค่าฟังก์ชันเริ่มต้นเท่ากับ 2 พจน์ สำหรับการศึกษาแผ่นคอมโพสิตที่มีการวางตัวของเส้นใยแบบ cross-ply ซึ่งเพียงพอที่จะให้ค่าความถี่ธรรมชาติที่เข้าสู่ค่าตอบแล้ว แต่สำหรับการศึกษาแผ่นคอมโพสิตที่มีการวางตัวของเส้นใยแบบ angle-ply จะใช้จำนวนพจน์ที่ใช้สมมุติค่าฟังก์ชันเริ่มต้นเท่ากับ 3 พจน์ ด้วยเหตุผลคือ เวลาที่ใช้ในการคำนวณแต่ละรอบสำหรับการใช้จำนวนพจน์ที่ใช้สมมุติค่าฟังก์ชันเริ่มต้นเท่ากับ 3 พจน์ ไม่มากนักคือประมาณ 10 นาที แต่ถ้าใช้จำนวนพจน์ที่ใช้สมมุติค่าฟังก์ชันเริ่มต้นเท่ากับ 4 พจน์ จะใช้เวลาในการคำนวณแต่ละรอบประมาณ 30 นาที ซึ่งถือว่าค่อนข้างมาก เนื่องจากในการหาผลเฉลยของปัญหาแต่ละค่าจะต้องใช้การคำนวณมากกว่าหนึ่งรอบ และอีกประเด็นหนึ่งก็คือค่าความถี่ธรรมชาติที่ได้จากการใช้จำนวนพจน์ที่ใช้สมมุติค่าฟังก์ชันเริ่มต้นเท่ากับ 3 และ 4 พจน์นั้นมีความแตกต่างกันไม่มากนัก จากตารางที่ 7-2 พบว่าค่าความถี่ธรรมชาติของการใช้จำนวนพจน์ที่ใช้สมมุติค่าฟังก์ชันเริ่มต้นทั้งสองค่า มีความแตกต่างมากสุดในกรณีการจับยึดแบบ CCSS ที่ลำดับชั้นการวางตัวของเส้นใยแบบ  $[45/-45/45]$  ซึ่งมีค่าความแตกต่างเท่ากับ 0.34 เปอร์เซ็นต์ ส่วนค่าความแตกต่างน้อยสุดคือกรณีการจับยึดแบบ CCCC ที่ลำดับชั้นการวางตัวของเส้นใยแบบ  $[\pm 45]_{2s}$  โดยมีค่าความแตกต่างกันเพียง 0.001 เปอร์เซ็นต์ เท่านั้น อย่างไรก็ตามฟังก์ชันเริ่มต้นที่มีจำนวนพจน์หนึ่ง ๆ จะมีจำนวนสัมประสิทธิ์ของฟังก์ชันเริ่มต้นต่ำสุดค่าหนึ่งที่ทำให้ค่าเจาะจงของปัญหาเจาะจงมีค่าลู่เข้า ซึ่งตัวอย่างของจำนวนสัมประสิทธิ์ของฟังก์ชันเริ่มต้นต่อการลู่เข้าของผลลัพธ์จะมีลักษณะดังแสดงไว้ในรูปที่ 5.6 ดังนั้นเพื่อความถูกต้องของคำตอบจึงจำเป็นต้องศึกษาจำนวนสัมประสิทธิ์ของฟังก์ชันเริ่มต้นที่ทำให้ค่าเจาะจงมีค่าลู่เข้าด้วย

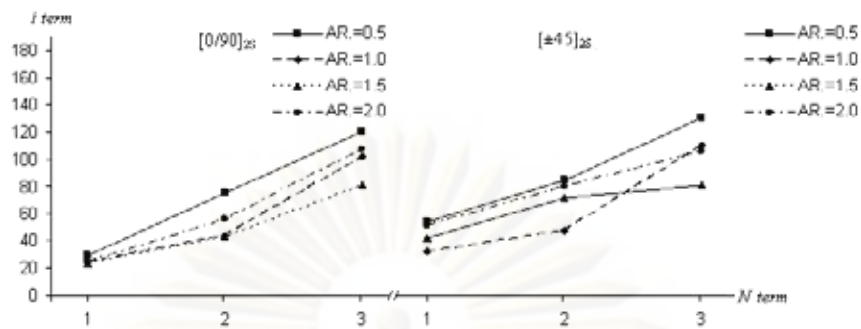
#### 7.4 ผลของจำนวนสัมประสิทธิ์ของฟังก์ชันเริ่มต้นต่อการลู่เข้าของค่าเจาะจง

หัวข้อนี้จะศึกษาจำนวนสัมประสิทธิ์ของฟังก์ชันเริ่มต้นที่ทำให้ค่าเจาะจงมีค่าลู่เข้าเพื่อให้ได้จำนวนสัมประสิทธิ์ที่เหมาะสมในการแก้ปัญหาการสั่นสะเทือนของแผ่นคอมโพสิตในแต่ละกรณี แต่เนื่องจากเงื่อนไขขอบเขตการจับยึดและขนาดสัดส่วนของชิ้นงานมีหลายกรณี จึงยากต่อการศึกษาจำนวนสัมประสิทธิ์ของฟังก์ชันเริ่มต้นที่ทำให้ค่าเจาะจงมีค่าลู่เข้าได้ครบทุกกรณี ดังนั้น การศึกษาในหัวข้อนี้จึงเลือกเงื่อนไขขอบเขตการจับยึดเช่นเดียวกับการศึกษาจำนวนพจน์ที่ใช้สมมุติค่าฟังก์ชันเริ่มต้นในหัวข้อที่ผ่านมา ด้วยเหตุผลเดียวกันคือเพื่อศึกษาชิ้นงานที่มีเงื่อนไขขอบเขตการจับยึดที่หลากหลาย และได้เพิ่มการศึกษาในกรณีขอบเขตการจับยึดแบบง่ายทั้งสี่ด้านด้วย สำหรับแผ่นคอมโพสิตที่ใช้ศึกษามีลักษณะการวางตัวของเส้นใยสองแบบคือ การวางตัวของเส้นใยแบบ cross-ply และการวางตัวของเส้นใยแบบ angle-ply โดยแต่ละแบบศึกษาที่ขนาดสัดส่วนของชิ้นงานทั้งหมดสี่ขนาดสัดส่วนคือ 0.5 1.0 1.5 และ 2.0 ทั้งนี้เพื่อให้เห็นความสัมพันธ์ของขนาดสัดส่วนต่อจำนวนสัมประสิทธิ์ของฟังก์ชันเริ่มต้นที่ทำให้ผลเฉลยมีค่าลู่เข้าของแต่ละลักษณะการวางตัวของเส้นใย โดยศึกษาที่ใช้จำนวนพจน์ที่ใช้สมมุติค่าฟังก์ชันเริ่มต้นตั้งแต่ 1 ถึง 3 พจน์ ผลการศึกษาของแต่ละกรณีแสดงไว้ในกราฟรูปที่ 7.1 ซึ่งประกอบด้วยกราฟทั้งหมดสี่กราฟตามเงื่อนไขขอบเขตการจับยึดคือ CCCC, CCSS, SCSF และ SSSS แต่ละกราฟแบ่งการศึกษออกเป็นสองส่วนคือ กรณีการวางตัวของเส้นใยแบบ cross-ply ซึ่งศึกษาชิ้นงานที่มีการวางตัวของเส้นใยแบบ  $[0/90]_{2s}$  และแบบ angle-ply ศึกษาชิ้นงานที่มีลำดับชั้นการวางตัวของเส้นใยแบบ  $[\pm 45]_{2s}$  จากกราฟพบว่าสำหรับการใช้จำนวนฟังก์ชันเริ่มต้นเท่ากันกรณีของแผ่นคอมโพสิตที่มีการวางตัวของเส้นใยแบบ angle-ply มีแนวโน้มการใช้จำนวนสัมประสิทธิ์ของฟังก์ชันเริ่มต้นเพื่อให้ได้ค่าเจาะจงที่มีค่าลู่เข้ามากกว่าในกรณีที่มีการวางตัวของเส้นใยแบบ cross-ply ด้วยเหตุผลคล้ายกับกรณีการศึกษาจำนวนพจน์ที่ใช้สมมุติค่าฟังก์ชันเริ่มต้นกล่าวคือ ในกรณีแผ่นคอมโพสิตที่มีการวางตัวของเส้นใยแบบ angle-ply ค่า  $D_{16}$  และ  $D_{26}$  มีค่าไม่เท่ากับศูนย์ ดังนั้นในการแก้ปัญหาค่าเจาะจงของปัญหา สมาชิกในแต่ละตำแหน่งของเมตริกซ์  $[F]$  ในสมการที่ (5-2) จะมีขนาดใหญ่กว่ากรณีที่ค่า  $D_{16}$  และ  $D_{26}$  มีค่าเท่ากับศูนย์ ทำให้ในกรณีแผ่นคอมโพสิตที่มีการวางตัวของเส้นใยแบบ angle-ply ต้องการจำนวนสัมประสิทธิ์ของฟังก์ชันเริ่มต้นมากกว่าเพื่อให้ได้ค่าเจาะจงที่ทำให้สมการสอดคล้องกับเงื่อนไขขอบเขตในปัญหาที่กำลังศึกษาอยู่ การศึกษายังพบอีกว่าเมื่อจำนวนพจน์ที่ใช้สมมุติค่าฟังก์ชันเริ่มต้นเพิ่มขึ้นจะต้องใช้จำนวนสัมประสิทธิ์ของฟังก์ชันเริ่มต้นมากขึ้นด้วย ทั้งนี้เนื่องจากผลคูณของฟังก์ชัน  $X(x)$  และฟังก์ชัน  $Y(y)$  ในฟังก์ชันการเคลื่อนที่นอกระนาบ ในสมการ (4-7) มีจำนวนพจน์เพิ่มขึ้นตามจำนวนพจน์ที่

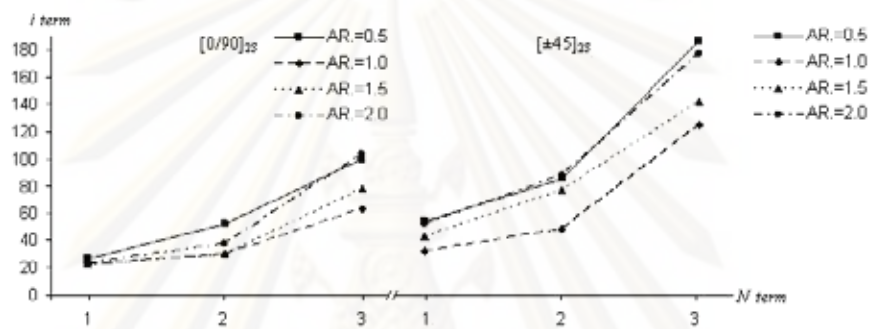
ใช้สมมุติค่าฟังก์ชันเริ่มต้น ซึ่งทำให้เมตริกซ์  $[F]$  ในการแก้ปัญหาค่าเจาะจงมีขนาดของเมตริกซ์เพิ่มขึ้นเป็น  $4N \times 4N$  ดังนั้นจึงต้องการจำนวนสัมประสิทธิ์ของฟังก์ชันเริ่มต้นมากขึ้นเพื่อให้ได้ค่าเจาะจงที่ทำให้สมการสอดคล้องกับเงื่อนไขขอบเขต

อีกข้อสรุปหนึ่งที่ได้จากการศึกษาในหัวข้อนี้คือการเพิ่มจำนวนพจน์ของฟังก์ชันเริ่มต้นไม่ทำให้จำนวนสัมประสิทธิ์ของฟังก์ชันเริ่มต้นที่ทำให้ค่าเจาะจงมีค่าเข้าสู่ของขนาดสัดส่วนหนึ่ง ๆ มีค่ามากกว่าหรือน้อยกว่าเสมอไป ดังเช่นในกรณีชิ้นงานที่มีการวางตัวของเส้นใยแบบ  $[\pm 45]_{2S}$  ของเงื่อนไขขอบเขตการจับยึดแบบ SCSF เมื่อจำนวนพจน์ที่ใช้สมมุติค่าฟังก์ชันเริ่มต้นเท่ากับ 2 พจน์ สำหรับขนาดสัดส่วนของชิ้นงานเท่ากับ 1.5 จะใช้จำนวนสัมประสิทธิ์ของฟังก์ชันเริ่มต้นมากกว่าชิ้นงานที่มีขนาดสัดส่วนของชิ้นงานเท่ากับ 2.0 แต่เมื่อใช้จำนวนพจน์ที่ใช้สมมุติค่าฟังก์ชันเริ่มต้นเพิ่มขึ้นเป็น 3 พจน์ สำหรับชิ้นงานที่มีขนาดสัดส่วนเท่ากับ 1.5 จะใช้จำนวนสัมประสิทธิ์ของฟังก์ชันเริ่มต้นน้อยกว่าชิ้นงานที่มีขนาดสัดส่วนของชิ้นงานเท่ากับ 2.0 ดังนั้นในการกำหนดจำนวนสัมประสิทธิ์ของฟังก์ชันเริ่มต้นเพื่อใช้ในการคำนวณค่าความถี่ธรรมชาติหรือค่าภาระการโก่งของแผ่นคอมโพสิตด้วยระเบียบวิธีแคนโทโรวิชจึงควรเผื่อจำนวนสัมประสิทธิ์ของฟังก์ชันเริ่มต้นไว้ด้วย อย่างไรก็ตามการใช้จำนวนสัมประสิทธิ์ของฟังก์ชันเริ่มต้นมากเกินไปก็ต้องใช้เวลาในการคำนวณมากขึ้น การเลือกจำนวนสัมประสิทธิ์ของฟังก์ชันเริ่มต้นที่เหมาะสมและเพียงพอต่อการเข้าสู่ของค่าเจาะจง จะต้องพิจารณาลักษณะต่าง ๆ ของชิ้นงานประกอบกัน ได้แก่ เงื่อนไขขอบเขตการจับยึดของชิ้นงาน ลำดับชั้นการวางตัวของเส้นใย รวมถึงขนาดสัดส่วนของชิ้นงาน โดยในการศึกษาปัญหาการสั่นสะเทือนของแผ่นคอมโพสิตในวิทยานิพนธ์นี้ จะใช้จำนวนสัมประสิทธิ์ของฟังก์ชันเริ่มต้นเท่ากับ 150 ตัว สำหรับแผ่นคอมโพสิตที่มีการวางตัวของเส้นใยแบบ cross-ply และใช้จำนวนสัมประสิทธิ์ของฟังก์ชันเริ่มต้นเท่ากับ 200 ตัว สำหรับแผ่นคอมโพสิตที่มีการวางตัวของเส้นใยแบบ angle-ply

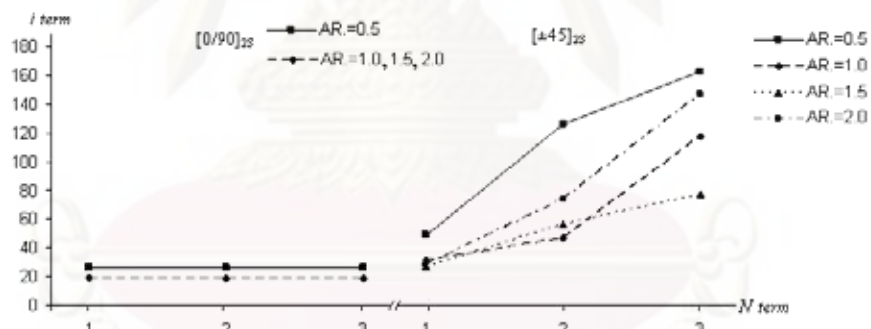
ศูนย์วิทยทรัพยากร  
จุฬาลงกรณ์มหาวิทยาลัย



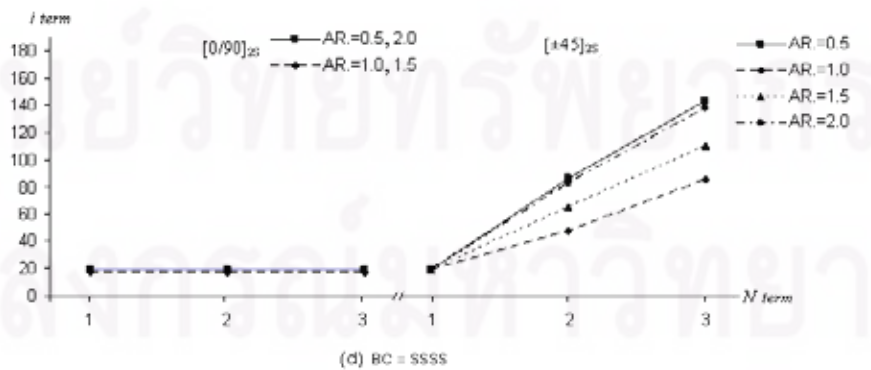
(a) BC = COCC



(b) BC = CCSS



(c) BC = SCSF



(d) BC = SSSS

รูปที่ 7.1 กราฟแสดงความสัมพันธ์ของขนาดสัดส่วนและมุมการวางตัวของเส้นใยของเงื่อนไขขอบเขตต่าง ๆ ต่อจำนวนสัมประสิทธิ์ของฟังก์ชันเริ่มต้นที่ทำให้ผลเฉลยมีค่าลู่ออก



## 7.5 พฤติกรรมการสั่นสะเทือนของแผ่นคอมโพสิต

การศึกษาพฤติกรรมการสั่นสะเทือนของแผ่นคอมโพสิตในหัวข้อนี้แบ่งออกเป็นสามส่วน คือ ศึกษาผลของค่า  $D_{16}$  และ  $D_{26}$  ต่อพฤติกรรมการสั่นสะเทือนที่โหมดสูง ๆ ศึกษาผลของขนาดสัดส่วนของชั้นงานและองศาการวางตัวของเส้นใยของแผ่นคอมโพสิตที่มีต่อพฤติกรรมการสั่นสะเทือนของแผ่นคอมโพสิต อันดับแรกเพื่อแสดงให้เห็นว่าโปรแกรมคอมพิวเตอร์ที่ประดิษฐ์ขึ้น รวมถึงข้อสรุปที่ได้จากการศึกษาจำนวนพจน์ที่ใช้สมมุติค่าฟังก์ชันเริ่มต้นและจำนวนสัมประสิทธิ์ของฟังก์ชันเริ่มต้นในสองหัวข้อที่ผ่านมาสามารถนำมาคำนวณหาค่าความถี่ธรรมชาติของแผ่นคอมโพสิตได้อย่างน่าเชื่อถือ ทำได้โดยนำค่าความถี่ธรรมชาติที่คำนวณได้จากโปรแกรมคอมพิวเตอร์ที่ประดิษฐ์ขึ้นเปรียบเทียบกับผลการศึกษาในเอกสารอ้างอิง [22, 25, 26] ซึ่งได้ศึกษาการสั่นสะเทือนห้าโหมดแรกของแผ่นคอมโพสิตที่มีการวางตัวของเส้นใยทั้งแบบ cross-ply และแบบ angle-ply ผลการศึกษาในเอกสารอ้างอิงหาค่าความถี่ธรรมชาติด้วยวิธีเชิงตัวเลข โดยการศึกษาของเอกสารอ้างอิง [22] ใช้ระเบียบวิธี Element free Galerkin Method ส่วนการศึกษาของเอกสารอ้างอิง [25, 26] ใช้ระเบียบวิธีวิธีที่เหมือนกันแต่สมมุติฟังก์ชันการเคลื่อนที่นอกกระนาบที่สอดคล้องกับเงื่อนไขขอบเขตการจับยึดต่างกัน โดยการศึกษาในเอกสารอ้างอิง [25] ใช้ฟังก์ชันของอนุกรมซายน์ ส่วนการศึกษาในเอกสารอ้างอิง [26] จะใช้ฟังก์ชันโพลีโนเมียล ค่าความถี่ธรรมชาติที่เปรียบเทียบอยู่ในรูปพารามิเตอร์ไร้หน่วยตามสมการ (5-3) ผลการศึกษาแสดงในตารางที่ 7-3 และ 7-4 โดยตารางที่ 7-3 แสดงค่าความถี่ธรรมชาติของชั้นงานที่มีการจับยึดแบบง่ายทั้งสี่ด้าน ผลการศึกษาจากเอกสารอ้างอิง [22, 25, 26] แสดงในช่อง Ref.[22], Ref.[25] และ Ref.[26] ตามลำดับ ตารางที่ 7-8 แสดงค่าความถี่ธรรมชาติของชั้นงานที่มีการจับยึดแบบยึดแน่นทั้งสี่ด้าน ผลการศึกษาจากเอกสารอ้างอิง [22, 26] แสดงในช่อง Ref.[22] และ Ref.[26] ตามลำดับ ส่วนค่าความถี่ธรรมชาติที่คำนวณจากโปรแกรมคอมพิวเตอร์ แสดงในช่อง Present ของทั้งสองตาราง

จากตารางที่ 7-3 และ 7-4 พบว่าค่าความถี่ธรรมชาติที่คำนวณได้ในกรณีแผ่นคอมโพสิตที่มีการวางตัวของเส้นใยแบบ cross-ply จะมีค่าน้อยกว่าผลการศึกษาที่นำมาเปรียบเทียบทุกโหมดการสั่นสะเทือน ส่วนค่าความถี่ธรรมชาติในกรณีแผ่นคอมโพสิตที่มีการวางตัวของเส้นใยแบบ angle-ply โดยส่วนมากค่าที่ได้จากการคำนวณจะมีค่าสูงกว่าผลการศึกษาที่นำมาเปรียบเทียบในโหมดการสั่นสะเทือนสูง ๆ แต่ยังมีค่าใกล้เคียงกัน ดังนั้นแสดงว่าการแก้ปัญหาการสั่นสะเทือนด้วยระเบียบวิธีแคนโทโรวิชสามารถคำนวณค่าความถี่ธรรมชาติและรูปร่างโหมดการสั่นสะเทือนของ

แผ่นคอมโพสิตที่มีการวางตัวของเส้นใยแบบต่าง ๆ ได้อย่างน่าเชื่อถือ ในลำดับถัดไปจะนำโปรแกรมคอมพิวเตอร์ที่ได้ไปศึกษาพฤติกรรมการสั่นสะเทือนของแผ่นคอมโพสิต

ตารางที่ 7-3 ค่าความถี่ธรรมชาติภายใต้การจับยึดแบบง่ายทั้งสี่ด้าน จากการศึกษาของ

เอกสารอ้างอิง [22, 25, 26] เทียบกับค่าจากโปรแกรมคอมพิวเตอร์ที่ประดิษฐ์ขึ้น

Stacking sequence	Solution	Mode				
		1	2	3	4	5
[0] <sub>3</sub>	Ref. [22]	15.18	33.34	44.51	60.79	64.80
	Ref. [25]	15.19	33.30	44.42	60.77	64.53
	Ref. [26]	15.19	33.31	44.52	60.78	64.55
	Present	15.17	33.25	44.39	60.68	64.46
[15/-15/15]	Ref. [22]	15.41	34.15	43.93	60.91	66.94
	Ref. [25]	15.43	34.09	43.87	60.85	66.67
	Ref. [26]	15.37	34.03	43.80	60.80	66.56
	Present	15.40	34.03	43.83	60.75	66.62
[30/-30/30]	Ref. [22]	15.88	35.95	42.63	61.54	72.12
	Ref. [25]	15.90	35.86	42.62	61.45	71.71
	Ref. [26]	15.86	35.77	42.48	61.27	71.41
	Present	15.86	35.77	42.58	61.31	71.88
[45/-45/45]	Ref. [22]	16.11	37.04	41.80	61.94	78.03
	Ref. [25]	16.14	36.93	41.81	61.85	77.04
	Ref. [26]	16.08	36.83	41.67	61.65	76.76
	Present	16.10	36.87	41.82	61.68	78.57
[0/90/0]	Ref. [22]	15.18	33.82	44.14	60.79	66.12
	Ref. [25]	N/A	N/A	N/A	N/A	N/A
	Ref. [26]	N/A	N/A	N/A	N/A	N/A
	Present	15.17	33.73	44.02	60.68	65.77

ตารางที่ 7-4 ค่าความถี่ธรรมชาติภายใต้การจับยึดแบบยึดแน่นทั้งสี่ด้าน จากการศึกษาของ เอกสารอ้างอิง [22, 26] เทียบกับค่าจากโปรแกรมคอมพิวเตอร์ที่ประดิษฐ์ขึ้น

Stacking sequence	Solution	Mode				
		1	2	3	4	5
[0] <sub>3</sub>	Ref. [22]	29.27	51.21	67.94	86.25	87.97
	Ref. [26]	29.13	50.82	67.29	85.67	87.14
	Present	29.08	50.78	67.26	85.59	87.06
[15/-15/15]	Ref. [22]	29.07	51.82	66.54	85.17	90.56
	Ref. [26]	28.92	51.43	65.92	84.55	89.76
	Present	28.89	51.39	65.89	84.49	89.68
[30/-30/30]	Ref. [22]	28.69	53.57	63.24	84.43	96.13
	Ref. [26]	28.55	53.15	62.71	83.83	95.21
	Present	28.51	53.11	62.67	83.79	95.42
[45/-45/45]	Ref. [22]	28.50	55.11	60.91	84.25	103.2
	Ref. [26]	28.38	54.65	60.45	83.65	102.0
	Present	28.33	54.64	60.47	83.62	103.9
[0/90/0]	Ref. [22]	29.27	51.93	67.40	86.25	89.76
	Ref. [26]	N/A	N/A	N/A	N/A	N/A
	Present	29.08	51.48	66.72	85.59	88.82

#### 7.5.1 ผลของค่า $D_{16}$ และ $D_{26}$ ต่อพฤติกรรมการสั่นสะเทือนที่โหมดสูง ๆ

ในหัวข้อที่ 7.3 และ 7.4 ได้ศึกษาจำนวนพจน์ที่ใช้สมมุติค่าฟังก์ชันเริ่มต้นและจำนวนสัมประสิทธิ์ของฟังก์ชันเริ่มต้นสำหรับปัญหาการสั่นสะเทือนของโครงสร้างแผ่นบาง พบว่าค่า  $D_{16}$  และ  $D_{26}$  ของโครงสร้างแผ่นบางมีผลต่อจำนวนพจน์และจำนวนสัมประสิทธิ์ของฟังก์ชันเริ่มต้น โดยกรณีที่โครงสร้างมีค่า  $D_{16}$  และ  $D_{26}$  ไม่เท่ากับศูนย์ จะต้องใช้จำนวนพจน์ของฟังก์ชันเริ่มต้นและจำนวนสัมประสิทธิ์ของฟังก์ชันเริ่มต้นเพื่อให้ได้ค่าเจาะจงที่มีค่าลู่เข้ามากกว่ากรณีโครงสร้างที่มีค่า  $D_{16}$  และ  $D_{26}$  เท่ากับศูนย์ เนื่องจากค่า  $D_{16}$  และ  $D_{26}$  จะส่งผลทำให้รูปร่างการสั่นสะเทือนของแผ่นคอมโพสิตเกิดการดัดพร้อมกับการบิด (bending-twisting coupling) และจากผลการศึกษาในตารางที่ 7-3 และ 7-4 พบว่าค่าความถี่ธรรมชาติที่คำนวณด้วยระเบียบวิธีแคนโทโรวิช

ของแผ่นคอมโพสิตที่มีการวางตัวของเส้นใยแบบ angle-ply มีแนวโน้มไม่ถูกรบกวนมากขึ้น ดังนั้นในหัวข้อนี้จึงศึกษาผลกระทบของค่า  $D_{16}$  และ  $D_{26}$  ของโครงสร้างแผ่นบางต่อพฤติกรรม การสั่นสะเทือนที่โหมดสูง ๆ โดยศึกษาพฤติกรรมการสั่นสะเทือนห้าโหมดแรกของชิ้นงานที่มี คุณสมบัติสองแบบคือ โครงสร้างแผ่นบางที่เป็นวัสดุไอโซโทรปิกและแผ่นบางที่เป็นคอมโพสิต โดย พิจารณาชิ้นงานที่มีขนาดสัดส่วนเท่ากับหนึ่ง ภายใต้เงื่อนไขขอบเขตการจับยึดสามแบบคือ CCCF, SCSC และ CSSC ในกรณีแผ่นคอมโพสิตศึกษาชิ้นงานที่มีลำดับชั้นการวางตัวของเส้นใย แตกต่างกันสามแบบคือ  $[0/90]_{2S}$ ,  $[\pm 45]_{2S}$  และ  $[45]_8$  ซึ่งค่า  $D_{16}$  และ  $D_{26}$  ของโครงสร้างที่มีการ วางตัวแบบ  $[0/90]_{2S}$  และโครงสร้างแผ่นบางที่เป็นวัสดุไอโซโทรปิกมีค่าเท่ากับศูนย์ ส่วนค่า  $D_{16}$  และ  $D_{26}$  สำหรับกรณีการวางตัวแบบ  $[45]_8$  มีค่าสูงกว่ากรณีการวางตัวแบบ  $[\pm 45]_{2S}$  ตารางที่ 7-5 ถึง 7-7 แสดงค่าความถี่ธรรมชาติในหน่วย rad/s สำหรับชิ้นงานที่มีเงื่อนไขขอบเขตการจับยึดแบบ CCCF, SCSC และ CSSC ตามลำดับ ช่อง KM เป็นค่าความถี่ธรรมชาติที่ได้จากการคำนวณด้วย โปรแกรมคอมพิวเตอร์ที่ประดิษฐ์ขึ้นโดยใช้จำนวนพจน์ในการคำนวณเท่ากับ 3 พจน์ ส่วนช่อง Ritz Method คือค่าความถี่ธรรมชาติที่ได้จากระเบียบวิธีริทซ์ ที่ใช้จำนวนพจน์ในการคำนวณเท่ากับ 100 พจน์ เพื่อเปรียบเทียบค่าความถี่ธรรมชาติจากทั้งสองวิธี

ตารางที่ 7-5 ค่าความถี่ธรรมชาติ (rad/s) ของโครงสร้างแผ่นบางภายใต้เงื่อนไขขอบเขตการจับยึด แบบ CCCF ที่กรณีศึกษาแบบต่าง ๆ

Case study	Solution	Mode				
		1	2	3	4	5
Isotropic	KM	68.89	115.19	182.03	220.87	232.00
	Ritz Method	69.06	115.23	182.57	220.89	232.26
$[0/90]_{2S}$	KM	581.76	746.21	1332.78	1584.60	1698.81
	Ritz Method	581.77	746.21	1332.78	1584.65	1698.83
$[\pm 45]_{2S}$	KM	423.38	811.65	1093.31	1461.34	1642.47
	Ritz Method	428.81	812.97	1108.09	1459.29	1684.13
$[45]_8$	KM	360.24	641.00	970.48	1076.88	1484.44 <sup>a</sup>
	Ritz Method	365.84	646.06	982.68	1080.80	1477.78

ตารางที่ 7-6 ค่าความถี่ธรรมชาติ (rad/s) ของโครงสร้างแผ่นบางภายใต้เงื่อนไขขอบเขตการจับยึดแบบ SCSC ที่กรณีศึกษาแบบต่าง ๆ

Case study	Solution	Mode				
		1	2	3	4	5
Isotropic	KM	83.35	157.60	199.59	272.31	294.28
	Ritz Method	83.35	157.61	199.59	272.32	294.29
$[0/90]_{2S}$	KM	505.52	1130.15	1197.22	1626.72	2276.08
	Ritz Method	505.52	1130.15	1197.22	1626.72	2276.08
$[\pm 45]_{2S}$	KM	575.22	1080.75	1329.40	1841.83	2039.31
	Ritz Method	575.79	1082.20	1329.92	1842.04	2039.01
$[45]_8$	KM	500.39	833.13	1275.34	1859.57 <sup>b</sup>	1966.47 <sup>c</sup>
	Ritz Method	504.85	842.59	1265.07	1301.94	1822.51

ตารางที่ 7-7 ค่าความถี่ธรรมชาติ (rad/s) ของโครงสร้างแผ่นบางภายใต้เงื่อนไขขอบเขตการจับยึดแบบ CSSC ที่กรณีศึกษาแบบต่าง ๆ

Case study	Solution	Mode				
		1	2	3	4	5
Isotropic	KM	77.89	174.29	175.02	267.28	330.02
	Ritz Method	77.89	174.29	175.00	267.29	329.81
$[0/90]_{2S}$	KM	510.30	1044.37	1342.16	1679.86	2005.97
	Ritz Method	510.30	1044.37	1342.15	1679.85	2005.96
$[\pm 45]_{2S}$	KM	549.16	1129.09	1240.65	1870.16	2176.81 <sup>d</sup>
	Ritz Method	549.96	1129.53	1239.86	1871.29	2124.69
$[45]_8$	KM	465.48	845.45	1218.48	1922.97 <sup>e</sup>	2101.11 <sup>f</sup>
	Ritz Method	471.90	855.45	1202.84	1309.23	1843.83

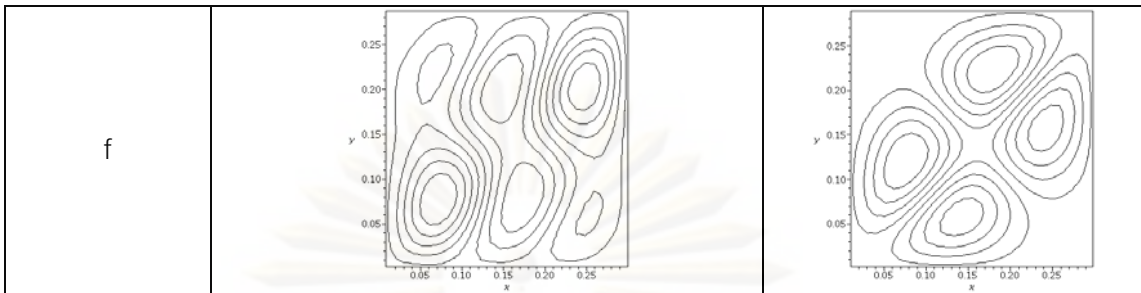
หมายเหตุ: superscript ที่ a ถึง f ในตารางที่ 7-5 ถึง 7-7 คือ รูปว่างโหมดการสั่นสะเทือนที่แตกต่างกันจากการคำนวณทั้งสองระเบียบวิธี โดยรูปว่างโหมดการสั่นสะเทือนที่แตกต่างกันนี้ได้แสดงในตารางที่ 7-8

จากตารางที่ 7-5 ถึง 7-7 พบว่าโครงสร้างแผ่นบางที่มีค่า  $D_{16}$  และ  $D_{26}$  เท่ากับศูนย์ ค่าความถี่ธรรมชาติและรูปร่างการสั่นสะเทือนที่โหมดสูง ๆ ที่ได้จากระเบียบวิธีแคนโทโรวิชมีความน่าเชื่อถือเนื่องจากค่าความถี่ธรรมชาติและรูปร่างการสั่นสะเทือนที่ได้มีค่าใกล้เคียงกับการคำนวณด้วยระเบียบวิธีริทซ์ สำหรับแผ่นคอมโพสิตที่มีการวางตัวของเส้นใยแบบ  $[\pm 45]_{2S}$  พบว่าการหาค่าความถี่ธรรมชาติและรูปร่างการสั่นสะเทือนที่โหมดสูงขึ้นส่วนใหญ่ยังคงมีความน่าเชื่อถือเนื่องจากค่าความถี่ธรรมชาติจากการคำนวณทั้งสองระเบียบวิธียังคงมีค่าใกล้เคียงกัน มีบางเงื่อนไขขอบเขตการจับยึดที่ค่าความถี่ธรรมชาติที่โหมดสูง ๆ จากการคำนวณทั้งสองระเบียบวิธีมีค่าแตกต่างกันพอสมควร ได้แก่ การสั่นสะเทือนโหมดที่ห้าสำหรับชิ้นงานที่มีการจับยึดแบบ CSSC ซึ่งรูปร่างโหมดการสั่นสะเทือนในกรณีนี้จากการคำนวณทั้งสองวิธีมีลักษณะแตกต่างกันด้วย ดังแสดงในกรณี d ในตารางที่ 7-8 สำหรับแผ่นคอมโพสิตที่มีการวางตัวของเส้นใยแบบ  $[45]_8$  ซึ่งมีค่า  $D_{16}$  และ  $D_{26}$  มากที่สุดในการศึกษา พบว่าเมื่อโหมดการสั่นสะเทือนสูงขึ้นการหาค่าความถี่ธรรมชาติด้วยระเบียบวิธีแคนโทโรวิชมีความน่าเชื่อถือน้อยลงเนื่องจากเมื่อนำค่าที่ได้ไปเปรียบเทียบกับค่าความถี่ธรรมชาติที่ได้จากการคำนวณด้วยระเบียบวิธีริทซ์จะมีค่าแตกต่างกันค่อนข้างมาก และรูปร่างโหมดการสั่นสะเทือนก็มีลักษณะแตกต่างกัน ได้แก่ การสั่นสะเทือนโหมดที่ห้าสำหรับชิ้นงานที่มีการจับยึดแบบ CCCF แสดงในกรณี a การสั่นสะเทือนโหมดที่สี่และห้าสำหรับชิ้นงานที่มีการจับยึดแบบ SCSC แสดงในกรณี b และ c และการสั่นสะเทือนโหมดที่สี่และห้าสำหรับชิ้นงานที่มีการจับยึดแบบ CSSC แสดงในกรณี e และ f โดยลักษณะรูปร่างการสั่นสะเทือนที่แตกต่างกันจากการคำนวณด้วยระเบียบวิธีทั้งสองแสดงในตารางที่ 7-8 จากผลการศึกษาในหัวข้อนี้สามารถสรุปได้ว่าโครงสร้างแผ่นบางที่มีค่า  $D_{16}$  และ  $D_{26}$  สูงทำให้การหาค่าความถี่ธรรมชาติและรูปร่างโหมดการสั่นสะเทือนด้วยระเบียบวิธีแคนโทโรวิชที่โหมดการสั่นสะเทือนสูง ๆ ทำได้ยากขึ้น การจะใช้ระเบียบวิธีแคนโทโรวิชในการคำนวณหาค่าความถี่ธรรมชาติของแผ่นคอมโพสิตที่มีการวางตัวของเส้นใยแบบ angle-ply ที่โหมดการสั่นสะเทือนสูง ๆ ให้แม่นยำ จะต้องใช้จำนวนพจน์ที่ใช้สมมุติค่าฟังก์ชันเริ่มต้นและจำนวนสัมประสิทธิ์ของฟังก์ชันเริ่มต้นมากขึ้นกว่าที่ได้กำหนดในหัวข้อที่ 7.3 และ 7.4 ส่วนค่าความถี่ธรรมชาติของแผ่นคอมโพสิตที่มีการวางตัวของเส้นใยแบบ cross-ply หรือแผ่นคอมโพสิตที่มีการวางตัวของเส้นใยแบบ angle-ply ที่โหมดการสั่นสะเทือนต่ำ ๆ ยังให้ผลเฉลยที่มีค่าน่าเชื่อถืออยู่ โดยการศึกษาในหัวข้อถัดไปจะใช้จำนวนพจน์ที่ใช้สมมุติค่าฟังก์ชันเริ่มต้นและจำนวนสัมประสิทธิ์ของฟังก์ชันเริ่มต้นตามที่ได้กำหนดในหัวข้อที่ 7.3 และ 7.4 เนื่องจากจะศึกษาผลของขนาดสัดส่วนของชิ้นงานและองศาการวางตัวของเส้นใยต่อพฤติกรรมของการสั่นสะเทือนที่สามโหมดแรกเท่านั้น

ตารางที่ 7-8 รูปร่างการสั่นสะเทือนที่แตกต่างกันจากการคำนวณด้วยระเบียบวิธีแคนโทโรวิชกับ  
ระเบียบวิธีริทซ์

case	Mode shape	
	Kantorovich Method	Ritz Method
a		
b		
c		
d		
e		

ตารางที่ 7-8 (ต่อ)



### 7.5.2 ผลของขนาดสัดส่วนของชิ้นงานต่อพฤติกรรมการสั่นสะเทือนของแผ่นคอมโพสิต

ในหัวข้อนี้นำเสนอการศึกษาพฤติกรรมการสั่นสะเทือน ค่าความถี่ธรรมชาติและรูปร่างโหมดการสั่นสะเทือนของแผ่นคอมโพสิตที่ขนาดสัดส่วนของชิ้นงานต่าง ๆ กันทำขนาดสัดส่วนคือ 1.0 2.0 3.0 4.0 และ 5.0 ภายใต้เงื่อนไขขอบเขตการจับยึดสองแบบคือเงื่อนไขขอบเขตการจับยึดเหมือนกันทั้งสี่ด้านและเงื่อนไขขอบเขตการจับยึดแบบผสม โดยพิจารณาขอบเขตการจับยึดแบบ CCCC และ CSSC และแต่ละขอบเขตการจับยึดจะศึกษาชิ้นงานที่มีลำดับชั้นการวางตัวของเส้นใยสองแบบคือ แบบ  $[0/90]_{2S}$  และแบบ  $[45]_8$  การศึกษาในหัวข้อนี้จะพิจารณาการสั่นสะเทือนสามโหมดแรก ตารางที่ 7-9 แสดงค่าความถี่ธรรมชาติของชิ้นงานขนาดต่าง ๆ ในหน่วย rad/s จากการคำนวณด้วยโปรแกรมคอมพิวเตอร์ ส่วนรูปร่างโหมดการสั่นสะเทือนแบบเส้นรูปร่างของชิ้นงานที่มีการจับยึดแบบ CCCC และมีลำดับชั้นการวางตัวของเส้นใยแบบ  $[0/90]_{2S}$  และแบบ  $[45]_8$  แสดงในตารางที่ 7-10 และ 7-11 ตามลำดับ รูปร่างโหมดการสั่นสะเทือนแบบเส้นรูปร่างของชิ้นงานที่มีการจับยึดแบบ CSSC และมีลำดับชั้นการวางตัวของเส้นใยแบบ  $[0/90]_{2S}$  และแบบ  $[45]_8$  แสดงในตารางที่ 7-12 และ 7-13 ตามลำดับ

ศูนย์วิทยทรัพยากร

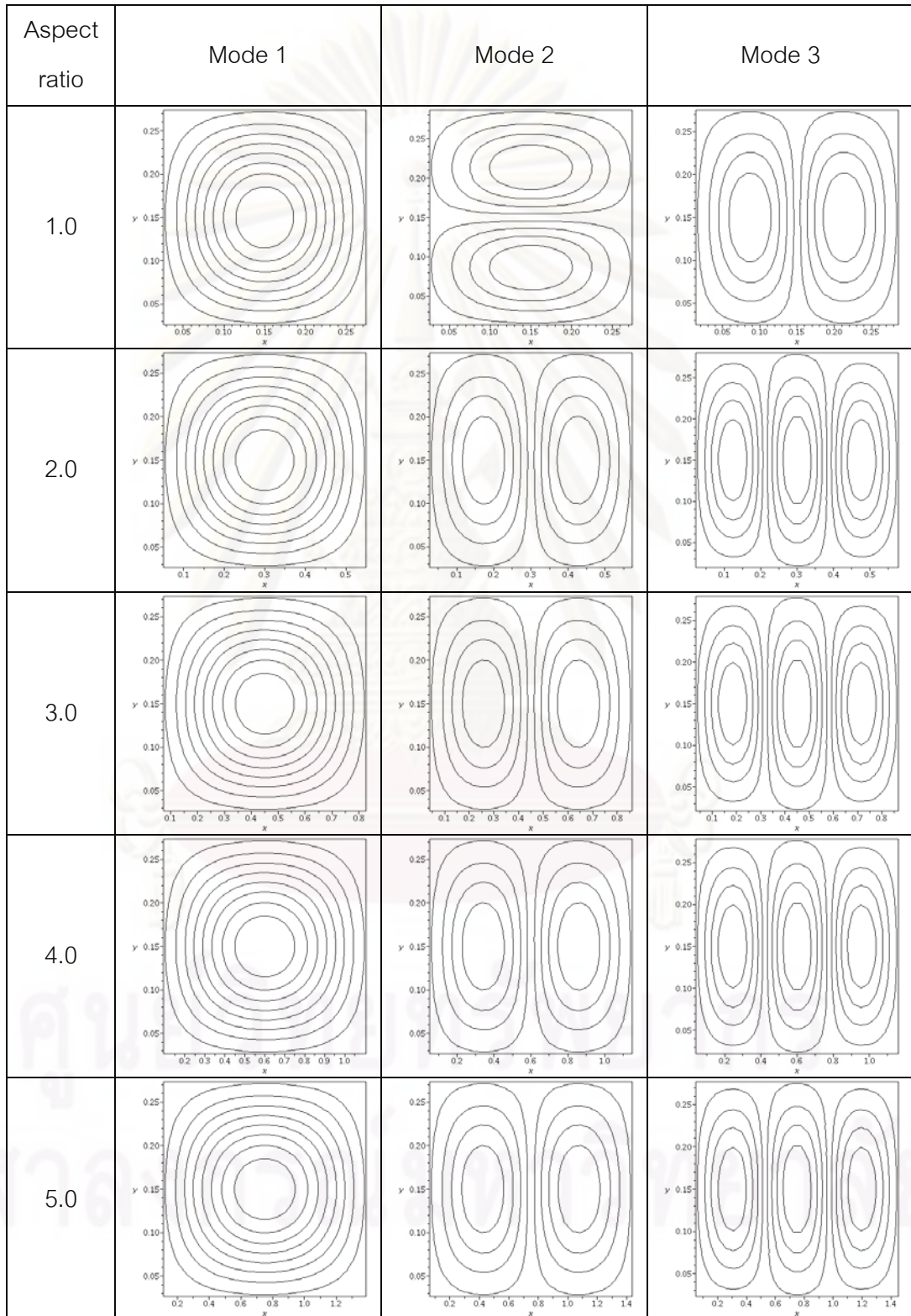
จุฬาลงกรณ์มหาวิทยาลัย



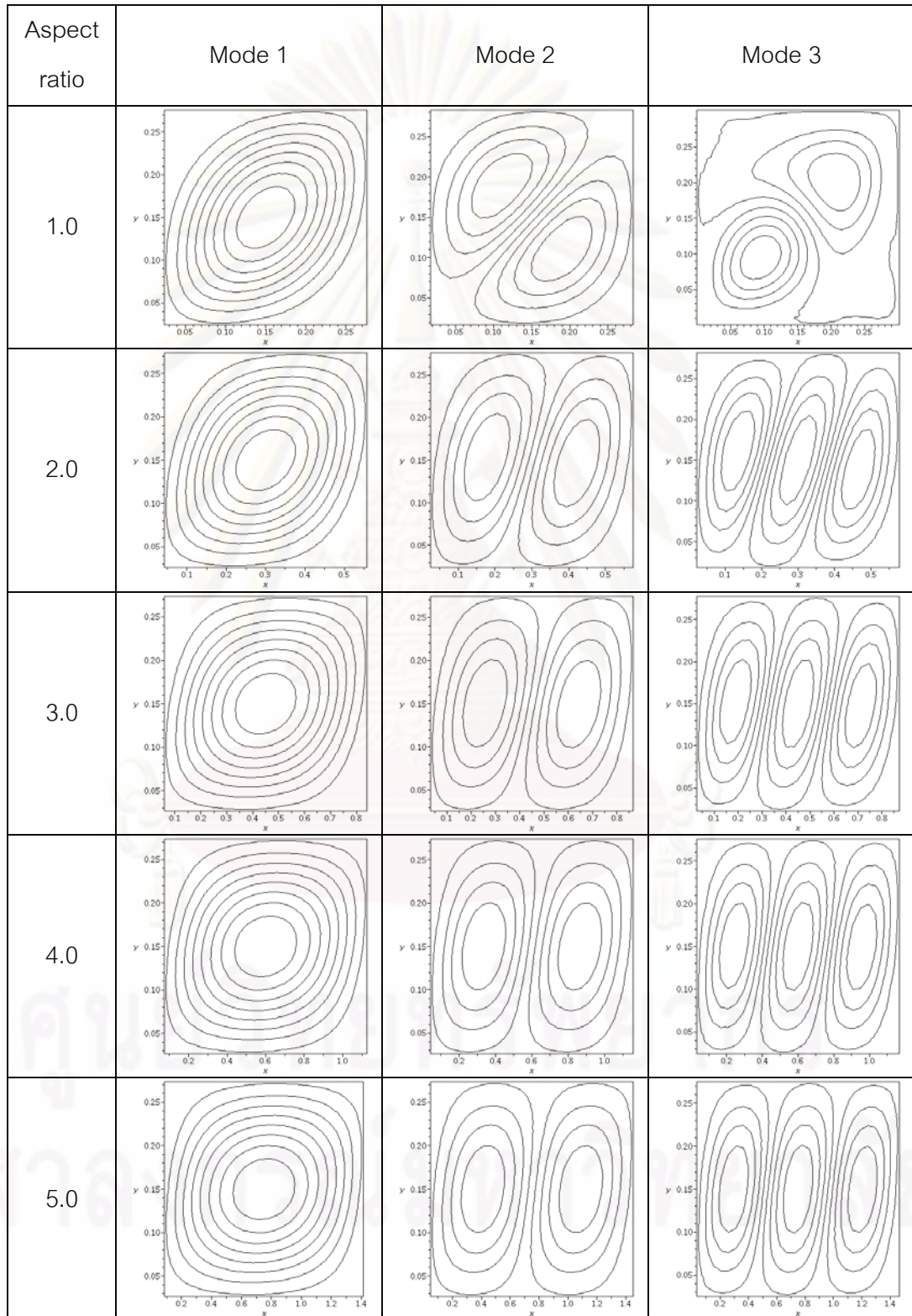
ตารางที่ 7-9 ค่าความถี่ธรรมชาติและโหมดการสั่นสะเทือนของแผ่นคอมโพสิตที่ขนาดสัดส่วน  
ของชิ้นงานต่าง ๆ กัน

Boundary condition	Stacking sequence	Aspect ratio	Mode 1		Mode 2		Mode 3	
			$\omega$ (rad/s)	mode	$\omega$ (rad/s)	mode	$\omega$ (rad/s)	mode
CCCC	[0/90] <sub>2s</sub>	1.0	723.93	[1,1]	1310.26	[1,2]	1660.22	[2,1]
		2.0	443.17	[1,1]	592.29	[2,1]	906.88	[3,1]
		3.0	419.54	[1,1]	459.79	[2,1]	558.83	[3,1]
		4.0	414.56	[1,1]	430.37	[2,1]	469.64	[3,1]
		5.0	412.86	[1,1]	420.78	[2,1]	439.71	[3,1]
	[45] <sub>8</sub>	1.0	613.78	[1,1]	1306.64	[1,2]	1441.15	[2,1]
		2.0	419.81	[1,1]	525.73	[2,1]	679.54	[3,1]
		3.0	397.21	[1,1]	436.69	[2,1]	504.93	[3,1]
		4.0	390.93	[1,1]	410.85	[2,1]	445.43	[3,1]
		5.0	388.36	[1,1]	400.27	[2,1]	420.83	[3,1]
CSSC	[0/90] <sub>2s</sub>	1.0	510.30	[1,1]	1044.37	[1,2]	1342.06	[2,1]
		2.0	310.07	[1,1]	453.28	[2,1]	757.95	[3,1]
		3.0	291.29	[1,1]	332.78	[2,1]	436.59	[3,1]
		4.0	286.91	[1,1]	304.00	[2,1]	347.53	[3,1]
		5.0	285.30	[1,1]	294.17	[2,1]	315.89	[3,1]
	[45] <sub>8</sub>	1.0	465.48	[1,1]	845.45	[1,2]	1218.48	[2,1]
		2.0	304.08	[1,1]	414.55	[2,1]	548.40	[3,1]
		3.0	280.28	[1,1]	325.95	[2,1]	400.70	[3,1]
		4.0	273.01	[1,1]	297.27	[2,1]	337.77	[3,1]
		5.0	269.90	[1,1]	284.83	[2,1]	309.89	[3,1]

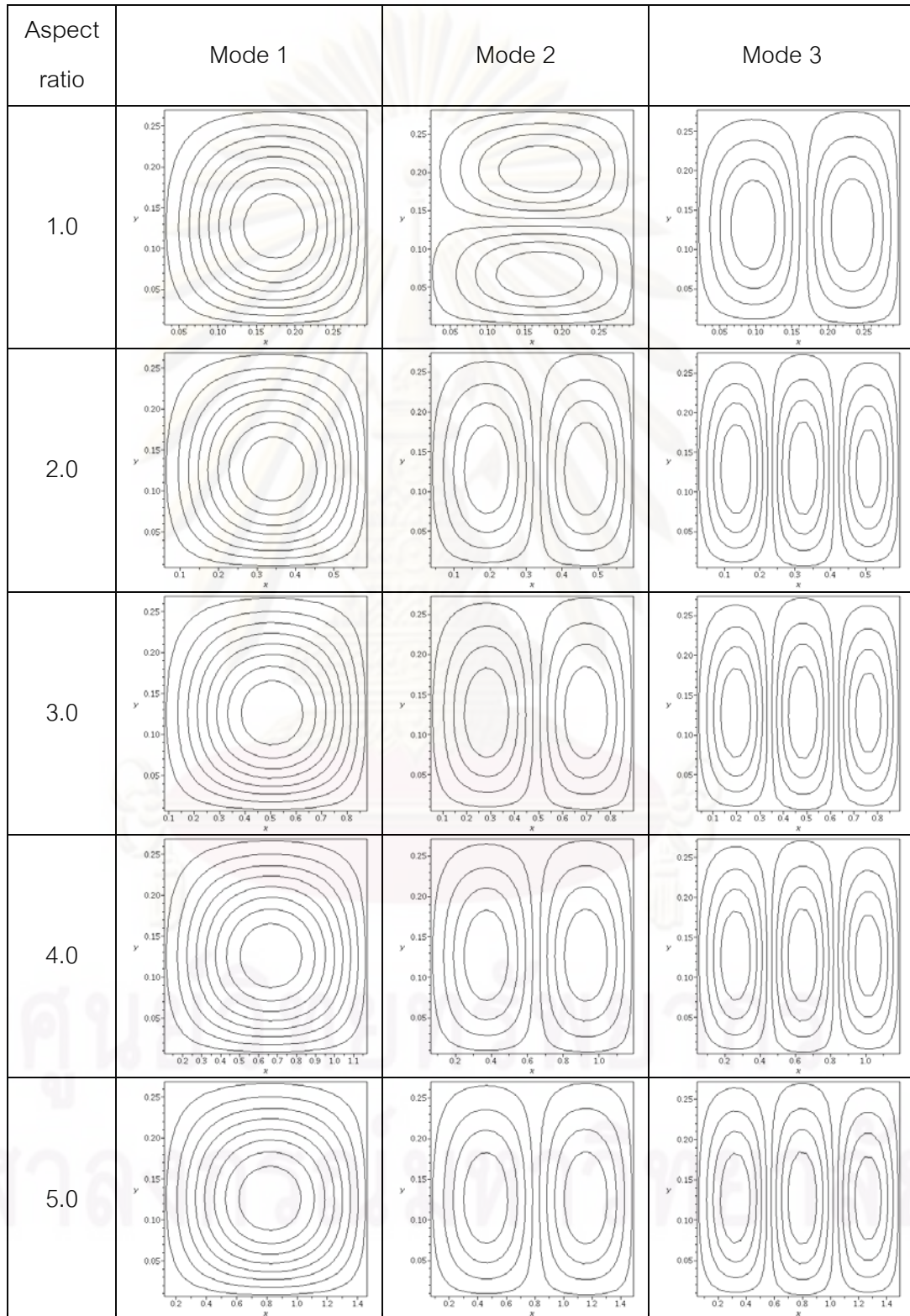
ตารางที่ 7-10 รูปร่างโหมดการสั่นสะเทือนของแผ่นคอมโพสิตที่ขนาดสัดส่วนของชิ้นงานต่าง ๆ กัน  
ที่ขอบเขตการจับยึดแบบ CCCC ลำดับชั้นการวางตัวของเส้นใยแบบ  $[0/90]_{2S}$



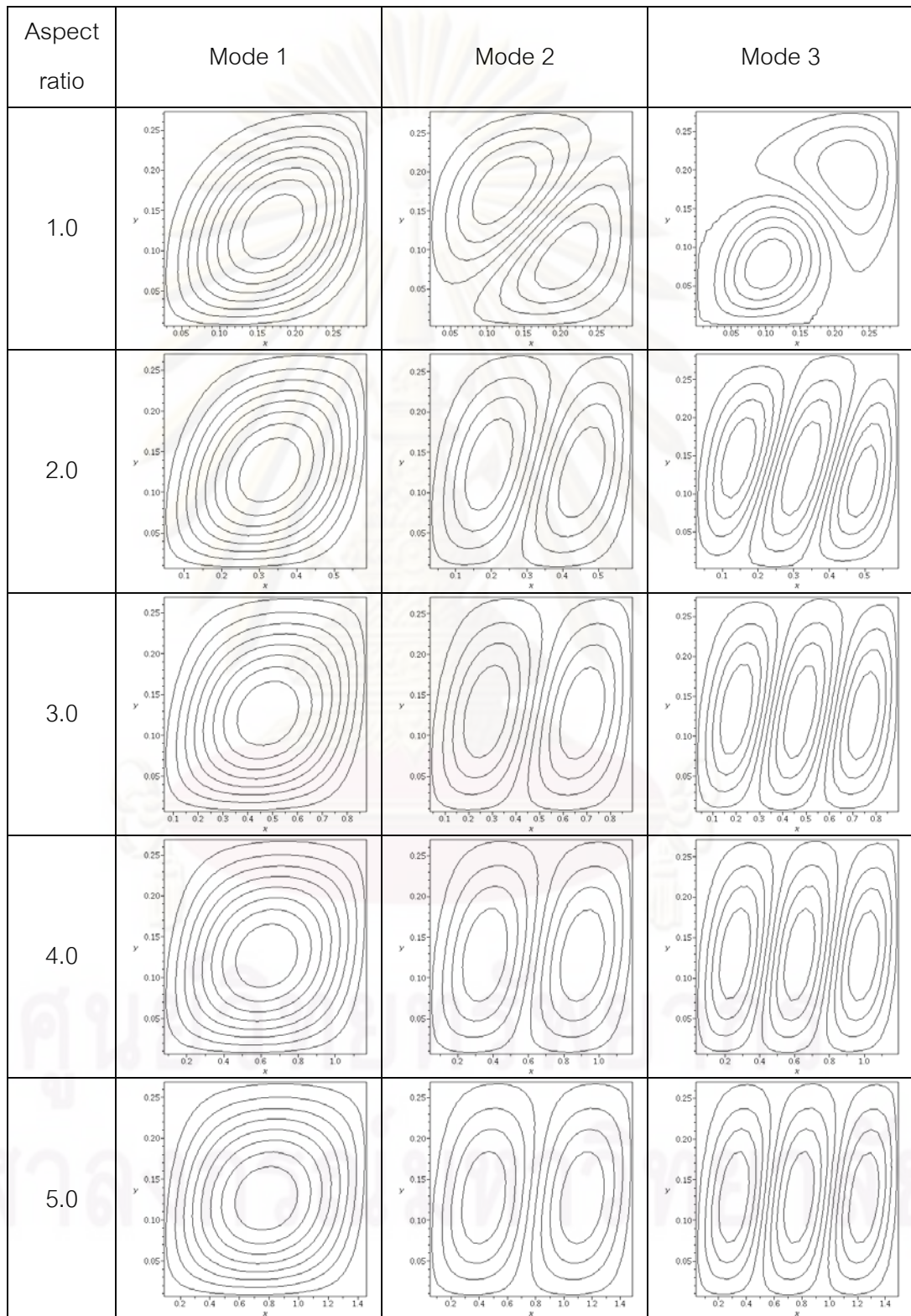
ตารางที่ 7-11 รูปร่างโหมดการสั่นสะเทือนของแผ่นคอมโพสิตที่ขนาดสัดส่วนของชิ้นงานต่าง ๆ กัน ที่ขอบเขตการจับยึดแบบ CCCC ลำดับชั้นการวางตัวของเส้นใยแบบ [45]<sub>0</sub>



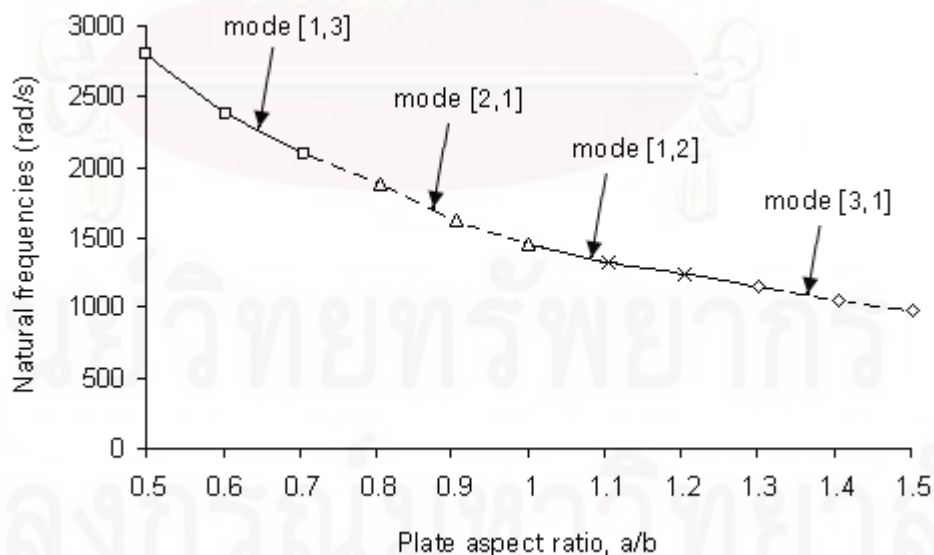
ตารางที่ 7-12 รูปร่างโหมดการสั่นสะเทือนของแผ่นคอมโพสิตที่ขนาดสัดส่วนของชิ้นงานต่าง ๆ กัน  
ที่ขอบเขตการจับยึดแบบ CSSC ลำดับชั้นการวางตัวของเส้นใยแบบ  $[0/90]_{2S}$



ตารางที่ 7-13 รูปร่างโหมดการสั่นสะเทือนของแผ่นคอมโพสิตที่ขนาดสัดส่วนของชิ้นงานต่าง ๆ กัน  
ที่ขอบเขตการจับยึดแบบ CSSC ลำดับชั้นการวางตัวของเส้นใยแบบ [45]<sub>0</sub>



จากตารางที่ 7-9 พบว่าค่าความถี่ธรรมชาติของแผ่นคอมโพสิตภายใต้ขอบเขตการจับยึดและลำดับชั้นการวางตัวของเส้นใยทั้งสองแบบมีค่าลดลงเสมอเมื่อขนาดสัดส่วนของชิ้นงานเพิ่มขึ้นโดยความกว้างของชิ้นงานมีค่าคงที่ จากลักษณะของรูปร่างโหมดการสั่นสะเทือนของแผ่นคอมโพสิตตามกรณีการศึกษาที่แสดงในตารางที่ 7-10 ถึง 7-13 พบว่า รูปร่างการสั่นสะเทือนในโหมดแรกไม่เปลี่ยนแปลงตามขนาดสัดส่วนของชิ้นงานที่เพิ่มขึ้น แต่สำหรับรูปร่างการสั่นสะเทือนในโหมดที่สูงขึ้นคือ ในโหมดที่สองและโหมดที่สามจะมีแนวโน้มการเปลี่ยนแปลงรูปร่างโหมดเมื่อขนาดสัดส่วนของชิ้นงานเพิ่มขึ้น ดังเช่นรูปร่างการสั่นสะเทือนในโหมดที่สองของชิ้นงานที่มีขนาดสัดส่วนเท่ากับ 1.0 จะมีโหมดการสั่นสะเทือนแบบ [1,2] และเมื่อเพิ่มขนาดสัดส่วนเป็น 2.0 ถึง 5.0 โหมดการสั่นสะเทือนจะเปลี่ยนเป็นแบบ [2,1] ซึ่งมีลักษณะคล้ายกับรูปร่างการสั่นสะเทือนในโหมดที่สามคือ สำหรับชิ้นงานที่มีขนาดสัดส่วนเท่ากับ 1.0 มีโหมดการสั่นสะเทือนแบบ [2,1] แต่เมื่อเพิ่มขนาดสัดส่วนเป็น 2.0 ถึง 5.0 โหมดการสั่นสะเทือนจะเปลี่ยนเป็น [3,1] โดยพฤติกรรมการเปลี่ยนแปลงรูปร่างของโหมดการสั่นสะเทือนและค่าความถี่ธรรมชาติของแผ่นคอมโพสิตในโหมดที่สองและโหมดที่สามนี้ สามารถอธิบายได้จากความสัมพันธ์ของค่าความถี่ธรรมชาติที่ขนาดสัดส่วนของชิ้นงานต่าง ๆ กัน ดังแสดงในรูปที่ 7.2 ซึ่งเป็นกราฟแสดงค่าความถี่ธรรมชาติที่การสั่นสะเทือนโหมดสามของแผ่นคอมโพสิตที่ลำดับชั้นการวางตัวของเส้นใยแบบ [45]<sub>0</sub> ภายใต้เงื่อนไขขอบเขตการจับยึดแบบ CCCC โดยพล็อตที่ขนาดสัดส่วนของชิ้นงานตั้งแต่ 0.5 ถึง 1.5



รูปที่ 7.2 ค่าความถี่ธรรมชาติและรูปร่างการสั่นสะเทือนโหมดสามที่ขนาดสัดส่วนของชิ้นงานต่าง ๆ กัน ของขอบเขตการจับยึดแบบ CCCC ที่การวางตัวของเส้นใยแบบ [45]<sub>0</sub>

จากรูปที่ 7.2 แสดงให้เห็นว่ามีการเปลี่ยนแปลงโหมดการสั่นสะเทือนตามขนาดสัดส่วนของชิ้นงานที่เพิ่มขึ้น โดยการเพิ่มขนาดสัดส่วนของชิ้นงานตั้งแต่ 0.5 ถึง 1.5 มีการเปลี่ยนแปลงรูปร่างโหมดการสั่นสะเทือนทั้งหมดสี่แบบ คือ ขนาดสัดส่วนของชิ้นงานเท่ากับ 0.5 ถึง 0.7 ได้โหมดการสั่นสะเทือนแบบ [1,3] ขนาดสัดส่วนของชิ้นงานมีค่าระหว่าง 0.7 ถึง 1.0 จะได้โหมดการสั่นสะเทือนเปลี่ยนจาก [1,3] เป็น [2,1] ต่อมาเมื่อขนาดสัดส่วนของชิ้นงานมีค่าระหว่าง 1.0 ถึง 1.3 จะได้โหมดการสั่นสะเทือนเปลี่ยนจาก [2,1] เป็น [1,2] และเมื่อขนาดสัดส่วนของชิ้นงานมีค่าระหว่าง 1.3 ถึง 1.5 จะได้โหมดการสั่นสะเทือนเปลี่ยนจาก [1,2] เป็น [3,1] ซึ่งสอดคล้องกับผลในตารางที่ 7-9 และสอดคล้องกับรูปร่างการสั่นสะเทือนในโหมดที่สามในตารางที่ 7-11

### 7.5.3 ผลขององศาการวางตัวของเส้นใยต่อพฤติกรรมการสั่นสะเทือนของแผ่นคอมโพสิต

หัวข้อนี้นำเสนอการศึกษาพฤติกรรมการสั่นสะเทือน ค่าความถี่ธรรมชาติและรูปร่างโหมดการสั่นสะเทือนของแผ่นคอมโพสิตที่ลำดับชั้นการวางตัวของเส้นใยแตกต่างกัน โดยพิจารณาแผ่นคอมโพสิตที่มีลำดับชั้นการวางตัวของเส้นใยแบบ  $[\theta]_8$  โดยมุม  $\theta$  แตกต่างกัน 7 มุม คือ เริ่มจาก  $\theta = 0^\circ$  ถึง  $90^\circ$  โดยเพิ่มทีละ  $15^\circ$  และขนาดสัดส่วนของชิ้นงานที่ศึกษาเท่ากับหนึ่ง พิจารณาชิ้นงานภายใต้เงื่อนไขขอบเขตการจับยึดสามแบบคือ CCCF, SCSC และ CSSC โดยศึกษาพฤติกรรมการสั่นสะเทือนสามโหมดแรกและใช้จำนวนพจน์ในฟังก์ชันการคำนวณเท่ากับ 3 พจน์ ตารางที่ 7-14 แสดงค่าความถี่ธรรมชาติที่อยู่ในหน่วย rad/s เนื่องจากการวางตัวของเส้นใยที่แตกต่างกันทั้ง 7 มุม ส่วนรูปร่างโหมดการสั่นสะเทือนแบบเส้นรูปร่างที่เกิดขึ้นจากการวางตัวของเส้นใยที่แตกต่างกันทั้ง 7 มุมภายใต้เงื่อนไขขอบเขตการจับยึดแบบ CCCF, SCSC และ CSSC แสดงในตารางที่ 7-15 ถึง 7-17 ตามลำดับ

ศูนย์วิทยทรัพยากร

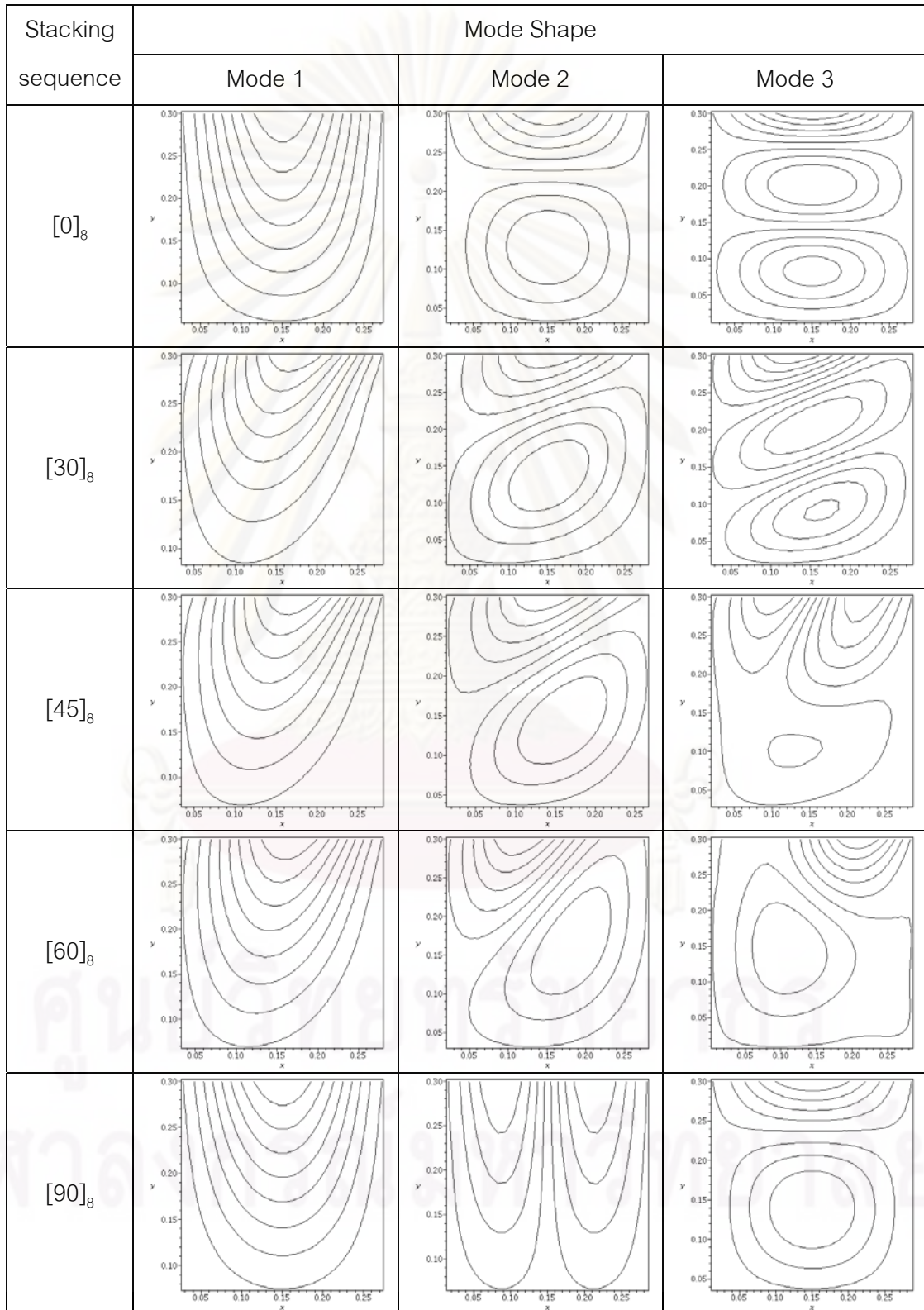
จุฬาลงกรณ์มหาวิทยาลัย

ตารางที่ 7-14 ค่าความถี่ธรรมชาติ (rad/s) ของแผ่นคอมโพสิตที่มีการวางตัวของเส้นใยแบบ  $[\theta]_8$  สำหรับชิ้นงานที่มีขนาดสัดส่วนเท่ากับหนึ่ง

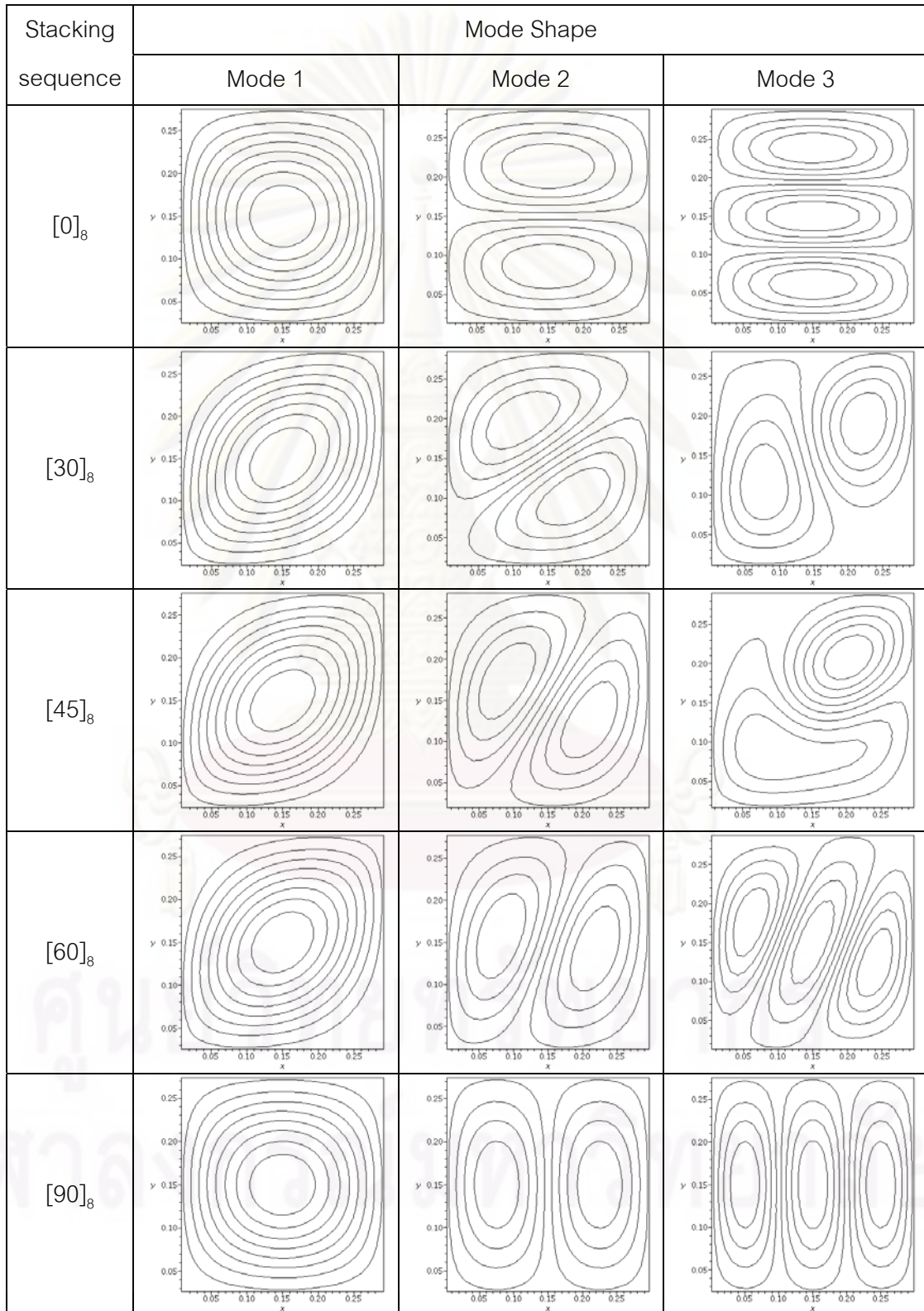
Mode	BC.	Stacking sequence						
		$[0]_8$	$[15]_8$	$[30]_8$	$[45]_8$	$[60]_8$	$[75]_8$	$[90]_8$
1	CCCF	682.32	617.41	481.59	360.24	284.81	248.59	238.55
	SCSC	386.67	392.22	426.27	500.39	592.43	669.06	698.82
	CSSC	509.96	498.00	475.68	465.48	475.68	498.00	509.96
2	CCCF	746.99	716.34	668.61	641.00	623.92	587.67	569.69
	SCSC	678.54	715.45	804.24	833.13	826.90	820.34	816.78
	CSSC	705.70	730.82	796.94	845.45	796.94	730.82	705.70
3	CCCF	953.01	965.12	1002.17	970.48	780.32	731.66	739.41
	SCSC	1170.43	1203.24	1148.70	1275.34	1246.43	1163.30	1120.54
	CSSC	1111.36	1163.53	1256.66	1218.48	1256.66	1163.53	1111.36



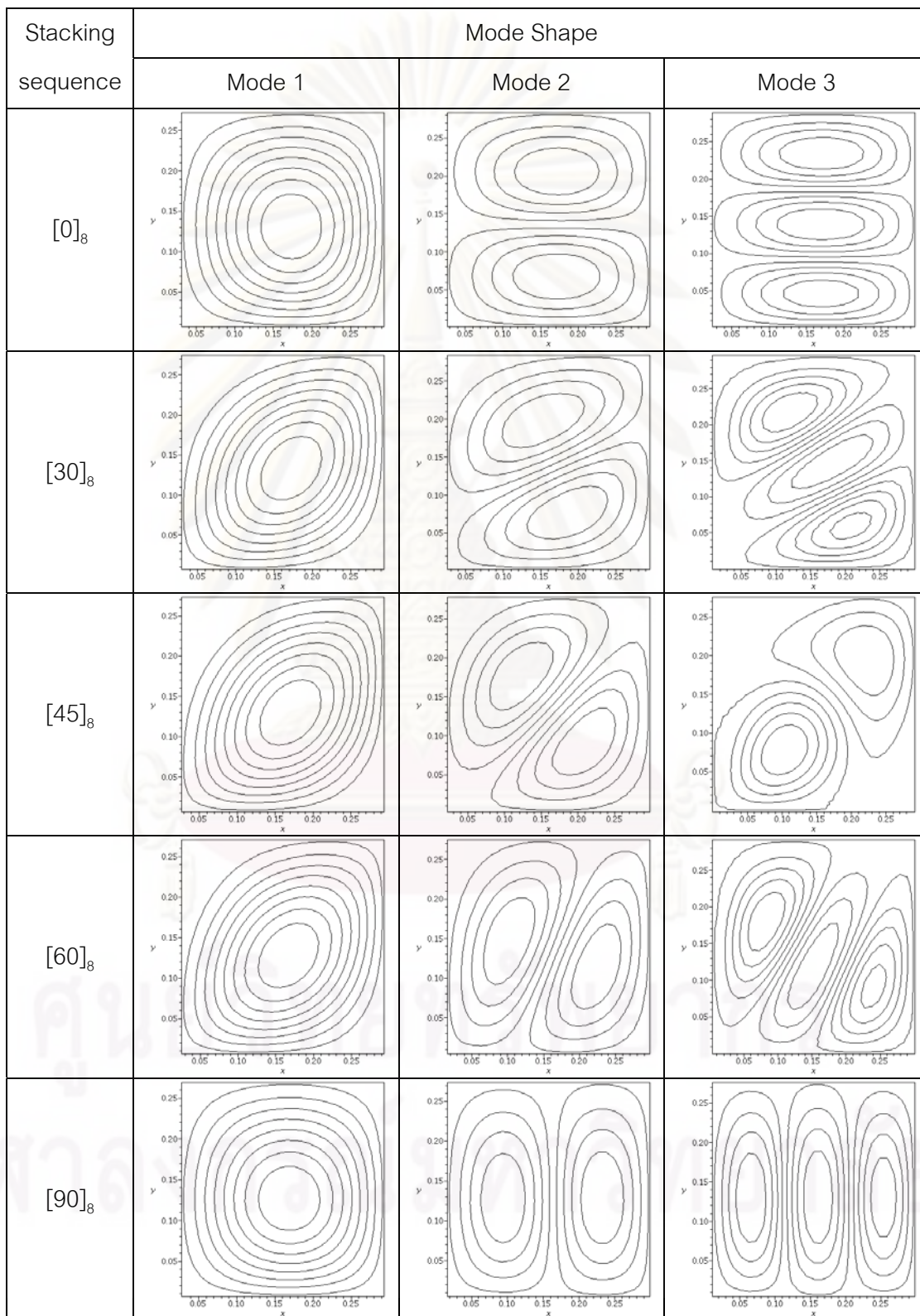
ตารางที่ 7-15 รูปร่างโหมดการสั่นสะท้อนของแผ่นคอมโพสิต กรณียกขอบเขตการจับยึดแบบ CCCF ที่การวางตัวของเส้นใยแบบต่าง ๆ



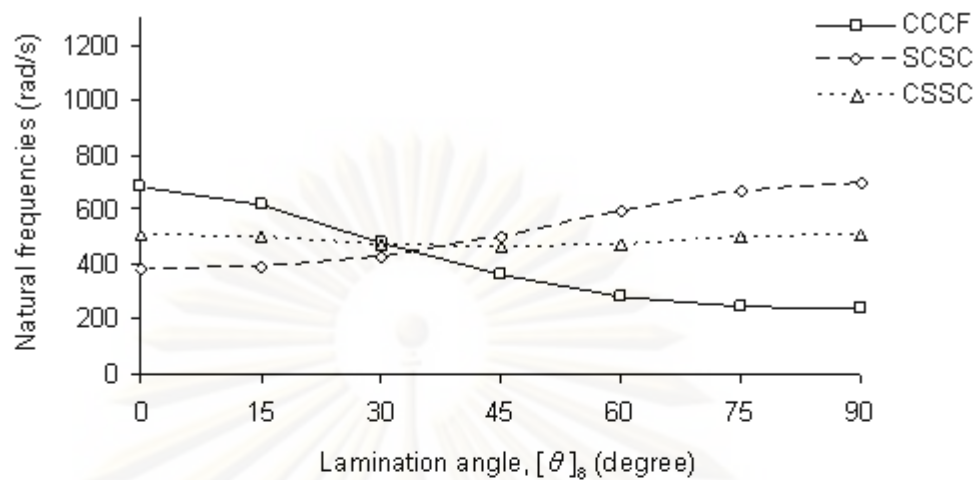
ตารางที่ 7-16 รูปร่างโหมดการสั่นสะท้อนของแผ่นคอมโพสิต กรณีสอบเขตการจับยึดแบบ SCSC ที่การวางตัวของเส้นใยแบบต่าง ๆ



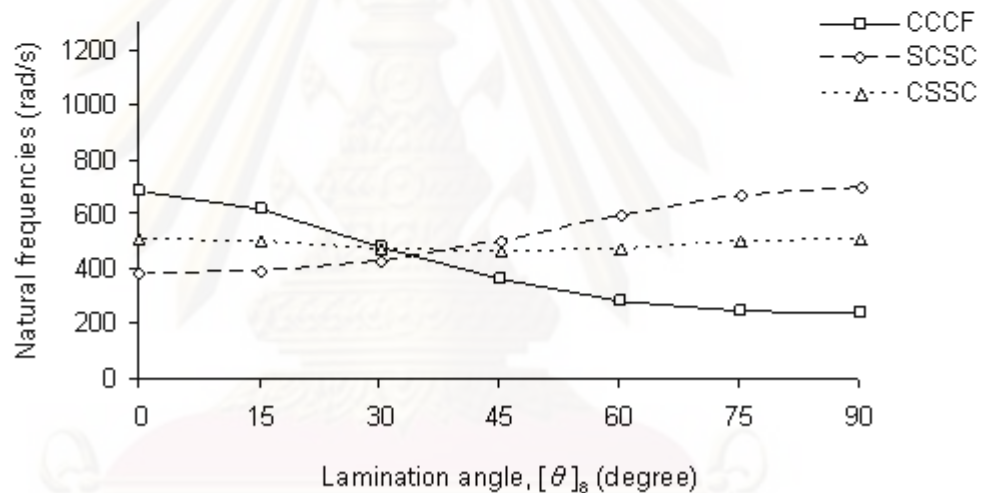
ตารางที่ 7-17 รูปร่างโหมดการสั่นสะเทือนของแผ่นคอมโพสิต กรณียกขอบเขตการจับยึดแบบ CSSC ที่การวางตัวของเส้นใยแบบต่าง ๆ



จากรูปร่างโหมดการสั่นสะเทือนที่แสดงในตารางที่ 7-15 ถึง 7-17 พบว่า จำนวนโหมดของรูปร่างการสั่นสะเทือนที่โหมดต่ำ ๆ จะไม่เปลี่ยนแปลงตามองศาการวางตัวของเส้นใยที่เพิ่มขึ้น เช่น ที่การสั่นสะเทือนโหมดแรกจะมีรูปร่างโหมดการสั่นสะเทือนแบบ [1,1] เสมอ ทุกองศาการวางตัวของเส้นใย และการสั่นสะเทือนที่โหมดสองก็มีรูปร่างการสั่นสะเทือนแบบ [1,2] หรือ [2,1] เท่านั้น แต่สำหรับการสั่นสะเทือนที่โหมดสาม รูปร่างโหมดการสั่นสะเทือนจะมีจำนวนโหมดเปลี่ยนแปลงตามองศาการวางตัวของเส้นใย เช่น กรณีขอบเขตการจับยึดแบบ SCSC ที่มุม  $\theta = 0^\circ$  มีรูปร่างโหมดการสั่นสะเทือนแบบ [1,3] เมื่อมุม  $\theta = 30^\circ$  รูปร่างโหมดการสั่นสะเทือนเปลี่ยนเป็น [2,1] ต่อมาที่มุม  $\theta = 45^\circ$  รูปร่างโหมดการสั่นสะเทือนเปลี่ยนจาก [2,1] เป็น [1,2] และที่มุม  $\theta = 60^\circ$  และ  $\theta = 90^\circ$  รูปร่างโหมดการสั่นสะเทือนเปลี่ยนเป็น [3,1] รูปที่ 7.3 แสดงการนำค่าความถี่ธรรมชาติจากการสั่นสะเทือนโหมดแรกและโหมดสองในตารางที่ 7-14 มาพล็อตเพื่อแสดงความสัมพันธ์กับมุมการวางตัวของเส้นใย ซึ่งพบว่าค่าความถี่ธรรมชาติของแผ่นคอมโพสิตในกรณีการศึกษาที่จำนวนโหมดการสั่นสะเทือนไม่เปลี่ยนแปลงตามองศาการวางตัวของเส้นใยจะมีรูปแบบความสัมพันธ์กับองศาการวางตัวของเส้นใยคือ การสั่นสะเทือนโหมดแรกและโหมดที่สองที่กรณีการจับยึดแบบ CCCF ค่าความถี่ธรรมชาติที่มุม  $\theta = 0^\circ$  จะมีค่าสูงสุดและมีค่าต่ำลงเมื่อเพิ่มมุมการวางตัวของเส้นใยขึ้น จนถึงมุม  $\theta = 90^\circ$  สำหรับกรณีการจับยึดแบบ SCSC ค่าความถี่ธรรมชาติที่มุม  $\theta = 0^\circ$  จะมีค่าต่ำสุดและมีค่าสูงขึ้นเมื่อเพิ่มมุมการวางตัวของเส้นใยขึ้น จนถึงมุม  $\theta = 90^\circ$  และกรณีการจับยึดแบบ CSSC ค่าความถี่ธรรมชาติที่มุม  $\theta = 0^\circ$  จะมีค่าสูงสุดและมีค่าต่ำลงเมื่อเพิ่มมุมการวางตัวของเส้นใยขึ้น โดยมีค่าต่ำสุดที่มุม  $\theta = 45^\circ$  เมื่อมุมการวางตัวของเส้นใยในช่วงมุม  $45^\circ < \theta < 90^\circ$  ค่าความถี่ธรรมชาติจะมีค่าเพิ่มขึ้นและมีค่าสูงสุดที่มุม  $\theta = 90^\circ$  ซึ่งมีค่าเท่ากับมุมการวางตัวของเส้นใยที่  $\theta = 0^\circ$  ส่วนการสั่นสะเทือนโหมดที่สามพบว่าความสัมพันธ์ของค่าความถี่ธรรมชาติของแผ่นคอมโพสิตกับมุมการวางตัวของเส้นใยของการจับยึดทั้งสามกรณี ไม่มีรูปแบบความสัมพันธ์ที่ชัดเจนเหมือนโหมดการสั่นสะเทือนสองโหมดแรก ดังนั้นจะเห็นได้ว่า สำหรับโหมดการสั่นสะเทือนต่ำ ๆ ค่าความถี่ธรรมชาติจะเปลี่ยนตามองศาการวางตัวของเส้นใย โดยการเปลี่ยนแปลงดังกล่าวจะมีลักษณะอย่างไรขึ้นอยู่กับเงื่อนไขขอบเขตการจับยึดด้วย



(a) Mode 1



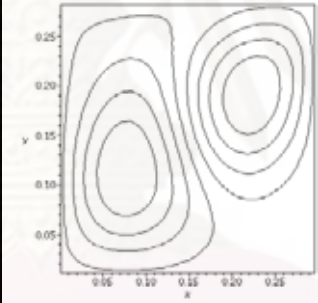
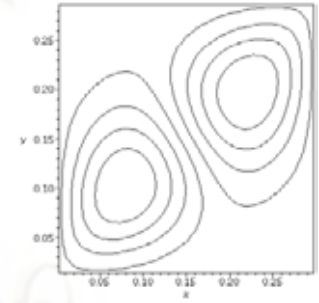
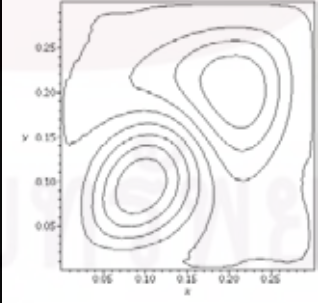
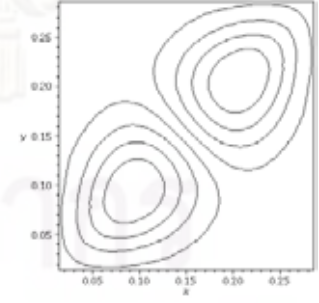
(b) Mode 2

รูปที่ 7.3 กราฟความสัมพันธ์ระหว่างค่าความถี่ธรรมชาติกับมุมการวางตัวของเส้นใยของโหมดการสั่นสะเทือนสองโหมดแรก ที่ขอบเขตการจับยึดแบบ CCCF, SCSC และ CSSC

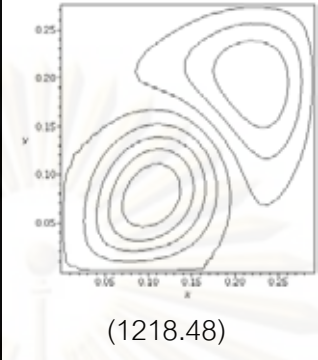
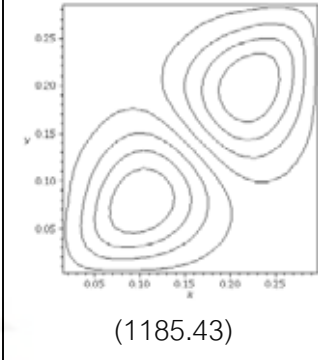
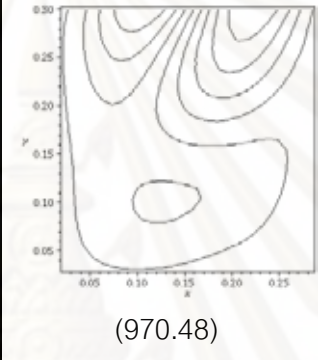
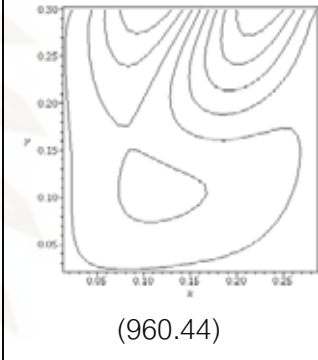
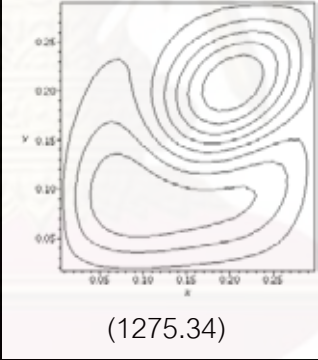
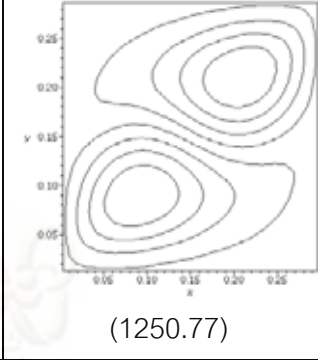
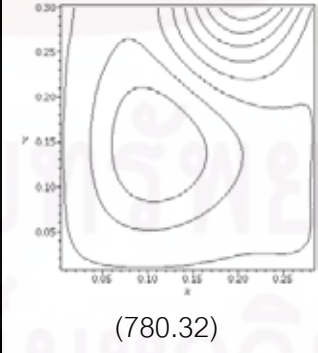
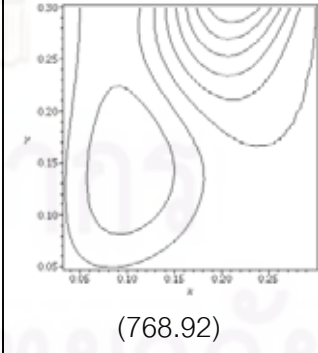
จากการศึกษาผลของขนาดสัดส่วนของชิ้นงานและองศาการวางตัวของเส้นใยต่อพฤติกรรมการสั่นสะเทือนของแผ่นคอมโพสิต ในหัวข้อที่ 7.5.2 และ 7.5.3 พบว่า มีรูปร่างโหมดการสั่นสะเทือนของแผ่นคอมโพสิตบางโหมดที่ค่าความถี่ธรรมชาติยังแตกต่างจากค่าที่ได้จากการคำนวณโดยระเบียบวิธีและรูปร่างโหมดการสั่นสะเทือนมีลักษณะไม่สมมาตรกรณีเหล่านั้น ได้แก่ การสั่นสะเทือนที่โหมดสามสำหรับชิ้นงานที่มีขนาดสัดส่วนเท่ากับหนึ่งมีลำดับชั้นการวางตัวของเส้นใยแบบ  $[45]_8$  ในกรณีขอบเขตการจับยึดแบบ CCCF, CSSC, CCCF และ SCSC ลำดับชั้นการวางตัวของเส้นใยแบบ  $[60]_8$  ในกรณีขอบเขตการจับยึดแบบ CCCF และลำดับชั้นการ

วางตัวของเส้นใยแบบ  $[30]_8$  ในกรณีขอบเขตการจับยึดแบบ SCSC การคำนวณหารูปปร่างโหมดการสั่นสะเทือนของแผ่นคอมโพสิตดังกล่าวใช้จำนวนพจน์ในการใช้สมมุติค่าฟังก์ชันเริ่มต้นเท่ากับ 3 พจน์ และจำนวนสัมประสิทธิ์ของฟังก์ชันเริ่มต้นเท่ากับ 200 ตัว ซึ่งน่าจะมีค่าน้อยเกินไปทำให้ได้คำตอบที่ยังไม่ลู่เข้าสู่คำตอบที่ถูกต้อง จึงทำการคำนวณใหม่โดยใช้จำนวนพจน์ของฟังก์ชันเริ่มต้นเท่ากับ 5 พจน์ และจำนวนสัมประสิทธิ์ของฟังก์ชันเริ่มต้นเท่ากับ 300 ตัว ตารางที่ 7-18 แสดงค่าความถี่ธรรมชาติที่อยู่ในหน่วย rad/s และรูปร่างโหมดการสั่นสะเทือนของจำนวนพจน์ในการใช้สมมุติค่าฟังก์ชันเริ่มต้นและจำนวนสัมประสิทธิ์ของฟังก์ชันเริ่มต้นเดิมและจำนวนใหม่

ตารางที่ 7-18 ค่าความถี่ธรรมชาติ (rad/s) และรูปร่างโหมดการสั่นสะเทือนของแผ่นคอมโพสิตจากการใช้จำนวนพจน์ในการสมมุติค่าฟังก์ชันเริ่มต้นเท่ากับ 3 และ 5 พจน์

Stacking sequence	Boundary condition	N=3	N=5
		Mode shape ( $\omega$ )	Mode shape ( $\omega$ )
$[30]_8$	SCSC	 (1148.70)	 (1126.50)
$[45]_8$	CCCC	 (1441.15)	 (1415.63)

ตารางที่ 7-18 (ต่อ)

[45] <sub>8</sub>	CSSC	 (1218.48)	 (1185.43)
	CCCF	 (970.48)	 (960.44)
	SCSC	 (1275.34)	 (1250.77)
[60] <sub>8</sub>	CCCF	 (780.32)	 (768.92)

จากตารางที่ 7-18 พบว่า รูปร่างใหม่ดการสันสะเทือนที่ได้จากการเพิ่มจำนวนพจน์ในการ สมมุติค่าฟังก์ชันเริ่มต้นเท่ากับ 5 พจน์ มีรูปร่างที่สอดคล้องกับเงื่อนไขขอบเขตการจับยึดมากกว่า การสมมุติค่าฟังก์ชันเริ่มต้นเท่ากับ 3 พจน์ และได้ค่าความถี่ธรรมชาติที่มีค่าลู่เข้าสู่ค่าตอบ มากกว่า สอดคล้องกับข้อสรุปในหัวข้อที่ 7.5.1 ดังนั้นจะเห็นได้ว่าระเบียบวิธีแคนโทโรวิชนี้สามารถ ใช้ในการแก้ปัญหาการสันสะเทือนของโครงสร้างแผ่นบางได้อย่างมีประสิทธิภาพ สำหรับชิ้นงานที่เป็นวัสดุไอโซโทรปิกหรือวัสดุคอมโพสิตที่มีลำดับชั้นการวางตัวของชิ้นงานแบบ cross-ply การใช้ จำนวนพจน์ในฟังก์ชันการเคลื่อนที่เพียงหนึ่งพจน์ก็เพียงพอที่จะได้คำตอบที่ลู่เข้า ส่วนกรณีชิ้นงาน เป็นแผ่นคอมโพสิตที่มีลำดับชั้นการวางตัวของชิ้นงานแบบ angle-ply จะต้องใช้จำนวนพจน์ใน ฟังก์ชันเริ่มต้นมากขึ้น โดยเฉพาะอย่างยิ่งสำหรับโหมดการสันสะเทือนสูง ๆ

ในบทนี้ได้ศึกษาผลของจำนวนพจน์ที่เพิ่มขึ้นในการใช้สมมุติค่าฟังก์ชันเริ่มต้นสำหรับ ปัญหาการสันสะเทือนของแผ่นคอมโพสิต ศึกษาจำนวนสัมประสิทธิ์ของฟังก์ชันเริ่มต้นที่ใช้ใน ระเบียบวิธีแคนโทโรวิชที่ทำให้ผลเฉลยมีค่าลู่เข้า ศึกษาผลของค่า  $D_{16}$  และ  $D_{26}$  ต่อพฤติกรรม การสันสะเทือน และศึกษาผลของขนาดสัดส่วนของชิ้นงานและองศาการวางตัวของเส้นใยต่อ พฤติกรรม การสันสะเทือนของแผ่นคอมโพสิต ซึ่งจากการศึกษาในแต่ละหัวข้อทำให้เห็น ความสัมพันธ์ระหว่างการแก้ปัญหาการโก่งงอและการสันสะเทือนของแผ่นคอมโพสิตบางด้วย ระเบียบวิธีแคนโทโรวิช และทราบถึงข้อจำกัดในการประยุกต์ใช้ระเบียบวิธีแคนโทโรวิชในการ แก้ปัญหาการสันสะเทือนของแผ่นคอมโพสิตบาง



## บทที่ 8

### บทสรุป

#### 8.1 บทสรุป

ปัจจุบันวัสดุคอมโพสิตถูกนำมาใช้กันอย่างกว้างขวางสำหรับโครงสร้างในงานทางวิศวกรรมเพราะมีน้ำหนักเบาและมีคุณสมบัติทางกลที่เหมาะสมในการออกแบบ ดังนั้นจึงมีการศึกษาพฤติกรรมการโก่งงอและการสั่นสะเทือนของแผ่นคอมโพสิตกันอย่างแพร่หลายในสองทศวรรษที่ผ่านมา การโก่งงอและการสั่นสะเทือนเป็นพฤติกรรมของโครงสร้างที่ต้องคำนึงถึงในขบวนการออกแบบเนื่องจากเป็นพฤติกรรมที่อาจทำให้โครงสร้างไม่สามารถอยู่ในสภาวะเสถียรและส่งผลทำให้โครงสร้างโดยรวมเกิดความเสียหายได้ การหาค่าภาระโก่งงอและค่าความถี่ธรรมชาติของแผ่นคอมโพสิตบางอาจทำได้โดยวิธีการวิเคราะห์ วิธีการทดลอง หรือวิธีเชิงตัวเลข ซึ่งแต่ละวิธีก็มีข้อได้เปรียบและข้อจำกัดแตกต่างกันออกไป วิธีการเชิงตัวเลขเป็นวิธีที่ได้รับการยอมรับและใช้อย่างกว้างขวางในปัจจุบันเนื่องจากสามารถประมาณค่าภาระการโก่งงอและค่าความถี่ธรรมชาติของแผ่นคอมโพสิตที่ไม่มีผลเฉลยแม่นยำตรงได้ ซึ่งแต่ละระเบียบวิธีในวิธีเชิงตัวเลขสามารถประมาณค่าภาระการโก่งงอและค่าความถี่ธรรมชาติได้ค่าแม่นยำมากน้อยแตกต่างกันไปเมื่อเปรียบเทียบกับผลการศึกษาในอดีต ความคลาดเคลื่อนของคำตอบสาเหตุหนึ่งอาจเกิดจากการกำหนดฟังก์ชันเริ่มต้นในระเบียบวิธีที่ต้องใช้ฟังก์ชันเริ่มต้นในการคำนวณไม่สอดคล้องกับเงื่อนไขขอบเขตการจับยึดของชิ้นงานที่ศึกษา ด้วยเหตุนี้การศึกษาในวิทยานิพนธ์นี้จึงเลือกใช้ระเบียบวิธีแคนโทโรวิชในการประมาณค่าภาระการโก่งงอและค่าความถี่ธรรมชาติของแผ่นคอมโพสิต เนื่องจากในการสมมติค่าฟังก์ชันเริ่มต้นสำหรับการคำนวณครั้งแรกของระเบียบวิธีแคนโทโรวิชไม่จำเป็นต้องสอดคล้องกับเงื่อนไขขอบเขตการจับยึด รวมทั้งผลเฉลยที่ได้ก็ถือเป็นผลเฉลยแม่นยำได้เนื่องจากเป็นการแก้ปัญหาจากสมการครอบคลุมโดยตรง โดยสมการครอบคลุมที่ใช้ในการวิเคราะห์ปัญหาการโก่งงอและการสั่นสะเทือนของแผ่นคอมโพสิตเป็นสมการเชิงอนุพันธ์ย่อยที่อยู่ในรูปของพลังงานศักย์รวม หลักการของระเบียบวิธีแคนโทโรวิชคือลดรูปสมการครอบคลุมจากสมการเชิงอนุพันธ์ย่อยเป็นสมการเชิงอนุพันธ์สามัญและสมการเงื่อนไขขอบเขตการจับยึดแบบต่าง ๆ โดยสมมติให้ทราบฟังก์ชันในทิศทางใดทิศทางหนึ่งแล้วใช้หลักการแปรผันของพลังงานศักย์รวมต่ำสุด สุดท้ายรูปแบบของการแก้ปัญหาจะอยู่ในรูปแบบของปัญหาค่าเจาะจงซึ่งในการคำนวณจะต้องอาศัยการทำซ้ำเพื่อให้ค่าเจาะจงที่มีค่าลู่เข้า

จากงานวิจัยในอดีตที่เกี่ยวข้องกับการแก้ปัญหาค่าการโก่งงอและการสันตะเทียนของแผ่นคอมโพสิตบางด้วยระเบียบวิธีแคนโทโรวิชพบว่า ในส่วนของปัญหาค่าการโก่งงอมีผู้ศึกษาโดยใช้จำนวนพจน์ที่ใช้สมมุติค่าฟังก์ชันเริ่มต้นในระเบียบวิธีแคนโทโรวิชเท่ากับหรือมากกว่า 1 พจน์ โดยได้ศึกษาผลของการเพิ่มจำนวนพจน์ที่ใช้สมมุติค่าฟังก์ชันเริ่มต้นต่อค่าการโก่งงอ แต่ในส่วนของปัญหาค่าการสันตะเทียนมีการศึกษาโดยใช้จำนวนพจน์ที่ใช้สมมุติค่าฟังก์ชันเริ่มต้นเท่ากับ 1 พจน์ และคุณสมบัติทางกลของโครงสร้างแผ่นบางที่ศึกษาเป็นวัสดุแบบไอโซโทรปิกและอורתโรทอปิกเท่านั้น ดังนั้นในวิทยานิพนธ์นี้จึงเน้นการศึกษาปัญหาค่าการสันตะเทียนของแผ่นคอมโพสิตด้วยระเบียบวิธีแคนโทโรวิชโดยใช้จำนวนพจน์ที่ใช้สมมุติค่าฟังก์ชันเริ่มต้นมากกว่า 1 พจน์ โดยหัวข้อที่จะศึกษา ได้แก่ ศึกษาผลของจำนวนพจน์ที่เพิ่มขึ้นในการใช้สมมุติค่าฟังก์ชันเริ่มต้นสำหรับปัญหาค่าการสันตะเทียนของแผ่นคอมโพสิต ศึกษาจำนวนสัมประสิทธิ์ของฟังก์ชันเริ่มต้นที่ใช้ในระเบียบวิธีแคนโทโรวิชที่เหมาะสมในการแก้ปัญหา ศึกษาผลของขนาดสัดส่วนของชิ้นงานและองศาการวางตัวของเส้นใยต่อพฤติกรรมค่าการสันตะเทียนของแผ่นคอมโพสิต และเนื่องจากขั้นตอนในการหาค่าการโก่งงอและรูปร่างโหมดการโก่งงอมีลักษณะเหมือนกับขั้นตอนการหาค่าความถี่ธรรมชาติและรูปร่างการสันตะเทียนที่โหมดแรกของปัญหาค่าการสันตะเทียน ดังนั้นในส่วนแรกได้ศึกษาการแก้ปัญหาค่าการโก่งงอของแผ่นคอมโพสิต โดยศึกษาผลของการเพิ่มจำนวนพจน์ที่ใช้สมมุติค่าฟังก์ชันเริ่มต้นต่อค่าการโก่งงอและรูปร่างโหมดการโก่งงอ คือนำผลที่ได้จากโปรแกรมคอมพิวเตอร์ที่ประดิษฐ์ขึ้นไปเปรียบเทียบกับผลการศึกษาที่ได้จากการแก้ปัญหาค่าการโก่งงอด้วยระเบียบวิธีแคนโทโรวิชเหมือนกันและจากการศึกษาอื่น ๆ

จากผลการศึกษาในส่วนแรกพบว่าค่าการโก่งงอและรูปร่างโหมดการโก่งงอของแผ่นคอมโพสิตที่ได้จากโปรแกรมคอมพิวเตอร์ที่ประดิษฐ์ขึ้นมีค่าเท่ากันทุกกรณีศึกษาเมื่อเทียบกับการแก้ปัญหาค่าการโก่งงอด้วยระเบียบวิธีแคนโทโรวิชเหมือนกัน ส่วนกรณีเปรียบเทียบค่าการโก่งงอกับการแก้ปัญหาค่าการโก่งงอด้วยระเบียบวิธีอื่น พบว่าในกรณีแผ่นคอมโพสิตที่มีการวางตัวของเส้นใยแบบ cross-ply การใช้จำนวนพจน์ที่ใช้สมมุติค่าฟังก์ชันเริ่มต้นเท่ากับ 1 และ 2 พจน์ จะได้ค่าการโก่งงอไม่แตกต่างกันมากนัก และเมื่อใช้จำนวนพจน์ที่ใช้สมมุติค่าฟังก์ชันเริ่มต้นเท่ากับ 2 พจน์ ก็ทำให้ค่าการโก่งงอมีค่าสูงเข้าและมีค่าใกล้เคียงกับผลการศึกษาที่นำมาเปรียบเทียบ ดังนั้นจะได้ว่าในกรณีแผ่นคอมโพสิตที่มีลำดับชั้นการวางตัวของเส้นใยแบบ cross-ply การใช้จำนวนพจน์ที่ใช้สมมุติค่าฟังก์ชันเริ่มต้นเท่ากับ 1 หรือ 2 พจน์ ก็ให้ค่าการโก่งงอและรูปร่างโหมดการโก่งงอที่มีความถูกต้องแล้ว ส่วนกรณีการวางตัวของเส้นใยแบบ angle-ply การใช้จำนวนพจน์ที่ใช้สมมุติค่าฟังก์ชันเริ่มต้นเพียง 1 พจน์ ยังไม่สามารถให้ค่าการโก่งงอและรูปร่างโหมดการโก่ง

งที่นำเชื่อถือได้ เนื่องจากค่าภาระการโก่งงอที่ได้มีความคลาดเคลื่อนค่อนข้างมากเมื่อเทียบกับผลการศึกษาที่นำมาเปรียบเทียบ การใช้จำนวนพจน์ที่ใช้สมมุติค่าฟังก์ชันเริ่มต้นมากขึ้นจะทำให้ค่าภาระการโก่งงอมีค่าลู่เข้ามากยิ่งขึ้นและทำให้รูปร่างโหมดการโก่งงอมีความสมเหตุสมผลมากขึ้นด้วย ผลการศึกษาการเพิ่มจำนวนพจน์ที่ใช้สมมุติค่าฟังก์ชันเริ่มต้นต่อค่าภาระการโก่งงอนี้สอดคล้องกับการศึกษาของ Shufrin และคณะ [11]

ส่วนการศึกษาพฤติกรรมการสั่นสะเทือนของแผ่นคอมโพสิตเริ่มจากการตรวจโปรแกรมคอมพิวเตอร์ที่ใช้แก้ปัญหาการสั่นสะเทือน โดยหาค่าความถี่ธรรมชาติของแผ่นบางรูปสี่เหลี่ยมจัตุรัสที่มีคุณสมบัติเป็นไอโซโทรปิกโดยใช้จำนวนพจน์ที่ใช้สมมุติค่าฟังก์ชันเริ่มต้นตั้งแต่ 1 ถึง 4 พจน์ เทียบกับค่าผลการศึกษามีในอดีตของ Leissa [12] พบว่าค่าความถี่ธรรมชาติที่ได้จากโปรแกรมคอมพิวเตอร์มีค่าเท่ากันตั้งแต่การใช้จำนวนพจน์ที่ใช้สมมุติค่าฟังก์ชันเริ่มต้นตั้งแต่ 1 พจน์ขึ้นไปทุกโหมดที่ศึกษาและมีค่าใกล้เคียงกับผลการศึกษาในอดีต โดยค่าความถี่ธรรมชาติที่แตกต่างกันมากที่สุดมีค่าเพียง 0.007 เปอร์เซ็นต์เท่านั้น ดังนั้นโปรแกรมคอมพิวเตอร์ที่ได้สามารถหาค่าความถี่ธรรมชาติของโครงสร้างแผ่นบางที่มีคุณสมบัติเป็นไอโซโทรปิกได้อย่างน่าเชื่อถือจากนั้นนำไปโปรแกรมที่ได้ไปศึกษาผลของการเพิ่มจำนวนพจน์ที่ใช้สมมุติค่าฟังก์ชันเริ่มต้นต่อค่าความถี่ธรรมชาติโครงสร้างแผ่นบาง โดยแผ่นบางที่ศึกษามีขอบเขตการจับยึดแบบ CCCC, CCSS และ SCSF และสำหรับแต่ละขอบเขตการจับยึดได้ศึกษาชิ้นงานรูปสี่เหลี่ยมจัตุรัสที่มีคุณสมบัติทางกลของวัสดุเป็นไอโซโทรปิกและคอมโพสิต ในส่วนของแผ่นคอมโพสิตศึกษากรณีลำดับชั้นการวางตัวของเส้นใยทั้งแบบ cross-ply และแบบ angle-ply จากผลการศึกษาพบว่าค่าความถี่ธรรมชาติสำหรับกรณีแผ่นบางที่มีคุณสมบัติเป็นไอโซโทรปิกและแผ่นคอมโพสิตที่มีลำดับชั้นการวางตัวของเส้นใยแบบ cross-ply จะมีค่าลู่เข้าสู่ค่าตอบตั้งแต่การใช้จำนวนพจน์ที่ใช้สมมุติค่าฟังก์ชันเริ่มต้นเท่ากับ 1 หรือ 2 พจน์เท่านั้น ส่วนในกรณีที่แผ่นคอมโพสิตที่มีการวางตัวของเส้นใยแบบ angle-ply จะต้องใช้จำนวนพจน์ที่ใช้สมมุติค่าฟังก์ชันเริ่มต้นเพื่อลู่เข้าสู่ค่าตอบมากกว่า ซึ่งมีลักษณะเช่นเดียวกับผลของการเพิ่มจำนวนพจน์ที่ใช้สมมุติค่าฟังก์ชันเริ่มต้นต่อค่าภาระการโก่งงอในปัญหาการโก่งงอของโครงสร้างแผ่นบาง

ในหัวข้อต่อมาศึกษาจำนวนสัมประสิทธิ์ของฟังก์ชันเริ่มต้นที่ทำให้ค่าเจาะจงมีค่าลู่เข้าของแผ่นคอมโพสิตบางที่มีขอบเขตการจับยึดเดียวกับการศึกษาจำนวนพจน์ที่ใช้สมมุติค่าฟังก์ชันเริ่มต้นโดยได้เพิ่มกรณีขอบเขตการจับยึดแบบ SSSS ด้วย แผ่นคอมโพสิตที่ศึกษามีลำดับชั้นการวางตัวของเส้นใยสองแบบคือ การวางตัวของเส้นใยแบบ cross-ply และแบบ angle-ply โดยศึกษาที่ขนาดสัดส่วนของชิ้นงานแตกต่างกันทั้งหมดสี่ขนาดสัดส่วนคือ 0.5 1.0 1.5 และ 2.0 ผล

การศึกษาพบว่า กรณีแผ่นคอมโพสิตที่มีลำดับชั้นการวางตัวของเส้นใยแบบ angle-ply จะมีแนวโน้มการใช้จำนวนสัมประสิทธิ์ของฟังก์ชันเริ่มต้นเพื่อให้ค่าเจาะจงมีค่าลู่เข้ามากกว่าในกรณีที่มีลำดับชั้นการวางตัวของเส้นใยแบบ cross-ply และในศึกษานี้พบว่าเมื่อใช้จำนวนพจน์ที่ใช้สมมุติค่าฟังก์ชันเริ่มต้นเพิ่มขึ้นจะต้องการจำนวนสัมประสิทธิ์ของฟังก์ชันเริ่มต้นมากขึ้นด้วย โดยการศึกษาจำนวนพจน์ที่ใช้สมมุติค่าฟังก์ชันเริ่มต้นและจำนวนสัมประสิทธิ์ของฟังก์ชันเริ่มต้นสำหรับปัญหาการสั่นสะเทือนนี้เป็นการพิจารณาที่การสั่นสะเทือนโหมดแรก จากการศึกษาทั้งสองหัวข้อดังกล่าวสามารถสรุปได้ว่ากรณีแผ่นบางที่ค่า  $D_{16}$  และ  $D_{26}$  ไม่เท่ากับศูนย์ ต้องการจำนวนพจน์ที่ใช้สมมุติค่าฟังก์ชันเริ่มต้นเพื่อการลู่เข้าสู่คำตอบและจำนวนสัมประสิทธิ์ของฟังก์ชันเริ่มต้น เพื่อให้ค่าเจาะจงมีค่าลู่เข้ามากกว่ากรณีของแผ่นบางที่ค่า  $D_{16}$  และ  $D_{26}$  เท่ากับศูนย์

การศึกษาในลำดับสุดท้ายแบ่งการศึกษาออกเป็นสามส่วนคือ ส่วนแรกศึกษาผลของค่า  $D_{16}$  และ  $D_{26}$  ของโครงสร้างแผ่นบางต่อพฤติกรรมการสั่นสะเทือนที่โหมดสูงขึ้น ในศึกษานี้ได้ศึกษาพฤติกรรมการสั่นสะเทือนห้าโหมดแรกของโครงสร้างแผ่นบางรูปสี่เหลี่ยมจัตุรัสที่มีคุณสมบัติเป็นแบบไอโซโทรปิกและแบบคอมโพสิต ภายใต้ขอบเขตการจับยึดแบบ CCCF, SCSC และ CSSC ในกรณีแผ่นคอมโพสิตศึกษาชั้นงานที่มีลำดับชั้นการวางตัวของเส้นใยแตกต่างกันสามแบบคือ  $[0/90]_{2S}$ ,  $[\pm 45]_{2S}$  และ  $[45]_8$  ซึ่งค่า  $D_{16}$  และ  $D_{26}$  ของการวางตัวจะมีค่าเรียงจากน้อยไปมากตามลำดับ แล้วนำค่าที่ได้ไปเปรียบเทียบกับค่าความถี่ธรรมชาติที่คำนวณด้วยระเบียบวิธีวิวิธวิธี ผลการศึกษาพบว่า สำหรับโครงสร้างแผ่นบางที่มีค่า  $D_{16}$  และ  $D_{26}$  สูงการหาค่าความถี่ธรรมชาติและรูปร่างโหมดการสั่นสะเทือนด้วยระเบียบวิธีแคนโทโรวิชที่โหมดการสั่นสะเทือนสูง ๆ ทำได้ยากขึ้น ส่วนที่สองศึกษาผลของการเพิ่มขนาดสัดส่วนของชั้นงานต่อพฤติกรรมการสั่นสะเทือนโดยศึกษาพฤติกรรมการสั่นสะเทือนสามโหมดแรก พบว่าค่าความถี่ธรรมชาติของแผ่นคอมโพสิตมีค่าลดลงเสมอเมื่อขนาดสัดส่วนของชั้นงานเพิ่มขึ้น ส่วนรูปร่างโหมดการสั่นสะเทือนพบว่าที่การสั่นสะเทือนโหมดแรกไม่มีการเปลี่ยนแปลงตามขนาดสัดส่วนของชั้นงานที่เพิ่มขึ้นเมื่อความกว้างของชั้นงานเท่ากัน แต่สำหรับรูปร่างการสั่นสะเทือนในโหมดที่สูงขึ้นจะมีแนวโน้มการเปลี่ยนแปลงรูปร่างโหมดเมื่อขนาดสัดส่วนของชั้นงานเพิ่มขึ้น และส่วนสุดท้ายศึกษาผลขององศาการวางตัวของเส้นใยจะศึกษาแผ่นคอมโพสิตที่การสั่นสะเทือนสามโหมดแรกโดยพิจารณาชั้นงานที่มีลำดับชั้นการวางตัวของเส้นใยแบบ  $[\theta]_8$  โดยมุม  $\theta$  แตกต่างกัน 7 มุม คือเริ่มจาก  $\theta = 0^\circ$  ถึง  $90^\circ$  โดยเพิ่มทีละ  $15^\circ$  จากการศึกษาพบว่า ที่โหมดการสั่นสะเทือนต่ำ ๆ ค่าความถี่ธรรมชาติกับมุมการวางตัวของเส้นใยจะมีรูปแบบความสัมพันธ์ที่ชัดเจนกว่าที่โหมดการสั่นสะเทือนสูงขึ้น

เนื่องจากจำนวนโหนดของรูปร่างการสันสะเทือนที่โหนดต่ำ ๆ จะไม่เปลี่ยนแปลงตามองศาการวางตัวของเส้นใยที่เพิ่มขึ้น

การศึกษาพฤติกรรมการโก่งงอและการสันสะเทือนของแผ่นคอมโพสิตบางแบบสมมาตรที่มีการวางตัวของเส้นใยในมุมใด ๆ ภายใต้เงื่อนไขขอบเขตการจับยึดชิ้นงานผสมกันระหว่างการจับยึดแบบง่าย แบบยึดแน่น หรือแบบอิสระ โดยวิธีเชิงตัวเลขด้วยระเบียบวิธีแคนโทโรวิช มีข้อได้เปรียบกว่าระเบียบวิธีอื่นคือ ผลเฉลยที่ได้ถือเป็นผลเฉลยแม่นยำตรงเพราะเป็นแก้ปัญหาจากสมการครอบคลุมโดยตรง และในการสมมุติค่าฟังก์ชันเริ่มต้นสำหรับการคำนวณครั้งแรกก็ไม่จำเป็นต้องสอดคล้องกับเงื่อนไขขอบเขตการจับยึดเนื่องจากในการหาผลเฉลยต้องอาศัยกระบวนการการทำซ้ำ แต่เนื่องจากในการหาผลเฉลยของระเบียบวิธีนี้ต้องอาศัยกระบวนการการคำนวณซ้ำ จึงทำให้การหาค่าเจาะจงของแต่ละรอบการคำนวณจะต้องพิจารณาค่าที่ต้องการให้ผู้เข้าเท่านั้น ดังนั้นข้อด้อยของระเบียบวิธีนี้ก็คือ ถ้าในรอบใดรอบหนึ่งในการคำนวณเลือกค่าเจาะจงที่เป็นค่าที่ไม่ผู้เข้าสู่คำตอบ ก็ต้องใช้จำนวนรอบการคำนวณเพิ่มขึ้นจึงจะได้ค่าเจาะจงที่ผู้เข้าสู่ผลลัพธ์ที่ต้องการทำให้ใช้เวลาในการคำนวณมากขึ้นหรืออาจทำให้หาค่าตอบที่ต้องการไม่ได้เลย สำหรับข้อจำกัดของระเบียบวิธีนี้คือ ในการคำนวณหาค่าความถี่ธรรมชาติและรูปร่างการสันสะเทือนที่โหนดสูง ๆ ของโครงสร้างแผ่นบางที่มีค่า  $D_{16}$  และ  $D_{26}$  สูงจะทำได้ยาก เพราะรูปร่างการสันสะเทือนที่โหนดสูง ๆ จะมีความซับซ้อนเพิ่มขึ้น และมีผลของค่า  $D_{16}$  และ  $D_{26}$  ต่อฟังก์ชันการเคลื่อนที่นอกกระนาบมากขึ้น ทำให้ต้องการจำนวนพจน์ที่ใช้สมมุติค่าฟังก์ชันการเคลื่อนที่นอกกระนาบมากขึ้นด้วย ซึ่งส่งผลให้จำนวนสมการทางคณิตศาสตร์ที่ใช้ในการแก้ปัญหาเพิ่มขึ้นและมีความซับซ้อนมากตามไปด้วย ข้อแนะนำสำหรับการใช้ระเบียบวิธีแคนโทโรวิชในการแก้ปัญหาอื่น ๆ คือ ควรศึกษาจำนวนพจน์ที่ใช้สมมุติค่าฟังก์ชันเริ่มต้นและจำนวนสัมประสิทธิ์ของฟังก์ชันเริ่มต้นให้ได้จำนวนเหมาะสมกับปัญหาที่กำลังศึกษา

## 8.2 ประโยชน์ที่ได้รับและข้อเสนอแนะสำหรับงานวิจัยในอนาคต

ประโยชน์ข้อแรกจากการนำเสนอวิทยานิพนธ์นี้คือ เข้าใจพฤติกรรมการโก่งงอและรูปร่างโหนดการโก่งงอของแผ่นคอมโพสิตบางแบบสมมาตรที่มีการวางตัวของเส้นใยในมุมใด ๆ และเข้าใจพฤติกรรมการสันสะเทือน ลักษณะของรูปร่างโหนดการสันสะเทือนของแผ่นคอมโพสิตบางแบบสมมาตรที่มีการวางตัวของเส้นใยในมุมใด ๆ ภายใต้เงื่อนไขขอบเขตการจับยึดชิ้นงานผสมกันระหว่างการจับยึดแบบง่าย แบบยึดแน่น หรือแบบอิสระ รวมทั้งทราบถึงผลของค่า  $D_{16}$  และ  $D_{26}$

ต่อพฤติกรรมการสันสะเทือน ผลของขนาดสัดส่วนของชิ้นงานและองศาการวางตัวของเส้นใยของแผ่นคอมโพสิตว่ามีต่อพฤติกรรมการสันสะเทือนของแผ่นคอมโพสิตบางอย่างไร

ส่วนประโยชน์ข้อถัดมาคือเข้าใจถึงผลของการเพิ่มจำนวนพจน์ที่ใช้สมมุติค่าฟังก์ชันเริ่มต้นและจำนวนสัมประสิทธิ์ของฟังก์ชันเริ่มต้นที่ใช้ในระเบียบวิธีแคนโทโรวิชต่อปัญหาการโก่งงอและปัญหาการสันสะเทือนของแผ่นคอมโพสิต และทราบข้อได้เปรียบ ข้อด้อย ข้อจำกัดของระเบียบวิธีแคนโทโรวิช รวมทั้งข้อแนะนำในการใช้ระเบียบวิธีนี้ในการแก้ปัญหาค่าอื่น ๆ ส่วนประโยชน์ข้อสุดท้ายคือ ได้โปรแกรมคอมพิวเตอร์เพื่อใช้ในการแก้ปัญหาค่าอื่น ๆ และการสันสะเทือนของโครงสร้างแผ่นบาง

งานวิจัยในอนาคตที่น่าจะทำต่อจากวิทยานิพนธ์นี้คือ ศึกษาวิธีการสำหรับการแก้ปัญหาค่าเจาะจงที่มีความซับซ้อนมาก ๆ เพื่อที่จะสามารถคำนวณหาค่าความถี่ธรรมชาติและรูปร่างการสันสะเทือนที่โหมดสูง ๆ ของโครงสร้างที่มีค่า  $D_{16}$  และ  $D_{26}$  สูงให้มีความน่าเชื่อถือมากขึ้น งานวิจัยในอนาคตที่น่าสนใจอีกส่วนหนึ่งเป็นการประยุกต์ใช้ระเบียบวิธีแคนโทโรวิชในการแก้ปัญหาค่าอื่น ๆ เช่น ปัญหาการดัดของแผ่นบางหรือศึกษาพฤติกรรมการโก่งงอหรือการสันสะเทือนของชิ้นงานที่เป็นแผ่นหนา

ศูนย์วิทยทรัพยากร

จุฬาลงกรณ์มหาวิทยาลัย

## รายการอ้างอิง

- [1] Iyengar, N.G.R. Structural Stability of Columns and Plates. The United Kingdom : JOHN WILEY & SONS, 1988.
- [2] Gibson, R.F. Principles of Composite Material Mechanics. Singapore : McGraw-Hill, 1994.
- [3] Chai, G.B., and Hoon K.H. Buckling of generally laminated composite plates with various edges support conditions. Composite Structures 29 (1994) : 299-310.
- [4] Ashton, J.E., and Love, T.S. Experimental study of the stability of composite plates. Journal of Composite Material 3 (1969) 230-242.
- [5] Tuttle, M., Singhatanadgid, P., and Hinds, G. Buckling of Composite Panels Subject to Biaxial Loading. Experiment Mechanics 39 (1999) : 191-201.
- [6] Darvizeh, M., Darvizeh, A., Ansari, R., and Sharma, C.B. Buckling analysis of generally laminated composite plates (generalized differential quadrature rules versus Rayleigh-Ritz method). Composite Structures 63 (2004) : 69-74.
- [7] Kerr, A.D. An extended Kantorovich method for solution of eigenvalue problem. International Journal of Solids and Structures 5 (1969) : 559-572.
- [8] Yuan, S., and Jin, Y. Computation of elastic buckling loads of rectangular thin plates using the extended Kantorovich method. Composite Structures 66 (1998) : 861-867.
- [9] Ungbhakorn, V., and Singhatanadgid, P. Buckling analysis of symmetrically laminated composite plates by the extended Kantorovich method. Composite Structures 73 (2006) : 120-128.
- [10] Reddy, J.N. Theory and analysis of elastic plates. Philadelphia, PA : Taylor & Francis, 1999.

- [11] Shufrin, I., Rabinovitch, O., and Eisenberger, M. Buckling of symmetrically laminated rectangular plates with general boundary conditions-A semi analytical approach. Composite Structures 82 (2008) : 521-531.
- [12] Leissa, A.W. Vibration of Plates. The United States of America : Office of Technology Utilization National Aeronautics and Space Administration, 1969.
- [13] Gorman, D.J. Free Vibration Analysis of Rectangular Plates. The United States of America : Elsevier, 1982.
- [14] Aydogdo, M., and Timarci, T. Free Vibration of Antisymmetric Angle-Ply Laminated Thin Square Composite Plates. Trakya University : Turkey, 2007.
- [15] Messinan, A., and Soldatos, K.P. Vibration of completely Free Composite Plates and Cylindrical Shell Panels by a Higher Order Theory. International Journal of Mechanical Sciences 41 (1999) : 891-918.
- [16] Bercin, A.N. Free vibration solution for clamped orthotropic plates using the Kantorovich method. Journal of Sound and Vibration 196 (1996) : 243-247.
- [17] Gorman, D.J. Accurate free vibration analysis of clamped orthotropic rectangular plates with clamped and simply supported edges. Journal of Sound and Vibration 140 (1990) : 391-411.
- [18] Marangoni, R.D. Upper and lower bounds to the natural frequencies of vibration of clamped rectangular orthotropic plates. International Journal of Solids and Structures 14 (1978) : 611-623.
- [19] Chang, D.C., Wang, G., and Wereley, N.M. A Generalized Kantorovich Method and its Application to Free In-Plane Plate Vibration Problem. Applicable Analysis 80 (2001) : 493-523.
- [20] Farag, N.H., and Pan, J. Modal characteristics of in-plane vibration of rectangular plates. Journal of the Acoustical Society of America 105 (1999) : 3295-3309.
- [21] Whitney, J.M. Structural Analysis of Laminated Anisotropic Plate. Technomic Publishing : Lancaster, 1987.

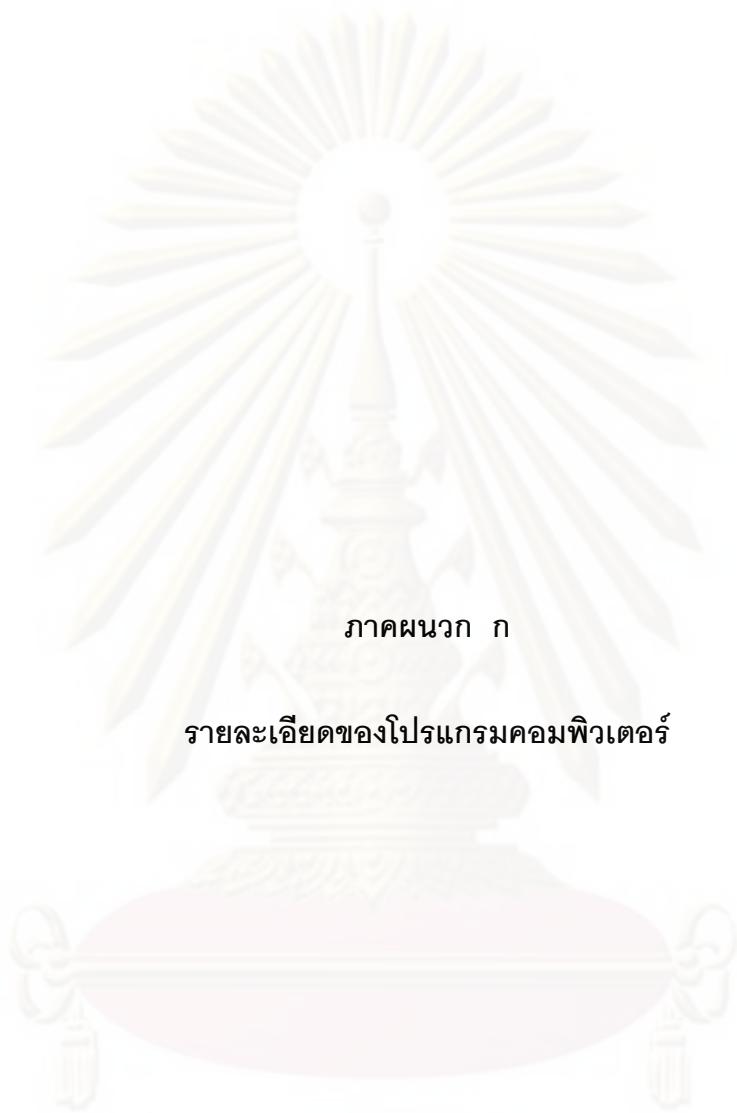


- [22] Chen, X.L., Liu, G.R., and Lim, S.P. An element free Galerkin method for the free vibration analysis of composite laminates of complicated shape. Composite Structures 59 (2003) : 279-289.
- [23] Turvey, G.J, and Marshall, I.H. Buckling and Postbuckling of Composite Plates. Chapman & Hall : London, 1995.
- [24] Herakovich, C.T. Mechanics of fibrous composites. John Wiley & Sons, Inc : New York, 1998.
- [25] Leissa, A.W. and Narita, Y. Vibration studies for simply supported symmetrically laminated regular plates. Composite Structures 12 (1989) : 113-132.
- [26] Chow, S.T., Liew, K.M., and Lam, K.Y. Transverse vibration of symmetrically laminated rectangular composite plates. Composite Structures 5 (1992) : 207-241.



ภาคผนวก

ศูนย์วิทยทรัพยากร  
จุฬาลงกรณ์มหาวิทยาลัย



ภาคผนวก ก

รายละเอียดของโปรแกรมคอมพิวเตอร์

ศูนย์วิทยทรัพยากร  
จุฬาลงกรณ์มหาวิทยาลัย

## ภาคผนวก ก

### รายละเอียดโปรแกรมคอมพิวเตอร์

ภาคผนวก ก แสดงรายละเอียดและคำอธิบายของโปรแกรมคอมพิวเตอร์ที่ประดิษฐ์ขึ้น เพื่อช่วยคำนวณทางคณิตศาสตร์สำหรับการแก้ปัญหาในวิทยานิพนธ์นี้ แบ่งภาคการคำนวณ ออกเป็นสามส่วน ได้แก่

ภาคผนวก ก.1 แสดงรายละเอียดของโปรแกรมคอมพิวเตอร์ที่ประดิษฐ์ขึ้นสำหรับ แก้ปัญหาการโค้งงอของแผ่นคอมโพสิต

ภาคผนวก ก.2 แสดงรายละเอียดของโปรแกรมคอมพิวเตอร์ที่ประดิษฐ์ขึ้นสำหรับ แก้ปัญหาการสันสะท้อนของแผ่นคอมโพสิต

ภาคผนวก ก.3 แสดงโปรแกรมย่อยที่ใช้ในภาคผนวก ก.1 และภาคผนวก ก.2

โดยโปรแกรมคอมพิวเตอร์ที่ประดิษฐ์ขึ้นทั้งแก้ปัญหาการโค้งงอและสันสะท้อนของแผ่นคอมโพสิต จะแบ่งโปรแกรมสำหรับการคำนวณออกเป็นสองด้านคือด้านที่กำหนดฟังก์ชัน  $Y_i(y)$  และด้านที่กำหนดฟังก์ชัน  $X_i(x)$  เป็นตัวทราบค่าเริ่มต้น ดังแสดงตามแผนผังในรูปที่ 5.1 โดยการแก้ปัญหาทั้งสองด้านจะเริ่มจากหาค่าเมตริกซ์ทราบค่าจากฟังก์ชันเริ่มต้นที่ทราบค่า จากนั้นนำเมตริกซ์ทราบค่าไปคำนวณหาสมการที่สอดคล้องกับเงื่อนไขขอบเขตการจับยึดของขอบที่ไม่ทราบฟังก์ชันเริ่มต้นโดยจัดรูปแบบสมการให้เป็นระบบสมการเชิงเส้น ในส่วนสุดท้ายจะแก้ปัญหาค่าเจาะจง โดยพล็อตกราฟหาค่าเจาะจงที่ทำให้พลังงานรวมมีค่าต่ำสุด แล้วนำค่าเจาะจงที่ได้ไปหาเวกเตอร์เจาะจง สำหรับใช้เป็นฟังก์ชันเริ่มต้นสำหรับการทำซ้ำในรอบต่อไป

หมายเหตุ: - ผลการคำนวณด้วยวิธีเชิงตัวเลขในบทที่ 5 6 และ 7 เป็นการคำนวณโดยใช้โปรแกรมที่ประดิษฐ์ขึ้นจากโปรแกรม Maple

- ข้อความที่แสดงไว้ระหว่างเครื่องหมาย # .. # เป็นข้อความที่ใช้อธิบายรายละเอียดของโปรแกรมเท่านั้นไม่มีผลต่อการคำนวณของโปรแกรม



```

## Boundary condition for study ##
>
> Boundary_X:=C_S:          # - satisfy boundary condition on edge's x - #
> Boundary_Y:=S_C:          # - satisfy boundary condition on edge's y - #
>
> save Boundary_X, "D:/Kantorovich/Vibration/Boundary/Boundary_X.txt":
> save Boundary_Y, "D:/Kantorovich/Vibration/Boundary/Boundary_Y.txt":
>
## Calculate ABD matrix ##
>
> N:=8:                      # Number of ply #
> phi:=vector([0,90,0,90,90,0,90,0]):      # Stacking sequence #
> theta:=0:                   # Angle of rotation #
> read "C:/ABD.txt":           # find ABD matrix #      # (subr.1)
>
> ## ----- PART 1 ----- ##
>
# --- Assume function Y(y) --- #
>
> YY[1]:=y^6:
>
## Calculate [S] Matrix ##
>
> read "D:/Kantorovich/CalculateMatrix/[S].txt":           # (subr.2)
>
## Calculate [A] Matrix ##
>
>
> # Defind Identity Matrix (N_term*N_term) #
> with(LinearAlgebra):IM:=IdentityMatrix(N_term):
>
> A1:=evalm( (2*a*D16/D11) * (S1_i&*(S3-S3_t)) ):
> A2:=evalm( ((a^2*D12/D11)*(S1_i&*(S2+S2_t))) -
((4*a^2*D66/D11)*(S1_i&S6_t)) ):
> A3:=evalm( (2*a^3*D26/D11) * (S1_i&*(S5-S5_t)) ):
> A4:=evalm( (a^4*D22/D11) * (S1_i&S4_t) ):
> A5:=-IM:
> A6:=evalm( -a * (S1_i&*(S3-S3_t)) ):
> A7:=evalm( a^2 * (S1_i&S6_t) ):
> A8:=evalm( (D11/a^2)*S1 ):
> A9:=evalm( (2*D16/a)*S3 ):
> A10:=evalm( D12*S2 ):
> A11:=evalm( (-D11/a^3)*S1 ):
> A12:=evalm( (-2*D16/a^2) * (S3-S3_t) ):
> A13:=evalm( ((4*D66/a)*S6_t) - ((D12/a)*S2) ):
> A14:=evalm( (D11/a^3)*S1 ):
> A15:=evalm( (2*D26)*S5_t ):
> A16:=evalm( (D11/a^2)*S3 ):
>
>

```

```

> ## ----- PART 2 ----- ##
>
## The recurrence formula ##
>
> AA[0]:=array(1..N_term,1..1):
> AA[1]:=array(1..N_term,1..1):
> AA[2]:=array(1..N_term,1..1):
> AA[3]:=array(1..N_term,1..1):
>
> for i from 1 to N_term do
>   AA[0][i,1]:=aa[i,0];
>   AA[1][i,1]:=aa[i,1];
>   AA[2][i,1]:=aa[i,2];
>   AA[3][i,1]:=aa[i,3];
> od:
>
> for i from 0 to i_term-4 do
>   AA[i+4]:=evalm(simplify(expand(-1*((A1&*AA[i+3]*(1/(i+4))))
> + (evalf((A2-lambda*beta[x]*A5)&*AA[i+2]*(1/(i+3)/(i+4))))
> + (evalf((A3-lambda*beta[xy]*A6)&*AA[i+1]*(1/(i+2)/(i+3)/(i+4))))
> + (evalf((A4-lambda*beta[y]*A7)&*AA[i]*(1/(i+1)/(i+2)/(i+3)/(i+4)))))));
> od:
>
> for i from 0 to i_term-4 do
>   AAA[i+4]:=evalm(simplify(AA[i+4]));
> od:
>
> AAA[0]:=array(1..N_term,1..1):
> AAA[1]:=array(1..N_term,1..1):
> AAA[2]:=array(1..N_term,1..1):
> AAA[3]:=array(1..N_term,1..1):
>
> for i from 1 to N_term do
>   AAA[0][i,1]:=aa[i,0];
>   AAA[1][i,1]:=aa[i,1];
>   AAA[2][i,1]:=aa[i,2];
>   AAA[3][i,1]:=aa[i,3];
> od:
## Calculate [X] Matrix ##
>
> read "D:/Kantorovich/CalculateMatrix/N_term=1/[X].txt": # (subr.3)
>
## Calculate diff [X] Matrix ##
>
> read "D:/Kantorovich/CalculateMatrix/diff[X].txt": # (subr.4)
>

```

```

## Natural Boundary condition ##
>
> My:=evalm((A8&*X_2x)+(A9&*X_1x)+(A10&*X)):
> Qy:=evalm((A11&*X_3x)+(A12&*X_2x)+((A13-(lambda*beta[x]*A14))&*X_1x)
+((A15-(lambda*beta[xy]*A16))&*X)):
>
## Boundary Condition for on edge's x ##
>
> read
"D:/Kantorovich/Boundary/N_term=1/Boundary_X.txt": # (subr.5)
>
> ## ----- PART 3 ----- ##
>
## Solve eigenvalue problem ##
>
> S:=array(1..4*N_term,1..4*N_term):
>   for i from 1 to 4*N_term do
>     for j from 1 to 4*N_term do
>       S[i,j]:=diff(BC[i],Ca[j-1]):
>     od:
>   od:
> with(linalg):
> aaaa:=evalf(det(S)):
>
>     ## determine eigenvalue ##
## satisfy total energy minimization ##
>
> plot(aaaa,lambda=80..150);
> read "C:/newton.txt":
result1:=Newton ([aaaa=0],[lambda=100],output={variables,functions});
>
> lambda:=subs(%,lambda);
> Nxx:=((beta[x]*lambda*D11)/a^2); # Buckling load (N/m^2) #
> non:=evalf(b^2/(D22*Pi^2)):
> Nondi_Buck:=Nxx*non; # Nondimension buckling load #
>
>     ## determine eigenvector ##
## consider from boundary condition's case study ##
>
> for z from 1 to 4*N_term do
>   eq[z]:=BC[z]=0:
> od:
>
> Ca[0]:=0; Ca[1]:=0; Ca[3]:=1;
> sols:=solve({eq[4]}):
>
> Ca[0]:=0;
> Ca[1]:=0;
> Ca[2]:=subs(sols,Ca[2]);
> Ca[3]:=1;
>

```



```

## find X(x) for calculate next iteration ##
>
> read "D:/Kantorovich/CalculateMatrix/find[X].txt":           # (subr.6)
>
> XX1a:=XX[1]:
>
> save XX1a,"D:/Kantorovich/Buckling/Function/N=1/SSSS/XX1_1.txt":
>
## Out-of-plane displacement ##
>
> w:=XX[1]*YY[1]:
>
## plot mode shape ##
>
> plot3d(w,x=0..a,y=0..b):
>
=====

```

ส่วนโปรแกรมที่สองแสดงการทำซ้ำในรอบที่สองโดยนำฟังก์ชันเริ่มต้น  $X_i(x)$  ที่ได้จากการทำซ้ำรอบแรกเป็นตัวหาค่าเริ่มต้น รายละเอียดของโปรแกรมมีดังนี้

```

=====

## Kantorovich Program ##

## Buckling of Symmetrically Laminated Plates ##
## using Extended Kantorovich Method ##

## Iteration No.2 known function X(x) ##

> restart;
> Digits:=100:
> N_term:=1:           # Number of N term #
> i_term:=150:        # Number of i term #
>
> Ny:=0:  Nxy:=0:  beta[x]:=1:  beta[y]:=0:  beta[xy]:=0:
>
## Input of all material properties ##
>
> ratio:=3:           # ratio is E1/E2 #
> E1:=131e9:          # Longitudanal modulus, GPa #
> E2:=E1/ratio:       # Transverse modulus, GPa #
> v12:=0.25:          # Poisson ratio #
> G12:=0.5*E2:        # Shear modulus, GPa #
> v21:=v12*E2/E1:    # Poisson ratio #

```

```

## Defind geometry of a plate ##
>
> aspect_ratio:=1.0:          # is a/b #
>
> a:=0.9:                    # Length of the plates, m #
> b:=a/aspect_ratio:         # Width of the plates, m #
> t:=0.000127:              # Ply thickness, m #
> h:=t*N:                   # thickness of the plates, m #
>
## Boundary condition for study ##
>
> Boundary_X:=C_S:          # - satisfy boundary condition on edge's x - #
> Boundary_Y:=S_C:          # - satisfy boundary condition on edge's y - #
>
> save Boundary_X, "D:/Kantorovich/Vibration/Boundary/Boundary_X.txt":
> save Boundary_Y, "D:/Kantorovich/Vibration/Boundary/Boundary_Y.txt":
>
## Calculate ABD matrix ##
>
> N:=8:                      # Number of ply #
> phi:=vector([0,90,0,90,90,0,90,0]):      # Stacking sequence #
> theta:=0:                  # Angle of rotation #
> read "C:/ABD.txt":         # find ABD matrix #      # (subr.1)
>
> ## ----- PART 1 ----- ##
>
# --- Read function X(x) from previous calculate --- #
>
> read "D:/Kantorovich/Buckling/Function/N=1/SSSS/XX1_1.txt":
>
> XX[1]:=XX1a:
>
## Calculate [R] Matrix ##
>
> read "D:/Kantorovich/CalculateMatrix/[R].txt":      # (subr.7)
>
## Calculate [B] Matrix ##
>
> # Defind Identity Matrix (N_term*N_term) #
> with(LinearAlgebra):IM:=IdentityMatrix(N_term):
>
> B1:=evalm( (2*b*D26/D22) * (R1_i&*(R3-R3_t)) ):
> B2:=evalm( ((b^2*D12/D22)*(R1_i&*(R2+R2_t))) -
((4*b^2*D66/D22)*(R1_i&R6_t)) ):
> B3:=evalm( (2*b^3*D16/D22) * (R1_i&*(R5-R5_t)) ):
> B4:=evalm( (b^4*D11/D22) * (R1_i&R4_t) ):
> B5:=-IM:
> B6:=evalm( -b * (R1_i&*(R3-R3_t)) ):
> B7:=evalm( b^2 * (R1_i&R6_t) ):
> B8:=evalm( (D22/b^2)*R1 ):

```

```

> B9:=evalm( (2*D26/b)*R3 ):
> B10:=evalm( D12*R2 ):
> B11:=evalm( (-D22/b^3)*R1 ):
> B12:=evalm( (-2*D26/b^2) * (R3-R3_t) ):
> B13:=evalm( ((4*D66/b)*R6_t) - ((D12/b)*R2) ):
> B14:=evalm( (D22/b^3)*R1 ):
> B15:=evalm( (2*D16)*R5_t ):
> B16:=evalm( (D22/b^2)*R3 ):
>
> ## ----- PART 2 ----- ##
>
## The recurrence formula ##
>
> BB[0]:=array(1..N_term,1..1):
> BB[1]:=array(1..N_term,1..1):
> BB[2]:=array(1..N_term,1..1):
> BB[3]:=array(1..N_term,1..1):
>
> for i from 1 to N_term do
>   BB[0][i,1]:=bb[i,0];
>   BB[1][i,1]:=bb[i,1];
>   BB[2][i,1]:=bb[i,2];
>   BB[3][i,1]:=bb[i,3];
> od:
>
> for i from 0 to i_term-4 do
>   BB[i+4]:=evalm(simplify(expand(-1*((B1*BB[i+3]*(1/(i+4)))
> + (evalf((B2-alpha*beta[y]*B5)&*BB[i+2]*(1/(i+3)/(i+4))))
> + (evalf((B3-alpha*beta[xy]*B6)&*BB[i+1]*(1/(i+2)/(i+3)/(i+4))))
> + (evalf((B4-alpha*beta[x]*B7)&*BB[i]*(1/(i+1)/(i+2)/(i+3)/(i+4)))))))));
> od:
>
> for i from 0 to i_term-4 do
>   BBB[i+4]:=evalm(simplify(BB[i+4]));
> od:
>
> BBB[0]:=array(1..N_term,1..1):
> BBB[1]:=array(1..N_term,1..1):
> BBB[2]:=array(1..N_term,1..1):
> BBB[3]:=array(1..N_term,1..1):
>
> for i from 1 to N_term do
>   BBB[0][i,1]:=bb[i,0];
>   BBB[1][i,1]:=bb[i,1];
>   BBB[2][i,1]:=bb[i,2];
>   BBB[3][i,1]:=bb[i,3];
> od:
>

```

```

## Calculate [Y] Matrix ##
>
> read "D:/Kantorovich/CalculateMatrix/N_term=1/[Y].txt":           # (subr.8)
>
## Calculate diff [Y] Matrix ##
>
> read "D:/Kantorovich/CalculateMatrix/diff[Y].txt":               # (subr.9)
>
## Natural Boundary condition ##
>
> Mx:=evalm((B8&*Y_2y)+(B9&*Y_1y)+(B10&*Y)):
> Qx:=evalm((B11&*Y_3y)+(B12&*Y_2y)+((B13-(alpha*beta[y]*B14))&*Y_1y)
+((B15-(alpha*beta[xy]*B16))&*Y)):
>
## Boundary Condition for on edge's y ##
>
> read
"D:/Kantorovich/Boundary/N_term=1/Boundary_Y.txt":                 # (subr.10)
>
> ## ----- PART 3 ----- ##
>
## Solve eigenvalue problem ##
>
> R:=array(1..4*N_term,1..4*N_term);
>   for i from 1 to 4*N_term do
>     for j from 1 to 4*N_term do
>       R[i,j]:=diff(BC[i],Cb[j-1]);
>     od:
>   od:
> with(linalg):
> bbbb:=evalf(det(R)):
>
>     ## determine eigenvalue ##
## satisfy total energy minimization ##
>
> plot(bbbb,alpha=50..180);
> read "C:/newton.txt":
result1:=Newton ([bbbb=0],[alpha=90],output={variables,functions});
>
> alpha:=subs(%,alpha);
> Nxx:=((beta[x]*alpha*D22)/b^2);           # Buckling load (N/m^2) #
> non:=evalf(b^2/(D22*Pi^2)):
> Nondi_Buck:=Nxx*non;                       # Nondimension buckling load #
>
>     ## determine eigenvector ##
## consider from boundary condition's case study ##
>
> for z from 1 to 4*N_term do
>   eq[z]:=BC[z]=0:
> od:
> Cb[0]:=0; Cb[3]:=1;

```

```
> sols:=solve({eq[3],eq[4]}):
>
> Cb[0]:=0;
> Cb[1]:=subs(sols,Cb[1]);
> Cb[2]:=subs(sols,Cb[2]);
> Cb[3]:=1;
>
## find Y(y) for calculate next iteration ##
>
> read "D:/Kantorovich/CalculateMatrix/find[Y].txt":          #(subr.11)
>
> YY1b:=YY[1]:
>
> save YY1b,"D:/Kantorovich/Buckling/Function/N=1/SSSS/YY1_1.txt":
>
## Out-of-plane displacement ##
>
> w:=XX[1]*YY[1]:
>
## plot mode shape ##
>
> plot3d(w,x=0..a,y=0..b):
>
=====
```

ศูนย์วิทยทรัพยากร  
จุฬาลงกรณ์มหาวิทยาลัย

## ก.2 โปรแกรมคอมพิวเตอร์สำหรับแก้ปัญหาคานสันสะท้อนของแผ่นคอมโพสิต

สำหรับโปรแกรมในภาคผนวก ก.2 นี้ เป็นโปรแกรมที่ประดิษฐ์ขึ้นสำหรับแก้ปัญหาคานสันสะท้อนของแผ่นคอมโพสิต โดยแสดงตัวอย่างการแก้ปัญหาดังหัวข้อที่ 5.3 ซึ่งแบ่งการคำนวณออกเป็นสองด้านเช่นเดียวกับกรณีการแก้ปัญหาคานโค้งงอ โปรแกรมแรกแสดงการทำซ้ำรอบแรก โดยกำหนดฟังก์ชัน  $Y_i(y)$  เป็นตัวหาค่าเริ่มต้น รายละเอียดของโปรแกรมมีดังนี้

=====

```

## Kantorovich Program ##

## Vibration of Symmetrically Laminated Plates ##
## using Extended Kantorovich Method ##

## Iteration No.1 known function Y(y) ##

> restart;
> Digits:=100:
> N_term:=3:           # Number of N term #
> i_term:=200:        # Number of i term #
>
## Input of all material properties ##
>
> ratio:=2.45:        # ratio is E1/E2 #
> E1:=131e9:          # Longitudanal modulus, GPa #
> E2:=E1/ratio:       # Transverse modulus, GPa #
> v12:=0.23:          # Poisson ratio #
> G12:=0.48*E2:       # Shear modulus, GPa #
> density:=8000:      # density, kg/m^3 #
> v21:=v12*E2/E1:    # Poisson ratio #
>
## Defind geometry of a plate ##
>
> aspect_ratio:=1.0:  # is a/b #
>
> a:=10:               # Length of the plates, m #
> b:=a/aspect_ratio:  # Width of the plates, m #
> t:=0.06:             # Ply thickness, m #
> h:=t*N:              # thickness of the plates, m #
>
## Boundary condition for study ##
>
> Boundary_X:=S_S:    # - satisfy boundary condition on edge's x - #
> Boundary_Y:=S_S:    # - satisfy boundary condition on edge's y - #

```

```

> save Boundary_X, "D:/Kantorovich/Vibration/Boundary/Boundary_X.txt":
> save Boundary_Y, "D:/Kantorovich/Vibration/Boundary/Boundary_Y.txt":
>
## Calculate ABD matrix ##
>
> N:=3:                                     # Number of ply #
> phi:=vector([30,-30,30]):                 # Stacking sequence #
> theta:=0:                                 # Angle of rotation #
> read "C:/ABD.txt":                         # find ABD matrix #      # (subr.1)
>
> ## ----- PART 1 ----- ##
>
# --- Assume function Y(y) --- #
>
> YY[1]:=sin(Pi*y/b):
> YY[2]:=sin(2*Pi*y/b):
> YY[3]:=sin(3*Pi*y/b):
>
## Calculate [S] Matrix ##
>
> read "D:/Kantorovich/CalculateMatrix/[S].txt":           # (subr.2)
>
## Calculate [A] Matrix ##
>
> # Defind Identity Matrix (N_term*N_term) #
> with(LinearAlgebra):IM:=IdentityMatrix(N_term):
>
> A1:=evalm( (2*a*D16/D11) * (S1_i&*(S3-S3_t)) ):
> A2:=evalm( ((a^2*D12/D11)*(S1_i&*(S2+S2_t))) -
((4*a^2*D66/D11)*(S1_i&S6_t)) ):
> A3:=evalm( (2*a^3*D26/D11) * (S1_i&*(S5-S5_t)) ):
> A4:=evalm( (a^4*D22/D11) * (S1_i&S4_t) ):
> A5:=evalm( (a^4*density/D11)*IM ):
> A6:=evalm( (D11/a^2)*S1 ):
> A7:=evalm( (2*D16/a)*S3 ):
> A8:=evalm( D12*S2 ):
> A9:=evalm( (-D11/a^3)*S1 ):
> A10:=evalm( (-2*D16/a^2) * (S3-S3_t) ):
> A11:=evalm( ((4*D66/a)*S6_t) - ((D12/a)*S2) ):
> A12:=evalm( (2*D26)*S5_t ):
>
> ## ----- PART 2 ----- ##
>
## The recurrence formula ##
>
> AA[0]:=array(1..N_term,1..1):
> AA[1]:=array(1..N_term,1..1):
> AA[2]:=array(1..N_term,1..1):
> AA[3]:=array(1..N_term,1..1):
>

```

```

> for i from 1 to N_term do
>   AA[0][i,1]:=aa[i,0];
>   AA[1][i,1]:=aa[i,1];
>   AA[2][i,1]:=aa[i,2];
>   AA[3][i,1]:=aa[i,3];
> od:
>
> for i from 0 to i_term-4 do
>   AA[i+4]:=evalm(simplify(expand(-1*((A1&*AA[i+3]*(1/(i+4)))
> + (evalf(A2&*AA[i+2]*(1/(i+3)/(i+4))))
> + (evalf(A3&*AA[i+1]*(1/(i+2)/(i+3)/(i+4))))
> + (evalf((A4-lambda*A5)&*AA[i]*(1/(i+1)/(i+2)/(i+3)/(i+4)))))))));
> od:
>
> for i from 0 to i_term-4 do
>   AAA[i+4]:=evalm(simplify(AA[i+4]));
> od:
>
> AAA[0]:=array(1..N_term,1..1):
> AAA[1]:=array(1..N_term,1..1):
> AAA[2]:=array(1..N_term,1..1):
> AAA[3]:=array(1..N_term,1..1):
>
> for i from 1 to N_term do
>   AAA[0][i,1]:=aa[i,0];
>   AAA[1][i,1]:=aa[i,1];
>   AAA[2][i,1]:=aa[i,2];
>   AAA[3][i,1]:=aa[i,3];
> od:
>
## Calculate [X] Matrix ##
>
> read
"D:/Kantorovich/CalculateMatrix/N_term=3/[X].txt": # (subr.3)
>
## Calculate diff [X] Matrix ##
>
> read "D:/Kantorovich/CalculateMatrix/diff[X].txt": # (subr.4)
>
## Natural Boundary condition ##
>
> My:=evalm((A6&*X_2x)+(A7&*X_1x)+(A8&*X)):
> Qy:=evalm((A9&*X_3x)+(A10&*X_2x)+(A11&*X_1x)+(A12&*X)):
>
## Boundary Condition for on edge's x ##
>
> read
"D:/Kantorovich/Boundary/N_term=3/Boundary_X.txt": # (subr.5)
>

```



```

> ## ----- PART 3 ----- ##
>
## Solve eigenvalue problem ##
>
> S:=array(1..4*N_term,1..4*N_term):
>   for i from 1 to 4*N_term do
>     for j from 1 to 4*N_term do
>       S[i,j]:=diff(BC[i],Ca[j-1]):
>     od:
>   od:
> with(linalg):
> aaaa:=evalf(det(S)):
>
>     ## determine eigenvalue ##
## satisfy total energy minimization ##
>
> plot(aaaa,lambda=0..400);
> read "C:/newton.txt":
result1:=Newton ([aaaa=0],[lambda=200],output={variables,functions});
>
> lambda:=subs(%,lambda);
> ome2:=lambda;
> ome:=sqrt(ome2/h); # Natural frequencies (rad/s) #
> D00:=((E1*h^3)/(12*(1-v12*v21))):
> beta:=sqrt(density*ome2*a^4/D00); # dimensionless frequency parameter #
>
>     ## determine eigenvector ##
## consider from boundary condition's case study ##
>
> for z from 1 to 4*N_term do
>   eq[z]:=BC[z]=0:
> od:
>
> Ca[0]:=0; Ca[4]:=0; Ca[8]:=0; Ca[3]:=1;
> sols:=solve({eq[5],eq[6],eq[7],eq[8],eq[9],eq[10],eq[11],eq[12]});
>
> Ca[0]:=0;
> Ca[1]:=subs(sols,Ca[1]);
> Ca[2]:=subs(sols,Ca[2]);
> Ca[3]:=1;
> Ca[4]:=0;
> Ca[5]:=subs(sols,Ca[5]);
> Ca[6]:=subs(sols,Ca[6]);
> Ca[7]:=subs(sols,Ca[7]);
> Ca[8]:=0;
> Ca[9]:=subs(sols,Ca[9]);
> Ca[10]:=subs(sols,Ca[10]);
> Ca[11]:=subs(sols,Ca[11]);
>

```

```

## find X(x) for calculate next iteration ##
>
> read "D:/Kantorovich/CalculateMatrix/find[X].txt":           # (subr.6)
>
> XX1a:=XX[1]: XX2a:=XX[2]: XX3a:=XX[3]:
>
> save XX1a,"D:/Kantorovich/Vibration/Function/N=3/SSSS/XX1_1.txt":
> save XX2a,"D:/Kantorovich/Vibration/Function/N=3/SSSS/XX1_2.txt":
> save XX3a,"D:/Kantorovich/Vibration/Function/N=3/SSSS/XX1_3.txt":
>
>
## Out-of-plane displacement ##
>
> w:=XX[1]*YY[1]+XX[2]*YY[2]+XX[3]*YY[3]:
>
## plot mode shape ##
>
> plot3d(w,x=0..a,y=0..b):
>
=====

```

ส่วนโปรแกรมที่สองแสดงการทำซ้ำในรอบที่สองโดยนำฟังก์ชันเริ่มต้น  $X_i(x)$  ที่ได้จากการทำซ้ำรอบแรกเป็นตัวหาค่าเริ่มต้น รายละเอียดของโปรแกรมหาดังนี้

```

=====

## Kantorovich Program ##

## Vibration of Symmetrically Laminated Plates ##
## using Extended Kantorovich Method ##

## Iteration No.2 known function X(x) ##

> restart;
> Digits:=100:
> N_term:=3:           # Number of N term #
> i_term:=200:         # Number of i term #
>
## Input of all material properties ##
>
> ratio:=2.45:         # ratio is E1/E2 #
> E1 := 131e9:         # Longitudanal modulus, GPa #
> E2 := E1/ratio:     # Transverse modulus, GPa #
> v12 := 0.23:        # Poisson ratio #
> G12 := 0.48*E2:    # Shear modulus, GPa #
> density := 8000:    # density, kg/m^3 #
> v21 := v12*E2/E1:  # Poisson ratio #

```

```

## Defind geometry of a plate ##
>
> aspect_ratio:=1.0:          # is a/b #
>
> a:=10:                      # Length of the plates, m #
> b:=a/aspect_ratio:         # Width of the plates, m #
> t := 0.06:                 # Ply thickness, m #
> h:=t*N:                    # thickness of the plates, m #
>
## Boundary condition for study ##
>
> Boundary_X:=S_S:           # - satisfy boundary condition on edge's x - #
> Boundary_Y:=S_S:           # - satisfy boundary condition on edge's y - #
>
> save Boundary_X, "D:/Kantorovich/Vibration/Boundary/Boundary_X.txt":
> save Boundary_Y, "D:/Kantorovich/Vibration/Boundary/Boundary_Y.txt":
>
## Calculate ABD matrix ##
>
> N := 3:                    # Number of ply #
> phi := vector([30,-30,30]): # Stacking sequence #
> theta:= 0:                 # Angle of rotation #
> read "C:/ABD.txt":         # find ABD matrix #      # (subr.1)
>
> ## ----- PART 1 ----- ##
>
# --- Read function X(x) from previous calculate --- #
>
> read "D:/Kantorovich/Vibration/Function/N=3/SSSS/XX1_1.txt":
> read "D:/Kantorovich/Vibration/Function/N=3/SSSS/XX1_2.txt":
> read "D:/Kantorovich/Vibration/Function/N=3/SSSS/XX1_3.txt":
>
> XX[1]:=XX1a: XX[2]:=XX2a: XX[3]:=XX3a:
>
## Calculate [R] Matrix ##
>
> read "D:/Kantorovich/CalculateMatrix/[R].txt":          # (subr.7)
>
## Calculate [B] Matrix ##
>
> # Defind Identity Matrix (N_term*N_term) #
> with(LinearAlgebra):IM:=IdentityMatrix(N_term):
>
> B1:=evalm( (2*b*D26/D22) * (R1_i&*(R3-R3_t)) ):
> B2:=evalm( ((b^2*D12/D22)*(R1_i&*(R2+R2_t)) -
((4*b^2*D66/D22)*(R1_i&R6_t)) ):
> B3:=evalm( (2*b^3*D16/D22) * (R1_i&*(R5-R5_t)) ):
> B4:=evalm( (b^4*D11/D22) * (R1_i&R4_t) ):
> B5:=evalm( (b^4*density/D22)*IM ):
> B6:=evalm( (D22/b^2)*R1 ):

```

```

> B7:=evalm( (2*D26/b)*R3 ):
> B8:=evalm( D12*R2 ):
> B9:=evalm( (-D22/b^3)*R1 ):
> B10:=evalm( (-2*D26/b^2) * (R3-R3_t) ):
> B11:=evalm( ((4*D66/b)*R6_t) - ((D12/b)*R2) ):
> B12:=evalm( (2*D16)*R5_t ):
>
> ## ----- PART 2 ----- ##
>
## The recurrence formula ##
>
> BB[0]:=array(1..N_term,1..1):
> BB[1]:=array(1..N_term,1..1):
> BB[2]:=array(1..N_term,1..1):
> BB[3]:=array(1..N_term,1..1):
>
> for i from 1 to N_term do
>   BB[0][i,1]:=bb[i,0];
>   BB[1][i,1]:=bb[i,1];
>   BB[2][i,1]:=bb[i,2];
>   BB[3][i,1]:=bb[i,3];
> od:
>
> for i from 0 to i_term-4 do
>   BB[i+4]:=evalm(simplify(expand(-1*((B1*BB[i+3]*(1/(i+4)))
> + (evalf(B2*BB[i+2]*(1/(i+3)/(i+4))))
> + (evalf(B3*BB[i+1]*(1/(i+2)/(i+3)/(i+4))))
> + (evalf(B4-alpha*B5)*BB[i]*(1/(i+1)/(i+2)/(i+3)/(i+4))))));
> od:
>
> for i from 0 to i_term-4 do
>   BBB[i+4]:=evalm(simplify(BB[i+4]));
> od:
>
> BBB[0]:=array(1..N_term,1..1):
> BBB[1]:=array(1..N_term,1..1):
> BBB[2]:=array(1..N_term,1..1):
> BBB[3]:=array(1..N_term,1..1):
>
> for i from 1 to N_term do
>   BBB[0][i,1]:=bb[i,0];
>   BBB[1][i,1]:=bb[i,1];
>   BBB[2][i,1]:=bb[i,2];
>   BBB[3][i,1]:=bb[i,3];
> od:

```

```

## Calculate [Y] Matrix ##
>
> read
"D:/Kantorovich/CalculateMatrix/N_term=3/[Y].txt":           # (subr.8)
>
## Calculate diff [Y] Matrix ##
>
> read "D:/Kantorovich/CalculateMatrix/diff[Y].txt":         # (subr.9)
>
## Natural Boundary condition ##
>
> Mx:=evalm((B6&*Y_2y)+(B7&*Y_1y)+(B8&*Y)):
> Qx:=evalm((B9&*Y_3y)+(B10&*Y_2y)+(B11&*Y_1y)+(B12&*Y)):
>
## Boundary Condition for on edge's y ##
>
> read
"D:/Kantorovich/Boundary/N_term=3/Boundary_Y.txt":         # (subr.10)
>
> ## ----- PART 3 ----- ##
>
## Solve eigenvalue problem ##
>
> R:=array(1..4*N_term,1..4*N_term);
>   for i from 1 to 4*N_term do
>     for j from 1 to 4*N_term do
>       R[i,j]:=diff(BC[i],Cb[j-1]);
>     od:
>   od:
> with(linalg):
> bbbb:=evalf(det(R)):
>
>     ## determine eigenvalue ##
## satisfy total energy minimization ##
>
> plot(bbbb,alpha=0..400);
> read "C:/newton.txt":
result1:=Newton ([bbbb=0],[alpha=200],output={variables,functions});
>
> alpha:=subs(%,alpha);
> ome2:=alpha;
> ome:=sqrt(ome2/h);           # Natural frequencies (rad/s) #
> D00:=((E1*h^3)/(12*(1-v12*v21))):
> beta:=sqrt(density*ome2*a^4/D00); # dimensionless frequency parameter #
>

```

```

## determine eigenvector ##
## consider from boundary condition's case study ##
>
> for z from 1 to 4*N_term do
>   eq[z]:=BC[z]=0:
> od:
>
> Cb[0]:=0;   Cb[4]:=0;   Cb[8]:=0;   Cb[11]:=1;
> sols:=solve({eq[5],eq[6],eq[7],eq[8],eq[9],eq[10],eq[11],eq[12]});
>
> Cb[0]:=0;
> Cb[1]:=subs(sols,Cb[1]);
> Cb[2]:=subs(sols,Cb[2]);
> Cb[3]:=subs(sols,Cb[3]);
> Cb[4]:=0;
> Cb[5]:=subs(sols,Cb[5]);
> Cb[6]:=subs(sols,Cb[6]);
> Cb[7]:=subs(sols,Cb[7]);
> Cb[8]:=0;
> Cb[9]:=subs(sols,Cb[9]);
> Cb[10]:=subs(sols,Cb[10]);
> Cb[11]:=1;
>
## find Y(y) for calculate next iteration ##
>
> read "D:/Kantorovich/CalculateMatrix/find[Y].txt":           #(subr.11)
>
> YY1b:=YY[1]:   YY2b:=YY[2]:   YY3b:=YY[3]:
>
> save YY1b,"D:/Kantorovich/Vibration/Function/N=3/SSSS/YY1_1.txt":
> save YY2b,"D:/Kantorovich/Vibration/Function/N=3/SSSS/YY1_2.txt":
> save YY3b,"D:/Kantorovich/Vibration/Function/N=3/SSSS/YY1_3.txt":
>
## Out-of-plane displacement ##
>
> w:=XX[1]*YY[1]+XX[2]*YY[2]+XX[3]*YY[3]:
>
## plot mode shape ##
>
> plot3d(w,x=0..a,y=0..b):
>

```

=====

### ก.3 โปรแกรมย่อยที่ใช้ในโปรแกรมสำหรับการแก้ปัญหาการโก่งงอและการสั่นสะเทือน

สำหรับโปรแกรมย่อยที่ใช้ในโปรแกรมสำหรับการแก้ปัญหาการโก่งงอและการสั่นสะเทือน ดังแสดงในภาคผนวก ก.1 และ ก.2 ตามลำดับ มีปัญหาละ 11 โปรแกรม ซึ่งรายละเอียดของโปรแกรมย่อยทั้งสองปัญหามีคำสั่งเหมือนกัน ดังนั้นทั้งสองปัญหาจึงสามารถอ่านชุดคำสั่งจากไฟล์เดียวกันได้ โดยรายละเอียด คำอธิบายและฐานข้อมูลที่จัดเก็บโปรแกรมย่อยทั้ง 11 โปรแกรม มีดังต่อไปนี้

=====

**โปรแกรมย่อยที่ 1** ถูกจัดเก็บไว้ที่ C:/ABD.txt โปรแกรมนี้ทำหน้าที่คำนวณหาค่า [ABD] ตามสมการ (3-15 ถึง 3-17) โดยรายละเอียดของโปรแกรมมีดังต่อไปนี้

```
> #----- (Subroutine 1) -----#
> #Calculate the lamina stiffness matrix [Q] in material axis
> Q11:=E1^2/(E1-v12^2*E2):
> Q12:=v12*E1*E2/(E1-v12^2*E2):
> Q22:=E1*E2/(E1-v12^2*E2):
> Q66:=G12:
> #Calculate invariants U
> U1:= (3*Q11+3*Q22+2*Q12+4*Q66)/8:
> U2:= (Q11-Q22)/2:
> U3:= (Q11+Q22-2*Q12-4*Q66)/8:
> U4:= (Q11+Q22+6*Q12-4*Q66)/8:
> U5:= (Q11+Q22-2*Q12+4*Q66)/8:
>
> #Calculate the distance from midplane : z[1]to z[N+1]
> for i from 1 to N+1 do
>   z[i]:=t*(i-1-N/2)
> od:
> #Calculate the invariants V (a total of 15 invariants)
> VA0 := N*t: VB0:=0:
>   VD0:=(N*t)^3/12:
>   VA1:=0:
>     for i from 1 to N do
>       VA1:=VA1+cos(Pi/180*2*phi[i])*(z[i+1]-z[i]);
>     od:
>   VA2:=0:
>     for i from 1 to N do
>       VA2:=VA2+sin(Pi/180*2*phi[i])*(z[i+1]-z[i]);
>     od:
>   VA3:=0:
>     for i from 1 to N do
>       VA3:=VA3+cos(Pi/180*4*phi[i])*(z[i+1]-z[i]);
```

```

> od:
> VA4:=0:
>   for i from 1 to N do
>     VA4:=VA4+sin(Pi/180*4*phi[i])*(z[i+1]-z[i]);
>   od:
> VB1:=0:
>   for i from 1 to N do
>     VB1:=VB1+cos(Pi/180*2*phi[i])*((z[i+1])^2-(z[i])^2);
>   od:
> VB1:=VB1/2:
> VB2:=0:
>   for i from 1 to N do
>     VB2:=VB2+sin(Pi/180*2*phi[i])*((z[i+1])^2-(z[i])^2);
>   od:
> VB2:=VB2/2:
> VB3:=0:
>   for i from 1 to N do
>     VB3:=VB3+cos(Pi/180*4*phi[i])*((z[i+1])^2-(z[i])^2);
>   od:
> VB3:=VB3/2:
> VB4:=0:
>   for i from 1 to N do
>     VB4:=VB4+sin(Pi/180*4*phi[i])*((z[i+1])^2-(z[i])^2);
>   od:
> VB4:=VB4/2:
> VD1:=0:
>   for i from 1 to N do
>     VD1:=VD1+cos(Pi/180*2*phi[i])*((z[i+1])^3-(z[i])^3);
>   od:
> VD1:=VD1/3:
> VD2:=0:
>   for i from 1 to N do
>     VD2:=VD2+sin(Pi/180*2*phi[i])*((z[i+1])^3-(z[i])^3);
>   od:
> VD2:=VD2/3:
> VD3:=0:
>   for i from 1 to N do
>     VD3:=VD3+cos(Pi/180*4*phi[i])*((z[i+1])^3-(z[i])^3);
>   od:
> VD3:=VD3/3:
>   VD4:=0:
>   for i from 1 to N do
>     VD4:=VD4+sin(Pi/180*4*phi[i])*((z[i+1])^3-(z[i])^3);
>   od:
> VD4:=VD4/3:
> #This are the results: [ABD] w.r.t. the rotated axis.

```



```

> #----- Matrix [A] -----#
>
> A11:=evalf(U1*VA0+U2*VA1*cos(2*theta*Pi/180)+U2*VA2*sin(2*theta*Pi
> /180)+U3*VA3*cos(4*theta*Pi/180)+U3*VA4*sin(4*theta*Pi/180)):
> A22:=evalf(U1*VA0-U2*VA1*cos(2*theta*Pi/180)-U2*VA2*sin(2*theta*Pi
> /180)+U3*VA3*cos(4*theta*Pi/180)+U3*VA4*sin(4*theta*Pi/180)):
> A12:=evalf(U4*VA0-U3*VA3*cos(4*theta*Pi/180)-U3*VA4*sin(4*theta*Pi
> /180)):
> A66:=evalf(U5*VA0-U3*VA3*cos(4*theta*Pi/180)-U3*VA4*sin(4*theta*Pi
> /180)):
> A16:=evalf(U2*VA2*cos(2*theta*Pi/180)-U2*VA1*sin(2*theta*Pi/180)+2
> *U3*VA4*cos(4*theta*Pi/180)-2*U3*VA3*sin(4*theta*Pi/180))/2:
> A26:=evalf(U2*VA2*cos(2*theta*Pi/180)-U2*VA1*sin(2*theta*Pi/180)-2
> *U3*VA4*cos(4*theta*Pi/180)+2*U3*VA3*sin(4*theta*Pi/180))/2:
> #----- Matrix [B] -----#
> B11:=evalf(U1*VB0+U2*VB1*cos(2*theta*Pi/180)+U2*VB2*sin(2*theta*Pi
> /180)+U3*VB3*cos(4*theta*Pi/180)+U3*VB4*sin(4*theta*Pi/180)):
> B22:=evalf(U1*VB0-U2*VB1*cos(2*theta*Pi/180)-U2*VB2*sin(2*theta*Pi
> /180)+U3*VB3*cos(4*theta*Pi/180)+U3*VB4*sin(4*theta*Pi/180)):
> B12:=evalf(U4*VB0-U3*VB3*cos(4*theta*Pi/180)-U3*VB4*sin(4*theta*Pi
> /180)):
> B66:=evalf(U5*VB0-U3*VB3*cos(4*theta*Pi/180)-U3*VB4*sin(4*theta*Pi
> /180)):
> B16:=evalf(U2*VB2*cos(2*theta*Pi/180)-U2*VB1*sin(2*theta*Pi/180)+2
> *U3*VB4*cos(4*theta*Pi/180)-2*U3*VB3*sin(4*theta*Pi/180))/2:
> B26:=evalf(U2*VB2*cos(2*theta*Pi/180)-U2*VB1*sin(2*theta*Pi/180)
> -2*U3*VB4*cos(4*theta*Pi/180)+2*U3*VB3*sin(4*theta*Pi/180))/2:
> #----- Matrix [D] -----#
>
> D11:=evalf(U1*VD0+U2*VD1*cos(2*theta*Pi/180)+U2*VD2*sin(2*theta*Pi
> /180)+U3*VD3*cos(4*theta*Pi/180)+U3*VD4*sin(4*theta*Pi/180)):
> D22:=evalf(U1*VD0-U2*VD1*cos(2*theta*Pi/180)-U2*VD2*sin(2*theta*Pi
> /180)+U3*VD3*cos(4*theta*Pi/180)+U3*VD4*sin(4*theta*Pi/180)):
> D12:=evalf(U4*VD0-U3*VD3*cos(4*theta*Pi/180)-U3*VD4*sin(4*theta*Pi
> /180)):
> D66:=evalf(U5*VD0-U3*VD3*cos(4*theta*Pi/180)-U3*VD4*sin(4*theta*Pi
> /180)):
> D16:=evalf(U2*VD2*cos(2*theta*Pi/180)-U2*VD1*sin(2*theta*Pi/180)+2
> *U3*VD4*cos(4*theta*Pi/180)-2*U3*VD3*sin(4*theta*Pi/180))/2:
> D26:=evalf(U2*VD2*cos(2*theta*Pi/180)-U2*VD1*sin(2*theta*Pi/180)-2
> *U3*VD4*cos(4*theta*Pi/180)+2*U3*VD3*sin(4*theta*Pi/180))/2:
> #----- Matrix [ABD] -----#
>
ABD:=linalg[matrix](6,6,[A11,A12,A16,B11,B12,B16],[A12,A22,A26,B12,B22,B26]
,[A16,A26,A66,B16,B26,B66],[B11,B12,B16,D11,D12,D16],[B12,B22,B26,D12,D22,D2
6],[B16,B26,B66,D16,D26,D66]);
>
=====

```

**โปรแกรมย่อยที่ 2** ถูกจัดเก็บไว้ที่ D:/Kantorovich /CalculateMatrix/[S].txt โปรแกรมนี้ทำหน้าที่คำนวณหาเมตริกซ์ทราบค่า  $[S_i]$  ตามสมการ (4-9) โดยรายละเอียดของโปรแกรมมีดังต่อไปนี้

```
> #----- (Subroutine 2) -----#
> with(linalg):  Y:=array(1..N_term,1..1):
>                Y_y:=array(1..N_term,1..1):
>                Y_yy:=array(1..N_term,1..1):
> for i from 1 to N_term do
>   Y[i,1]:=YY[i];
>   Y_y[i,1]:=diff(Y[i,1],y);
>   Y_yy[i,1]:=diff(Y[i,1],y,y);
> od:
>
>   Y_t:=transpose(Y):
>   Y_y_t:=transpose(Y_y):
>   Y_yy_t:=transpose(Y_yy):
> ss1:=evalm(Y&*Y_t):
> ss2:=evalm(Y&*Y_yy_t):
> ss3:=evalm(Y&*Y_y_t):
> ss4:=evalm(Y_yy&*Y_yy_t):
> ss5:=evalm(Y_yy&*Y_y_t):
> ss6:=evalm(Y_y&*Y_y_t):
>   S1:=array(1..N_term,1..N_term):
>   S2:=array(1..N_term,1..N_term):
>   S3:=array(1..N_term,1..N_term):
>   S4:=array(1..N_term,1..N_term):
>   S5:=array(1..N_term,1..N_term):
>   S6:=array(1..N_term,1..N_term):
> for i from 1 to N_term do
>   for j from 1 to N_term do
>     S1[i,j]:=evalf(int(ss1[i,j],y=0..b));
>     S2[i,j]:=evalf(int(ss2[i,j],y=0..b));
>     S3[i,j]:=evalf(int(ss3[i,j],y=0..b));
>     S4[i,j]:=evalf(int(ss4[i,j],y=0..b));
>     S5[i,j]:=evalf(int(ss5[i,j],y=0..b));
>     S6[i,j]:=evalf(int(ss6[i,j],y=0..b));
>   od:
> od:
>   S1_t:=transpose(S1):      S1_i:=inverse(S1):
>   S2_t:=transpose(S2):
>   S3_t:=transpose(S3):
>   S4_t:=transpose(S4):
>   S5_t:=transpose(S5):
>   S6_t:=transpose(S6):
```

=====

**โปรแกรมย่อยที่ 3** ถูกจัดเก็บไว้ที่ D:/Kantorovich /CalculateMatrix/N\_term=1/[X].txt  
 โปรแกรมนี้ทำหน้าที่คำนวณหาเมตริกซ์  $\{X\}$  ตามสมการ (4-25) โดยเลือกใช้โปรแกรมตาม  
 จำนวนพจน์ที่ใช้สมมติค่าฟังก์ชันเริ่มต้น ซึ่งรายละเอียดของโปรแกรมนี้นี้ดังต่อไปนี้

```
> #----- (Subroutine 3) -----#
> # case using N term=1 for calculate #
> Xh[1]:=0:
>   for i from 0 to i_term do
>     Xh[1]:=expand(Xh[1]+AAA[i][1,1]*xi^i);
>   od:
>
> # case using N term=2 for calculate #
> Xh[1]:=0: Xh[2]:=0:
>   for i from 0 to i_term do
>     Xh[1]:=expand(Xh[1]+AAA[i][1,1]*xi^i);
>     Xh[2]:=expand(Xh[2]+AAA[i][2,1]*xi^i);
>   od:
>
> # case using N term=3 for calculate #
> Xh[1]:=0: Xh[2]:=0: Xh[3]:=0:
>   for i from 0 to i_term do
>     Xh[1]:=expand(Xh[1]+AAA[i][1,1]*xi^i);
>     Xh[2]:=expand(Xh[2]+AAA[i][2,1]*xi^i);
>     Xh[3]:=expand(Xh[3]+AAA[i][3,1]*xi^i);
>   od:
>
> # case using N term=4 for calculate #
> Xh[1]:=0: Xh[2]:=0: Xh[3]:=0: Xh[4]:=0:
>   for i from 0 to i_term do
>     Xh[1]:=expand(Xh[1]+AAA[i][1,1]*xi^i);
>     Xh[2]:=expand(Xh[2]+AAA[i][2,1]*xi^i);
>     Xh[3]:=expand(Xh[3]+AAA[i][3,1]*xi^i);
>     Xh[4]:=expand(Xh[4]+AAA[i][4,1]*xi^i);
>   od:
>
> # case using N term=5 for calculate #
> Xh[1]:=0: Xh[2]:=0: Xh[3]:=0: Xh[4]:=0: Xh[5]:=0:
>   for i from 0 to i_term do
>     Xh[1]:=expand(Xh[1]+AAA[i][1,1]*xi^i);
>     Xh[2]:=expand(Xh[2]+AAA[i][2,1]*xi^i);
>     Xh[3]:=expand(Xh[3]+AAA[i][3,1]*xi^i);
>     Xh[4]:=expand(Xh[4]+AAA[i][4,1]*xi^i);
>     Xh[5]:=expand(Xh[5]+AAA[i][5,1]*xi^i);
>   od:
>
>
```

```

> # case using N term=6 for calculate #
> Xh[1]:=0: Xh[2]:=0: Xh[3]:=0: Xh[4]:=0: Xh[5]:=0: Xh[6]:=0:
>   for i from 0 to i_term do
>     Xh[1]:=expand(Xh[1]+AAA[i][1,1]*xi^i);
>     Xh[2]:=expand(Xh[2]+AAA[i][2,1]*xi^i);
>     Xh[3]:=expand(Xh[3]+AAA[i][3,1]*xi^i);
>     Xh[4]:=expand(Xh[4]+AAA[i][4,1]*xi^i);
>     Xh[5]:=expand(Xh[5]+AAA[i][5,1]*xi^i);
>     Xh[6]:=expand(Xh[6]+AAA[i][6,1]*xi^i);
>   od:
>

```

=====

**โปรแกรมย่อยที่ 4** ถูกจัดเก็บไว้ที่ D:/Kantorovich /CalculateMatrix/diff[X].txt โปรแกรมนี้ทำหน้าที่คำนวณหาอนุพันธ์ของ  $\{X\}$  โดยรายละเอียดของโปรแกรมนี้นี้

```

> #----- (Subroutine 4) -----#
> with(linalg): X:=array(1..N_term,1..1):
> for i from 1 to N_term do
>   X[i,1]:=Xh[i];
> od:
> for i from 1 to N_term do
>   for j from 0 to 3 do
>     aa[i,j]:=Ca[(4*(i-1))+j];
>   od:
> od:
> for i from 1 to N_term do
>   XX[i]:=X[i,1];
> od:
>
> X_1x:=array(1..N_term,1..1):
> for i from 1 to N_term do
>   X_1x[i,1]:=diff(XX[i],xi);
> od:
>
> X_2x:=array(1..N_term,1..1):
> for i from 1 to N_term do
>   X_2x[i,1]:=diff(XX[i],xi,xi);
> od:
>
> X_3x:=array(1..N_term,1..1):
> for i from 1 to N_term do
>   X_3x[i,1]:=diff(XX[i],xi,xi,xi);
> od:

```

=====

**โปรแกรมย่อยที่ 5** ถูกจัดเก็บไว้ที่ D:/Kantorovich /Boundary/N\_term=1/Boundary\_X.txt

โปรแกรมนี้ทำหน้าที่เลือกเงื่อนไขขอบเขตที่สอดคล้องกับตำแหน่ง  $\xi = 0$  และ  $\xi = a$  ตามสมการ (4-19 ถึง 4-22) โดยโปรแกรมจะถูกเลือกใช้ตามจำนวนพจน์ที่ใช้สมมุติค่าฟังก์ชันเริ่มต้น ซึ่งรายละเอียดของโปรแกรมนี้นี้มีดังต่อไปนี้

```
> #----- (Subroutine 5) -----#
> # case using N term=1 for calculate #
> read "D:/Kantorovich/Buckling/Boundary/Boundary_X.txt":
>
> if (Boundary_X=C_C)
> then BC[1]:=evalf(subs(xi=0,X[1,1])):
>      BC[2]:=evalf(subs(xi=0,X_1x[1,1])):
>
>      BC[3]:=evalf(subs(xi=1,X[1,1])):
>      BC[4]:=evalf(subs(xi=1,X_1x[1,1])):
> end if;
> if (Boundary_X=C_S)
> then BC[1]:=evalf(subs(xi=0,X[1,1])):
>      BC[2]:=evalf(subs(xi=0,X_1x[1,1])):
>
>      BC[3]:=evalf(subs(xi=1,X[1,1])):
>      BC[4]:=evalf(subs(xi=1,My[1,1])):
> end if;
> if (Boundary_X=S_S)
> then BC[1]:=evalf(subs(xi=0,X[1,1])):
>      BC[2]:=evalf(subs(xi=0,My[1,1])):
>
>      BC[3]:=evalf(subs(xi=1,X[1,1])):
>      BC[4]:=evalf(subs(xi=1,My[1,1])):
> end if;
>
> # case using N term=2 for calculate #
> read "D:/Kantorovich/Buckling/Boundary/Boundary_X.txt":
>
> if (Boundary_X=C_C)
> then BC[1]:=evalf(subs(xi=0,X[1,1])):
>      BC[2]:=evalf(subs(xi=0,X[2,1])):
>      BC[3]:=evalf(subs(xi=0,X_1x[1,1])):
>      BC[4]:=evalf(subs(xi=0,X_1x[2,1])):
>
>      BC[5]:=evalf(subs(xi=1,X[1,1])):
>      BC[6]:=evalf(subs(xi=1,X[2,1])):
>      BC[7]:=evalf(subs(xi=1,X_1x[1,1])):
>      BC[8]:=evalf(subs(xi=1,X_1x[2,1])):
> end if;
```

```

> if (Boundary_X=C_S)
> then BC[1]:=evalf(subs(xi=0,X[1,1])):
>      BC[2]:=evalf(subs(xi=0,X[2,1])):
>      BC[3]:=evalf(subs(xi=0,X_1x[1,1])):
>      BC[4]:=evalf(subs(xi=0,X_1x[2,1])):
>
>      BC[5]:=evalf(subs(xi=1,X[1,1])):
>      BC[6]:=evalf(subs(xi=1,X[2,1])):
>      BC[7]:=evalf(subs(xi=1,My[1,1])):
>      BC[8]:=evalf(subs(xi=1,My[2,1])):
> end if;
> if (Boundary_X=S_S)
> then BC[1]:=evalf(subs(xi=0,X[1,1])):
>      BC[2]:=evalf(subs(xi=0,X[2,1])):
>      BC[3]:=evalf(subs(xi=0,My[1,1])):
>      BC[4]:=evalf(subs(xi=0,My[2,1])):
>
>      BC[5]:=evalf(subs(xi=1,X[1,1])):
>      BC[6]:=evalf(subs(xi=1,X[2,1])):
>      BC[7]:=evalf(subs(xi=1,My[1,1])):
>      BC[8]:=evalf(subs(xi=1,My[2,1])):
> end if;
>
> # case using N term=3 for calculate #
> read "D:/Kantorovich/Buckling/Boundary/Boundary_X.txt":
>
> if (Boundary_X=C_C)
> then BC[1]:=evalf(subs(xi=0,X[1,1])):
>      BC[2]:=evalf(subs(xi=0,X[2,1])):
>      BC[3]:=evalf(subs(xi=0,X[3,1])):
>      BC[4]:=evalf(subs(xi=0,X_1x[1,1])):
>      BC[5]:=evalf(subs(xi=0,X_1x[2,1])):
>      BC[6]:=evalf(subs(xi=0,X_1x[3,1])):
>
>      BC[7]:=evalf(subs(xi=1,X[1,1])):
>      BC[8]:=evalf(subs(xi=1,X[2,1])):
>      BC[9]:=evalf(subs(xi=1,X[3,1])):
>      BC[10]:=evalf(subs(xi=1,X_1x[1,1])):
>      BC[11]:=evalf(subs(xi=1,X_1x[2,1])):
>      BC[12]:=evalf(subs(xi=1,X_1x[3,1])):
> end if;
> if (Boundary_X=C_S)
> then BC[1]:=evalf(subs(xi=0,X[1,1])):
>      BC[2]:=evalf(subs(xi=0,X[2,1])):
>      BC[3]:=evalf(subs(xi=0,X[3,1])):
>      BC[4]:=evalf(subs(xi=0,X_1x[1,1])):
>      BC[5]:=evalf(subs(xi=0,X_1x[2,1])):
>      BC[6]:=evalf(subs(xi=0,X_1x[3,1])):

```

```

>
>     BC[7]:=evalf(subs(xi=1,X[1,1])):
>     BC[8]:=evalf(subs(xi=1,X[2,1])):
>     BC[9]:=evalf(subs(xi=1,X[3,1])):
>     BC[10]:=evalf(subs(xi=1,My[1,1])):
>     BC[11]:=evalf(subs(xi=1,My[2,1])):
>     BC[12]:=evalf(subs(xi=1,My[3,1])):
> end if;
> if (Boundary_X=S_S)
> then BC[1]:=evalf(subs(xi=0,X[1,1])):
>      BC[2]:=evalf(subs(xi=0,X[2,1])):
>      BC[3]:=evalf(subs(xi=0,X[3,1])):
>      BC[4]:=evalf(subs(xi=0,My[1,1])):
>      BC[5]:=evalf(subs(xi=0,My[2,1])):
>      BC[6]:=evalf(subs(xi=0,My[3,1])):
>
>      BC[7]:=evalf(subs(xi=1,X[1,1])):
>      BC[8]:=evalf(subs(xi=1,X[2,1])):
>      BC[9]:=evalf(subs(xi=1,X[3,1])):
>      BC[10]:=evalf(subs(xi=1,My[1,1])):
>      BC[11]:=evalf(subs(xi=1,My[2,1])):
>      BC[12]:=evalf(subs(xi=1,My[3,1])):
> end if;
>
> # case using N term=4, 5 and 6 have form similar N term 1, 2 and 3 #
>
=====

```

**โปรแกรมย่อยที่ 6** ถูกจัดเก็บไว้ที่ D:/Kantorovich /CalculateMatrix/find[X].txt โปรแกรมนี้ทำหน้าที่คำนวณหาค่า  $X(x)$  ที่สอดคล้องกับเงื่อนไขขอบเขตที่ขอบ  $x=0$  และ  $x=a$  และเพื่อเอาไว้เป็นฟังก์ชันเริ่มต้นในการคำนวณการทำซ้ำรอบต่อไป โดยรายละเอียดของโปรแกรมนี้อยู่ดังต่อไปนี้

```

> #----- (Subroutine 6) -----#
> for i from 1 to N_term do
>   for j from 0 to 3 do
>     Ca[(4*(i-1))+j]:=aa[i,j];
>   od:
> od:
> xi:=x/a:
> for i from 1 to N_term do
>   XX[i]:=X[i,1];
> od:
>
=====

```

โปรแกรมย่อยที่ 7 ถูกจัดเก็บไว้ที่ D:/Kantorovich/CalculateMatrix/[R].txt: โปรแกรมนี้ทำหน้าที่คำนวณหาเมตริกซ์ทราบค่า  $[S_i]$  ตามสมการ (4-9) โดยรายละเอียดของโปรแกรมมีดังต่อไปนี้

```
> #----- (Subroutine 7) -----#
> with(linalg): X:=array(1..N_term,1..1):
>               X_x:=array(1..N_term,1..1):
>               X_xx:=array(1..N_term,1..1):
> for i from 1 to N_term do
>   X[i,1]:=XX[i];
>   X_x[i,1]:=diff(X[i,1],x);
>   X_xx[i,1]:=diff(X[i,1],x,x);
> od:
>
>   X_t:=transpose(X):
>   X_x_t:=transpose(X_x):
>   X_xx_t:=transpose(X_xx):
> rr1:=evalm(X&*X_t):
> rr2:=evalm(X&*X_xx_t):
> rr3:=evalm(X&*X_x_t):
> rr4:=evalm(X_xx&*X_xx_t):
> rr5:=evalm(X_xx&*X_x_t):
> rr6:=evalm(X_x&*X_x_t):
>   R1:=array(1..N_term,1..N_term):
>   R2:=array(1..N_term,1..N_term):
>   R3:=array(1..N_term,1..N_term):
>   R4:=array(1..N_term,1..N_term):
>   R5:=array(1..N_term,1..N_term):
>   R6:=array(1..N_term,1..N_term):
> for i from 1 to N_term do
>   for j from 1 to N_term do
>     R1[i,j]:=evalf(int(rr1[i,j],x=0..a));
>     R2[i,j]:=evalf(int(rr2[i,j],x=0..a));
>     R3[i,j]:=evalf(int(rr3[i,j],x=0..a));
>     R4[i,j]:=evalf(int(rr4[i,j],x=0..a));
>     R5[i,j]:=evalf(int(rr5[i,j],x=0..a));
>     R6[i,j]:=evalf(int(rr6[i,j],x=0..a));
>   od:
> od:
>   R1_t:=transpose(R1):   R1_i:=inverse(R1):
>   R2_t:=transpose(R2):
>   R3_t:=transpose(R3):
>   R4_t:=transpose(R4):
>   R5_t:=transpose(R5):
>   R6_t:=transpose(R6):
```

=====



**โปรแกรมย่อยที่ 8** ถูกจัดเก็บไว้ที่ D:/Kantorovich/CalculateMatrix/N\_term=1/[Y].txt  
 โปรแกรมนี้ทำหน้าที่คำนวณหาเมตริกซ์  $\{Y\}$  ตามสมการ (4-45) โดยเลือกใช้โปรแกรมตาม  
 จำนวนพจน์ที่ใช้สมมุติค่าฟังก์ชันเริ่มต้น ซึ่งรายละเอียดของโปรแกรมนี้นี้ดังต่อไปนี้

```
> #----- (Subroutine 8) -----#
> # case using N term=1 for calculate #
> Yh[1]:=0:
>   for i from 0 to i_term do
>     Yh[1]:=expand(Yh[1]+BBB[i][1,1]*eta^i);
>   od:
>
> # case using N term=2 for calculate #
> Yh[1]:=0: Yh[2]:=0:
>   for i from 0 to i_term do
>     Yh[1]:=expand(Yh[1]+BBB[i][1,1]*eta^i);
>     Yh[2]:=expand(Yh[2]+BBB[i][2,1]*eta^i);
>   od:
>
> # case using N term=3 for calculate #
> Yh[1]:=0: Yh[2]:=0: Yh[3]:=0:
>   for i from 0 to i_term do
>     Yh[1]:=expand(Yh[1]+BBB[i][1,1]*eta^i);
>     Yh[2]:=expand(Yh[2]+BBB[i][2,1]*eta^i);
>     Yh[3]:=expand(Yh[3]+BBB[i][3,1]*eta^i);
>   od:
>
> # case using N term=4 for calculate #
> Yh[1]:=0: Yh[2]:=0: Yh[3]:=0: Yh[4]:=0:
>   for i from 0 to i_term do
>     Yh[1]:=expand(Yh[1]+BBB[i][1,1]*eta^i);
>     Yh[2]:=expand(Yh[2]+BBB[i][2,1]*eta^i);
>     Yh[3]:=expand(Yh[3]+BBB[i][3,1]*eta^i);
>     Yh[4]:=expand(Yh[4]+BBB[i][4,1]*eta^i);
>   od:
>
> # case using N term=5 for calculate #
> Yh[1]:=0: Yh[2]:=0: Yh[3]:=0: Yh[4]:=0: Yh[5]:=0:
>   for i from 0 to i_term do
>     Yh[1]:=expand(Yh[1]+BBB[i][1,1]*eta^i);
>     Yh[2]:=expand(Yh[2]+BBB[i][2,1]*eta^i);
>     Yh[3]:=expand(Yh[3]+BBB[i][3,1]*eta^i);
>     Yh[4]:=expand(Yh[4]+BBB[i][4,1]*eta^i);
>     Yh[5]:=expand(Yh[5]+BBB[i][5,1]*eta^i);
>   od:
>
>
```

```

> # case using N term=6 for calculate #
> Xh[1]:=0: Xh[2]:=0: Xh[3]:=0: Xh[4]:=0: Xh[5]:=0: Xh[6]:=0:
>   for i from 0 to i_term do
>     Xh[1]:=expand(Xh[1]+AAA[i][1,1]*xi^i);
>     Xh[2]:=expand(Xh[2]+AAA[i][2,1]*xi^i);
>     Xh[3]:=expand(Xh[3]+AAA[i][3,1]*xi^i);
>     Xh[4]:=expand(Xh[4]+AAA[i][4,1]*xi^i);
>     Xh[5]:=expand(Xh[5]+AAA[i][5,1]*xi^i);
>     Xh[6]:=expand(Xh[6]+AAA[i][6,1]*xi^i);
>   od:
>

```

=====

**โปรแกรมย่อยที่ 9** ถูกจัดเก็บไว้ที่ D:/Kantorovich /CalculateMatrix/diff[Y].txt โปรแกรมนี้ทำหน้าที่คำนวณหาอนุพันธ์ของ  $\{Y\}$  โดยรายละเอียดของโปรแกรมนี้อยู่ดังต่อไปนี้

```

> #----- (Subroutine 9) -----#
> > with(linalg): Y:=array(1..N_term,1..1):
> for i from 1 to N_term do
>   Y[i,1]:=Yh[i];
> od:
> for i from 1 to N_term do
>   for j from 0 to 3 do
>     bb[i,j]:=Cb[(4*(i-1))+j];
>   od:
> od:
> for i from 1 to N_term do
>   YY[i]:=Y[i,1];
> od:
>
> Y_1y:=array(1..N_term,1..1):
> for i from 1 to N_term do
>   Y_1y[i,1]:=diff(YY[i],eta);
> od:
>
> Y_2y:=array(1..N_term,1..1):
> for i from 1 to N_term do
>   Y_2y[i,1]:=diff(YY[i],eta,eta);
> od:
>
> Y_3y:=array(1..N_term,1..1):
> for i from 1 to N_term do
>   Y_3y[i,1]:=diff(YY[i],eta,eta,eta);
> od:

```

=====

**โปรแกรมย่อยที่ 10** ถูกจัดเก็บไว้ที่ D:/Kantorovich /Boundary/N\_term=1/Boundary\_Y.txt

โปรแกรมนี้ทำหน้าที่เลือกเงื่อนไขขอบเขตที่สอดคล้องกับตำแหน่ง  $\eta=0$  และ  $\eta=b$  ตามสมการ (4-39 ถึง 4-42) โดยโปรแกรมจะถูกเลือกใช้ตามจำนวนพจน์ที่ใช้สมมุติค่าฟังก์ชันเริ่มต้น ซึ่งรายละเอียดของโปรแกรมนี้นี้ดังต่อไปนี้

```
> #----- (Subroutine 10) -----#
> # case using N term=1 for calculate #
> read "D:/Kantorovich/Buckling/Boundary/Boundary_Y.txt":
>
> if (Boundary_Y=C_C)
> then BC[1]:=evalf(subs(eta=0,Y[1,1])):
>      BC[2]:=evalf(subs(eta=0,Y_ly[1,1])):
>
>      BC[3]:=evalf(subs(eta=1,Y[1,1])):
>      BC[4]:=evalf(subs(eta=1,Y_ly[1,1])):
> end if;
> if (Boundary_Y=C_S)
> then BC[1]:=evalf(subs(eta=0,Y[1,1])):
>      BC[2]:=evalf(subs(eta=0,Y_ly[1,1])):
>
>      BC[3]:=evalf(subs(eta=1,Y[1,1])):
>      BC[4]:=evalf(subs(eta=1,Mx[1,1])):
> end if;
> if (Boundary_Y=S_S)
> then BC[1]:=evalf(subs(eta=0,Y[1,1])):
>      BC[2]:=evalf(subs(eta=0,Mx[1,1])):
>
>      BC[3]:=evalf(subs(eta=1,Y[1,1])):
>      BC[4]:=evalf(subs(eta=1,Mx[1,1])):
> end if;
> if (Boundary_Y=S_C)
> then BC[1]:=evalf(subs(eta=0,Y[1,1])):
>      BC[2]:=evalf(subs(eta=0,Mx[1,1])):
>
>      BC[3]:=evalf(subs(eta=1,Y[1,1])):
>      BC[4]:=evalf(subs(eta=1,Y_ly[1,1])):
> end if;
> if (Boundary_Y=C_F)
> then BC[1]:=evalf(subs(eta=0,Y[1,1])):
>      BC[2]:=evalf(subs(eta=0,Y_ly[1,1])):
>
>      BC[3]:=evalf(subs(eta=1,Mx[1,1])):
>      BC[4]:=evalf(subs(eta=1,Qx[1,1])):
> end if;
>
>
```

```

> # case using N term=2 for calculate #
> read "D:/Kantorovich/Buckling/Boundary/Boundary_Y.txt":
>
> if (Boundary_Y=C_C)
> then BC[1]:=evalf(subs(eta=0,Y[1,1])):
>      BC[2]:=evalf(subs(eta=0,Y[2,1])):
>      BC[3]:=evalf(subs(eta=0,Y_ly[1,1])):
>      BC[4]:=evalf(subs(eta=0,Y_ly[2,1])):
>
>      BC[5]:=evalf(subs(eta=1,Y[1,1])):
>      BC[6]:=evalf(subs(eta=1,Y[2,1])):
>      BC[7]:=evalf(subs(eta=1,Y_ly[1,1])):
>      BC[8]:=evalf(subs(eta=1,Y_ly[2,1])):
> end if;
> if (Boundary_Y=C_S)
> then BC[1]:=evalf(subs(eta=0,Y[1,1])):
>      BC[2]:=evalf(subs(eta=0,Y[2,1])):
>      BC[3]:=evalf(subs(eta=0,Y_ly[1,1])):
>      BC[4]:=evalf(subs(eta=0,Y_ly[2,1])):
>
>      BC[5]:=evalf(subs(eta=1,Y[1,1])):
>      BC[6]:=evalf(subs(eta=1,Y[2,1])):
>      BC[7]:=evalf(subs(eta=1,Mx[1,1])):
>      BC[8]:=evalf(subs(eta=1,Mx[2,1])):
> end if;
> if (Boundary_Y=S_S)
> then BC[1]:=evalf(subs(eta=0,Y[1,1])):
>      BC[2]:=evalf(subs(eta=0,Y[2,1])):
>      BC[3]:=evalf(subs(eta=0,Mx[1,1])):
>      BC[4]:=evalf(subs(eta=0,Mx[2,1])):
>
>      BC[5]:=evalf(subs(eta=1,Y[1,1])):
>      BC[6]:=evalf(subs(eta=1,Y[2,1])):
>      BC[7]:=evalf(subs(eta=1,Mx[1,1])):
>      BC[8]:=evalf(subs(eta=1,Mx[2,1])):
> end if;
> if (Boundary_Y=S_C)
> then BC[1]:=evalf(subs(eta=0,Y[1,1])):
>      BC[2]:=evalf(subs(eta=0,Y[2,1])):
>      BC[3]:=evalf(subs(eta=0,Mx[1,1])):
>      BC[4]:=evalf(subs(eta=0,Mx[2,1])):
>
>      BC[5]:=evalf(subs(eta=1,Y[1,1])):
>      BC[6]:=evalf(subs(eta=1,Y[2,1])):
>      BC[7]:=evalf(subs(eta=1,Y_ly[1,1])):
>      BC[8]:=evalf(subs(eta=1,Y_ly[2,1])):
> end if;
>

```

```

> if (Boundary_Y=C_F)
> then BC[1]:=evalf(subs(eta=0,Y[1,1])):
>      BC[2]:=evalf(subs(eta=0,Y[2,1])):
>      BC[3]:=evalf(subs(eta=0,Y_1y[1,1])):
>      BC[4]:=evalf(subs(eta=0,Y_1y[2,1])):
>
>      BC[5]:=evalf(subs(eta=1,Mx[1,1])):
>      BC[6]:=evalf(subs(eta=1,Mx[2,1])):
>      BC[7]:=evalf(subs(eta=1,Qx[1,1])):
>      BC[8]:=evalf(subs(eta=1,Qx[2,1])):
> end if;
>
> # case using N term=3 for calculate #
> read "D:/Kantorovich/Buckling/Boundary/Boundary_Y.txt":
>
> if (Boundary_Y=C_C)
> then BC[1]:=evalf(subs(eta=0,Y[1,1])):
>      BC[2]:=evalf(subs(eta=0,Y[2,1])):
>      BC[3]:=evalf(subs(eta=0,Y[3,1])):
>      BC[4]:=evalf(subs(eta=0,Y_1y[1,1])):
>      BC[5]:=evalf(subs(eta=0,Y_1y[2,1])):
>      BC[6]:=evalf(subs(eta=0,Y_1y[3,1])):
>
>      BC[7]:=evalf(subs(eta=1,Y[1,1])):
>      BC[8]:=evalf(subs(eta=1,Y[2,1])):
>      BC[9]:=evalf(subs(eta=1,Y[3,1])):
>      BC[10]:=evalf(subs(eta=1,Y_1y[1,1])):
>      BC[11]:=evalf(subs(eta=1,Y_1y[2,1])):
>      BC[12]:=evalf(subs(eta=1,Y_1y[3,1])):
> end if;
> if (Boundary_Y=C_S)
> then BC[1]:=evalf(subs(eta=0,Y[1,1])):
>      BC[2]:=evalf(subs(eta=0,Y[2,1])):
>      BC[3]:=evalf(subs(eta=0,Y[3,1])):
>      BC[4]:=evalf(subs(eta=0,Y_1y[1,1])):
>      BC[5]:=evalf(subs(eta=0,Y_1y[2,1])):
>      BC[6]:=evalf(subs(eta=0,Y_1y[3,1])):
>
>      BC[7]:=evalf(subs(eta=1,Y[1,1])):
>      BC[8]:=evalf(subs(eta=1,Y[2,1])):
>      BC[9]:=evalf(subs(eta=1,Y[3,1])):
>      BC[10]:=evalf(subs(eta=1,Mx[1,1])):
>      BC[11]:=evalf(subs(eta=1,Mx[2,1])):
>      BC[12]:=evalf(subs(eta=1,Mx[3,1])):
> end if;
> if (Boundary_Y=S_S)
> then BC[1]:=evalf(subs(eta=0,Y[1,1])):
>      BC[2]:=evalf(subs(eta=0,Y[2,1])):

```

```

> BC[3]:=evalf(subs(eta=0,Y[3,1])):
> BC[4]:=evalf(subs(eta=0,Mx[1,1])):
> BC[5]:=evalf(subs(eta=0,Mx[2,1])):
> BC[6]:=evalf(subs(eta=0,Mx[3,1])):
>
> BC[7]:=evalf(subs(eta=1,Y[1,1])):
> BC[8]:=evalf(subs(eta=1,Y[2,1])):
> BC[9]:=evalf(subs(eta=1,Y[3,1])):
> BC[10]:=evalf(subs(eta=1,Mx[1,1])):
> BC[11]:=evalf(subs(eta=1,Mx[2,1])):
> BC[12]:=evalf(subs(eta=1,Mx[3,1])):
> end if;
> if (Boundary_Y=S_C)
> then BC[1]:=evalf(subs(eta=0,Y[1,1])):
> BC[2]:=evalf(subs(eta=0,Y[2,1])):
> BC[3]:=evalf(subs(eta=0,Y[3,1])):
> BC[4]:=evalf(subs(eta=0,Mx[1,1])):
> BC[5]:=evalf(subs(eta=0,Mx[2,1])):
> BC[6]:=evalf(subs(eta=0,Mx[3,1])):
>
> BC[7]:=evalf(subs(eta=1,Y[1,1])):
> BC[8]:=evalf(subs(eta=1,Y[2,1])):
> BC[9]:=evalf(subs(eta=1,Y[3,1])):
> BC[10]:=evalf(subs(eta=1,Y_1y[1,1])):
> BC[11]:=evalf(subs(eta=1,Y_1y[2,1])):
> BC[12]:=evalf(subs(eta=1,Y_1y[3,1])):
> end if;
> if (Boundary_Y=C_F)
> then BC[1]:=evalf(subs(eta=0,Y[1,1])):
> BC[2]:=evalf(subs(eta=0,Y[2,1])):
> BC[3]:=evalf(subs(eta=0,Y[3,1])):
> BC[4]:=evalf(subs(eta=0,Y_1y[1,1])):
> BC[5]:=evalf(subs(eta=0,Y_1y[2,1])):
> BC[6]:=evalf(subs(eta=0,Y_1y[3,1])):
>
> BC[7]:=evalf(subs(eta=1,Mx[1,1])):
> BC[8]:=evalf(subs(eta=1,Mx[2,1])):
> BC[9]:=evalf(subs(eta=1,Mx[3,1])):
> BC[10]:=evalf(subs(eta=1,Qx[1,1])):
> BC[11]:=evalf(subs(eta=1,Qx[2,1])):
> BC[12]:=evalf(subs(eta=1,Qx[3,1])):
> end if;
>
> # case using N term=4, 5 and 6 have form similar N term 1, 2 and 3 #
>
=====

```

**โปรแกรมย่อยที่ 11** ถูกจัดเก็บไว้ที่ D:/Kantorovich /CalculateMatrix/find[Y].txt โปรแกรมนี้ทำหน้าที่คำนวณหาค่า  $Y(y)$  ที่สอดคล้องกับเงื่อนไขขอบเขตที่ขอบ  $y=0$  และ  $y=b$  และเพื่อเอาไว้เป็นฟังก์ชันเริ่มต้นในการคำนวณการทำซ้ำรอบต่อไป โดยรายละเอียดของโปรแกรมนี้อยู่ดังต่อไปนี้

```
> #----- (Subroutine 11) -----#
> for i from 1 to N_term do
>   for j from 0 to 3 do
>     Cb[(4*(i-1))+j]:=bb[i,j];
>   od:
> od:
> eta:=y/b:
> for i from 1 to N_term do
>   YY[i]:=Y[i,1];
> od:
>
```

=====

ศูนย์วิทยทรัพยากร  
จุฬาลงกรณ์มหาวิทยาลัย



ภาคผนวก ข

บทความที่ได้รับการตีพิมพ์

ศูนย์วิทยทรัพยากร  
จุฬาลงกรณ์มหาวิทยาลัย



## Vibration of Symmetrically Laminated Plates with Various Boundary Conditions using Extended Kantorovich Method

Thanawut Pannok and Paired Singhatanadgid\*

Department of Mechanical Engineering, Chulalongkorn University, Bangkok, Thailand 10330

\* Corresponding Author: E-mail: Paired.S@chula.ac.th Tel: (662) 2186595, Fax: (662) 2522889,

### **Abstract**

In this study, the extended Kantorovich method using a multi-function expansion is applied to vibration analysis of symmetrically laminated rectangular plates with arbitrary boundary conditions. Natural frequencies and mode shapes of laminated plates are investigated using the variational principle of total energy minimization and the iterative Kantorovich method. The out-of-plane displacement is assumed in form of a series of a sum of products of functions in  $x$  and  $y$  directions. With this form of assumed functions, it is possible to solve the problem of plate with angle-ply stacking sequence where the classical single-term extended Kantorovich method is ineffective. The formulation for variation of total energy is reduced to be a governing equation and a set of boundary conditions. The unknown displacement functions are assumed as an infinite power series. The formulation is finally reduced to be an eigenvalue problem where the eigenvalue and the eigenvector represent the natural frequency and vibration mode shape of plates, respectively. Accuracy and reliability of the technique are demonstrated by comparing the obtained solutions with available solutions from the literatures. The extended Kantorovich is proven to be a powerful semi-analytical-numerical method which could potentially be used in other structural problems.

**Keywords:** Vibration, laminated plate, composite, Kantorovich method

### **1. Introduction**

Dynamic and stability of structures have been studied during the past decades. The studies include both numerical and experimental approaches. Recently, the Kantorovich method which is a semi-analytical numerical method was employed to a buckling problem of plates. Yuan and Jin [1] applied the extended Kantorovich method to determine buckling load of rectangular

isotropic plates. Eisenberger and Alexandrov [2] applied the Kantorovich method to the buckling problem of variable thickness thin isotropic plates. The technique was applied to the buckling problem of symmetrically laminated composite plates by Ungbhakorn and Singhatanadgid [3]. However, the out-of-plane displacement was assumed as a single-term function in that study. Thus, the technique was applicable for only

specially orthotropic plates. Later, Shufrin et al. [4] solved the buckling of angle-ply plates using the Kantorovich method with a multi-term displacement function.

The Kantorovich method was also applied to study vibration behavior of plates. Application of the technique to vibration of isotropic plates can be found in Ref. [5-6]. Unlike the buckling problem, studies on vibration of composite plate using the Kantorovich method are limited. Bercin [7] and Dalaei and Kerr [8] employed the Kantorovich method to solve vibration of clamped orthotropic plates using a single-term function. It is interesting to apply the technique to rectangular plates with angle-ply lamination. In this study, the multi-term Kantorovich method is applied to vibration of symmetrically angle-ply laminated plates.

## 2. Vibration of Composite Plate

In the past decades, composite materials are increasingly used in mechanical, civil, and marine engineering applications due to their high specific stiffness (stiffness per unit weight) and high specific strength (strength per unit weight). Recently, vibration of composite thin plates is in the interest of many researchers. A lot of theoretical and numerical studies are available in the literatures. In this study, vibration problem of symmetric composite plates is investigated using the variational principle of total potential energy minimization and the iterative Kantorovich method.

### 2.1 Energy formulation

The total potential energy of a vibrating symmetrically laminated composite plate, shown in Fig. 1, is the summation of the strain energy and the kinetic energy [9]. It can be written as:

$$\Pi = \frac{1}{2} \int_0^a \int_0^b [D_{11}w_{,xx}^2 + 2D_{12}w_{,xx}w_{,yy} + D_{22}w_{,yy}^2 + 4D_{66}w_{,xy}^2 + 4(D_{16}w_{,xx} + D_{26}w_{,yy})w_{,xy} - \rho h \omega^2 w^2] dx dy \quad (1)$$

where  $D_{ij}$  are plate bending stiffnesses,  $w$  is the out-of-plane displacement,  $\rho$  is the density in term of mass per unit volume, and  $\omega$  is the natural frequency of vibrating plate.

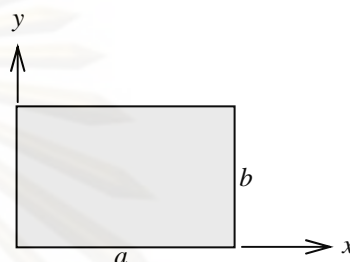


Fig. 1 Plate configurations

### 2.2. The Kantorovich method

To determine the natural frequencies using the multi-term Kantorovich method, the out-of-plane displacement  $w$  is assumed in form of:

$$w(x, y) = \sum_{i=1}^N X_i(x) Y_i(y) = \{X\}^T \{Y\} \quad (2)$$

where  $X_i(x)$  are functions of  $x$  which satisfy the boundary conditions at  $x=0$  and  $x=a$ , and  $Y_i(y)$  are functions of  $y$  which satisfy the conditions at  $y=0$  and  $y=b$ . If  $Y_i(y)$  is priorly specified, the total potential energy can be written as:

$$\begin{aligned} \Pi = \frac{1}{2} \int_0^a (D_{11} \{X_{,xx}\}^T [S_1] \{X_{,xx}\} + 2D_{12} \{X_{,xx}\}^T [S_2] \{X\} \\ + D_{22} \{X\}^T [S_4] \{X\} + 4D_{66} \{X_{,x}\}^T [S_6] \{X_{,x}\} \\ + 4D_{16} \{X_{,xx}\}^T [S_3] \{X_{,x}\} + 4D_{26} \{X\}^T [S_5] \{X_{,x}\} \\ - \rho h \omega^2 \{X\}^T [S_1] \{X\}) dx \end{aligned} \quad (3)$$

where

$$\begin{aligned} [S_1] &= \int_0^b \{Y\} \{Y\}^T dy, & [S_2] &= \int_0^b \{Y\} \{Y_{,yy}\}^T dy, \\ [S_3] &= \int_0^b \{Y\} \{Y_{,y}\}^T dy, & [S_4] &= \int_0^b \{Y_{,yy}\} \{Y_{,yy}\}^T dy \\ [S_5] &= \int_0^b \{Y_{,yy}\} \{Y_{,y}\}^T dy, & [S_6] &= \int_0^b \{Y_{,y}\} \{Y_{,y}\}^T dy \end{aligned}$$

The variational principle [10] requires the stationary condition for the functional Eq. (3), i.e.

$\delta \Pi = 0$ . The variation of potential energy  $\Pi$  can be written as:

$$\begin{aligned} \delta\Pi = & \int_0^a \left( (D_{11} \{X_{,xx}\}^T [S_1] + D_{12} \{X\}^T [S_2])^T \right. \\ & + 2D_{16} \{X_{,x}\}^T [S_3] \left. \right) \{ \delta X_{,xx} \} + (4D_{66} \{X_{,x}\}^T [S_6] \\ & + 2D_{16} \{X_{,xx}\}^T [S_3] + 2D_{26} \{X\}^T [S_5]) \{ \delta X_{,x} \} \\ & + (D_{12} \{X_{,xx}\}^T [S_2] + D_{22} \{X\}^T [S_4] \\ & + 2D_{26} \{X_{,x}\}^T [S_5] - \rho h \omega^2 \{X\}^T [S_1]) \{ \delta X \} dx \\ & = \{0\} \end{aligned} \quad (4)$$

Eq.(4) is consisted of  $N$  equations where  $N$  is the number of terms in the assumed displacement function, Eq.(2). By performing integration by part to Eq.(4), the governing equations are obtained as:

$$\begin{aligned} & D_{11} [S_1]^T \{X_{,xxx}\} + 2D_{16} ([S_3] - [S_3]^T) \{X_{,xxx}\} \\ & + (D_{12} ([S_2] + [S_2]^T) - 4D_{66} [S_6]^T) \{X_{,xx}\} \\ & + (2D_{26} ([S_5] - [S_5]^T)) \{X_{,x}\} \\ & + (D_{22} [S_4]^T - \rho h \omega^2 [S_1]^T) \{X\} = \{0\}. \end{aligned} \quad (5)$$

which may be rewritten as:

$$\begin{aligned} & \{X_{,xxx}\} + [A_1] \{X_{,xxx}\} + [A_2] \{X_{,xx}\} + [A_3] \{X_{,x}\} \\ & + ([A_4] - \omega^2 [A_5]) \{X\} = \{0\} \end{aligned} \quad (6)$$

where

$$\begin{aligned} [A_1] &= \frac{2D_{16}}{D_{11}} [S_1]^{-1} ([S_3] - [S_3]^T) \\ [A_2] &= \frac{1}{D_{11}} [S_1]^{-1} (D_{12} ([S_2] + [S_2]^T) - 4D_{66} [S_6]^T) \\ [A_3] &= \frac{2D_{26}}{D_{11}} [S_1]^{-1} ([S_5] - [S_5]^T) \\ [A_4] &= \frac{D_{22}}{D_{11}} [S_1]^{-1} [S_4]^T, \text{ and } [A_5] = \frac{\rho h}{D_{11}} [I] \end{aligned}$$

The boundary conditions along  $x = 0$  and  $x = a$  edges are:

Either

$$\begin{aligned} & D_{11} [S_1]^T \{X_{,xx}\} + 2D_{16} [S_3] \{X_{,x}\} \\ & + D_{12} [S_2] \{X\} = \{0\} \end{aligned} \quad (7a)$$

or

$$\{X_{,x}\} = \{0\} \quad (7b)$$

and, either:

$$\begin{aligned} & -D_{11} [S_1]^T \{X_{,xxx}\} - 2D_{16} ([S_3] - [S_3]^T) \{X_{,xx}\} \\ & - (D_{12} [S_2] - 4D_{66} [S_6]^T) \{X_{,x}\} \\ & + (2D_{26} [S_5]^T) \{X\} = \{0\} \end{aligned} \quad (7c)$$

or

$$\{X\} = \{0\} \quad (7d)$$

These boundary conditions correspond to the following edge supports:

Simply supported edge: Eq.(7a) and Eq.(7d)

Clamped edge: Eq.(7b) and Eq.(7d)

Free edge: Eq.(7a) and Eq.(7c)

With assumed functions  $Y_i(y)$  and appropriate boundary conditions, the governing equations can be solved for natural frequencies and associated mode shapes.

With a similar procedure, the other set of governing equations and boundary conditions can be derived for priorly assumed functions  $X_i(x)$ .

The governing equations are obtained as:

$$\begin{aligned} & D_{22} [R_1]^T \{Y_{,yyyy}\} + 2D_{26} ([R_3] - [R_3]^T) \{Y_{,yyy}\} \\ & + (D_{12} ([R_2] + [R_2]^T) - 4D_{66} [R_6]^T) \{Y_{,yy}\} \\ & + (2D_{16} ([R_5] - [R_5]^T)) \{Y_{,y}\} \\ & + (D_{11} [R_4]^T - \rho h \omega^2 [R_1]^T) \{Y\} = \{0\} \end{aligned} \quad (8)$$

where

$$\begin{aligned} [R_1] &= \int_0^a \{X\} \{X\}^T dx, \quad [R_2] = \int_0^a \{X\} \{X_{,xx}\}^T dx \\ [R_3] &= \int_0^a \{X\} \{X_{,x}\}^T dx, \quad [R_4] = \int_0^a \{X_{,xx}\} \{X_{,xx}\}^T dx \\ [R_5] &= \int_0^a \{X_{,xx}\} \{X_{,x}\}^T dx, \quad [R_6] = \int_0^a \{X_{,x}\} \{X_{,x}\}^T dx \end{aligned}$$

The governing equations, Eq.(8) are simplified as:

$$\begin{aligned} & \{Y_{,yyyy}\} + [B_1] \{Y_{,yyy}\} + [B_2] \{Y_{,yy}\} + [B_3] \{Y_{,y}\} \\ & + ([B_4] - \omega^2 [B_5]) \{Y\} = \{0\} \end{aligned} \quad (9)$$

where

$$\begin{aligned} [B_1] &= \frac{2D_{26}}{D_{22}} [R_1]^{-1} ([R_3] - [R_3]^T) \\ [B_2] &= \frac{1}{D_{22}} [R_1]^{-1} (D_{12} ([R_2] + [R_2]^T) - 4D_{66} [R_6]^T) \\ [B_3] &= \frac{2D_{16}}{D_{22}} [R_1]^{-1} ([R_5] - [R_5]^T) \\ [B_4] &= \frac{D_{11}}{D_{22}} [R_1]^{-1} [R_4]^T, \text{ and } [B_5] = \frac{\rho h}{D_{22}} [I] \end{aligned}$$

The boundary conditions along  $y = 0$  and  $y = b$  edges are:

Either

$$\begin{aligned} & D_{22} [R_1]^T \{Y_{,yy}\} + 2D_{26} [R_3] \{Y_{,y}\} \\ & + D_{12} [R_2] \{Y\} = \{0\} \end{aligned} \quad (10a)$$

or

$$\{Y_{,y}\} = \{0\} \quad (10b)$$

and, either:

$$\begin{aligned} & -D_{22}[R_1]^T \{Y_{,yyy}\} - 2D_{26}([R_3] - [R_3]^T) \{Y_{,yy}\} \\ & - (D_{12}[R_2] - 4D_{66}[R_6]^T) \{Y_{,y}\} \\ & + 2D_{16}[R_5]^T \{Y\} = \{0\} \end{aligned} \quad (10c)$$

or

$$\{Y\} = \{0\} \quad (10d)$$

Similar to the previous case, the boundary conditions for each edge support are:

Simply supported edge: Eq.(10a) and Eq.(10d)

Clamped edge: Eq.(10b) and Eq.(10d)

Free edge: Eq.(10a) and Eq.(10c)

### 2.3. Solution procedure

The governing equations, Eq. (6), can be solved using the assumed displacement functions  $Y_i(y)$  and the boundary conditions, Eq. (7). The displacement functions  $\{X\}$  are assumed in form of the infinite power series as:

$$\begin{aligned} \{X\} &= \begin{Bmatrix} X_1(x) \\ * \\ X_N(x) \end{Bmatrix} = \begin{Bmatrix} \sum_{i=0}^{\infty} aa_{1,i} x^i \\ * \\ \sum_{i=0}^{\infty} aa_{N,i} x^i \end{Bmatrix} \\ &= \sum_{i=0}^{\infty} \begin{Bmatrix} aa_1 \\ * \\ aa_N \end{Bmatrix}_i x^i = \sum_{i=0}^{\infty} \{AA\}_i x^i \end{aligned} \quad (11)$$

where  $\{AA\}_i$  are unknown coefficients to be determined. By substituting the assumed function from Eq. (11) in the governing equations, the unknown coefficients  $\{AA\}_{i+4}$  can be written as:

$$\{AA\}_{i+4} = - \frac{\begin{Bmatrix} [A_1] \{AA\}_{i+3} (i+1)(i+2)(i+3) \\ + [A_2] \{AA\}_{i+2} (i+1)(i+2) \\ + [A_3] \{AA\}_{i+1} (i+1) \\ + ([A_4] - \omega^2 [A_5]) \{AA\}_i \end{Bmatrix}}{(i+1)(i+2)(i+3)(i+4)} \quad (14)$$

With this formulation, the number of unknown coefficients is reduced to  $4N$ . The displacement functions  $\{X\}$  are written in term of the unknown

coefficients  $\{AA\}_3$ ,  $\{AA\}_2$ ,  $\{AA\}_1$  and  $\{AA\}_0$ . These unknown coefficients can be solved using the boundary conditions shown in Eq.(7). At this point, the iteration using the assumed displacement functions  $Y_i(y)$  is concluded.

The next iteration involved the governing equations and boundary condition in Eqs. (9) and (10), respectively. The obtained functions  $\{X\}$  from the first iteration are used as the assumed functions. Similarly, the displacement functions  $\{Y\}$  are assumed as infinite power series of:

$$\begin{aligned} \{Y\} &= \begin{Bmatrix} Y_1(y) \\ * \\ Y_N(y) \end{Bmatrix} = \begin{Bmatrix} \sum_{i=0}^{\infty} bb_{1,i} y^i \\ * \\ \sum_{i=0}^{\infty} bb_{N,i} y^i \end{Bmatrix} \\ &= \sum_{i=0}^{\infty} \begin{Bmatrix} bb_1 \\ * \\ bb_N \end{Bmatrix}_i y^i = \sum_{i=0}^{\infty} \{BB\}_i y^i \end{aligned} \quad (15)$$

where  $\{BB\}_i$  are unknown coefficients of functions  $\{Y\}$ . With similar procedures as the previous case, the unknown coefficients  $\{BB\}_{i+4}$  can be written as:

$$\{BB\}_{i+4} = - \frac{\begin{Bmatrix} [B_1] \{BB\}_{i+3} (i+1)(i+2)(i+3) \\ + [B_2] \{BB\}_{i+2} (i+1)(i+2) \\ + [B_3] \{BB\}_{i+1} (i+1) \\ + ([B_4] - \omega^2 [B_5]) \{BB\}_i \end{Bmatrix}}{(i+1)(i+2)(i+3)(i+4)} \quad (16)$$

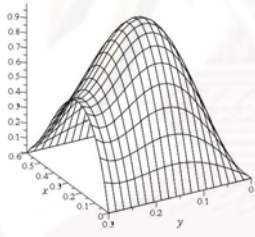
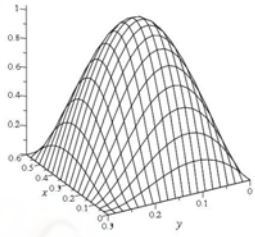
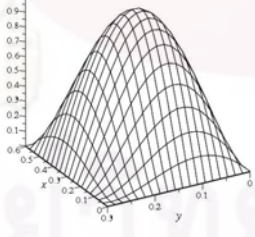
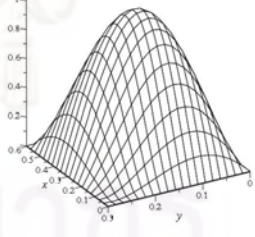
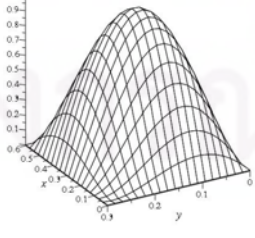
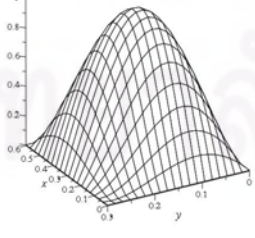
Again, the unknown coefficients  $\{BB\}_0$ ,  $\{BB\}_1$ ,  $\{BB\}_2$  and  $\{BB\}_3$  are determined from the boundary conditions shown in Eq.(10). The obtained functions  $\{Y\}$  can be applied as an assumed function for Eq. (6) for the third iteration. These iterative calculations can be repeated until the obtained natural frequency converges to a particular value.

Table 1 presents the solution procedure used in this study. A  $[45]_8$  composite plate with simply supported boundary condition along four edges is chosen as an example. Material used in

this study is graphite-epoxy composite with mechanical and physical properties shown in Table 2. The dimensions of the specimen are  $a = 60$  cm and  $b = 30$  cm. The number of term used in the displacement function are 2, i.e.  $N = 2$  for the displacement function shown in Eq. (2). The first iteration begins with assuming functions  $\{Y\}$  as  $Y_1(y) = y^6$  and  $Y_2(y) = \sin(\pi y/b)$ . These functions can be assumed arbitrarily. The natural frequencies and displacement functions in term of  $x$  are obtained from governing equations, Eq.(6), and boundary conditions, Eq.(7). In the first

iteration, the fundamental natural frequency is obtained as 209.790 rad/s with the displacement functions  $\{X\}=\{X_1\}$ . The vibration mode shape is determined from the assumed function  $\{Y\}$  and the obtained functions  $\{X_1\}$  by utilizing Eq. (2). The vibration mode shape is presented in form of a 3-D surface plot and shown in the table. It is seen that the vibration mode in the first iteration is incorrect because the assumed function  $\{Y\}$ , specifically  $y^6$ , are not satisfied the boundary conditions.

Table 1. Iterative calculations for the natural frequency and vibration mode shape.

Iteration No./ Assumed Functions.	Mode shape	Iteration No./ Assumed Functions.	Mode shape
1.  Assume $\{Y\} = \begin{cases} y^6 \\ \sin \frac{\pi y}{b} \end{cases}$	 $\omega = 209.790$ rad/s $\{X\}=\{X_1\}$	2.  Assume $\{X\}=\{X_1\}$	 $\omega = 228.472$ rad/s $\{Y\}=\{Y_1\}$
3.  Assume $\{Y\}=\{Y_1\}$	 $\omega = 220.249$ rad/s $\{X\}=\{X_2\}$	4.  Assume $\{X\}=\{X_2\}$	 $\omega = 220.117$ rad/s $\{Y\}=\{Y_2\}$
5.  Assume $\{Y\}=\{Y_2\}$	 $\omega = 220.109$ rad/s $\{X\}=\{X_3\}$	6.  Assume $\{X\}=\{X_3\}$	 $\omega = 220.109$ rad/s $\{Y\}=\{Y_3\}$

The obtained functions  $\{X_1\}$  are employed as assumed functions in the second iteration which involves Eq. (9) and boundary conditions shown in Eq. (10). The natural frequency obtained in this iteration is 228.472 rad/s with the displacement functions  $\{Y\}=\{Y_1\}$ . It should be noted that the boundary conditions of the displacement functions obtained in this iteration satisfy the boundary conditions of the problem. Similar to the second iteration, the displacement functions  $\{Y\}=\{Y_1\}$  are employed as the assumed function in the third calculation. This calculation procedure is repeated until natural frequency and vibration mode converges to a particular value. In this example, the natural frequencies from the fifth and sixth iterations are virtually identical.

Table 2. Ply properties of graphite-epoxy composite

$E_{11}$ (GPa)	$E_{22}$ (GPa)	$G_{12}$ (GPa)	$\nu_{12}$	$\rho$ (kg/m <sup>3</sup> )	Thickness (mm)
132	10.8	5.65	0.24	1540	0.127

### 3. Convergence Study

A convergence study was performed to determine the appropriate number of term used in the displacement function, i.e. value of  $N$  in Eq.(2). Fundamental natural frequencies of 30x30 cm<sup>2</sup> laminated plates with different stacking sequence and boundary conditions are presented in Table 3. Material used in this convergence study is graphite-epoxy composite with material properties shown in Table 2. Specimens with three different boundary conditions are included in the study. They are SSSS, CCCC, and CCSS boundary conditions. The symbols "S" and "C" are referred to "simple support" and "clamped

support" boundary conditions, respectively. The specimen with "CCSS" boundary conditions is clamp supported on  $x = 0$  and  $y = 0$  edges, and simply supported on  $x = a$  and  $y = b$  edges. The fundamental natural frequencies of all specimens are calculated using displacement functions with different values of  $N$ . For  $[0^\circ/90^\circ]_{2s}$  specimens, the natural frequencies converge to the desired solutions in the first iteration, as shown in the table. The solutions are practically constant although the number of term used in the displacement functions is increased. Thus, for specially orthotropic plates, a single-term displacement function is sufficient to get converged solutions. This result is conformed with the conclusion from Ref. [3].

On the other hand, a single-term displacement function is not efficient to achieve the correct solutions for the case of angle-ply laminate. From the table, the displacement functions with a number of terms at least 3 are recommended to obtain an accurate solution. The specimens with angle-ply stacking sequence require multi-term displacement functions because of the inclination of their vibration mode shapes. Vibration mode shapes of  $[45^\circ/-45^\circ/45^\circ]$  SSSS specimen obtained from the iterations using different number of  $N$  in the displacement functions are presented in Fig. 2. It is seen that only a symmetric vibration mode shape is obtained if a single-term displacement function is used. Since the vibration mode shape of an angle-ply specimen is inclined because of the inclination of the fiber direction, vibration mode shape of this type of laminates is inclined and unsymmetrical, hence, a multi-term function is

required. In this study, the displacement function with  $N = 3$  are used in the iterations.

#### 4. Numerical Verification

After the convergence study, natural frequencies of laminated plates determined from the multi-term Kantorovich method are compared with available solutions of Chen et al. [11] and Leissa and Narita [12]. The first five natural frequencies of the specimens with stacking sequences of  $[0^\circ]_3$ ,  $[30^\circ/-30^\circ/30^\circ]$ ,  $[45^\circ/-45^\circ/45^\circ]$ , and  $[0^\circ/90^\circ/0^\circ]$  is presented in Table 4. The width and length of specimens used in this verification are 10.0 m with 0.06 m thickness. Material properties used in this part of the study are:  $E_1/E_2 = 2.45$ ,  $G_{12}/E_2 = 0.48$ ,  $\nu_{12} = 0.23$ , and  $\rho = 8000 \text{ kg/m}^3$ . Natural frequency is presented in term of a dimensionless frequency parameter which is defined according to:

$$\beta = \sqrt{\frac{\rho h \omega^2 a^4}{D_0}} \quad (17)$$

where  $D_0 = \frac{E_1 h^3}{12(1-\nu_{12}\nu_{21})}$

From a comparison in the table, the frequency parameters determined from the multi-term

Kantorovich method are compared very well with solutions from other studies. Most of the natural frequencies from the proposed technique are slightly lower than the benchmark solutions. Thus, the derived governing equations and boundary conditions are verified.

#### 5. Conclusions

The natural frequency and mode shape of symmetrically composite plates are determined using the Kantorovich method with multi-term assumed displacement function. The concept of the solution procedure is based on the variational principle of total energy minimization. The obtained natural frequencies corresponded very well with other available solutions. It is also shown that, with multi-term assumed functions, the vibration behavior of angle-ply plates can be determined. This type of problem is not possible to deal with using the conventional single-term Kantorovich method. It is interesting to apply the technique to other types of structural problems.

Table 3. Fundamental natural frequencies in rad/s of laminated plates

Value of $N$	$[0^\circ/90^\circ]_{2s}$			$[45^\circ/-45^\circ/45^\circ]$		
	SSSS	CCCC	CCSS	SSSS	CCCC	CCSS
1	339.2027	723.9547	510.3102	164.6403	263.7581	210.0205
2	339.2027	723.9333	510.3010	142.2653	238.3993	186.9836
3	339.2027	723.9333	510.3006	139.7492	236.8738	184.6462
4	339.2027	723.9333	510.3004	139.0017	236.7477	184.0323

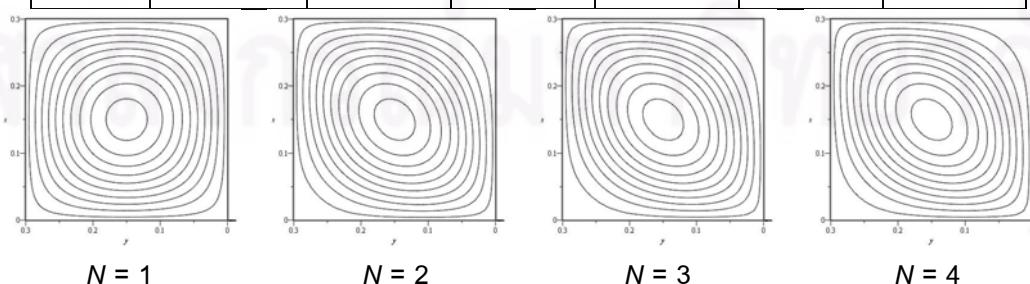


Fig. 2 Mode shapes of  $[45^\circ/-45^\circ/45^\circ]$  SSSS specimen determined using different value of  $N$

Table 4. Frequency parameters  $\beta$  of laminated composite square plates (BC:SSSS)

Mode	[0°] <sub>3</sub>			[30°/-30°/30°]			[45°/-45°/45°]			[0°/90°/0°]	
	Ref.11	Ref.12	Present	Ref.11	Ref.12	Present	Ref.11	Ref.12	Present	Ref.11	Present
Mode 1	15.18	15.19	15.17	15.88	15.90	15.86	16.11	16.14	16.10	15.18	15.17
Mode 2	33.34	33.30	33.25	35.95	35.86	35.77	37.04	36.93	36.87	33.82	33.73
Mode 3	44.51	44.42	44.39	42.63	42.62	42.58	41.80	41.81	41.82	44.14	44.02
Mode 4	60.79	60.77	60.68	61.54	61.45	61.31	61.94	61.85	61.68	60.79	60.68
Mode 5	64.80	64.53	64.46	72.12	71.71	71.88	78.03	77.04	78.57	66.12	65.77

## 6. References

- [1] Yuan, S. and Jin, Y. (1998). Computation of elastic buckling loads of rectangular thin plates using the extended Kantorovich method, *Composite Structures* vol. 66, pp. 861-867.
- [2] Eisenberger, M. and Alexandrov, A. (2003). Buckling loads of variable thickness thin isotropic plates, *Thin-walled Structure*, vol.41(9), pp.871–889.
- [3] Ungbhakorn, V. and Singhatanadgid, P. (2005). Buckling analysis of symmetrically laminated composite plates by the extended Kantorovich method, *Composite Structures*, vol.73, pp.120-128.
- [4] Shufrin, I., Rabinovitch, O., and Eisenberger, M. (2008). Buckling of symmetrically laminated rectangular plates with general boundary conditions - A semi analytical approach, *Composite Structures*, vol.82, pp. 521-531.
- [5] Shufrin, I. and Eisenberger, M. (2006). Vibration of shear deformable plates with variable thickness - First-order and higher-order analyses, *Journal of Sound and Vibration*, vol.290(1-2), pp. 465-489.
- [6] Shufrin, I. and Eisenberger, M. (2005). Stability and vibration of shear deformable plates - First order and higher order analyses, *International Journal of Solids and Structures*, vol.42(3-4), pp. 1225-1251.
- [7] Bercin, A.N. (1996). Free vibration solution for clamped orthotropic plates using the Kantorovich method, *Journal of Sound and Vibration*, vol.196, pp. 243-247.
- [8] Dalaei, M. and Kerr, A.D. (1996) Natural vibration analysis of clamped rectangular orthotropic plates, *Journal of Sound and Vibration*, vol.189(3), pp. 399-406.
- [9] Whitney, J.M. (1987). Structure analysis of laminated anisotropic plates, Technomic, Inc. Pennsylvania.
- [10] Reddy J.N. (2004) Mechanics of laminated composite plates and shells, CRC Press, Boca Raton.
- [11] Chen X.L., Liu G.R., and Lim S.P. (2003). An element free Galerkin method for the free vibration analysis of composite laminates of complicated shape, *Composite Structures*, vol.59, 279-89.
- [12] Leissa A.W. and Narita Y. (1989). Vibration studies for simply supported symmetrically laminated rectangular plates, *Composite Structures*, vol.12, pp.113-132.



## ประวัติผู้เขียนวิทยานิพนธ์

นายธนาวุฒิ เวชฎานนท์ เกิดเมื่อวันที่ 20 พฤศจิกายน 2527 ที่จังหวัดชัยภูมิ สำเร็จการศึกษาปริญญาวิศวกรรมศาสตรบัณฑิต สาขาวิชาวิศวกรรมเครื่องกล จากภาควิชาวิศวกรรมเครื่องกล คณะวิศวกรรมศาสตร์ มหาวิทยาลัยเทคโนโลยีพระจอมเกล้าธนบุรี เมื่อปีการศึกษา 2549 และเข้าศึกษาต่อในหลักสูตรวิศวกรรมศาสตรมหาบัณฑิต ภาควิชาวิศวกรรมเครื่องกล คณะวิศวกรรมศาสตร์ จุฬาลงกรณ์มหาวิทยาลัย เมื่อปีการศึกษา 2550 และมีผลงานวิชาการที่ได้เผยแพร่ดังนี้

Thanawut Pannok and Paired Singhatanadgid, Vibration of Symmetrically Laminated Plates with Various Boundary Conditions using Extended Kantorovich Method, The 23<sup>rd</sup> Conference of Mechanical Engineering Network of Thailand 4-7 November 2009, Chiang Mai, Thailand

ศูนย์วิทยทรัพยากร  
จุฬาลงกรณ์มหาวิทยาลัย